

$$E_n = - \frac{Z^2 \cdot m_0 \cdot q^4}{8 \epsilon_0^2 \cdot h^2 \cdot n^2}$$

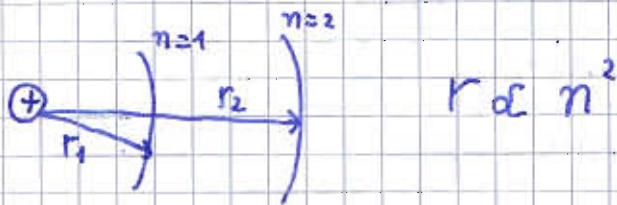
↑
energia necessaria per strappare l'elettrone dal nucleo.

$Z \rightarrow$ numero atomico
 $m_0 \rightarrow$ massa dell'atomo
 $q \rightarrow$ carica

$\epsilon_0 \rightarrow$ costante dielettrica del vuoto

$h \rightarrow$ costante di Planck

$n \rightarrow 0, 1, 2, 3, \dots$



$E_0 \rightarrow$ energia dell'elettrone libero

E_0 ————— E_n energia alta

E_2 —————
↑ energy gap
↓
 E_1 ————— energia bassa

Ogni livello energetico può avere al massimo due elettroni a spin antiparallelo.

Se avviciniamo due atomi uguali, ogni livello si sdoppia in uno di energia appena più bassa e uno appena più alta.

Nel silicio (Si), ogni livello si divide in $n = 5 \cdot 10^{22} \frac{\text{atomi}}{\text{cm}^3}$ livelli, creando quindi una **BANDA DI ENERGIA**.

L'ampiezza della banda cresce al crescere dell'energia.



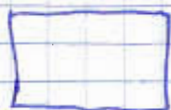
Un elettrone può passare da un livello di energia più bassa a uno di energia più alta deve acquisire energia.

In ogni banda ci stanno al massimo $2 \cdot N$ elettroni. Essendo i livelli della banda molto vicini, gli elettroni possono facilmente acquisire energia per passare da un livello a un altro.

METALLI

L'ultima banda in cui sono presenti elettroni è solo parzialmente riempita ed è chiamata BANDA DI VALENZA.

0K

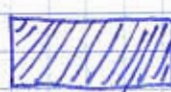


banda di valenza

Applicando un campo elettrico, gli elettroni della banda di valenza si possono muovere \Rightarrow conduttore

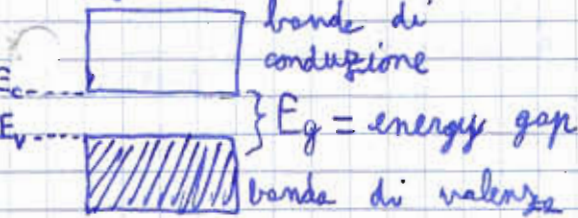


banda di valenza



bande riempite

Negli isolanti e nei semiconduttori, invece, sono nella situazione



banda di conduzione

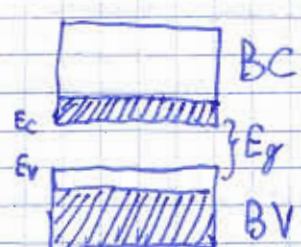
$E_g = \text{energy gap}$

banda di valenza

Anche applicando un campo elettrico, gli elettroni non saprebbero dove muoversi, e meno di non fornire un'energia E_g agli elettroni per farli passare da E_v a E_c .

Nel caso di isolanti, l'energy gap è molto elevato (ad es. $E_g > 5\text{eV}$), mentre per i semiconduttori è più basso (ad es. Si: $E_g = 1,12\text{eV}$).

Se guardo il semiconduttore a $T=300\text{K}$, avrei una situazione diversa, dato che gli elettroni hanno energia $\frac{3}{2} kT$.



BC

E_g

BV

Applicando un campo elettrico, avrei un movimento di elettroni in entrambe le bande e un movimento di lacune (assenza di elettroni), che hanno carica positiva.

La concentrazione di elettroni in banda di conduzione dipende dalla temperatura:

$$n_i^2 = BT^3 e^{-\frac{E_g}{kT}} \quad [\text{cm}^{-6}]$$

CONCENTRAZIONE INTRINSECA

↑ costanti

n = concentrazione di elettroni e^-
 p = concentrazione di lacune h^+

$$n = p = n_i$$

$$n \cdot p = n_i^2$$

ESEMPIO

$$T = 300 \text{ K}$$

$$B = 1,08 \cdot 10^{31} \text{ K}^{-3} \text{ cm}^{-6} \quad \left. \begin{array}{l} \\ \\ \end{array} \right\} \text{ per silicio}$$

$$E_g = 1,12 \text{ eV}$$

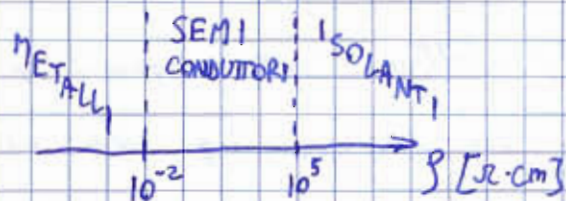
$$n_i^2 = 1,08 \cdot 10^{31} \cdot (300)^3 \cdot e^{-\frac{1,12}{8,62 \cdot 10^{-5} \cdot 300}} =$$

$$= 4,52 \cdot 10^{19} \text{ cm}^{-6}$$

$$n_i = \sqrt{n_i^2} = 6,73 \cdot 10^9 \text{ cm}^{-3} \approx 10^{10} \text{ cm}^{-3}$$

$$\vec{J} = \sigma \vec{E} = \frac{1}{\rho} \vec{E}$$

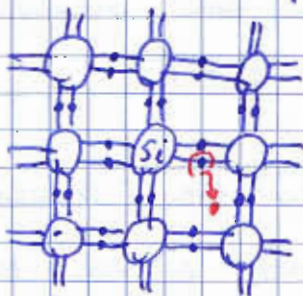
σ = conducibilità elettrica
 ρ = resistività elettrica [$\Omega \cdot \text{cm}$]
 \vec{E} = campo elettrico [$\frac{\text{V}}{\text{cm}}$]
 \vec{J} = densità di corrente [$\frac{\text{A}}{\text{cm}^2}$]



σ può variare cambiando le caratteristiche del materiale (DROGAGGIO)

MODELLO DEI SOLIDI A LEGAME COVALENTE

Il silicio può formare 4 legami per completare l'ottetto.



Aumentando la temperatura, alcuni elettroni potrebbero staccarsi dal legame perché hanno energia sufficiente, creando quindi una lacuna.

Applicando un campo elettrico, gli elettroni vicini potrebbero avere energia sufficiente per occupare la lacuna, creando una nuova lacuna. È come se la lacuna si fosse spostata.

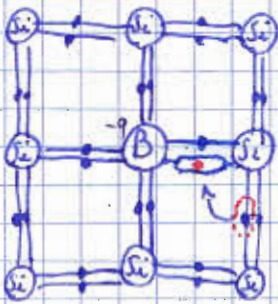
DROGAGGIO → introduce nel semiconduttore quantità controllate di impurezze (di solito del 3° o 5° gruppo).

1) atomi del III gruppo es. Boro (B)

IMPUREZZE

2) atomi del V gruppo es. Fosforo (P), arsenico (As), antimoni (Sb)

1) Sostituisco quindi degli atomi di silicio con atomi di Boro.



Il Boro diventa quindi una ione negativo perché ha un elettrone in più.

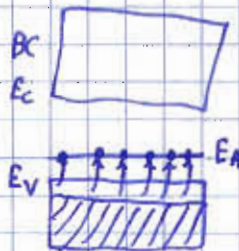
Se metto N atomi di Boro avrò N lacune.

DROGAGGIO ACCETTORE (Na) perché accetta un elettrone

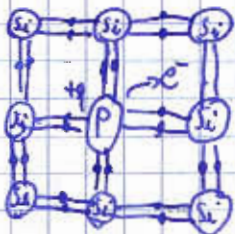
Ho una lacuna in più degli elettroni. DROGAGGIO DI TIPO P perché aggiungo una lacuna.

3/3/09

Aggiungendo lacune equivale ad aggiungere un livello di energia appena sopra alla banda di valenza, di modo che tutti gli elettroni sono passati a questo nuovo livello, svuotando un po' la banda di valenza.



2) Sostituisco ora agli atomi di silicio gli atomi di fosforo.



Un elettrone si stacca dal fosforo perché non gli serve per completare l'ottetto e il fosforo diventa una ione positivo.

DROGAGGIO DONORE (Nd) perché dona elettroni che non viene coinvolto nei legami. Nel diagramma a bande questi elettroni passano in banda di conduzione.

DROGAGGIO DI TIPO N (negativo) perché ho un elettrone in più. Introduco quindi un livello energetico vicino alla banda di conduzione che quindi dona elettroni.

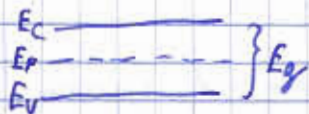


Di solito, $10^{14} - 10^{20}$ portatori introdotti, maggiore di n_i .



$n > p$

LIVELLO DI FERMI \rightarrow livello che sta al centro tra E_c e E_v



in condizioni intrinseche

N_A = concentrazione atomi accettori

N_D = concentrazione atomi donori

$$\rho = q \cdot [N_D + p - n - N_A]$$

← IMPORTANTE

DENSITÀ DI CARICA $[C/cm^3]$

\uparrow drogaggio donore + \uparrow lacune + \uparrow elettroni - \uparrow drogaggio accettore -

LEGGE DI AZIONE DI MASSA

$$n \cdot p = n_i^2$$

$$n_i^2 = BT^3 e^{-\frac{E_g}{KT}}$$

vale sia per semiconduttori intrinsechi sia per semiconduttori estrinseci !!!

Mentre non è più vero che $n = p = n_i$.

Vale sempre la NEUTRALITÀ DI CARICA $\rho = 0$

$$\rho = 0 = q [N_D + p - N_A - n] \Rightarrow \begin{cases} N_D + p = N_A + n & \text{ma per la legge di azione di massa} \\ n \cdot p = n_i^2 \end{cases}$$

$$\begin{cases} p = N_A - N_D + n \\ n(N_A - N_D + n) = n_i^2 \end{cases}$$

$$n^2 - n(N_D - N_A) - n_i^2 = 0$$

$$n = \frac{N_D - N_A \pm \sqrt{(N_D - N_A)^2 + 4n_i^2}}{2} \quad \text{ma il - lo}$$

scarto perché darebbe una concentrazione negativa

$$n = \frac{N_D - N_A}{2} + \sqrt{\frac{(N_D - N_A)^2}{4} + n_i^2} \quad \text{mentre per } p \text{ basta scambiare } N_A \text{ e } N_D$$

$$n = \frac{N_D - N_A}{2} + \sqrt{\frac{(N_D - N_A)^2}{4} + n_i^2}$$

$$p = \frac{N_A - N_D}{2} + \sqrt{\frac{(N_A - N_D)^2}{4} + n_i^2}$$

È quindi importante la differenza tra N_A e N_D per sapere se prevale il drogaggio n o quello p .

Se ho un s.c. drogato $n \Rightarrow N_D > N_A$

$$\left\{ \begin{array}{l} n = \frac{N_D - N_A}{2} + \sqrt{\frac{(N_D - N_A)^2}{4} + n_i^2} \\ p = \frac{n_i^2}{n} \end{array} \right. \quad n > p \Rightarrow \left\{ \begin{array}{l} e^- = \text{portatori MAGGIORITARI} \\ h^+ = \text{portatori MINORITARI} \end{array} \right.$$

Se ho una s.c. drogato $p \Rightarrow N_A > N_D$

$$\left\{ \begin{array}{l} p = \frac{N_A - N_D}{2} + \sqrt{\frac{(N_A - N_D)^2}{4} + n_i^2} \\ n = \frac{n_i^2}{p} \end{array} \right. \quad p > n_i \Rightarrow n < p \Rightarrow \left\{ \begin{array}{l} e^- = \text{portatori MINORITARI} \\ h^+ = \text{portatori MAGGIORITARI} \end{array} \right.$$

Di solito $(N_D - N_A) \gg n_i \Rightarrow \frac{(N_D - N_A)^2}{4} \gg n_i^2 \Rightarrow n_i^2$ si trascura

$$\Rightarrow \left\{ \begin{array}{l} n = N_D - N_A \\ p = \frac{n_i^2}{N_D - N_A} \end{array} \right. \quad \text{se poi } N_D \gg N_A \Rightarrow \left\{ \begin{array}{l} n \approx N_D \\ p \approx \frac{n_i^2}{N_D} \end{array} \right.$$

Se $(N_A - N_D) \gg n_i \Rightarrow n_i^2$ si trascura

$$\left\{ \begin{array}{l} p = N_A - N_D \\ n = \frac{n_i^2}{N_A - N_D} \end{array} \right. \quad \text{se poi } N_A \gg N_D \Rightarrow \left\{ \begin{array}{l} p \approx N_A \\ n \approx \frac{n_i^2}{N_A} \end{array} \right.$$

Determinare la polarità di un semiconduttore drogato con Boro [10^{16} cm^{-3}] e fosforo [$2 \cdot 10^{15} \text{ cm}^{-3}$] e il valore di p e n per $T=300 \text{ K}$.

$N_A = 10^{16} \text{ cm}^{-3}$ $N_A > N_D$, quindi il s.c. è drogato p.
 $N_D = 2 \cdot 10^{15} \text{ cm}^{-3}$
 $n_i = 10^{10} \text{ cm}^{-3}$

$$p = \frac{(N_A - N_D)}{2} + \sqrt{\frac{(N_A - N_D)^2}{4} + n_i^2} \quad \text{me}$$

$N_A - N_D = 8 \cdot 10^{15} \gg n_i \Rightarrow p \approx N_A - N_D = 8 \cdot 10^{15} \text{ cm}^{-3}$
 $n = \frac{n_i^2}{p} = \frac{10^{20}}{8 \cdot 10^{15}} = 1,25 \cdot 10^4 \text{ cm}^{-3}$

Supponiamo di avere un s.c. UNIFORMEMENTE DROGATO n (N_D) e di applicare un campo elettrico E .

\vec{v}_d ↑ VELOCITÀ DI TRASCINAMENTO (DRIFT)
 τ_{cn} ↑ TEMPO MEDIO DI DISPERSIONE TRA DUE URTI SUCCESSIVI
 Dopo gli urti: $F \cdot \tau_{cn} = m_n^* \cdot \vec{v}_d$
 IMPULSO ↑ MASSA EFFICACE DELL'ELETTRONE ↑
 $\vec{F} = -q \cdot \vec{E}$
 $-qE \tau_{cn} = m_n^* \cdot \vec{v}_d$ $\vec{v}_d = -q \cdot \frac{\tau_{cn}}{m_n^*} \cdot \vec{E}$

Le velocità è proporzionale al campo elettrico
 $\frac{\tau_{cn}}{m_n^*}$ COSTANTE
 MOBILITÀ ELETTRONICA μ_n [$\frac{\text{cm}^2}{\text{V} \cdot \text{s}}$]

Per le lacune $\vec{v}_d = \mu_p \cdot \vec{E}$ dove $\mu_p = q \cdot \frac{\tau_{cn}}{m_h^*}$
 m_h^* = massa efficace lacune
 MOBILITÀ DELLE LACUNE

LUNEDÌ: AULA F
 MARTEDÌ: AULA G

4/3/09

Il drogaggio peggiora la mobilità dei portatori.

$I = \frac{dq}{dt}$ Considero un volumetto del semiconduttore



$dl = v_d \cdot dt$ $n =$ concentrazione di e^- [cm^{-3}]

$$dq = -q \cdot n \cdot dV \Rightarrow I = \frac{-q \cdot n \cdot dV}{dl/v_d} = \frac{-q \cdot n \cdot dV \cdot v_d}{(dl) \cdot A} = -q \cdot n \cdot v_d \cdot A$$

$$\bar{J}_n = \frac{I}{A} = -q \cdot n \cdot v_d = q \cdot n \cdot \mu_n \cdot \bar{E} \quad \bar{J}_p = q \cdot p \cdot \mu_p \cdot \bar{E}$$

$$\bar{J} = \sigma \cdot \bar{E} \quad \bar{J} = \bar{J}_n + \bar{J}_p = (q n \mu_n + q p \mu_p) \cdot \bar{E} \Rightarrow \boxed{\sigma = q n \mu_n + q p \mu_p}$$

Trovare la resistività del silicio intrinseco a $T = 300 \text{ K}$.

$$\sigma = q n \mu_n + q p \mu_p = \frac{1}{\rho} \left[\frac{1}{\Omega \cdot \text{cm}} \right] \quad \mu_n = 1350 \frac{\text{cm}^2}{\text{V} \cdot \text{s}} \quad \mu_p = 500 \frac{\text{cm}^2}{\text{V} \cdot \text{s}}$$

$$n_i = 10^{10} \text{ cm}^{-3} \quad q = 1,6 \cdot 10^{-19} \text{ C}$$

Essendo il s.c. intrinseco $n = p = n_i = 10^{10} \text{ cm}^{-3}$

$$\sigma = 1,6 \cdot 10^{-19} \cdot 10^{10} [1350 + 500] = 2,96 \cdot 10^{-6} \cdot \frac{1}{\Omega \cdot \text{cm}} \Rightarrow \rho = \frac{1}{\sigma} = 3,38 \cdot 10^5 \Omega \cdot \text{cm}$$

Trovare la resistività del silicio drogato con atomi donori

$$N_D = 2 \cdot 10^{15} \text{ cm}^{-3}$$

$$\mu_n = 1260 \frac{\text{cm}^2}{\text{V} \cdot \text{s}}$$

$$\mu_p = 460 \frac{\text{cm}^2}{\text{V} \cdot \text{s}}$$

$$T = 300 \text{ K}$$

$$n_i = 10^{10} \text{ cm}^{-3}$$

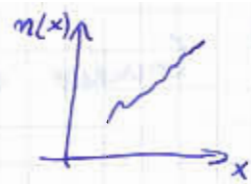
$$n = \frac{N_D - N_A}{2} + \sqrt{\frac{(N_D - N_A)^2}{4} + n_i^2}, \text{ ma } N_A = 0 \text{ e } N_D \gg n_i$$

$$\Rightarrow n = N_D \quad p = \frac{n_i^2}{N_D}$$

$$\sigma = 1,6 \cdot 10^{-19} \cdot \left(2 \cdot 10^{15} \cdot 1260 + \frac{10^{20}}{2 \cdot 10^{15}} \cdot 460 \right) = 0,403 \frac{1}{\Omega \cdot \text{cm}}$$

$\rho = \frac{1}{\sigma} = 2,48 \Omega \cdot \text{cm}$ abbiamo ridotto di 10^5 la resistività, cioè corrente più alta.

S.C. NON UNIFORMEMENTE DROGATO

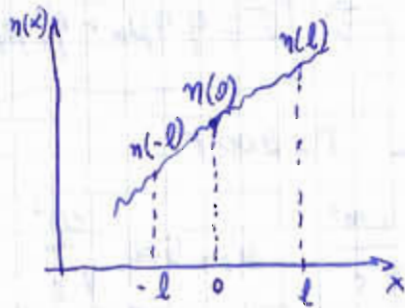


$n(x)$ = concentrazione direzionale di elettroni

Non c'è campo elettrico esterno applicato

Gli elettroni tendono per diffusione a uniformarsi per avere concentrazione costante, lasciando dietro di loro delle cariche positive fisse.

Ma in questo modo si crea un dipolo, quindi un potenziale \rightarrow e quindi un campo elettrico \leftarrow che riporta gli elettroni indietro, opponendosi al moto diffusivo (trascinamento).



l = libero cammino medio

$$F_{s \rightarrow d} = \frac{1}{2} n(-l) v_{th}$$

\leftarrow velocità termica

moto casuale, metà vanno a dx.

$$F_{d \rightarrow s} = \frac{1}{2} n(l) v_{th}$$

\uparrow
flusso da dx a sx

$$F_{netto\ s \rightarrow d} = F_{s \rightarrow d} - F_{d \rightarrow s} = \frac{1}{2} v_{th} [n(-l) - n(l)]$$

$$n(x) = n(0) + \left. \frac{dn}{dx} \right|_{x=0} \cdot (x-0)$$

$$n(-l) = n(0) + \frac{dn}{dx} \cdot (-l)$$

$$n(l) = n(0) + \frac{dn}{dx} (l)$$

$$F_{netto\ s \rightarrow d} = \frac{1}{2} v_{th} \left[n(0) - l \frac{dn}{dx} - n(0) - l \frac{dn}{dx} \right] = \frac{1}{2} v_{th} \cdot \left[-2l \frac{dn}{dx} \right] = -l v_{th} \frac{dn}{dx}$$

\uparrow numero di elettroni che attraversano la superficie nell'unità di tempo.

$$J_n = -q \cdot F_{netto\ s \rightarrow d} = q l v_{th} \frac{dn}{dx}$$

$$E_c = \frac{1}{2} m_n^* v_{th}^2 = \frac{3}{2} kT$$

\uparrow energia cinetica

$\uparrow \frac{1}{2} kT$ \forall grado di libertà

$$\frac{1}{2} m_n^* v_{th}^2 = \frac{1}{2} kT \quad J_n = q l v_{th} \frac{dn}{dx} \quad v_{th} = \frac{l}{\tau_{cn}} \Rightarrow l = \tau_{cn} \cdot v_{th}$$

$$\Rightarrow J_n = q \tau_{cn} v_{th}^2 \frac{dn}{dx}, \quad \text{ma } v_{th}^2 = \frac{kT}{m_n^*}$$

$$\Rightarrow J_n = \underbrace{(q \tau_{cn})}_{\mu_n} \cdot \underbrace{\frac{kT}{m_n^*}}_{\mu_n} \cdot \frac{dn}{dx} = \mu_n \cdot kT \frac{dn}{dx}$$

CONSTANTE DI
BOLTZMANN

$$D_n \stackrel{\Delta}{=} \frac{kT}{q} \mu_n$$

↑
COEFFICIENTE
DI DIFFUSIONE

$$J_n = q D_n \frac{dn}{dx}$$

$$J_p = -q D_p \frac{dp}{dx}$$

CORRENTE
DIFFUSIVA

$$\left. \begin{aligned} J_n &= q n \mu_n E_x \\ J_p &= q p \mu_p E_x \end{aligned} \right\} \text{CORRENTE DI TRASCINAMENTO}$$

IN GENERALE

$$J_n(x) = q n \mu_n E(x) + q D_n \frac{dn}{dx}$$

$$J_p(x) = q p \mu_p E(x) - q D_p \frac{dp}{dx}$$

S.C. NON UNIF. DROGATO $n(x)$ - ASSENZA DI CAMPO ELETTRICO ESTERNO

Suppongo di essere in equilibrio termico ($J_n(x) = 0$) ma

$$J_n(x) = q n \mu_n E(x) + q D_n \frac{dn}{dx} = 0 \quad E(x) = \frac{-q D_n \frac{dn}{dx}}{q n \mu_n} = \frac{kT}{n q \mu_n} \frac{dn}{dx} =$$

$$= \frac{kT}{q} \cdot \frac{1}{n} \frac{dn}{dx}$$

CAMPO ELETTRICO CHE SI ORIGINA
DALLO SPOSTAMENTO DEGLI ELETTRONI - BUILT-IN
CHE SI OPpone AL MOTO DIFFUSIVO

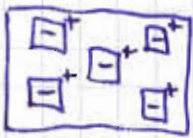
Dall'esterno posso poi applicare un campo elettrico dello stesso verso per aiutare il campo a fare il suo lavoro, oppure applicarne uno opposto per contrastare questo campo.

9/3/09

Suppongo di prendere un s.c. e drogare per metà n e per metà p, con un brusco passaggio da p a n.

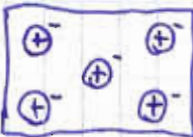
GIUNZIONE p-n ALL'EQUILIBRIO nessun campo elettrico esterno

s.c. p [Na]

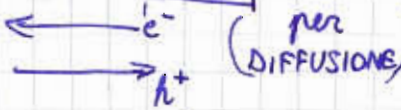
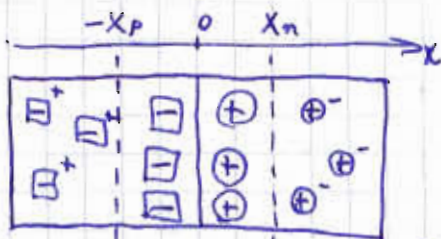


\square^+ ione boro associato alla sua lacuna, complessivamente neutro

s.c. n [No]



\oplus^- ione fosforo associato all'elettrone, complessivamente neutro

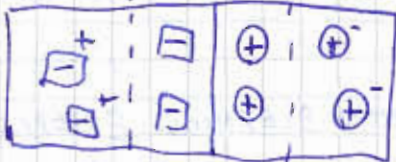


Il posto delle cariche mobili lascia delle cariche fisse che generano un dipolo, quindi un campo elettrico, che si oppone allo spostamento, riportando indietro elettroni e lacune.

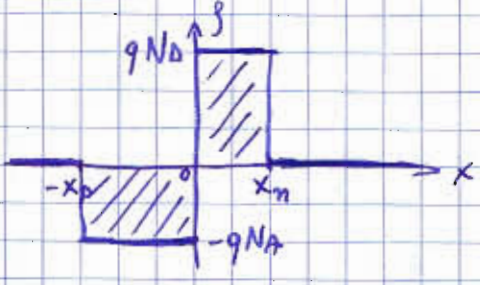
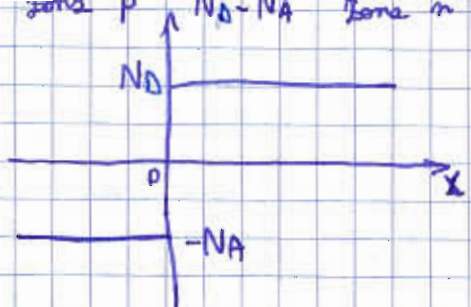
All'equilibrio, moto di diffusione e moto di drift si eguagliano.

Nelle regioni neutre, la carica è nulla.

(1) $-x_p$ (3) (4) x_n (2)



REGIONE NEUTRA (imperturbata) | REGIONE SVUOTATA (non ha più portatori mobili) | REGIONE NEUTRA (imperturbata)



$\rho \rightarrow$ densità di carica [C/cm³]

$x_p \neq x_n$

$\rho = q [N_D + p - n - N_A]$

1) REGIONE NEUTRA $x < -x_p$: $\rho = q [0 + p - n - N_A] = 0$.

Se drogato con $N_A \gg n_i$, posso dire che $p \approx N_A$, $n = n_i^2 / N_A \approx 0$

2) REGIONE NEUTRA $x > x_n$: $\rho = q [N_D + p - n - 0] = 0$

Se drogato con $N_D \gg n_i$, posso dire che $n \approx N_D$, $p \approx 0$ trascurabile

3) REGIONE SVUOTATA $-x_p < x < 0$: era una regione drogata N_A

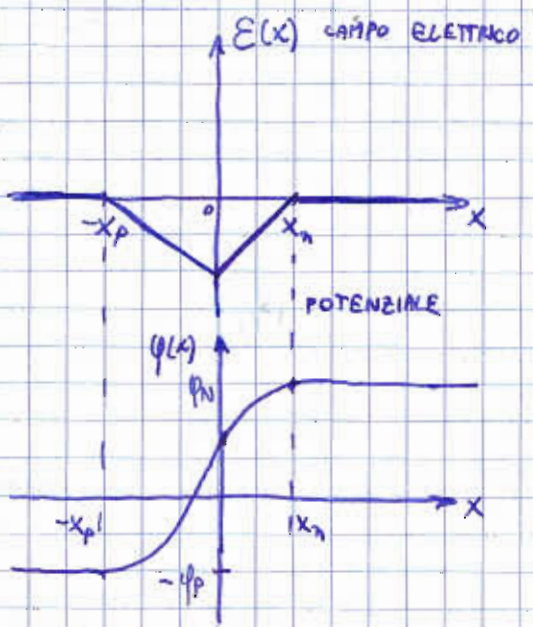
$\rho = q [N_D + p - n - N_A] = -N_A \cdot q$

non ho più portatori regione svuotata

A) REGIONE SVUOTATA $0 < x < x_n$: era drogata N_D

$\rho = q [N_D + p - n - N_A] = N_D \cdot q$

0 regione svuotata



i) $\frac{dE}{dx} = \frac{\rho}{\epsilon_{si}}$, $\epsilon_{si} = \epsilon_0 \cdot \epsilon_{rsi}$ GAUSS

IMPORTANT!

ii) $E(x) = -\frac{d\phi}{dx}$

$\frac{d^2\phi}{dx^2} = -\frac{\rho}{\epsilon_{si}}$ EQUAZIONE DI POISSON

CALCOLO DEL CAMPO ELETTRICO E(x)

(1), (2) : REGIONI NEUTRE. Nella (2) $J_n = qn\mu_n E(x) - qD_n \frac{dn}{dx} = 0$

$qn\mu_n E(x) = 0 \Rightarrow E(x) = 0$ per $x > x_n$

equilibrio

(4) $0 < x < x_n$ REGIONE SVUOTATA

$$\frac{dE(x)}{dx} = \frac{\rho}{\epsilon_{si}} = \frac{q \cdot N_D}{\epsilon_{si}} \rightarrow dE(x) = \frac{q N_D}{\epsilon_{si}} dx \rightarrow \int_{E(x)}^{E(x_n)} dE = \int_x^{x_n} \frac{q N_D}{\epsilon_{si}} dx$$

$$E(x_n) - E(x) = \frac{q N_D}{\epsilon_{si}} (x_n - x) \Rightarrow E(x) = - \frac{q N_D}{\epsilon_{si}} (x_n - x) + E(x_n)$$

\uparrow \uparrow
 $\epsilon_{si} > 0$ 0 da (1), (2)
 perché $0 < x < x_n$

$$E(0) = -q \frac{N_D}{\epsilon_{si}} x_n$$

(3) $-x_p < x < 0$ REGIONE SVUOTATA

$$\frac{dE(x)}{dx} = \frac{\rho}{\epsilon_{si}} = \frac{-q N_A}{\epsilon_{si}} \quad dE(x) = \frac{-q N_A}{\epsilon_{si}} dx \rightarrow \int_{E(-x_p)}^{E(x)} dE(x) = \int_{-x_p}^x \frac{-q N_A}{\epsilon_{si}} dx$$

$$E(x) - E(-x_p) = -q \frac{N_A}{\epsilon_{si}} (x + x_p) \quad E(x) = - \frac{q N_A}{\epsilon_{si}} (x + x_p) \quad \text{per } -x_p < x < 0$$

\uparrow da (1), (2)

$$E(0) = -q \frac{N_A}{\epsilon_{si}} x_p \quad E(-x_p) = 0$$

Ma dato che $E(x)$ è continuo, $-q \frac{N_A}{\epsilon_{si}} x_p = -q \frac{N_D}{\epsilon_{si}} x_n$ quindi:

$N_A \cdot x_p = N_D \cdot x_n$

↔
↔
IMPORTANTE

 $N_D > N_A \quad x_n = \frac{N_A}{N_D} \cdot x_p \rightarrow x_n < x_p$

$x_p, x_n \Rightarrow$ estensioni drogaggio

$N_A, N_D \Rightarrow$ drogaggi

La carica in regione N è uguale a quella in regione P.

Il campo elettrico è negativo nella regione svuotata perché si oppone al moto diffusivo.

CALCOLO DEL POTENZIALE

$E(x) = - \frac{d\varphi}{dx}$ nelle regioni neutre, il potenziale sarà costante (derivata nulla)

(2) per $0 < x < x_n$

$$E(x) = \frac{+q N_D}{\epsilon_{si}} (x_n - x) = - \frac{d\varphi}{dx} \quad d\varphi = \frac{q N_D}{\epsilon_{si}} (x_n - x) \cdot dx$$

$$\int_{\varphi(x)}^{\varphi(x_n)} d\varphi = \int_x^{x_n} \frac{q \cdot N_D}{\epsilon_{si}} (x_n - x) dx \quad \varphi(x_n) - \varphi(x) = \frac{q N_D}{\epsilon_{si}} \left[x_n x - \frac{x^2}{2} \right]_x^{x_n} =$$
$$= \frac{q N_D}{\epsilon_{si}} \left[x_n^2 - \frac{x_n^2}{2} - x_n x + \frac{x^2}{2} \right] =$$

$$= \frac{q N_D}{2 \epsilon_{si}} \left[x_n^2 - 2 x_n x + x^2 \right] = \frac{q N_D}{2 \epsilon_{si}} (x_n - x)^2 \quad \varphi(x_n) \triangleq \varphi_n$$

$$\varphi(x) = \varphi_n - \frac{q N_D}{2 \epsilon_{si}} (x_n - x)^2$$

(3) per $-x_p < x < 0$

$$E(x) = \frac{+q N_A}{\epsilon_{si}} (x_p + x) = - \frac{d\varphi}{dx} \quad d\varphi = \frac{q N_A}{\epsilon_{si}} (x_p + x) dx$$

$$\int_{\varphi(-x_p)}^{\varphi(x)} d\varphi = \int_{-x_p}^x \frac{q N_A}{\epsilon_{si}} (x_p + x) dx \quad \varphi(x) - \varphi(-x_p) = \frac{q N_A}{\epsilon_{si}} \left[x_p x + \frac{x^2}{2} \right]_{-x_p}^x =$$

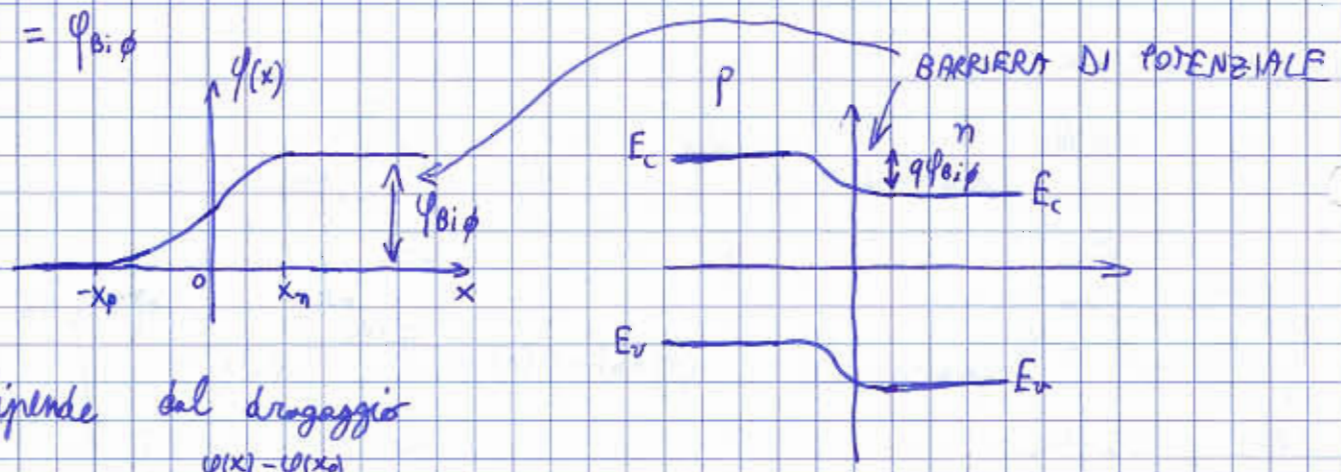
molto perché
in $-x_p$, il potenziale
è costante $\varphi(-x_p) = \varphi_p$

$$\varphi(x) = \varphi_p + \frac{q N_A}{\epsilon_{si}} \left[x_p x + \frac{x^2}{2} + \underbrace{x_p^2 - \frac{x_p^2}{2}}_{\frac{x_p^2}{2}} \right] = \varphi_p + \frac{q N_A}{2 \epsilon_{si}} \left[x^2 + 2 x_p x + x_p^2 \right] =$$

$$= \varphi_p + \frac{q N_A}{2 \epsilon_{si}} (x + x_p)^2$$

Considero φ_p come 0 e il grafico diventa:

$$\psi_n - \psi_p = \psi_{bi\phi}$$



$\psi_{bi\phi}$ dipende dal drogaggio

$$q \frac{\psi(x) - \psi(x_0)}{kT}$$

$$n(x) = n(x_0) \cdot e$$

equilibrio termodinamico

DIM.

$$J_n = qn \mu_n E(x) + q D_n \frac{dn}{dx} = 0 \quad qn \mu_n E(x) = -q D_n \frac{dn}{dx}$$

$$E(x) = -\frac{d\psi}{dx} = qn \mu_n \frac{d\psi}{dx} = -q D_n \frac{dn}{dx}$$

$$n \mu_n d\psi = D_n dn = \frac{kT}{q} \mu_n \frac{dn}{n} \quad \int_{\psi(x_0)}^{\psi(x)} q d\psi = \int_{n(x_0)}^{n(x)} \frac{dn}{n}$$

$$\frac{q}{kT} (\psi(x) - \psi(x_0)) = \ln \frac{n(x)}{n(x_0)} \quad n(x) = n(x_0) \cdot e^{\frac{q}{kT} (\psi(x) - \psi(x_0))}$$

↑
CONCENTRAZIONE DI PORTATORI

↑
PUNTI ANALISI

analogamente $p(x) = p(x_0) \cdot e^{-\frac{q}{kT} (\psi(x) - \psi(x_0))}$

$$p(x) = p(x_0) e^{-\frac{\psi(x) - \psi(x_0)}{V_T}}$$

$\frac{kT}{q} = V_T [V]$
T=300K
 $V_T \approx 26mV$
TENSIONE TERMICA

Se considero $x_0 = -x_p$ e $x = x_n$

$$n(x_n) = n(-x_p) \cdot e^{\frac{\psi(x_n) - \psi(x_p)}{V_T}} = n(-x_p) \cdot e^{\frac{\psi_{bi\phi}}{V_T}}$$

↑
 N_D

↑
 $\frac{n_i^2}{N_A}$

$$\psi_{bi\phi} = V_T \cdot \ln \frac{N_D N_A}{n_i^2}$$

CALCOLO AMPIEZZA REGIONE SVUOTATA

ALL'EQUILIBRIO $x_d = x_n + x_p$

$$E(x) = - \frac{d\varphi}{dx} \leftrightarrow E(x) dx = -d\varphi$$

$$\int_{-x_p}^{x_n} E(x) dx = \int_{\varphi(-x_p)}^{\varphi(x_n)} -d\varphi$$

area di un triangolo

$$x_d \cdot \left(+q \frac{N_D}{\epsilon_{si}} x_n \right) \cdot \frac{1}{2} = +\varphi_{bi\phi}$$

$$x_d = \frac{2 \epsilon_{si} \varphi_{bi\phi}}{x_n \cdot q \cdot N_D} \quad \left\{ \begin{array}{l} x_d = x_n + x_p \\ N_A \cdot x_p = N_D x_n \end{array} \right. \quad \left\{ \begin{array}{l} x_p = \frac{N_D}{N_A} x_n \\ x_d = x_n \left[1 + \frac{N_D}{N_A} \right] \end{array} \right. \Rightarrow x_n = \frac{x_d}{\left[1 + \frac{N_D}{N_A} \right]}$$

$$\frac{x_d^2}{1 + \frac{N_D}{N_A}} = \frac{2 \epsilon_{si} \cdot \varphi_{bi\phi}}{q \cdot N_D} \quad x_d^2 = \frac{2 \epsilon_{si}}{q} \cdot \frac{1}{N_D} \cdot \left(1 + \frac{N_D}{N_A} \right) \cdot \varphi_{bi\phi}$$

$$x_d = \sqrt{\frac{2 \epsilon_{si}}{q} \left(\frac{1}{N_D} + \frac{1}{N_A} \right) \cdot \varphi_{bi\phi}}$$

ESERCIZIO

① $N_A = 10^{17} \text{ cm}^{-3}$

$N_D = 10^{20} \text{ cm}^{-3}$

$\varphi_{bi\phi} = ?$

$x_d = ?$

$V_T = 25 \text{ mV}$

$n_i = 10^{10} \text{ cm}^{-3}$ per $T = 300 \text{ K}$

$\epsilon_{si} = \epsilon_0 \cdot \epsilon_r = 8,85 \cdot 10^{14} \frac{\text{F}}{\text{cm}} \cdot 11,7 = 0,113 \mu\text{m}$

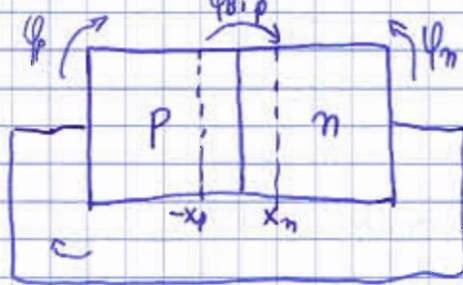
$E_{\text{max}}(0) = ?$

$$\varphi_{bi\phi} = V_T \cdot \ln \frac{N_D \cdot N_D}{n_i^2} = 0,025 \cdot \ln \frac{10^{17} \cdot 10^{20}}{(10^{10})^2} = 0,979 \text{ V}$$

$$x_d = \sqrt{\frac{2 \epsilon_{si}}{q} \left(\frac{1}{N_D} + \frac{1}{N_A} \right) \varphi_{bi\phi}} = \sqrt{\frac{2 \cdot 8,85 \cdot 10^{14} \cdot 11,7}{1,6 \cdot 10^{-19}} \left(\frac{1}{10^{17}} + \frac{1}{10^{20}} \right) \cdot 0,979}$$

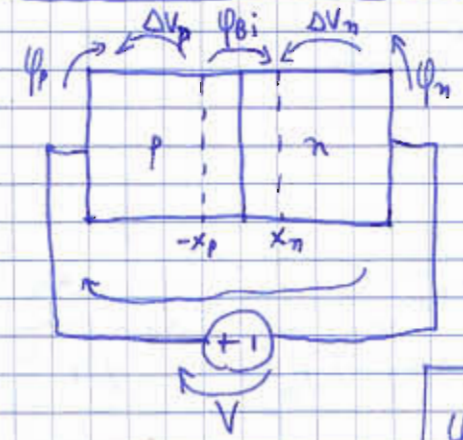
$$E_{\text{max}}(0) = \frac{2 \cdot \varphi_{bi\phi}}{x_d} = 173 \frac{\text{KV}}{\text{cm}}$$

POLARIZZAZIONE



$$\phi_p + \phi_{Bi} - \phi_n = 0 \Rightarrow \phi_{Bi} = \phi_n - \phi_p \text{ all'equilibrio}$$

In generale, se inserisco un generatore, posso polarizzare la giunzione



$$V + \phi_p - \Delta V_p + \phi_{Bi} - \Delta V_n - \phi_n = 0$$

$$\phi_{Bi} = \phi_n - \phi_p - V + \underbrace{\Delta V_p + \Delta V_n}_{\text{TRASCURABILI}}$$

nelle regioni quasi neutre il potenziale è costante

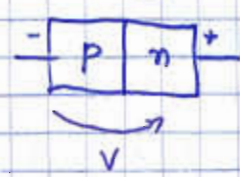
$$\phi_{Bi} = \phi_{Bi0} - V$$

Se applichiamo un potenziale alla giunzione, l'altezza di barriera

- diminuisce se $V > 0$
- aumenta se $V < 0$

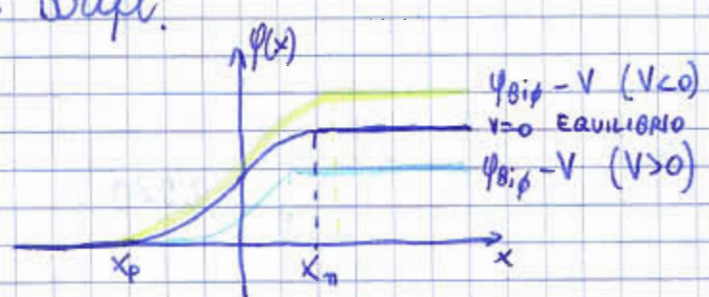


$V > 0$
GIUNZIONE IN DIRETTA

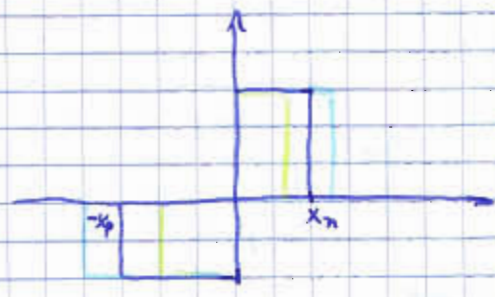
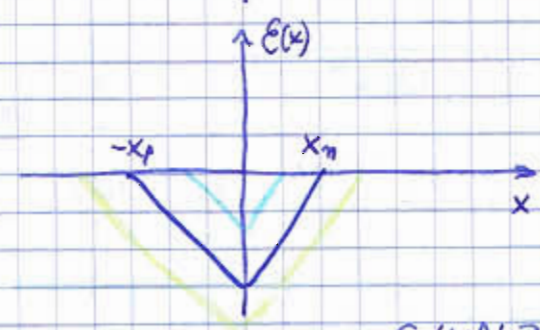


$V < 0$
GIUNZIONE POLARIZZATA IN INVERSA

Se abbassiamo la barriera, prevale la diffusione, altrimenti prevale il drift.



$$x_d \propto \sqrt{\phi_{Bi0} - V}$$



GIUNZIONE p-n

1) EQUILIBRIO $V=0$ DIFFUSION = DRIFT

2) POLARIZZAZIONE IN DIRETTA $V > 0$ DIFFUSION > DRIFT

3) POLARIZZAZIONE IN INVERSA $V < 0$ DIFFUSION < DRIFT

Se $V > 0$, si genera un campo elettrico (opposto al potenziale) opposto al campo elettrico di built-in, che pertanto si abbassa.

Viceversa, se $V < 0$, il campo elettrico che si genera ha lo stesso verso di E_{bi} , che pertanto si alza. La corrente, data da

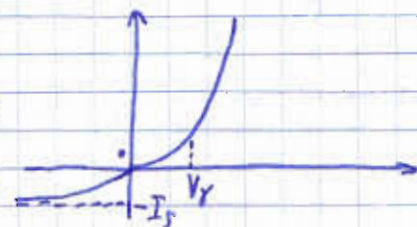
$$I = I_s (e^{\frac{V}{V_T}} - 1)$$

risulta:

• se $V = 0 \rightarrow I = 0$

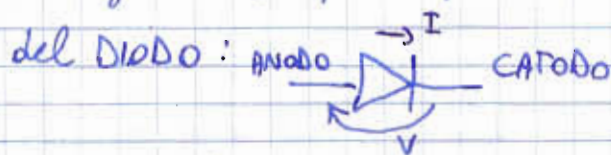
• se $V > 0 \rightarrow I \approx I_s e^{\frac{V}{V_T}}$ perché $e^{\frac{V}{V_T}} \gg 1$

• se $V < 0 \rightarrow I \approx -I_s$ perché $e^{\frac{V}{V_T}} \ll 1$

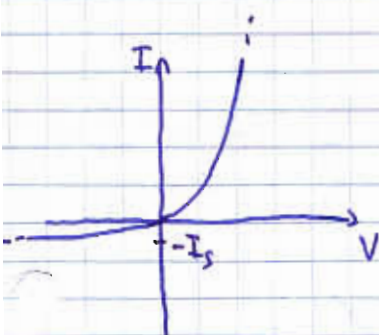


$$I_s \approx [10^{-15}, 10^{-12}] A$$

La giunzione p-n può essere rappresentata dal simbolo circuitale

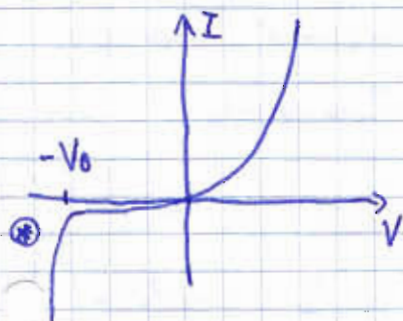


11/03/09



$$I = I_s (e^{\frac{V}{V_T}} - 1)$$

Nel caso di campi elettrici molto elevati (tensioni molto basse), gli effetti termici vengono dominati dal campo elettrico. La tensione sotto la quale avviene questo è la TENSIONE DI BREAK-DOWN.

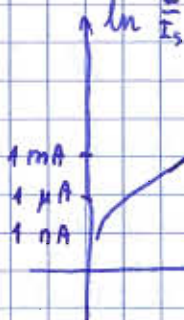


DIODO ZENER → progettato per lavorare prevalentemente nella $\textcircled{*}$ REGIONE DI SCARICA.

Per $V \gg V_T \rightarrow e^{\frac{V}{V_T}} \gg 1 \rightarrow I = I_s \cdot e^{\frac{V}{V_T}}$

$$\frac{I}{I_s} = e^{\frac{V}{V_T}} \rightarrow \ln \frac{I}{I_s} = \frac{V}{V_T}$$

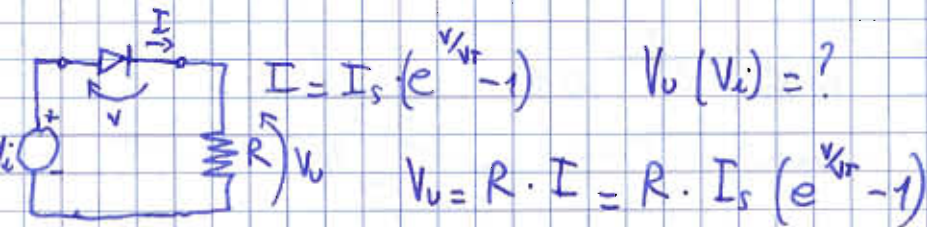
$$V = V_T \cdot \ln \frac{I}{I_S}$$



questo andamento è dato dal fatto che per tensioni molto grandi non si possono più trascurare le cadute di tensione nelle zone neutre.

Il modello funziona bene se sono vicino all'equilibrio.

APPLICAZIONI DEL DIODO A GIUNZIONE



applicando Kirchhoff: $V_i - V - V_u = 0$

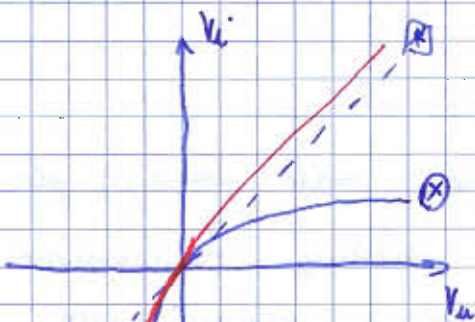
$$V_o = R \cdot I_S \left(e^{\frac{V_i - V_o}{V_T}} - 1 \right) \text{ equazione non lineare}$$

Ricavo quindi la funzione inversa $V_i(V_o)$ che è più semplice.

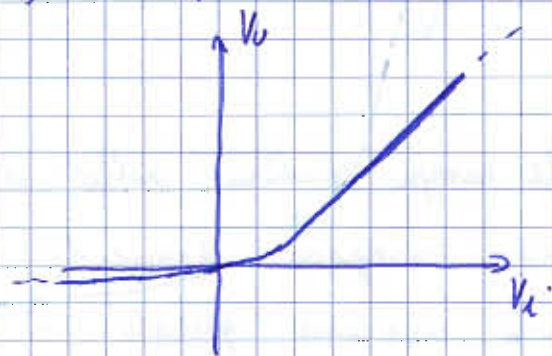
$$\frac{V_o}{R \cdot I_S} + 1 = e^{\frac{V_i - V_o}{V_T}}$$

$$\ln \left(\frac{V_o}{R \cdot I_S} + 1 \right) = \frac{V_i - V_o}{V_T}$$

$$V_i = V_o + V_T \ln \left(\frac{V_o}{R \cdot I_S} + 1 \right)$$

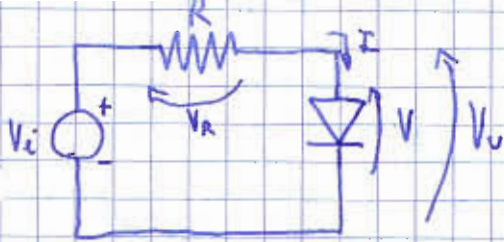


inverto



Una segnale di tensione abbastanza > 0 , l'ingresso viene portato in uscita a meno di una leggera attenuazione

Questo circuito è un RADDRIZZATORE A 1 SEMIONDA: le onde entranti vengono fatte uscire ~~invertite~~ nella loro parte negativa. Mentre il valore medio del segnale in ingresso è nullo, il segnale in uscita è diverso da zero.

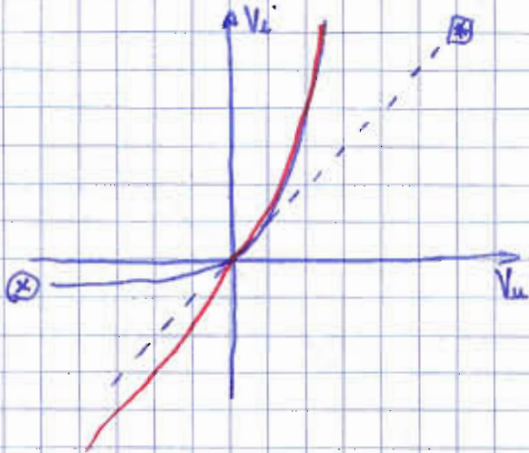


$$V_u(V_i) = ?$$

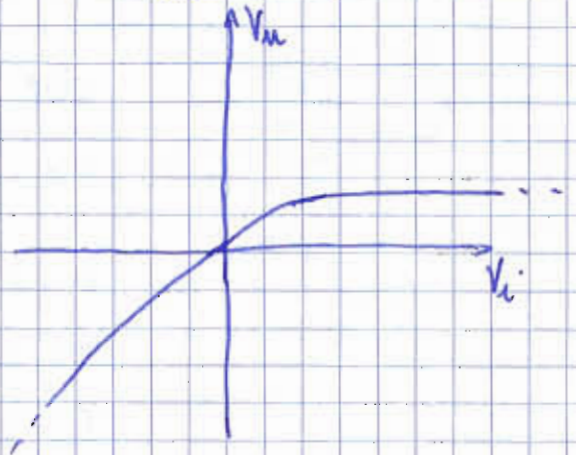
$$V_u = V$$

$$V_R = R \cdot I \quad V_i - V_R - V_u = 0 \rightarrow V_R = V_i - V_u$$

$$V_i - V_u = R \cdot I_s \left(e^{\frac{V_u}{V_T}} - 1 \right) \Rightarrow V_i = V_u + R \cdot I_s \left(e^{\frac{V_u}{V_T}} - 1 \right)$$



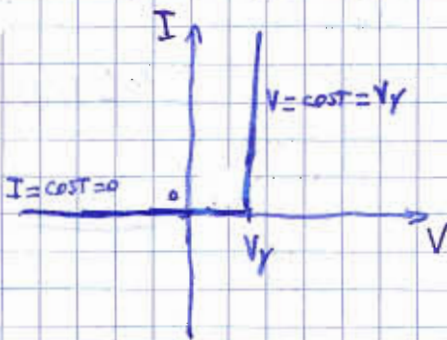
\Rightarrow



CIRCUITO LIMITATORE: limita superiormente il segnale di uscita

In polarizzazione diretta: $\frac{dI}{dV} \gg 0$ pertanto posso approssimare l'esponenziale a una retta verticale e un certo punto.

In polarizzazione inversa: $\frac{dI}{dV} \ll 1$, pertanto posso approssimarla a una retta costante $-I_s = 0$



MODELLO REGIONALE \rightarrow lineare a tratti

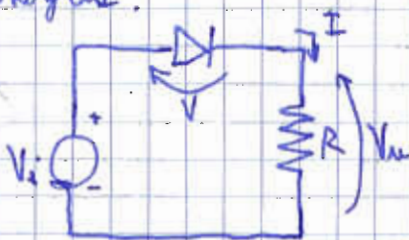
\hookrightarrow INVERSA: $I = 0, V < V_\gamma$

\hookrightarrow DIRETTA: $I > 0, V = V_\gamma$

MODELLO A SOGLIA

$$V_\gamma \approx 0,6 \div 0,7 V$$

Analizziamo il raddrizzatore a una semionda sulla base del modello a soglia:



OFF: $I = 0, V < V_\gamma$

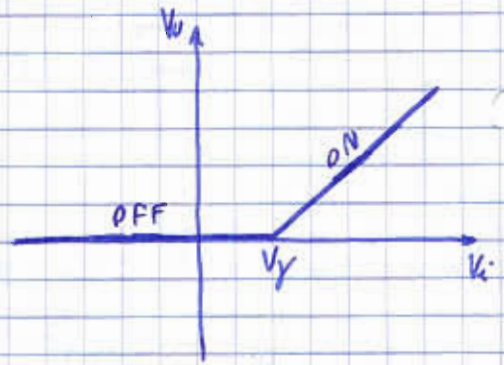
ON: $V = V_\gamma, I > 0$

Risolvo il circuito nei due casi.

$$\textcircled{1} V_u = R \cdot I \quad \textcircled{2} V_i - V - V_u = 0 \rightarrow V = V_i - V_u$$

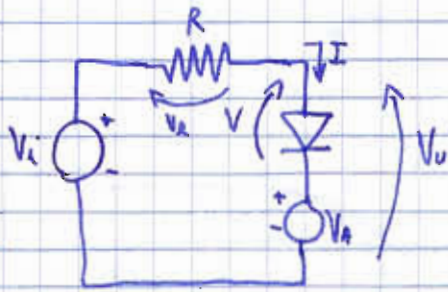
Diodo OFF

$I = 0 \xrightarrow{①} V_u = R \cdot I = 0$
 $V < V_f \xrightarrow{②} V_i - V_u < V_f \rightarrow V_i < V_f$

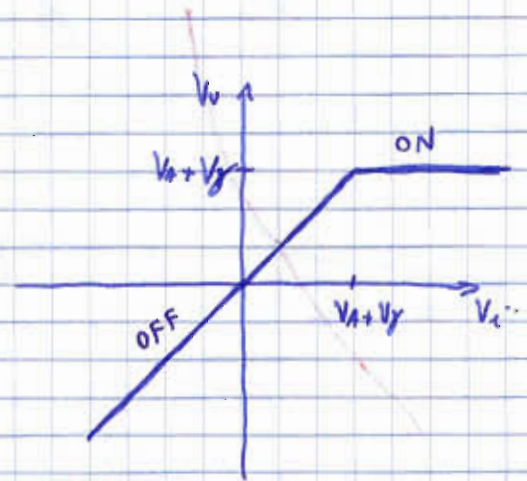


Diodo ON

$V = V_f \xrightarrow{②} V_f = V_i - V_u \rightarrow V_u = V_i - V_f$
 $I > 0 \xrightarrow{①} V_u > 0 \rightarrow V_i - V_f > 0 \rightarrow V_i > V_f$



OFF $I = 0 \quad V < V_f$
 ON $I > 0 \quad V = V_f$
 $V_R = R \cdot I \quad ①$
 $V_u = V + V_A \quad ②$
 $V_i - V_R - V_u = 0 \quad ③$



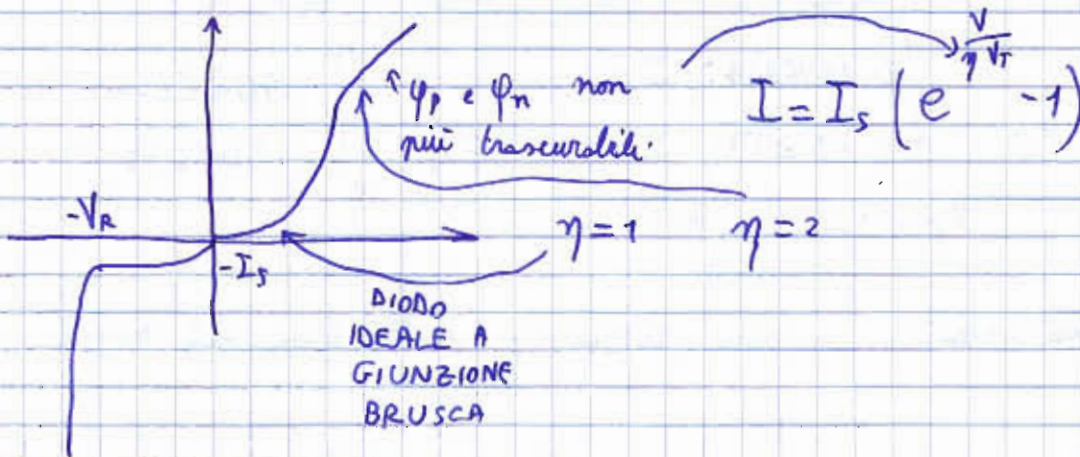
Diodo Off

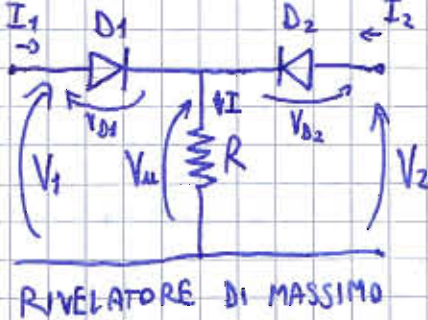
$I = 0 \xrightarrow{①} V_R = 0 \xrightarrow{③} V_i = V_u$
 $V < V_f \xrightarrow{②} V_u - V_A < V_f \rightarrow V_i - V_A < V_f \rightarrow V_i < V_A + V_f$

Diodo ON

$V = V_f \xrightarrow{②} V_u = V_f + V_A$
 $I > 0 \xrightarrow{①} V_R > 0 \xrightarrow{③} V_R = V_i - V_u > 0 \rightarrow V_i > V_u \rightarrow V_i > V_f + V_A$

16/03/09





	ON	OFF
ON	$V_1 - V_f$ ($V_1 = V_2$)	$V_1 - V_f$ ($V_2 < V_1$)
OFF	$V_2 - V_f$ ($V_1 < V_2$)	0

diodi si analizzano con delle ipotesi accorate
spente

① D_1 ON, D_2 OFF
 $\rightarrow V_1 > V_f$

$$\left. \begin{aligned} V_{01} &= V_f \\ V_{02} &= V_1 - V_{01} \end{aligned} \right\} \begin{aligned} V_{01} &= V_1 - V_f \\ &\text{ingresso - caduta sul diodo} \end{aligned}$$

$$\begin{aligned} V_{02} &< V_f \\ V_2 - V_{01} &< V_f \\ V_2 - V_1 + V_f &< V_f \\ \boxed{V_2 < V_1} & \text{ con } V_1 > V_f \end{aligned}$$

② D_1 OFF, D_2 ON

$$\begin{aligned} V_{02} &= V_2 - V_{01} = V_f \rightarrow V_{01} < V_f \Leftrightarrow V_1 - V_{01} < V_f \\ V_{01} &= V_2 - V_f, V_2 > V_f \end{aligned} \quad \begin{aligned} V_1 - V_2 + V_f &< V_f \\ \boxed{V_1 < V_2} \end{aligned}$$

③ D_1 OFF, D_2 OFF

$$I = I_1 + I_2$$

$$D_1 \text{ OFF} \rightarrow I_1 = 0$$

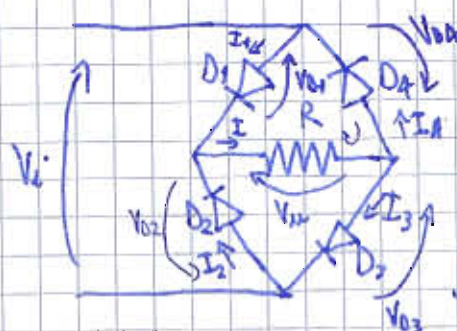
$$D_2 \text{ OFF} \rightarrow I_2 = 0$$

$$\Rightarrow I = 0 \Rightarrow V_0 = R \cdot I = 0$$

④ D_1 ON, D_2 ON

$$\begin{aligned} V_{01} &= V_f = V_1 - V_{01} \\ V_{02} &= V_f = V_2 - V_{01} \Rightarrow V_1 - V_{01} = V_2 - V_{01} \Rightarrow \boxed{V_1 = V_2} \end{aligned}$$

RADDRIZZATORE A DOPPIA SEMIONDA



$$V_0 = R \cdot I \quad I = I_1 + I_2 = I_3 + I_4 \quad \text{Kirchhoff}$$

① D_1 ON $\rightarrow I_1 > 0 \xrightarrow{I_2 > 0} I > 0 \rightarrow V_0 = R \cdot I > 0$
 $V_{01} = V_f$

Studio la maglia $D_1 - R - D_4$ con verso orario

$$V_{01} + V_{01} + V_{04} = 0 \rightarrow V_{04} = -(V_{01} + V_{01}) = -(V_{01} + V_f) < 0 \Rightarrow \underline{\underline{D_4 \text{ OFF}}}$$

$\downarrow > 0 \quad \downarrow > 0$

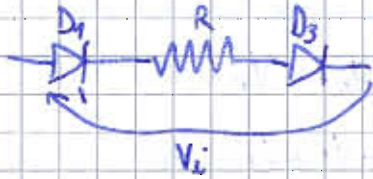
$I_4 = 0$

$$I_A = 0 \Rightarrow I_3 > 0 \Rightarrow \underline{D_3 \text{ ON}} \Rightarrow V_{D3} = V_Y$$

Considero la maglia composta da R, D_3, D_2 in senso antiorario

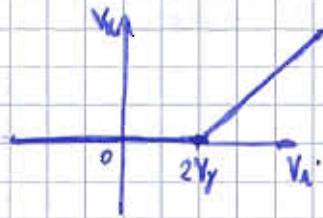
$$V_{D3} + V_u + V_{D2} = 0 \Rightarrow V_{D2} = -(V_u + V_{D3}) = -(V_u + V_Y) < 0 \quad \underline{D_2 \text{ OFF}}$$

Il circuito diventa quindi



$$V_i = V_{D3} + V_u + V_{D1} = V_u + 2V_Y \Leftrightarrow V_u = V_i - 2V_Y$$

con $V_i > 2V_Y$



② Suppongo $D_2 \text{ ON}$ ($V_i < 0$)

$$V_{D2} = V_Y \rightarrow I_2 > 0 \rightarrow I > 0 \rightarrow V_u = R \cdot I > 0$$

Considero la maglia $D_2 - R - D_3$ in senso antiorario

$$V_{D3} + V_u + V_{D2} = 0 \quad V_{D3} = -(V_{D2} + V_u) < 0 \quad D_3 \text{ OFF} \rightarrow I_3 = 0$$

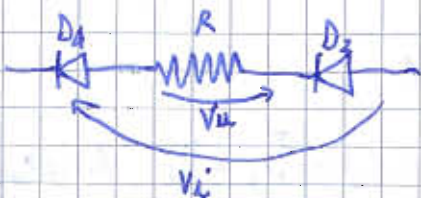
\downarrow \downarrow
 > 0 $= V_Y > 0$

$$I = I_3 + I_4 > 0 \rightarrow I_3 = 0 \rightarrow I_4 > 0 \rightarrow \underline{D_4 \text{ ON}}$$

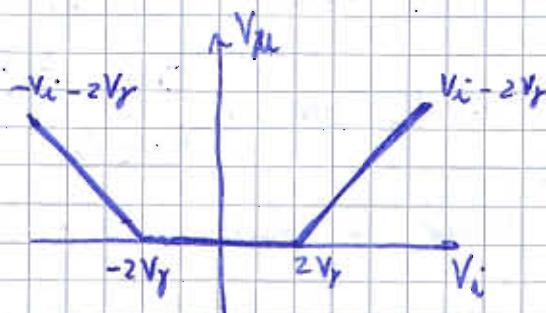
Considero la maglia $D_4 - D_1 - R$ in senso orario

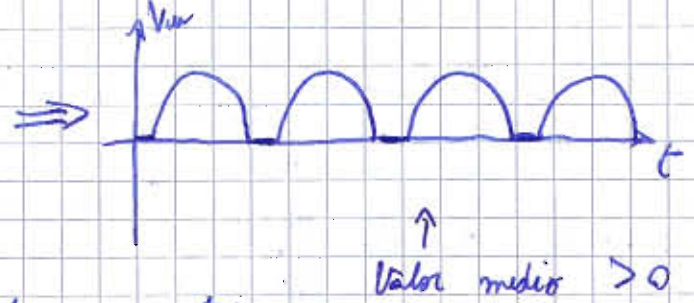
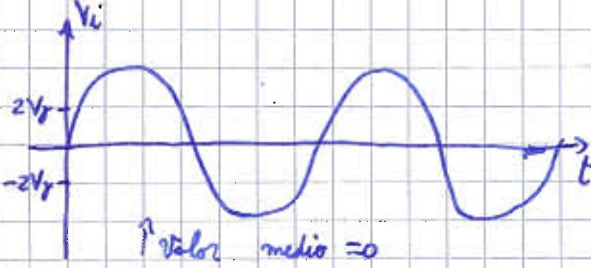
$$V_{D4} + V_u + V_{D1} = 0 \rightarrow V_{D1} = -(V_u + V_{D4}) < 0 \Rightarrow \underline{D_1 \text{ OFF}}$$

Il circuito diventa



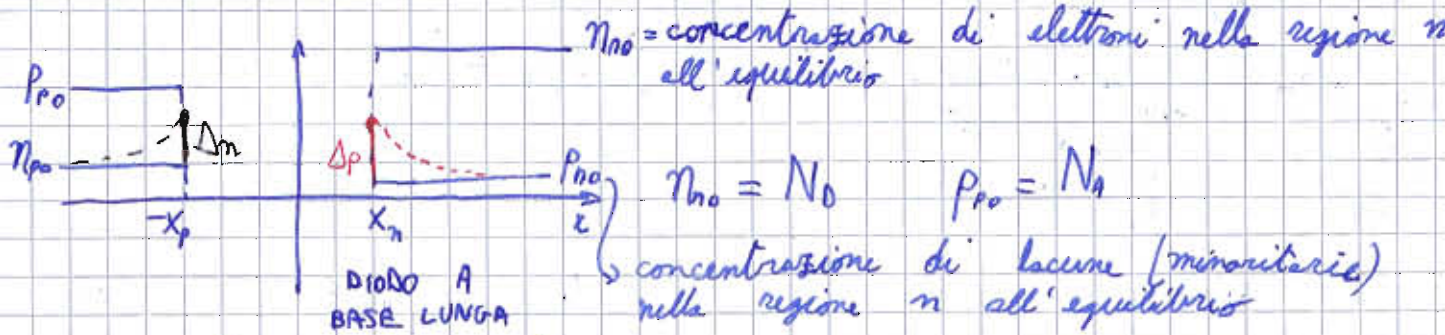
$$V_i + V_Y + V_u + V_Y = 0 \quad V_u = -V_i - 2V_Y$$





Reddubbiata anche le semionde negative.

Considero la giunzione p-n



$$p_{n0} = \frac{n_i^2}{N_D} \quad n_{p0} = \frac{n_i^2}{N_A}$$

Polarizzato in diretta ($V > 0$), cioè diffusione > drift. La concentrazione di portatori cambia (non sono più in equilibrio), in particolare di quelli minoritari.

$$p_n(x_n) = p_p(-x_p) \cdot e^{-\frac{\phi_0 - V}{v_T}} \quad \text{dove ho usato } p(x_2) = p(x_1) \cdot e^{-\frac{\phi(x_2) - \phi(x_1)}{v_T}}$$

$$= \underbrace{p_p(-x_p)}_{\substack{\uparrow \\ \text{lacune} \\ \text{maggioritarie}}} \cdot e^{-\frac{\phi_0}{v_T}} \cdot e^{\frac{V}{v_T}} = p_{np} \cdot e^{\frac{V}{v_T}} = \frac{n_i^2}{N_D} \cdot e^{\frac{V}{v_T}}$$

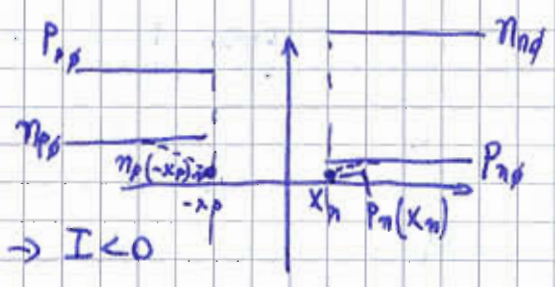
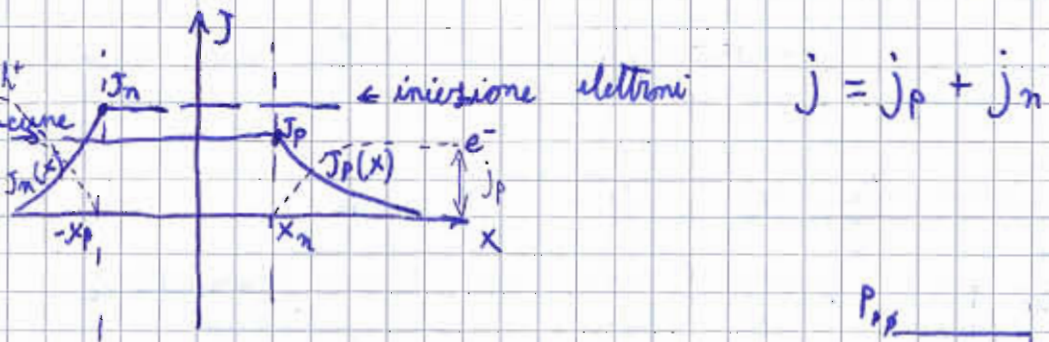
concentrazione di minoritari in regione n

$$\Delta p = p_n(x_n) - p_{np} = \frac{n_i^2}{N_D} (e^{\frac{V}{v_T}} - 1) \quad \text{e analogamente}$$

$$\Delta n = n_p(-x_p) - n_{pn} = \frac{n_i^2}{N_A} (e^{\frac{V}{v_T}} - 1)$$

$J_n = q n \mu_n E + q D_n \frac{dn}{dx}$ ma nelle regioni quasi neutre, $E=0$
 $J_p = q p \mu_p E - q D_p \frac{dp}{dx}$ non più nulla

DIODO A BASE LUNGA \rightarrow l'eccesso di portatori tende a 0 lungo x.



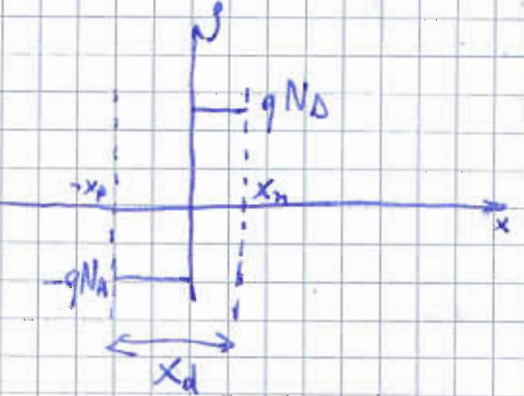
Mentre in inverse ($V < 0$) avrai
 Le lacune vanno verso l'anodo $\rightarrow I < 0$

Variando la tensione, varia la carica \Rightarrow comportamento capacitivo
 \Rightarrow all'accensione e allo spegnimento del diodo avrai dei ritardi.

$C = \frac{dQ}{dV}$ per condensatori a facce piane parallele \rightarrow capacità fissa

Nei s.c. la capacità è funzione della tensione.

CAPACITÀ DI GIUNZIONE

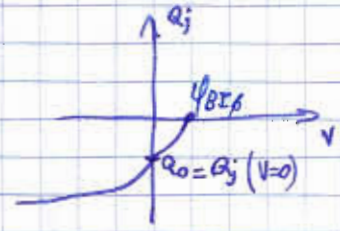


$$x_d = \sqrt{\frac{2\epsilon_s}{q} \left(\frac{1}{N_A} + \frac{1}{N_D} \right) (\phi_{Bi} - V)}$$

$$Q_j = -q N_A \cdot x_p \quad x_p = \frac{x_d}{1 + \frac{N_A}{N_D}}$$

$$Q_j = -q N_A \cdot N_D \cdot \frac{1}{N_A + N_D} \cdot \sqrt{\frac{2\epsilon_s}{q} \left(\frac{1}{N_A} + \frac{1}{N_D} \right) (\phi_{Bi} - V)} =$$

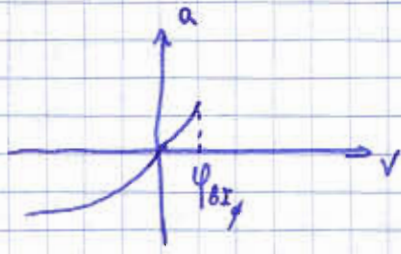
$$= - \sqrt{\frac{2\epsilon_s q^2}{q \left(\frac{1}{N_A} + \frac{1}{N_D}\right)}} \left(\psi_{BI\phi} - V\right) = - \sqrt{\frac{2\epsilon_s q}{\frac{1}{N_A} + \frac{1}{N_D}}} \left(\psi_{BI\phi} - V\right)$$



Definisco $Q = Q_j - Q_0$

$$C_j = \frac{dQ}{dV} = \frac{dQ_j}{dV} \quad \text{perché } dQ_0 = 0 \quad \downarrow \quad \text{cost.}$$

CAPACITÀ DI GIUNZIONE



$$C_j(V) = \frac{d}{dV} \left[- \sqrt{\frac{2\epsilon_s q}{\frac{1}{N_A} + \frac{1}{N_D}}} \left(\psi_{BI\phi} - V\right) \right] = - \sqrt{\frac{2\epsilon_s q}{\frac{1}{N_A} + \frac{1}{N_D}}} \cdot \frac{d}{dV} \left(\psi_{BI\phi} - V\right)^{1/2} =$$

$$= \frac{1}{2} \sqrt{\frac{2\epsilon_s q}{\frac{1}{N_A} + \frac{1}{N_D}}} \cdot \frac{1}{\sqrt{\psi_{BI\phi} - V}} = \sqrt{\frac{\epsilon_s q}{2 \left(\frac{1}{N_A} + \frac{1}{N_D}\right) \sqrt{\psi_{BI\phi} - V}}} = \frac{C_{j0}}{\sqrt{1 - \frac{V}{\psi_{BI\phi}}}}$$

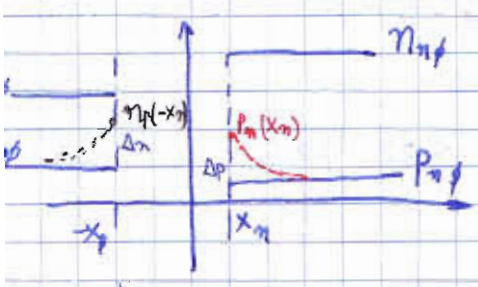
C_{j0} non dipende da V

Oppure, un altro modo per scrivere questa formula è:

$$C_j = \frac{\epsilon_s \cdot q}{\sqrt{2 \left(\frac{1}{N_A} + \frac{1}{N_D}\right) (\psi_{BI\phi} - V)}} \cdot \frac{\epsilon_s}{\epsilon_s} = \frac{\epsilon_s}{\sqrt{\frac{2\epsilon_s q}{\left(\frac{1}{N_A} + \frac{1}{N_D}\right) (\psi_{BI\phi} - V)}}} = \frac{\epsilon_s}{x_d} \left[\frac{F}{\text{cm}^2} \right]$$

CAPACITÀ PER UNITÀ D'AREA

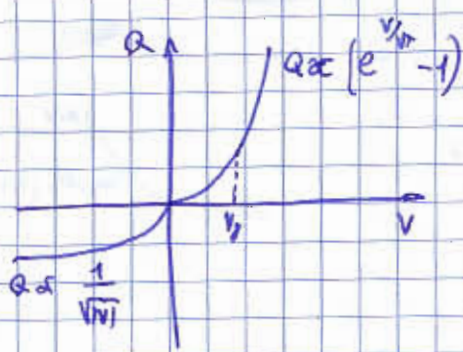
CAPACITÀ DI DIFFUSIONE



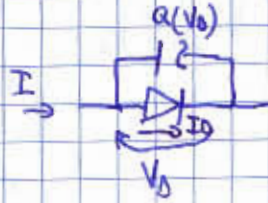
$$Q = Q_{0p} \left(e^{\frac{V}{V_T}} - 1 \right) \quad \frac{Q}{I} = \frac{Q_{0p}}{I_s} \left(e^{\frac{V}{V_T}} - 1 \right) = \text{cost.} \cdot \tau$$

$$\Delta n \propto \left(e^{\frac{V}{V_T}} - 1 \right) \quad \Delta p \propto \left(e^{\frac{V}{V_T}} - 1 \right) \quad Q = I \cdot \tau \quad \text{ma } I = I_s \left(e^{\frac{V}{V_T}} - 1 \right)$$

$$Q = \tau I_s \left(e^{\frac{V}{V_T}} - 1 \right) \quad C_{\text{DIFF}}(V) = \frac{dQ}{dV} = \frac{\tau \cdot I_s}{V_T} \cdot e^{\frac{V}{V_T}} = \frac{\tau \cdot I}{V_T}$$



Introduco il concetto di CONDENSATORE ANOMALO, di cui indico $Q(V)$



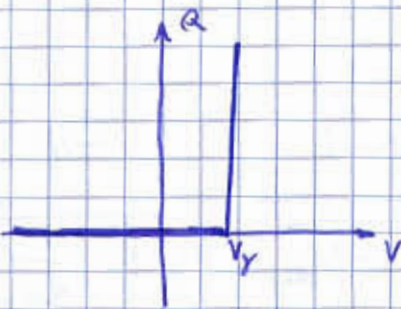
per $t \rightarrow \infty$, $\frac{dQ}{dt} = 0$, ma per istanti vicini alla commutazione non è trascurabile

$$I_D = \frac{Q}{\tau} \quad I = I_D + \frac{dQ}{dt} = \frac{Q}{\tau} + \frac{dQ}{dt}$$

↑ modello statico

↑ dipende dal tempo

SEMPLIFICAZIONI



$$Q = \tau I \quad \text{se } V = V_f$$

$$Q = 0 \quad \text{se } V < V_f$$

17/03/09

Data una giunzione p-n con

$$N_A = 10^{16} \text{ cm}^{-3}$$

$$N_D = 10^{19} \text{ cm}^{-3}$$

$$A_D = 5 \cdot 10^{-5} \text{ cm}^2$$

$$C_j = ? \quad \begin{cases} V_0 = 0 \\ V_0 = -3V \\ V_0 = 0,7V \end{cases}$$

$$C_j = \frac{C_{j0}}{\sqrt{1 - \frac{V_0}{\phi_{012}}}}$$

$$C_{j0} = \sqrt{\frac{\epsilon_s \cdot q}{2} \cdot \frac{1}{\frac{1}{N_A} + \frac{1}{N_D}} \cdot \frac{1}{\phi_{012}}}$$

$$\phi_{012} = V_T \cdot \ln \frac{N_A N_D}{n_i^2} = 0,9 \text{ V}$$

↑
26mV

$$A \cdot C_{j0} = 30,14 \frac{\text{nF}}{\text{cm}^2} \cdot 5 \cdot 10^{-5} \text{ cm}^2 = 1,52 \text{ pF}$$

$$C_j = C_{j0} = 1,52 \text{ pF} \quad \text{se } V_0 = 0$$

$$C_j = \frac{C_{j0} \cdot A}{\sqrt{1 - \frac{-3}{0,9}}} = 730,2 \text{ fF} \quad \text{se } V_0 = -3V$$

$$C_j = \frac{C_{j0} \cdot A}{\sqrt{1 - \frac{0,7}{0,9}}} = 3,22 \text{ pF} \quad \text{se } V_0 = 0,7V$$

diretta

Diode

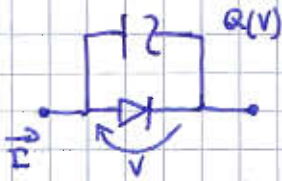
$$I_s = 1,35 \cdot 10^{-14} \text{ A}$$

$$C_D = \tau \cdot \frac{I}{V_T} = \tau \cdot \frac{I_s}{V_T} (e^{\frac{V}{V_T}} - 1) = 70,58 \text{ pF} \quad \text{se } V_0 = 0,7V$$

diffusione

$$\tau = 274,73 \text{ pS}$$

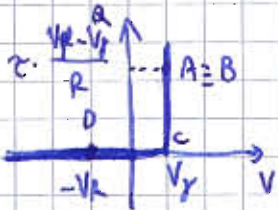
$$V_T = 26 \text{ mV}$$



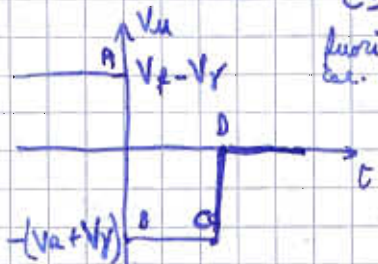
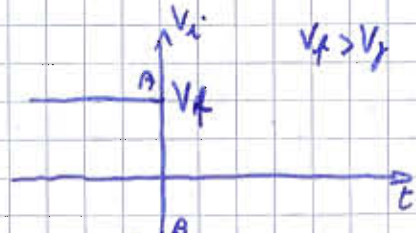
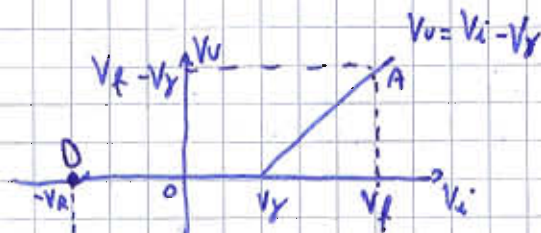
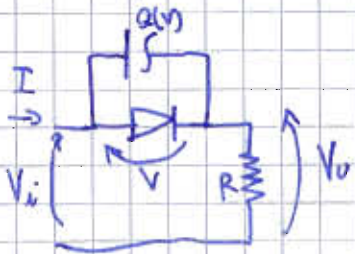
$$I = \frac{Q}{\tau} + \frac{dQ}{dt}$$

contributo del condensatore non ideale

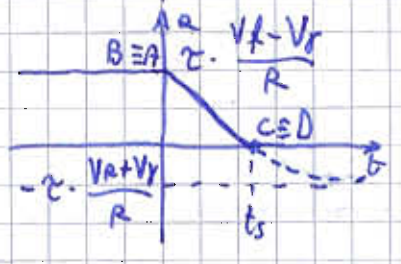
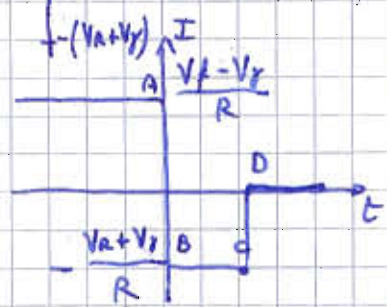
Usa il modello a soglia



$Q > 0 \quad V = V_f$
 $Q = 0 \quad V < V_f$



C ≡ B fuori della cat. statica



A) $t < 0, V_i = V_f > V_f, \text{ Don, } V_u = V_f - V_f$

$$I = \frac{Q}{\tau} + \frac{dQ}{dt} = \frac{V_u}{R} = \frac{V_f - V_f}{R} \quad Q = \tau \cdot I = \tau \cdot \frac{V_f - V_f}{R}$$

Dato che sono presenti capacità, tra l'istante $0^- (V_i = V_f)$ e $0^+ (V_i = -V_r)$ le cariche non può variare istantaneamente.

B) $t = 0, V_i = -V_r, Q(0^+) = Q(0^-), V(0^-) = V(0^+) = V_f$

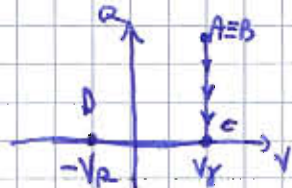
$$V = V_i(0^+) - V_u(0^+) = V_f \Rightarrow V_u(0^+) = V_i(0^+) - V_f = -V_r - V_f$$

$$I = \frac{V_u}{R} = \frac{-V_r - V_f}{R}$$

corrente uscente, diminuisce le cariche, corrente di spostamento

C) $t > 0$

$$I = \frac{Q}{\tau} + \frac{dQ}{dt} = -\frac{V_r - V_f}{R}$$



Per sbloccare la situazione e far spegnere il diodo dobbiamo annullare la carica:

$$\frac{dQ}{dt} + \frac{Q}{\tau} = -\frac{V_r + V_f}{R} \quad \text{ha come soluzione} \quad Q(t) = A e^{-t/\tau} + B$$

Determino A e B: $Q(0^+) = A + B = \tau \cdot \frac{V_f - V_r}{R}$

$$Q(+\infty) = B = -\tau \cdot \frac{V_r + V_f}{R}$$

$$A = \tau \cdot \frac{V_f - V_r}{R} + \tau \cdot \frac{V_r + V_f}{R} = \frac{\tau}{R} (V_f + V_r)$$

$$Q(t) = \frac{\tau}{R} (V_f + V_r) e^{-t/\tau} - \tau \cdot \frac{V_r + V_f}{R} = \frac{\tau}{R} \left[(V_f + V_r) e^{-t/\tau} - (V_r + V_f) \right]$$

$t_s \rightarrow$ tempo in cui annulla la carica (TEMPO DI STORAGE)

$$Q(t_s) = 0 \quad \frac{\tau}{R} \left[(V_f + V_r) e^{-t_s/\tau} - (V_r + V_f) \right] = 0 \quad e^{-t_s/\tau} = \frac{V_r + V_f}{V_f + V_r}$$

$$-\frac{t_s}{\tau} = \ln \frac{V_r + V_f}{V_f + V_r} \Rightarrow \boxed{t_s = \tau \cdot \ln \frac{V_f + V_r}{V_r + V_f}}$$

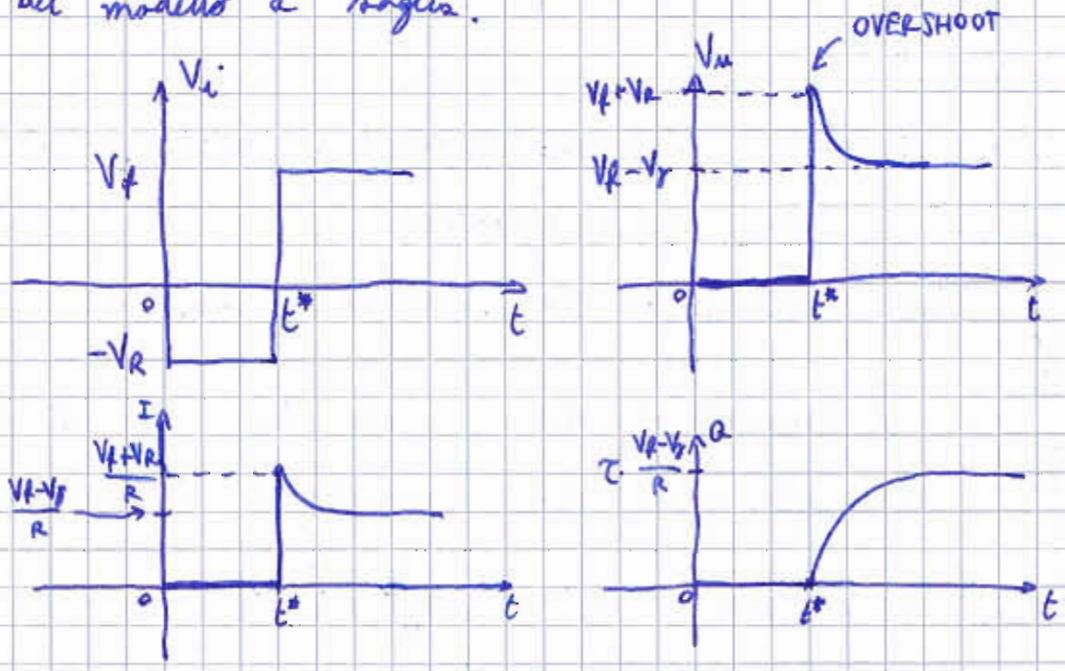
D) $t > t_s$ $I = \frac{Q}{\tau} + \frac{dQ}{dt} = 0$ non deve riportare più nessuna carica

I e V_D variano istantaneamente a 0 perché usiamo il modello a soglia.

CAPACITÀ DIFFUSIONE → domina in diretta

CAPACITÀ SVUOTAMENTO → domina in inversa

Per passare da V_f a V_r ci metto un tempo $t=0$ perché non devo spostare carica. I tratti verticali sono dovuti all'uso del modello a soglia.



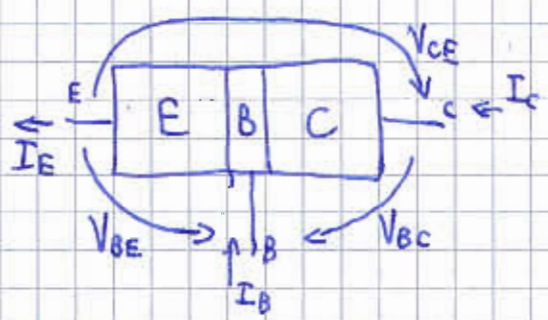
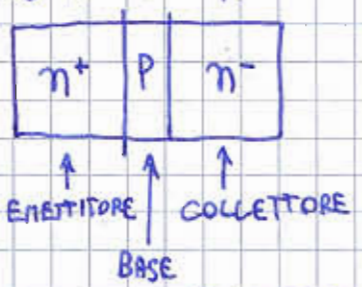
$t = t^*$: $V_i = V_f$ ma non posso avere variazione istantanea della tensione ai capi del diodo.

$$V_i(t^*) - V_u(t^*) = V_i(t^{*+}) - V_u(t^{*+}) \quad V_u(t^{*+}) = V_f + V_r$$

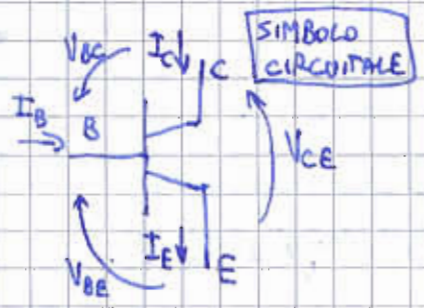
DIOLO SPENTO

N_{D_E}	N_{A_B}	N_{D_C}
" "	" "	" "
10^{17}	10^{15}	10^{13}
[cm ⁻³]		

BJT = Bipolar Junction Transistor = TRANSISTORE BIPOLARE A GIUNZIONE



La freccia punta al potenziale maggiore



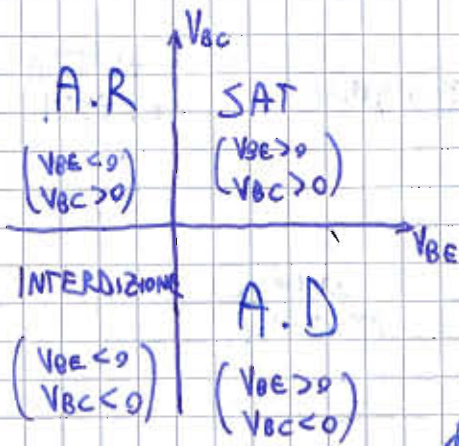
Oltre al BJTnpn, esiste anche il complementare BJTpnp.

La larghezza della base è sufficientemente piccola affinché le due giunzioni risentano l'una dell'altra, generando l'EFFETTO TRANSISTOR.

$$V_{CE} = V_{BE} - V_{BC}$$

È un dispositivo controllato in corrente, in particolare della corrente I_B .

$$I_E = I_B + I_C$$



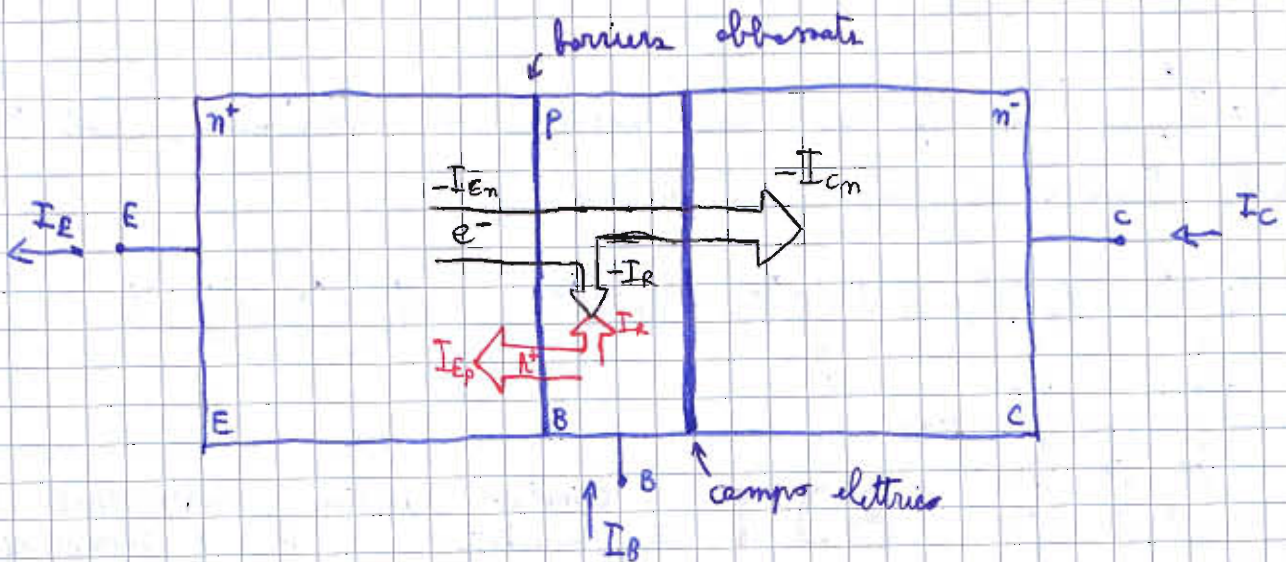
A.R. = ACTIVE REVERSE o INVERSA

SAT = SATURAZIONE

A.D. = ATTIVA DIRETTA o NORMALE

Il dispositivo NON è simmetrico perché il drogaggio delle due regioni n è diverso.

REGIONE A.D. → funzione di amplificatore



$\begin{cases} V_{BE} > 0 \\ V_{BC} < 0 \end{cases}$
 La giunzione base-emettitore è polarizzata in diretta, mentre quella base-collettore in inversa.

La polarizzazione in inversa prevede un forte campo elettrico nella giunzione. Gli elettroni eccitati dell'emettitore, un po' si ricombinano con le lacune e un po' vengono "assorbiti" nel collettore.

Se la base fosse molto ampia, tutti gli elettroni verrebbero ricombinati e avrei due giunzioni indipendenti (due diodi).

$$I_B = I_R + I_{EP}$$

$$I_E - I_{EN} = I_{EP} \Rightarrow I_E = I_{EN} + I_{EP}$$

$$I_C - I_{CN} = 0 \Rightarrow I_C = I_{CN}$$

$$-I_{EN} = -I_R - I_{CN} \Rightarrow I_{CN} = I_{EN} - I_R$$

GUADAGNO DI CORRENTE \rightarrow dice quanto amplifica il BJT
(connessione a emettitore comune)

$$\beta_F = \frac{I_C}{I_B} = \frac{I_{EN} - I_R}{I_{EP} + I_R}$$

$$\beta_F \uparrow \text{ se } I_{EP} \downarrow$$

$$\beta_F \uparrow \text{ se } \begin{matrix} I_R \downarrow \\ I_{EN} \uparrow \\ I_R \downarrow \end{matrix} \quad \text{--- meglio diminuire } I_R$$

$\beta_F \approx 100$ in A.D.

Più la base è stretta, meno tempo hanno i portatori per ricombinarsi
più piccola sarà I_R . C'è però un limite minimo di larghezza della base.

Per aumentare I_{EN} devo drogare molto n^+ , quindi aumentando N_{oc}
(circa due ordini di grandezza tra base-emettitore).

Per diminuire I_{EP} devo drogare meno, ma sempre più del collettore
così la regione svuotata si estende di più dalla parte del collettore
< meno della base che, essendo sottile, rischierebbe di sovrapporsi
all'emettitore.

GUADAGNO DI CORRENTE
(connessione a base comune)

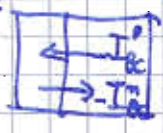
$$\alpha_F = \frac{I_C}{I_E} = \frac{I_{EN} - I_R}{I_{EN} + I_{EP}} < 1 \approx 0,99$$

$$I_E = I_C + I_B$$

$$\alpha_F = \frac{I_C}{I_C + I_B} = \frac{I_C/I_B}{I_C/I_B + 1} = \frac{\beta_F}{\beta_F + 1}$$

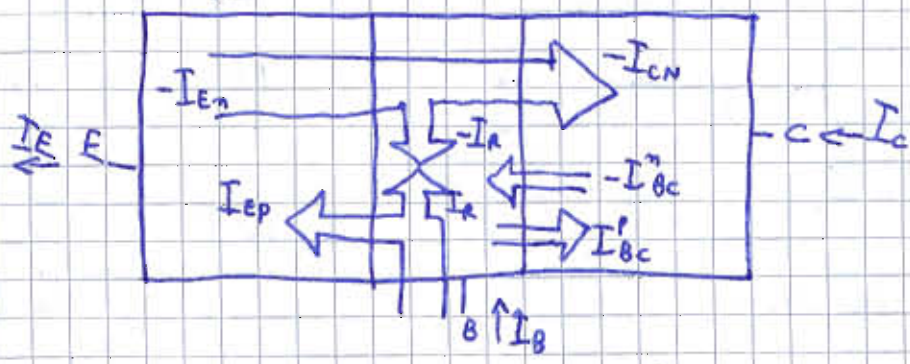
$$\beta_F = \frac{I_C}{I_B} = \frac{I_C}{I_E - I_C} = \frac{I_C/I_E}{1 - I_C/I_E} = \frac{\alpha_F}{1 - \alpha_F}$$

Il grado di polarizzazione di n^- conta poco perché il suo compito è prendere gli elettroni emessi dall'emettitore.
 In realtà, il collettore manda lacune in base e la base manda elettroni in collettore, ma siccome sono piccole le correnti generate le trascuriamo.



SATURAZIONE

$V_{BE} > 0$
 $V_{BC} > 0$

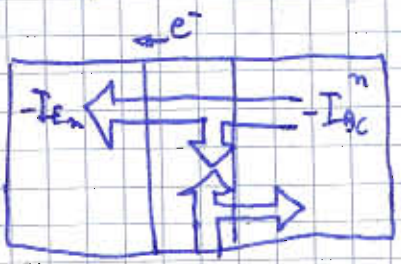


$$I_c - I_{cN} + I_{bc}^p = -I_{bc}^n \quad I_c = I_{cN} - I_{bc}^p - I_{bc}^n$$

Quindi in saturazione I_c cala rispetto alla regione A.D.
 In saturazione il dispositivo non amplifica.

I_B aumenta e non vale più $I_c = \beta_F \cdot I_B$, bensì $I_c < \beta_F \cdot I_B$

INVERSA



Ma $|-I_{En}|$ è più piccolo della $|-I_{cN}|$ ^{in A.D.} perché il collettore è meno polarizzato, pertanto il dispositivo non è simmetrico.

I_c è negativa perché gli elettroni si muovono nel suo stesso verso.

$$\beta_R = \frac{|I_E|}{|I_B|} \approx 0,1 \quad I_c = -\beta_R I_B$$

⇒ funzionamento peggiore in inversa

$$\alpha_R = \frac{I_E}{I_C} = 0,09$$

$$I_E = I_B + I_C \Rightarrow I_C = -(\beta_R + 1) \cdot I_B < 0$$

$$I_B = I_B(V_{BE}, V_{BC})$$

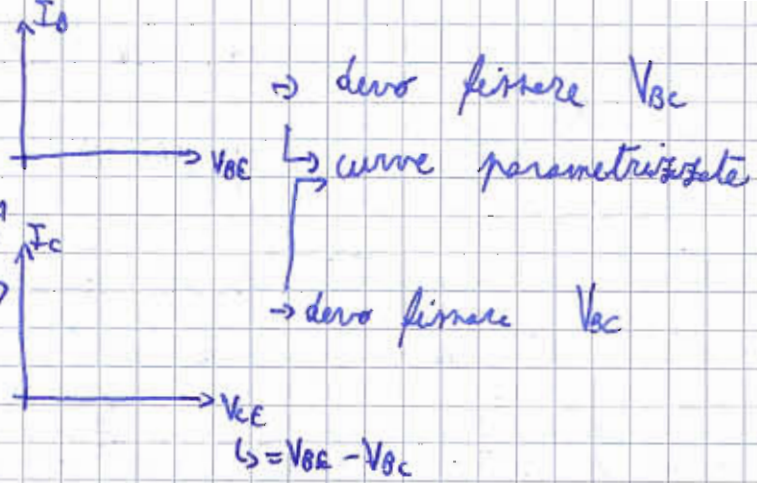
$$I_C = I_C(V_{BE}, V_{BC})$$

emettitore comune

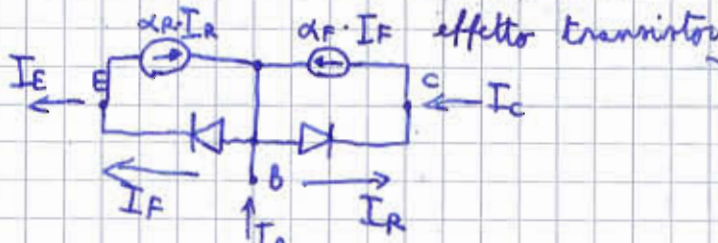
$$I_C(V_{BE}, V_{CE})$$

$$I_B(V_{BE}, V_{CE})$$

⇒ uso dei modelli



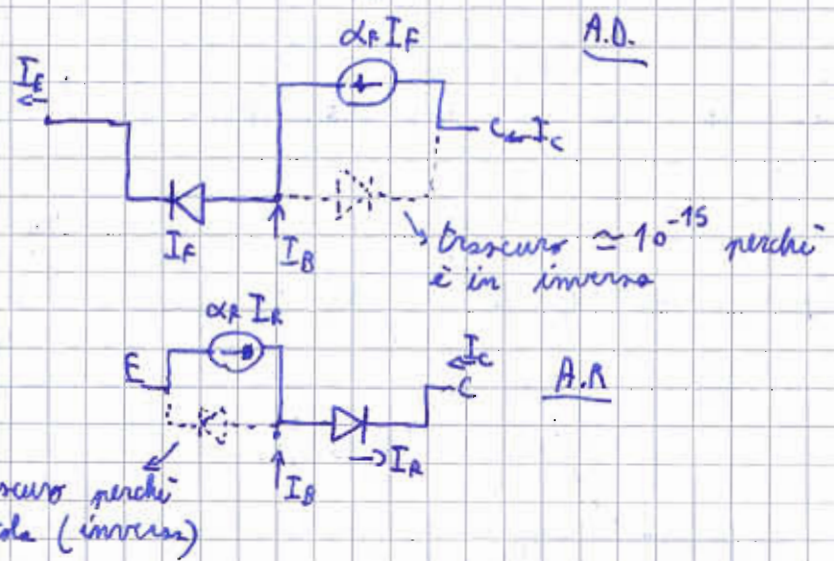
MODELLO DI EBERS & MOLL



$$I_F = I_{ES} \cdot \left(e^{\frac{V_{BE}}{V_T}} - 1 \right)$$

↑
corrente di saturazione

$$I_R = I_{CS} \left(e^{\frac{V_{BC}}{V_T}} - 1 \right)$$



$$I_C = \alpha_F I_F - I_R$$

può essere negativa

$$I_B = I_F + I_R - \alpha_F I_R - \alpha_F I_F = (1 - \alpha_F) I_F + (1 - \alpha_R) I_R$$

$$I_E = I_F - \alpha_R I_R$$

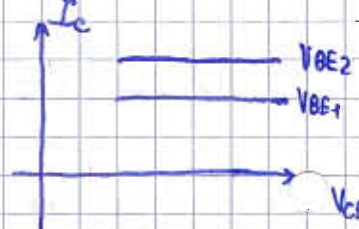
A.D.

$$I_C = \alpha_F I_F - I_R = \alpha_F I_{ES} \left(e^{\frac{V_{BE}}{V_T}} - 1 \right) - I_{CS} \left(e^{\frac{V_{BC}}{V_T}} - 1 \right) \approx \alpha_F I_{ES} e^{\frac{V_{BE}}{V_T}} + I_{CS}$$

molto grande (under $e^{\frac{V_{BE}}{V_T}}$)
 trascurato (under -1)
 piccolo (under $e^{\frac{V_{BC}}{V_T}}$)
 trascurato (under -1)

Calcolo di rappresentare I_c quando $V_{BE} = V_{BE1} = \text{cost.}$

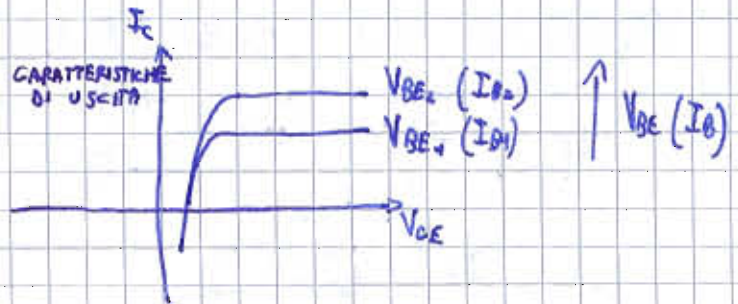
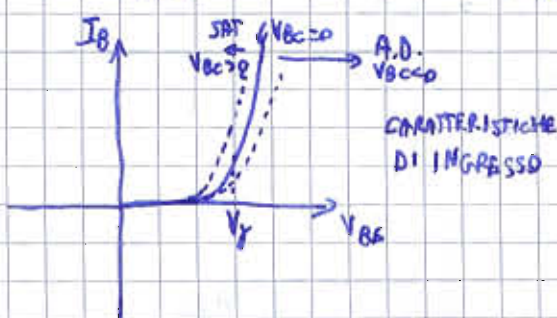
$$I_c = \alpha_F I_{ES} e^{\frac{V_{BE1}}{V_T}} + I_{CS} \quad \text{COSTANTE NEL GRAFICO}$$



$V_{BE2} > V_{BE1}$

Famiglia di curve parametrizzate in V_{BE} che aumentano con l'aumentare di V_{BE} . $I_c \uparrow \Leftrightarrow V_{BE} \uparrow$

$$I_B = \underbrace{(1 - \alpha_F) I_{ES}}_{I_{BE1}} \left(e^{\frac{V_{BE}}{V_T}} - 1 \right) + \underbrace{(1 - \alpha_R) I_{CS}}_{I_{BS}} \left(e^{\frac{V_{BC}}{V_T}} - 1 \right) = I_{BE1} \left(e^{\frac{V_{BE}}{V_T}} - 1 \right) + I_{BS} \left(e^{\frac{V_{BC}}{V_T}} - 1 \right)$$

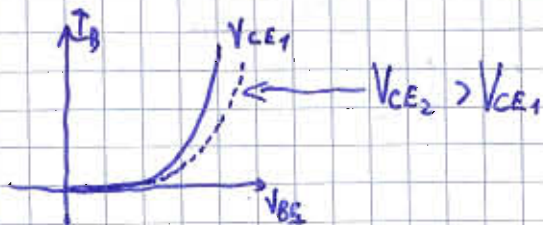


$V_{BC} = V_{BE} - V_{CE} < 0 \Rightarrow V_{CE} > V_{BE}$. Se $V_{CE} > V_T$ non in A.D. approssimativamente.

$$I_B = (1 - \alpha_F) I_{ES} \left(e^{\frac{V_{BE}}{V_T}} - 1 \right) + (1 - \alpha_R) I_{CS} \left(e^{\frac{V_{BE}}{V_T} - \frac{V_{CE}}{V_T}} - 1 \right)$$

A.D. $V_{BE} > 0$
 $V_{BC} < 0 \Rightarrow V_{CE} > V_{BE} > 0$

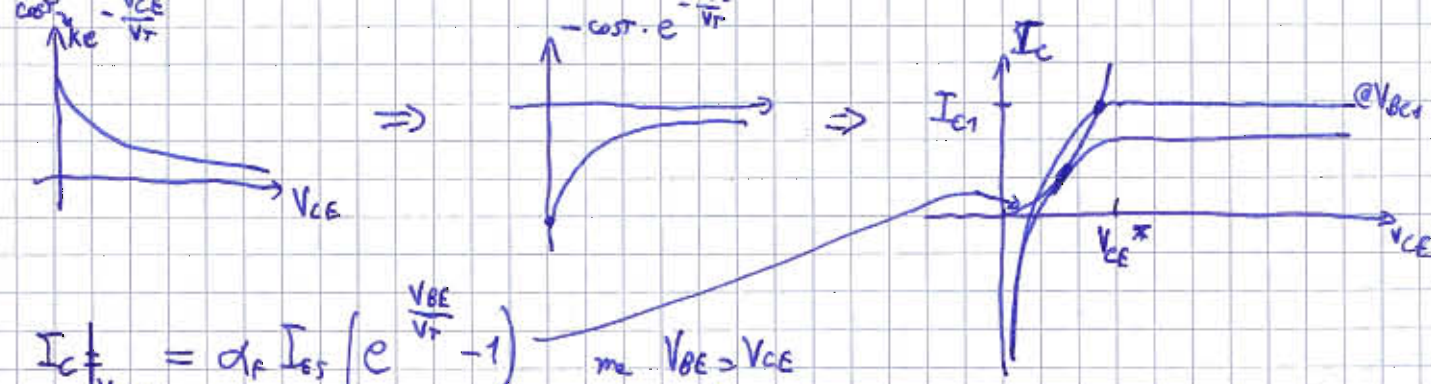
per il primo



Diminuendo $V_{CE} = V_{BE} - V_{BC}$, dato che V_{BE} è fissato, significa che V_{BC} aumenta fino ad essere positivo (retroazione). Pertanto, $e^{\frac{V_{BC}}{V_T}}$ non è più trascurabile e I_c diminuisce.

$$I_c = \alpha_F I_{ES} \left(e^{\frac{V_{BE}}{V_T}} - 1 \right) - I_{CS} \left(e^{\frac{V_{BE}}{V_T}} \cdot e^{-\frac{V_{CE}}{V_T}} - 1 \right)$$

$$I_c |_{V_{BE} = V_{BE1}} = \alpha_F I_{ES} \left(e^{\frac{V_{BE1}}{V_T}} - 1 \right) - I_{CS} \left(e^{\frac{V_{BE1}}{V_T}} e^{-\frac{V_{CE}}{V_T}} - 1 \right)$$



$$I_C \Big|_{V_{BC}=0} = \alpha_F I_{ES} \left(e^{\frac{V_{BE}}{V_T}} - 1 \right) \quad \text{ma } V_{BE} > V_{CE} \quad \leftarrow V_{BC}=0$$

trovo il valore di V_{CE} tale che $I_C=0$

$$V_{CE} = V_{BE} - V_{BC} \rightarrow V_{BC} = V_{BE} - V_{CE}$$

$$I_C = \alpha_F I_{ES} \left(e^{\frac{V_{BE}}{V_T}} - 1 \right) - I_{CS} \left(e^{\frac{V_{BE}}{V_T}} e^{-\frac{V_{CE}}{V_T}} - 1 \right) = 0$$

$$\alpha_F I_{ES} \left(e^{\frac{V_{BE}}{V_T}} - 1 \right) = I_{CS} \left(e^{\frac{V_{BE}}{V_T}} e^{-\frac{V_{CE}}{V_T}} - 1 \right)$$

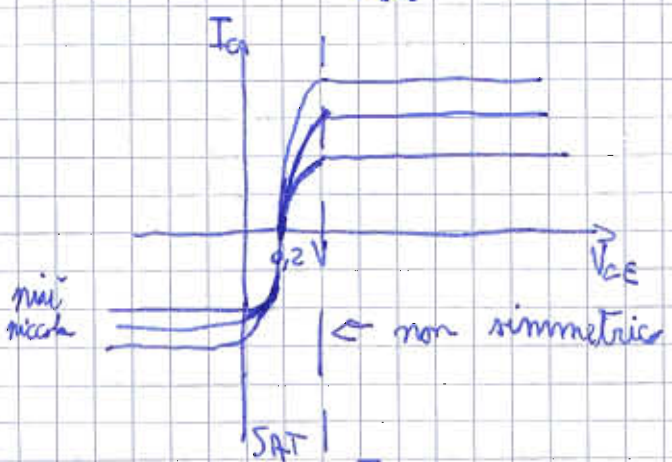
$$\frac{\alpha_F I_{ES}}{I_{CS}} \left(e^{\frac{V_{BE}}{V_T}} - 1 \right) + 1 = e^{\frac{V_{BE}}{V_T}} e^{-\frac{V_{CE}}{V_T}} \Rightarrow e^{\frac{V_{CE}}{V_T}} = \frac{e^{\frac{V_{BE}}{V_T}}}{\frac{\alpha_F I_{ES}}{I_{CS}} \left(e^{\frac{V_{BE}}{V_T}} - 1 \right) + 1}$$

Essendo $V_{BE} > 0$, trascuro il -1 e il $+1$ perché $e^{\frac{V_{BE}}{V_T}} \gg 0$

$$\Rightarrow e^{\frac{V_{CE}}{V_T}} = \frac{I_{CS}}{\alpha_F I_{ES}} \Rightarrow V_{CE} = V_T \cdot \ln \left(\frac{I_{CS}}{\alpha_F I_{ES}} \right) \quad \left\{ \begin{array}{l} V_{BE} > 0 \\ V_{BC} > 0 \end{array} \right. \quad \text{SAT}$$

caratteristiche del bipolare

Di norma $V_{CE} \Big|_{I_C=0} = V_{CE_{SAT}} = 0,2V$



$$I_E = -\beta_R I_B$$

$$I_C = -(\beta_R + 1) I_B$$

I_C può essere negativa !!!

INVERSA

$$V_{BE} < 0 \quad V_{BC} > 0$$



$$V_{CE} = V_{BE} - V_{BC} < 0$$

$$I_C = \alpha_F I_{ES} \left(e^{\frac{V_{BE}}{V_T}} - 1 \right) - I_{CS} \left(e^{\frac{V_{BC}}{V_T}} - 1 \right)$$

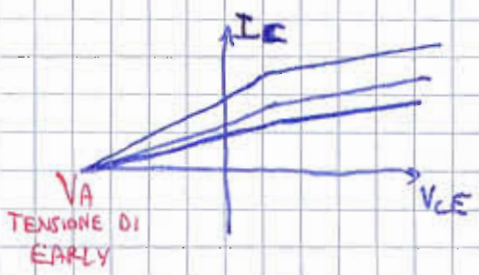
trascuro trascuro

$$I_B = (1 - \alpha_F) I_{ES} \left(e^{\frac{V_{BE}}{V_T}} - 1 \right) + (1 - \alpha_R) I_{CS} \left(e^{\frac{V_{BC}}{V_T}} - 1 \right)$$

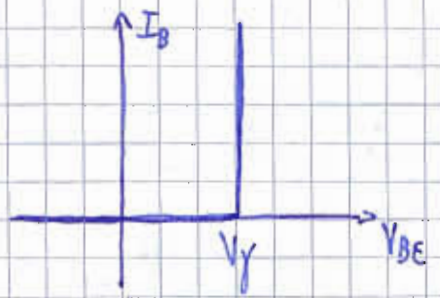
trascuro trascuro

$$I_C = -\alpha_F I_{ES} - I_{CS} e^{\frac{V_{BC}}{V_T}} < 0 \quad I_B = -(1 - \alpha_F) I_{ES} + (1 - \alpha_R) I_{CS} e^{\frac{V_{BC}}{V_T}}$$

In realtà, all'aumentare della V_{CE} , I_C aumenta leggermente perché la regione svuotata tra base e collettore aumenta.

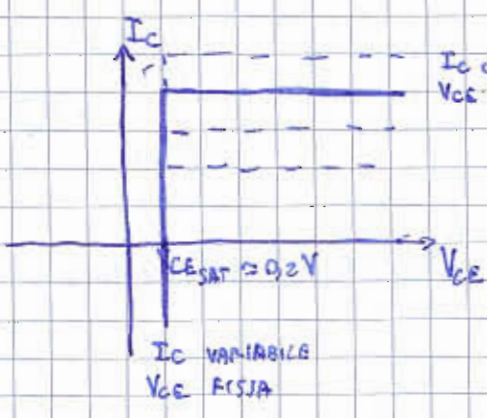


MODELLO A SOGLIA DEL BJT



$$I_B = 0 \quad \text{se} \quad V_{BE} < V_\gamma$$

$$I_B > 0 \quad \text{se} \quad V_{BE} = V_\gamma$$



A.D.	$I_C > 0$ $I_C = \beta_F I_B$ $V_{CE} > V_{CE,SAT}$ $V_{BE} = V_\gamma$ $I_B > 0$	SAT	$V_{CE} = V_{CE,SAT}$ $I_C < \beta_F I_B$ $V_{BE} = V_\gamma$ $I_B > 0$
-------------	---	------------	--

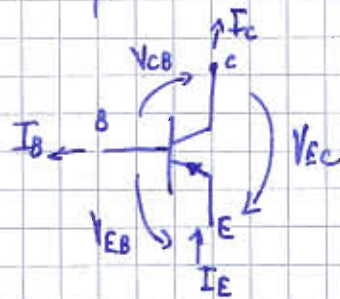
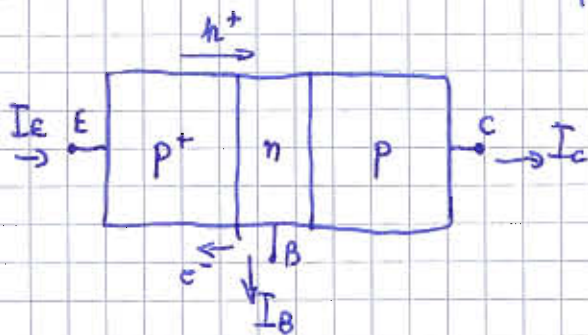
Condizione di accensione

OFF

$$V_{BE} < V_\gamma$$

$$I_B = I_C = I_E = 0$$

TRANSISTORE p-n-p



L'emettitore inietta in base tante lacune. La base cede elettroni all'emettitore. È in diretta se $p^+ > n$

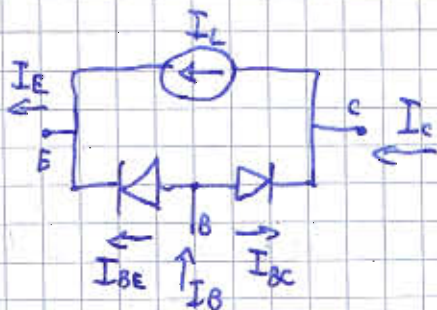
2A/03/09

$$I_C = \alpha_F I_{ES} \left(e^{\frac{V_{BE}}{V_T}} - 1 \right) - I_{CS} \left(e^{\frac{V_{BC}}{V_T}} - 1 \right) \stackrel{A.D.}{\approx} \alpha_F I_{ES} \left(e^{\frac{V_{BE}}{V_T}} - 1 \right)$$

$$I_B = \underbrace{(1-\alpha_F) I_{ES} \left(e^{\frac{V_{BE}}{V_T}} - 1 \right)}_{I_{BE}} + \underbrace{(1-\alpha_R) I_{CS} \left(e^{\frac{V_{BC}}{V_T}} - 1 \right)}_{I_{BC}} \approx (1-\alpha_F) I_{ES} \left(e^{\frac{V_{BE}}{V_T}} - 1 \right)$$

$$\frac{I_C}{I_B} = \frac{\alpha_F I_{ES} \left(e^{\frac{V_{BE}}{V_T}} - 1 \right)}{(1-\alpha_F) I_{ES} \left(e^{\frac{V_{BE}}{V_T}} - 1 \right)} = \frac{\alpha_F}{1-\alpha_F} \triangleq \beta_F$$

2° RAPPRESENTAZIONE DEL MODELLO DI EBERS & MOLL



$$I_C = I_L - I_{BC}$$

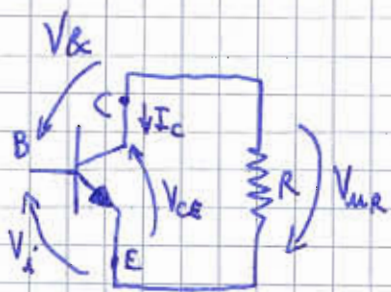
$$I_L = I_C + I_{BC} = \alpha_F I_{ES} \left(e^{\frac{V_{BE}}{V_T}} - 1 \right) - I_{CS} \left(e^{\frac{V_{BC}}{V_T}} - 1 \right) + (1-\alpha_R) I_{CS} \left(e^{\frac{V_{BC}}{V_T}} - 1 \right) =$$

$$\Rightarrow I_L = \alpha_F I_{ES} \left(e^{\frac{V_{BE}}{V_T}} - 1 \right) - \alpha_R I_{CS} \left(e^{\frac{V_{BC}}{V_T}} - 1 \right) =$$

$$= \alpha_F \cdot \frac{1-\alpha_F}{1-\alpha_F} I_{ES} \left(e^{\frac{V_{BE}}{V_T}} - 1 \right) - \alpha_R \cdot \frac{1-\alpha_R}{1-\alpha_R} \left(e^{\frac{V_{BC}}{V_T}} - 1 \right) I_{CS} =$$

$$= \beta_F \cdot I_{BE} - \beta_R I_{BC}$$

CIRCUITI



Polarizzato in A.D.

$$V_{UR} = +R \cdot I_C$$

$$V_{CE} = -V_{UR}$$

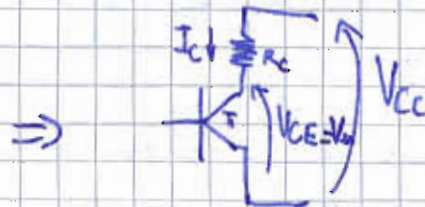
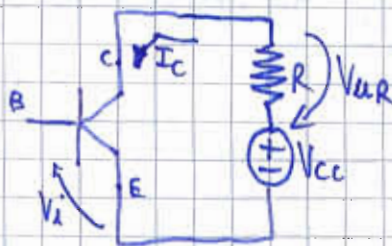
$$V_{BE} = V_i > 0$$

$$\Rightarrow V_{CE} > V_i > 0$$

$$V_{BC} = V_i - V_{CE} < 0$$

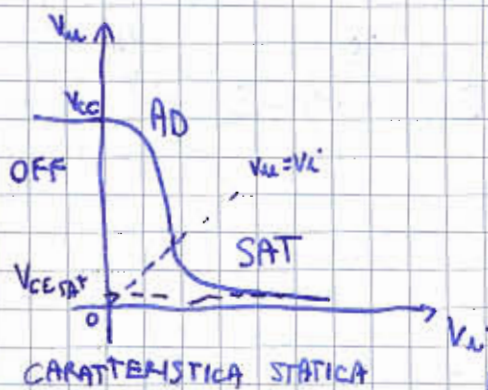
$V_{CE} = -V_{UR}$ ma V_{UR} è positiva per come l'ho considerata ($I_C > 0$ in AD) quindi $V_{CE} < 0$ che va contro la condizione di A.D.

\Rightarrow questo circuito non può fare da amplificatore.



Cerco di alzare il potenziale del collettore

$V_{CE} = V_{CC} - R \cdot I_C$ e quindi può essere > 0 perché V_{CC} tiene su il potenziale.



1 | T_{OFF}

$$V_i < 0 \rightarrow \begin{matrix} I_B = 0 \\ I_C = 0 \\ I_E = 0 \end{matrix} \rightarrow V_U = V_{CE} = V_{CC} - R_C \cdot \frac{I_C}{0} = V_{CC}$$

2 | AD

$$V_i > 0 \quad V_U = V_{CC} - R_C \cdot I_C = V_{CC} - R_C \cdot [\alpha_F I_{ES} (e^{\frac{V_{BE} - V_U}{V_T}} - 1)]$$

3 | SAT

$$V_{BC} > 0 \rightarrow V_i - V_U > 0 \rightarrow V_i > V_U$$

$$I_C = \alpha_F I_{ES} (e^{\frac{V_{BE} - V_U}{V_T}} - 1) - I_{CS} (e^{\frac{V_i - V_U}{V_T}} - 1) \quad V_U = V_{CC} - R_C \cdot I_C$$

Per usarlo come amplificatore, deve lavorare in A.D.

Per usarlo come interruttore, lavora in saturazione (interruttore chiuso) o in OFF (aperto).

$$A_v = \frac{dV_u}{dV_i} = \frac{\text{GUADAGNO IN TENSIONE}}{\text{TENSIONE}} = -R_{\text{eff}} I_{\text{es}} \left(e^{\frac{V_u}{V_T}} \right) \cdot \frac{1}{V_T} \approx -\frac{R}{V_T} \cdot I_c$$

Questo dimostra che il circuito è un AMPLIFICATORE INVERTENTE
 QUAL È IL MASSIMO A_v OTTENIBILE?

AD: $V_i > 0$

$$V_{bc} < 0 \Rightarrow V_{cc} - R I_c > V_{\text{CESAT}} \Rightarrow I_c < \frac{V_{cc} - V_{\text{CESAT}}}{R}$$

$V_{ce} > V_{\text{CESAT}}$

$V_u < 0$

$$\text{ma } I_c = \frac{|A_v|}{R} \cdot V_T$$

$$\frac{|A_v|}{R} \cdot V_T < \frac{V_{cc} - V_{\text{CESAT}}}{R} \Rightarrow |A_v| < \frac{V_{cc} - V_{\text{CESAT}}}{V_T} = \frac{5V - 0,2V}{25 \cdot 10^{-3}V} = \underline{\underline{192}}$$

25/03/09

4 INVERSA

$$V_{bc} < 0 \Leftrightarrow V_i < 0$$

$$V_{bc} > 0 \Leftrightarrow V_i - V_u > 0 \Leftrightarrow V_i > V_u \Rightarrow V_u < V_i < 0$$

$$I_c < 0$$

$$V_u = V_{cc} - R \cdot I_c > 0 \quad \text{ma per funzionare in inversa } V_u < 0$$

$\begin{matrix} \uparrow & \uparrow & \uparrow \\ >0 & >0 & <0 \end{matrix}$

\Rightarrow assurdo I_c deve essere < 0 in inversa

Il transistor in quel circuito può lavorare solo in 3 regioni:

AD

$$V_{bc} > 0 \rightarrow V_i > 0$$

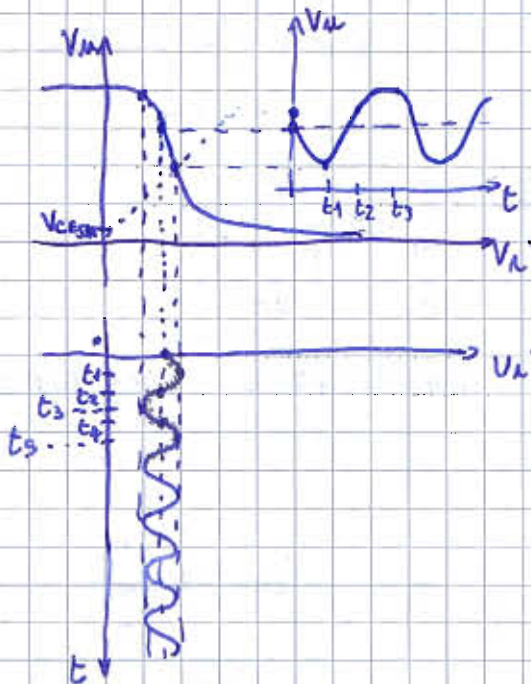
$$V_{bc} < 0 \rightarrow V_i - V_u < 0 \rightarrow V_u > V_i$$

$$i_b = i_i \quad \text{ma } i_c = \beta_F i_b \Rightarrow i_u = \beta_F i_i \rightarrow i_u > i_i$$

$i_c = i_u$

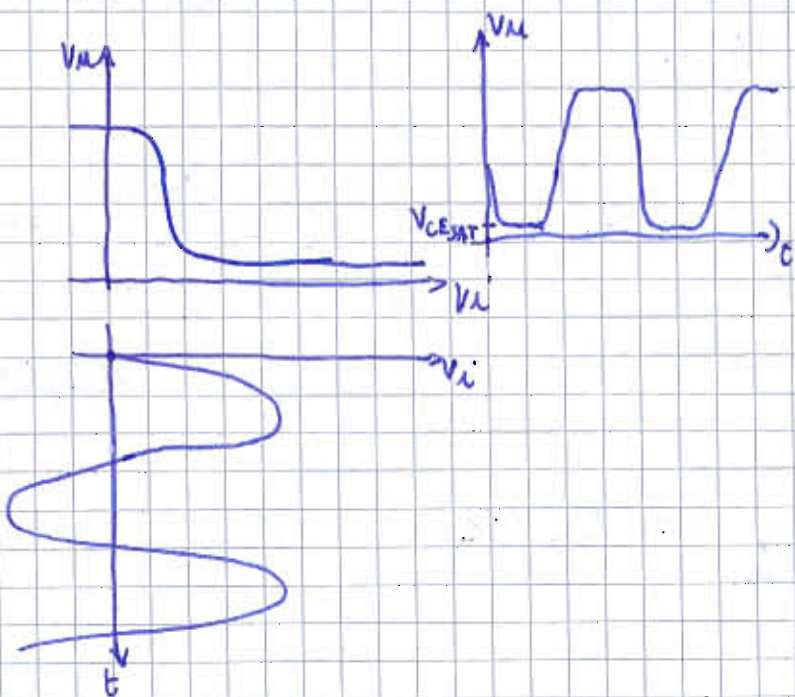
$$P_o = V_{ce} \cdot I_{ce} > P_i = V_i \cdot I_i$$

è anche AMPLIFICATORE DI POTENZA.

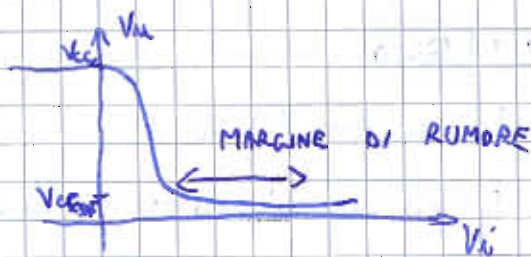


Prendo V_i variabile nel tempo, facendo stare nel range che permette al transistor di essere in A.O.

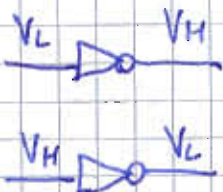
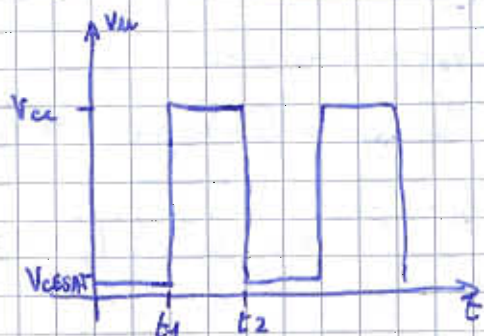
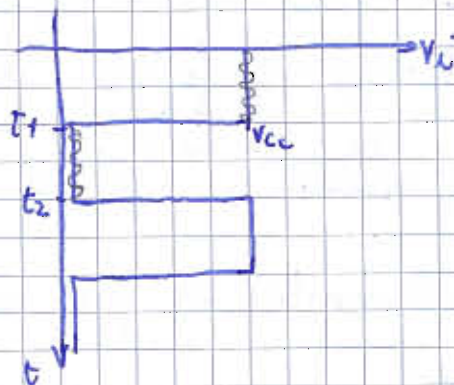
Vedo quindi che in uscita ho una sinusoide invertita.



Se prendessi una sinusoide più ampia, vedrei una segnale distorto in uscita.



Provo ora a mettere un'onda quadra in ingresso in modo che il transistor si trovi o in saturazione o in OFF. La rete funziona bene come invertitore logico.



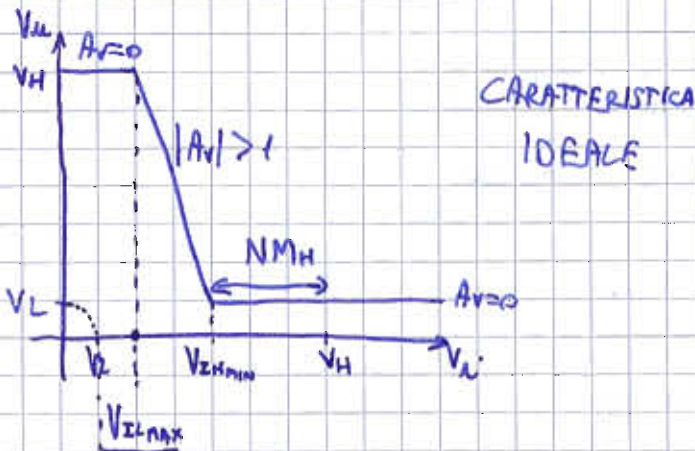
$V_H = V_{cc}$ in questo caso
 $V_L = V_{ceSAT}$

Se fosse presente rumore, in A.D. amplifico sia il segnale che il rumore, mentre in OFF e SAT, con guadagno = 0, il rumore viene attenuato.

Questa è la grossa differenza tra lavorare con segnali analogici e lavorare con segnali digitali.

SWING LOGICO = $V_H - V_L =$ ESCURSIONE LOGICA

più è alto, più riesce a evitare i rumori

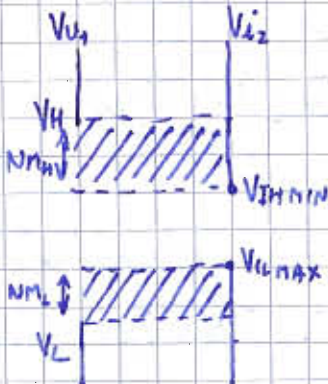


CARATTERISTICA IDEALE

NM_L → NOISE MARGIN (margine di immunità ai disturbi) relativo all'ingresso basso

NM_H → NOISE MARGIN relativo all'ingresso alto $\triangleq V_H - V_{IHMIN}$

NM_L → NOISE MARGIN relativo all'ingresso basso $\triangleq V_{ILMAX} - V_L$



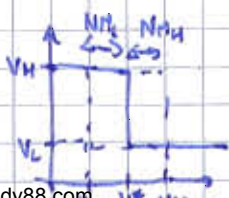
regione sicura

$NM = \min [NM_L, NM_H]$

Mi interessa che le regioni sicure siano più larghe possibili, quindi considero il più piccolo come NOISE MARGIN

Il caso migliore lo avrò con $NM_H = NM_L$

$V_H - V^* = V^* - V_L$ $2V^* = V_H + V_L$ $V^* = \frac{V_H + V_L}{2}$



Ovviamente i margini devono essere positivi.

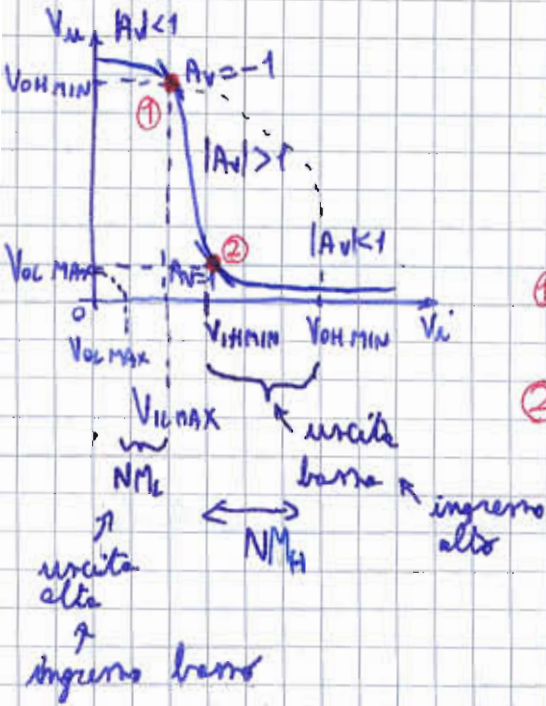
$$NM_L = V_{ILMAX} - V_L > 0$$

$$NM_H = V_H - V_{IHMIN} > 0$$

$$\Rightarrow NM_L + NM_H > 0 \Rightarrow V_{ILMAX} - V_L + V_H - V_{IHMIN} > 0$$

$$\Rightarrow V_H - V_L > V_{IHMIN} - V_{ILMAX} > 0 \Rightarrow \frac{V_H - V_L}{V_{IHMIN} - V_{ILMAX}} > 1 \quad \left| \frac{\Delta V_{out}}{\Delta V_i} \right| > 1 \quad \text{GUADAGNO}$$

\Rightarrow il guadagno deve essere maggiore di 1



$$NM_L = V_{ILMAX} - V_{OLMAX}$$

$$NM_H = V_{OHMIN} - V_{IHMIN}$$

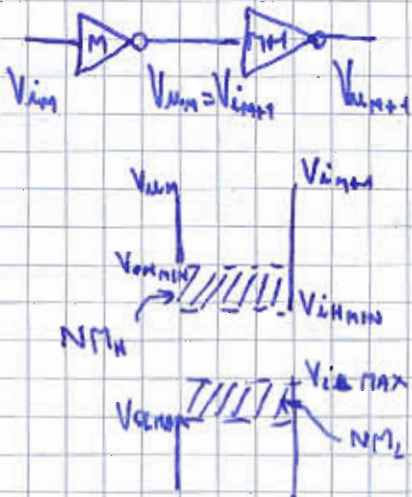
$$\textcircled{1} (V_{ILMAX}, V_{OHMIN})$$

$$\textcircled{2} (V_{IHMIN}, V_{OLMAX})$$

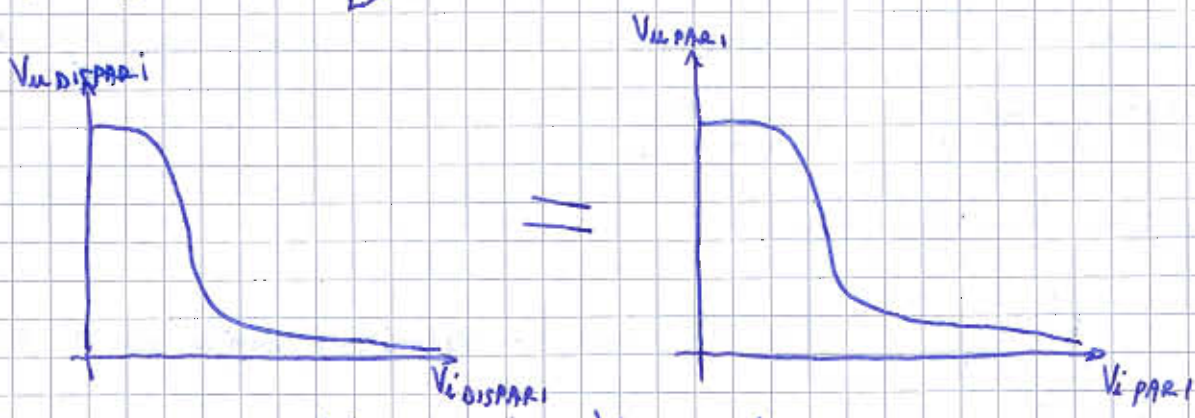
30/03/09

Se il rumore sposta il segnale in ingresso nella zona compressa tra V_{ILMAX} e V_{IHMIN} , non so cosa uscire.

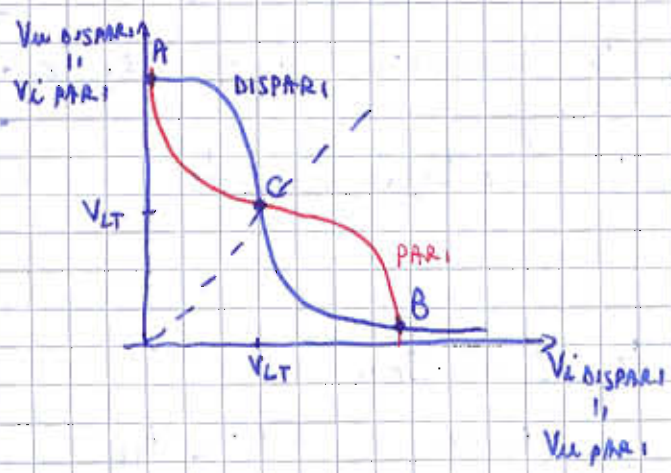
Considero il NOISE MARGIN più stringente: $NM = \min \{ NM_L, NM_H \}$



Il rumore può spostare l'ingresso entro NM_H , altrimenti sono nei guai. Lo stesso vale per il caso basso.



M_2 $V_{u\text{DISPARI}} = V_{i\text{PARI}}$ e $V_{u\text{PARI}} = V_{i\text{DISPARI}}$

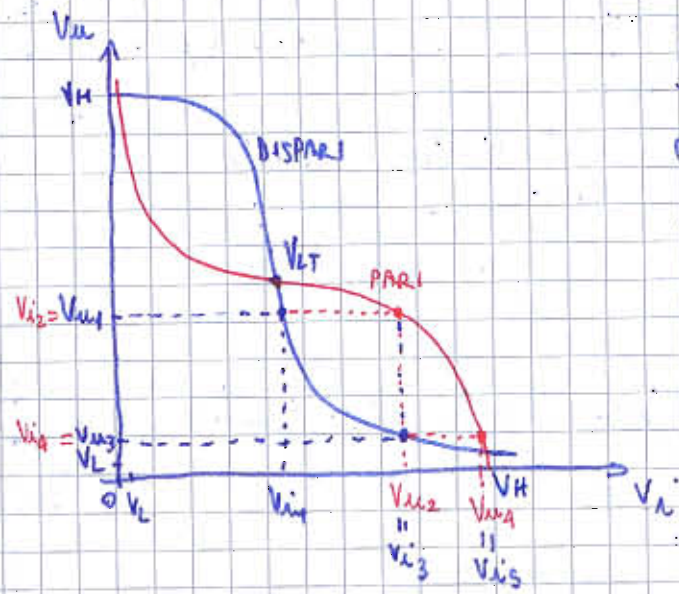


A, B corrispondono al funzionamento nominale del gate
 \Rightarrow PUNTI DI LAVORO NOMINALI

A (V_L, V_H) B (V_H, V_C)

C \rightarrow ingresso e uscita sono uguali \rightarrow SOGLIA LOGICA
 $V_{LT} \rightarrow$ logic threshold $\rightarrow V_i = V_u \rightarrow$ tensione di autopolarizzazione \rightarrow punto di equilibrio instabile.

PROPRIETÀ RIGENERATIVA



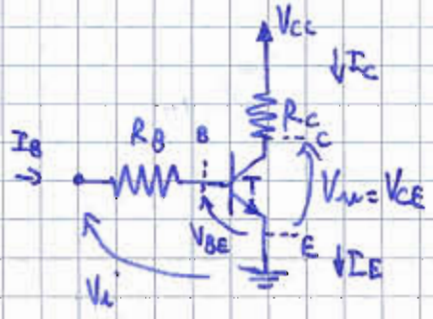
Se dopo tante inversioni cado nella regione ambigua a causa del rumore nelle successive inversioni la porta mi riporterà nei valori nominali dopo un numero pari di inversioni.

Se il mio ingresso sta a destra di V_{LT} , mi riporto a un ingresso alto; viceversa, se $V_{i1} < V_{LT}$ mi riporto a ingresso basso.

La capacità della porta di rigenerare il segnale è legata al fatto che nelle zone centrali il guadagno è, in modulo, maggiore di 1.

INVERTER RTL

RTL → Resistor Transistor Logic



Usa il modello regionale a soglia per il BJT

OFF	$V_{BE} < V_T$	$I_B = I_C = I_E = 0$
AD	$V_{BE} = V_T$	$I_C = \beta_F \cdot I_B$ $I_C > 0$ $V_{CE} > V_{CEsat}$
SAT	$V_{BE} = V_T$	$V_{CE} = V_{CEsat}$ $I_C < \beta_F \cdot I_B$

- $R_C = 1\text{ k}\Omega$
- $R_B = 10\text{ k}\Omega$
- $V_{CC} = 5\text{ V}$
- $\beta_F = 100$
- $V_{CEsat} = 0,2\text{ V}$
- $V_T = 0,75\text{ V}$

1) T OFF $V_{BE} < V_T$ $I_B = I_C = I_E = 0$

$$I_B = \frac{V_i - V_{BE}}{R_B} = 0 \quad I_C = \frac{V_{CC} - V_{CE}}{R_C} = 0 \quad \begin{matrix} V_i = V_{BE} \\ V_{CC} = V_{CE} \end{matrix}$$

- 1) Ricavare caratteristica statica di trasferimento
- 2) Ricavare i margini dei disturbi

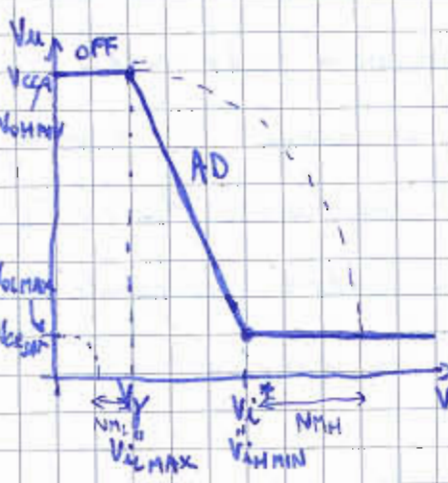
T_{OFF} $V_i < V_T$

$0 \leq V_i \leq V_{CC}$

2) T in A.D. $V_i > V_T$ $V_{BE} = V_T$

$$I_B = \frac{V_i - V_{BE}}{R_B} = \frac{V_i - V_T}{R_B} \quad I_C = I_B \cdot \beta_F = \beta_F \cdot \frac{V_i - V_T}{R_B}$$

ma $I_C = \frac{V_{CC} - V_{CE}}{R_C} \rightarrow \beta_F \cdot \frac{V_i - V_T}{R_B} = \frac{V_{CC} - V_{CE}}{R_C}$



$$\frac{R_C}{R_B} \cdot \beta_F \cdot (V_i - V_T) + V_{CC} = V_{CE} \quad V_{CE} = V_{CC} + V_T \beta_F \frac{R_C}{R_B} - \beta_F \frac{R_C}{R_B} V_i$$

Infatti per $V_i = V_T$, $V_{CE} = V_{CC}$.

$$A_{v0} = \frac{dV_{CE}}{dV_i} = -\beta_F \frac{R_C}{R_B} = -10$$

3) T SAT V_{CE}

$$I_C = \frac{V_{CC} - V_{CE_{SAT}}}{R_C} \quad \text{ma } I_C < \beta_F I_B \quad \frac{V_{CC} - V_{CE_{SAT}}}{R_C} < \beta_F \cdot \frac{V_i - V_T}{R_B}$$

$$V_i > \frac{R_B (V_{CC} - V_{CE_{SAT}})}{R_C \beta_F} + V_T \quad V_i^* = 1,23 \text{ V} \quad V_{CE} = V_{CE_{SAT}} = 0,2 \text{ V}$$

entra in saturazione $\frac{R_C \beta_F}{R_B} \rightarrow V_i^*$

OFF $V_i < V_T$

AD $V_T < V_i < V_i^*$

SAT $V_i > V_i^*$

punti a

Per calcolare i margini, non ho V guadagno = -1, ma punti angolari (2). Devi considerare i punti in cui si passa da regioni a guadagno < 1 a regioni a guadagno > 1.

$$NM_L = V_{iL_{MAX}} - V_{oL_{MAX}} = V_T - V_{CE_{SAT}} = 0,75 - 0,2 = 0,55 \text{ V}$$

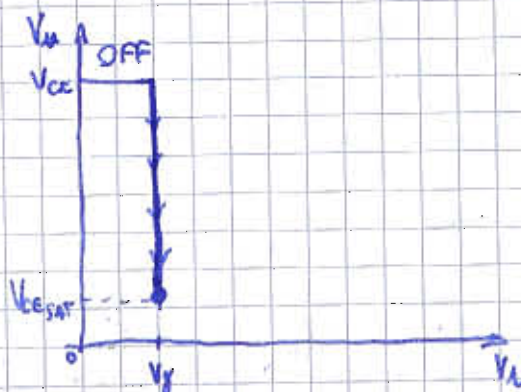
$$NM_H = V_{oH_{MIN}} - V_{iH_{MIN}} = V_{CC} - V_i^* = 5 - 1,23 = 3,77 \text{ V}$$

$$NM = \min(NM_L, NM_H) = 0,55 \text{ V}$$

anche modificando A_v aumentando il rapporto $\frac{R_C}{R_B}$, il margine non cambierebbe perché modificherei solo il margine NM_H , che non è il minore dei due e quindi non influenza NM .

CRITERIO DI AFFIDABILITÀ DEL MODELLO A SOGLIA

Emettitore comune



1) T_{OFF} $V_{BE} < V_Y \rightarrow V_i < V_Y$ $I_B = I_C = I_E = 0$

$$I_C = \frac{V_{CC} - V_{CE}}{R_C} = 0 \quad V_{CE} = V_{CC}$$

2) T_{AD} $V_i > V_Y$ ma il modello a soglia dice $V_{BE} = V_Y$ e $V_i = V_{BE}$

$\Rightarrow V_i = V_Y$.

La caratteristica sembrerebbe avere un guadagno infinito, irrealizzabile nella realtà!

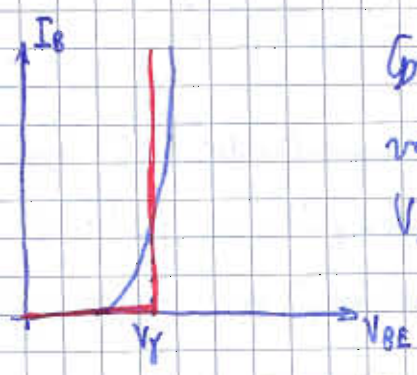
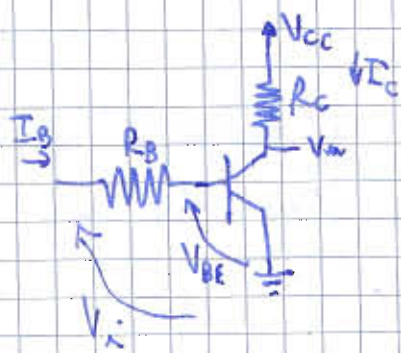
3) T_{SAT}. $V_i = V_Y$ (modello a soglia) ma $V_{CE} = V_{CE_{SAT}}$, quindi la regione di saturazione sarebbe un punto!

Correnti molto grandi che mi distruggerebbero il dispositivo.

Il modello a soglia si dimostra inadeguato

- 1) in AD il guadagno non può essere ∞
- 2) in SAT otterremmo correnti troppo elevate.

Riconsidero l'RTL



Con variazioni di I_B ho piccole variazioni di V_{BE} intorno a V_Y trascurabili \Rightarrow posso usare il modello a soglia

AD.

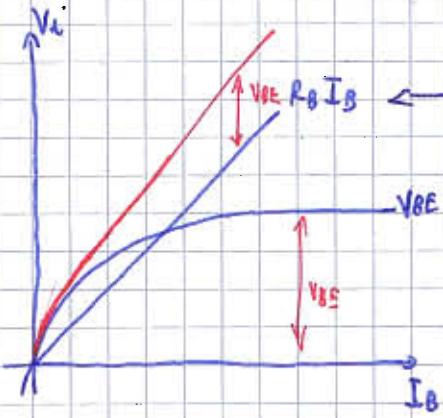
$$I_B = \frac{V_i - V_{BE}}{R_B}$$

$$I_C = I_S \left(e^{\frac{V_{BE}}{V_T}} - 1 \right) \quad I_S \left(e^{\frac{V_{BE}}{V_T}} - 1 \right) = \beta_F \cdot I_B$$

$$I_C = \beta_F \cdot I_B$$

$$e^{\frac{V_{BE}}{V_T}} = \frac{\beta_F \cdot I_B}{I_S} + 1 \quad \rightarrow \quad V_{BE} = V_T \cdot \ln \left(\frac{\beta_F \cdot I_B}{I_S} + 1 \right)$$

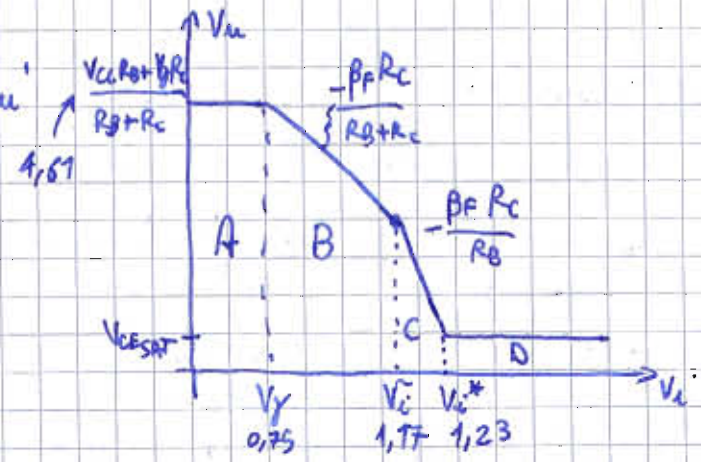
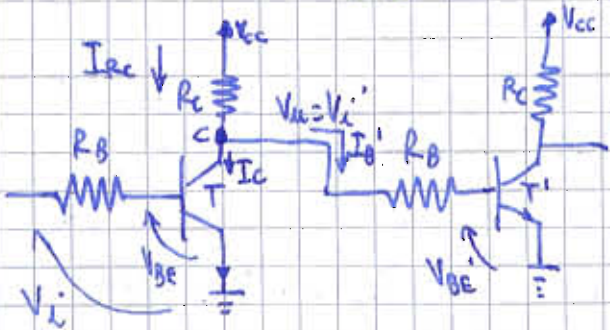
$$V_i = R_B I_B + V_{BE} = R_B I_B + V_T \ln \left(\frac{\beta I_B}{I_S} + 1 \right)$$



assorbe le variazioni di V_i . In pratica, variando V_i varia $R_B I_B$ e non V_{BE} , che rimane quasi costante.

Il modello a soglia è applicabile solo se c'è una resistenza sulla maglia d'ingresso (o sulla base o sull'emettitore) che assorbe le variazioni di V_i .

RTL IN CASCATA



1) T' OFF

$$V_{BE} < V_Y \quad I_B = I_C = I_E = 0$$

$$I_B = \frac{V_i - V_{BE}}{R_B} = 0 \rightarrow V_i = V_{BE} < V_Y$$

$$I_{RC} = I_C + I_B' \text{ ma } I_C = 0$$

$$\Downarrow$$

$$I_{RC} = I_B'$$

$$I_{RC} = \frac{V_{CC} - V_u}{R_C}$$

Per sapere quanto vale I_B' mi serve sapere se il BJT è nelle \bar{e} ccesso o aperto.

Se T' ON, $V_{BE}' = V_Y$ e $I_B' = \frac{V_u - V_Y}{R_B}$; $\frac{V_u - V_Y}{R_B} = \frac{V_{CC} - V_u}{R_C}$

$$V_u \cdot R_C - V_Y \cdot R_C = V_{CC} \cdot R_B - V_u \cdot R_B$$

$$V_u (R_C + R_B) = V_{CC} \cdot R_B + V_Y \cdot R_C \quad V_u = \frac{V_{CC} R_B + V_Y R_C}{R_C + R_B}$$

partitore \rightarrow

È invece rapporto T' OFF:

$V_{BE}' < V_f$ $I_B' = I_C' = I_E' = 0$ ma $I_B' = \frac{V_{in} - V_{BE}'}{R_B} = 0$ da cui $V_{in} = V_{BE}' < V_f$

$I_{ec} = I_C + I_B' = 0 = \frac{V_{cc} - V_{in}}{R_C} \rightarrow V_{in} = V_{cc}$ che non è $< V_f \rightarrow$ È ASSURDO!!!

=0 perché T OFF *=0 perché HP*

2) T. AD

$V_i > V_f$ $V_{BE} = V_f$ $I_C = \beta_F \cdot I_B > 0$

T' va acceso e accor rimerca!!

$I_{ec} = I_C + I_B' = \frac{V_{cc} - V_{in}}{R_C}$ $\beta_F \cdot \frac{V_i - V_f}{R_B} + \frac{V_{in} - V_f}{R_B} = \frac{V_{cc} - V_{in}}{R_C}$

$I_C = \beta_F \cdot I_B = \beta_F \cdot \frac{V_i - V_f}{R_B}$ $V_{in} \left(\frac{1}{R_C} + \frac{1}{R_B} \right) = \frac{V_{cc}}{R_C} - \beta_F \frac{V_i - V_f}{R_B} + \frac{V_f}{R_B}$

$V_{in} \left(\frac{R_B + R_C}{R_B R_C} \right) = \frac{V_{cc} R_B - \beta_F (V_i - V_f) R_C + V_f R_C}{R_B R_C} \Rightarrow V_{in} = \frac{V_{cc} R_B + V_f R_C (1 + \beta_F)}{R_B + R_C} - \frac{\beta_F R_C}{R_B + R_C} V_i$

Man mano che V_i cresce, V_{in} cala.

guadagno diverso dal caso "a vuoto"

il valore di V_{in} o T passa in saturazione o T' si spegne

$V_{in} = V_{CE_{SAT}}$

$V_{in} = V_f \leftarrow$ avviene prima.

$V_f > V_{CE_{SAT}}$

T' OFF se $V_i > \tilde{V}_i$ $V_{in} = V_f = \frac{V_{cc} R_B + V_f R_C (1 + \beta_F)}{R_B + R_C} - \frac{\beta_F R_C}{R_B + R_C} \tilde{V}_i$

$\tilde{V}_i \cong 1,17 V$

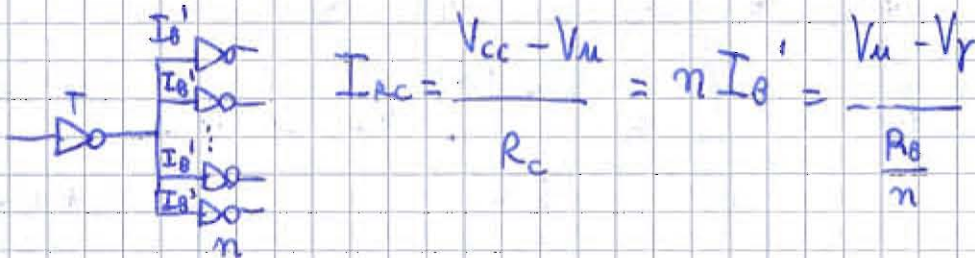
Se T' OFF è come se avessi T a vuoto.

	T	T'
A	OFF	ON
B	AD	ON
C	AD	OFF
D	SAT	OFF

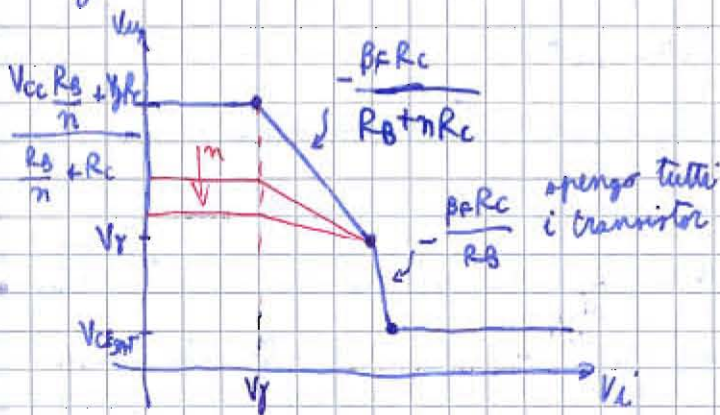
FAN-IN \rightarrow n° porte connesse all'ingresso

FAN-OUT \rightarrow n° porte connesse all'uscita di un inverter

Se in uscita esseri n BJT connessi:



Tengo validi tutti i risultati considerando al posto di R_B , $\frac{R_B}{n}$.



$$NM_L = V_{IL\max} - V_{OL\max} = V_Y - V_{CE\text{SAT}} = 0,55\text{V} = NM_{\text{RTL con 1 gate}}$$

$$NM_H = V_{OH\min} - V_{IH\min} = 4,67 - 1,23 = 3,38\text{V} \quad \left\{ \begin{array}{l} \text{in uscita} \end{array} \right.$$

Il margine non cambia con un inverter in cascata

$$\left. \begin{array}{l} NM_L = V_Y - V_{CE\text{SAT}} = 0,55\text{V} \\ NM_H = V_{OH\min} - V_{IH\min} = \frac{V_{CC} R_B + V_Y R_C n}{R_B + n R_C} = 1,23\text{V} \end{array} \right\} \begin{array}{l} \text{RTL con } n \text{ gate} \\ \text{in uscita} \end{array}$$

Troppe porte porterebbero ad abbassare eccessivamente NM_H fino a farlo diventare $< NM_L$ abbassando quindi NM .

Qual è il n° max di porte che assicura che $NM > 0,5V$? $n < 33,3$

$n_{max} = 33$ gate.

31/03/09

$I_{RC} = I_C + n \cdot I_B$

$\frac{V_{CC} - V_{CE}}{R_C} = \beta_F \cdot I_B + n \cdot \frac{V_{CE} - V_T}{R_B} = \beta_F \cdot \frac{V_i - V_T}{R_B} + n \cdot \frac{V_{CE} - V_T}{R_B}$

$I_B = \frac{V_i - V_T}{R_B}$
 → corrente che entra nella base di ciascun transistor e nelle

Calcolo il guadagno derivando sotto i membri

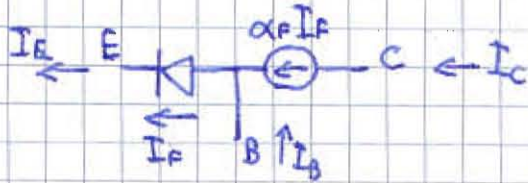
$A_{vr} = \frac{dV_{CE}}{dV_i} \Rightarrow - \frac{dV_{CE}}{dV_i} \cdot \frac{1}{R_C} = \frac{\beta_F}{R_B} \cdot 1 + n \cdot \frac{dV_{CE}}{dV_i} \cdot \frac{1}{R_B}$

$-\frac{\beta_F}{R_B} = \left(\frac{n}{R_B} + \frac{1}{R_C} \right) A_{vr}$
 $-\frac{\beta_F}{R_B} = \frac{nR_C + R_B}{R_B R_C} \cdot A_{vr} \Rightarrow A_{vr} = - \frac{\beta_F \cdot R_C}{R_B + nR_C}$

COMPORTAMENTO DINAMICO DEI BJT

MODELLO A CONTROLLO DI CARICA DEL BJT

Considero il modello di Ebers & Moll in ottava diretta

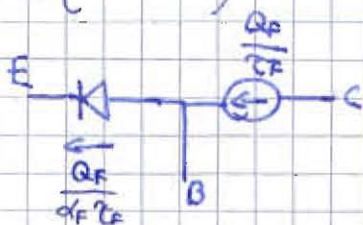


$Q_F \rightarrow$ carica che genera la corrente I_C , al momento in base
 $Q_F = Q_{F0} \left(e^{\frac{V_{BE}}{V_T}} - 1 \right)$

$I_C = \frac{Q_F}{\tau_F}$ come corrente nel diodo

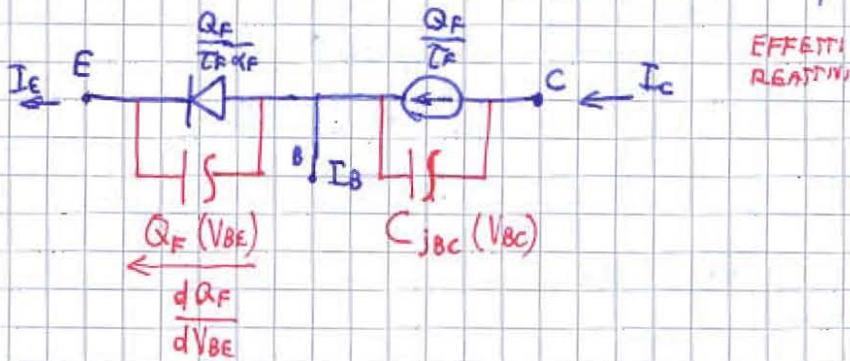
$\tau_F \rightarrow$ tempo di transito degli elettroni in base

$I_F = I_{ES} \left(e^{\frac{V_{BE}}{V_T}} - 1 \right)$ me $I_C = \alpha_F I_F$, quindi $I_C = \frac{Q_F}{\alpha_F \cdot \tau_F}$

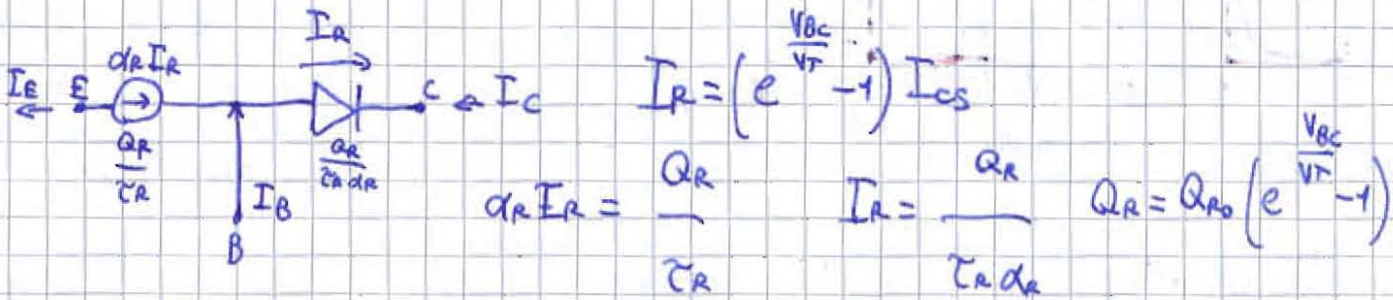


Giocome ho carica sia in B che in E ma non voglio cambiare Q_F ,

τ_F diventa una caratteristica che non per considerare tutte le cariche



INVERSA



$$I_R = \left(e^{\frac{V_{BC}}{V_T}} - 1 \right) I_{CS}$$

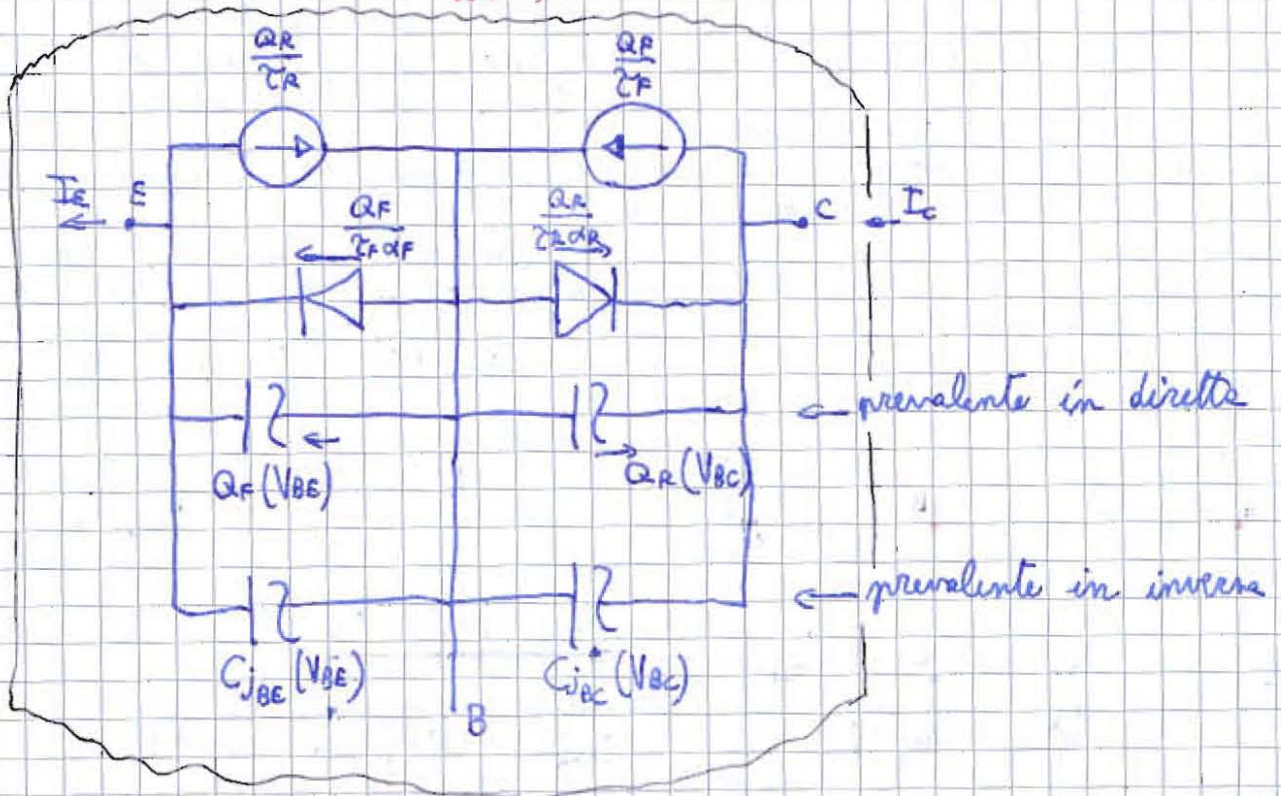
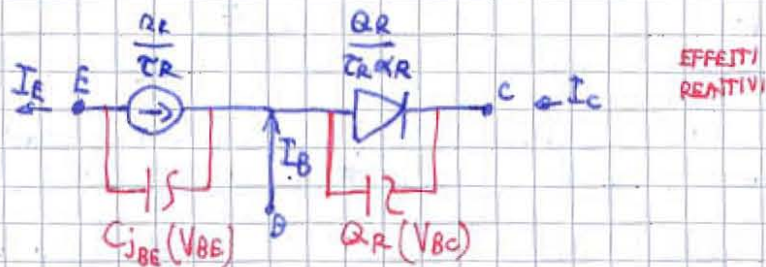
$$\alpha_R I_R = \frac{Q_R}{\tau_R}$$

$$I_R = \frac{Q_R}{\tau_R \alpha_R}$$

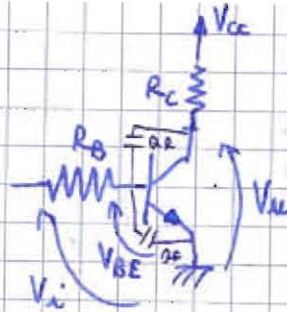
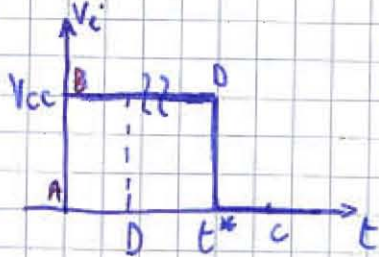
$$Q_R = Q_{R0} \left(e^{\frac{V_{BC}}{V_T}} - 1 \right)$$

uscita

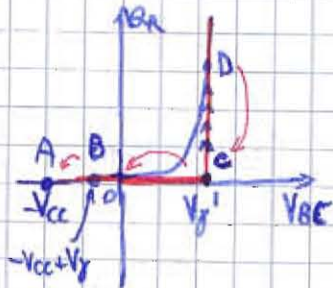
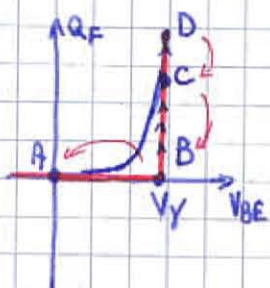
$$I_E = \frac{Q_R}{\tau_R}$$



Studio i transistori



Usa il modello e taglia per Q_F e Q_R



$$V_{Y'} < V_Y$$

Presumo C_j perché il modello dice che ha carica solo quando sono in diretta ($V_{BE} = V_Y$ e $V_{BC} = V_{Y'}$).

1) V_i $0 \rightarrow V_{cc}$
T OFF \rightarrow SAT

2) V_i $V_{cc} \rightarrow 0$
T SAT \rightarrow OFF

correnti di spostamento

$$I_C = \frac{Q_F}{\tau_F} - \frac{Q_R}{\alpha_R \tau_R} - \frac{dQ_R}{dt}$$

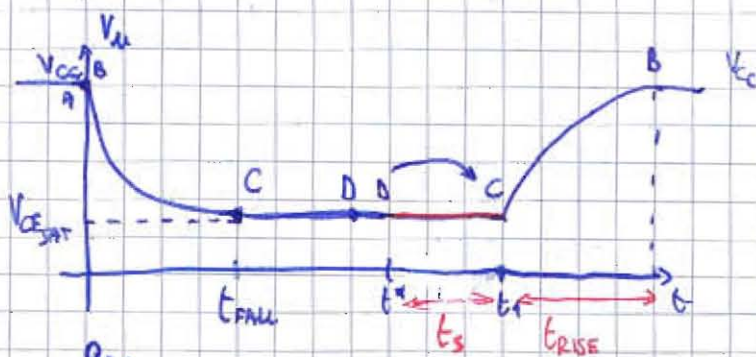
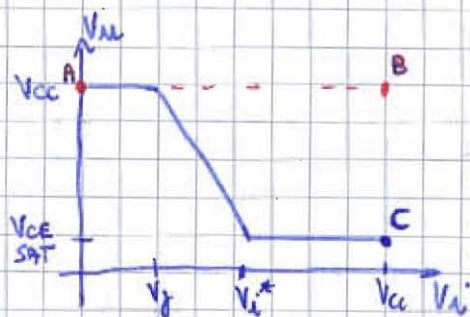
$$I_B = \frac{Q_R}{\alpha_R \tau_R} + \frac{Q_F}{\alpha_F \tau_F} - \frac{Q_F}{\tau_F} - \frac{Q_R}{\tau_R} + \frac{dQ_R}{dt} + \frac{dQ_F}{dt}$$

$$\frac{1}{\beta_F} = \frac{1 - \alpha_F}{\alpha_F}$$

$$I_E = I_B + I_C$$

$$= \frac{Q_F}{\tau_F} \left(\frac{1}{\alpha_F} - 1 \right) + \frac{Q_R}{\tau_R} \left(\frac{1}{\alpha_R} - 1 \right) + \frac{dQ_R}{dt} + \frac{dQ_F}{dt}$$

$$= \frac{Q_F}{\tau_F} \cdot \frac{1}{\beta_F} + \frac{Q_R}{\tau_R} \cdot \frac{1}{\beta_R} + \frac{dQ_R}{dt} + \frac{dQ_F}{dt}$$



Q_{FA}

Q_{RA}

$t < 0, V_i = 0 \quad T_{OFF} \rightarrow I_B = I_C = I_E = 0 \quad \textcircled{A}$

$$I_B = \frac{Q_R}{\tau_F \beta_F} + \frac{Q_F}{\tau_F \beta_F} + \frac{dQ_R}{dt} + \frac{dQ_F}{dt} \Rightarrow Q_R = 0 = Q_F$$

$\Rightarrow 0$ regime stazionario

$$I_B = \frac{V_i - V_{BE}}{R_B} = 0 \Rightarrow V_i = V_{BE} = 0 \text{ perche } V_i = 0$$

$$V_{BC} = V_{BE} - V_{CE} = 0 - V_{CC}$$

$t = 0^+ \quad V_i = V_{CC} \text{ non sposta nessuna carica} \quad \textcircled{B}$

$$V_{BE}(0^+) = V_Y \Rightarrow V_{BC}(0^+) = V_Y - V_{CC}$$

01/04/2019

Non prendo niente e passare da $V_{BE} = 0$ a $V_{BE} = V_Y$ perche non muovo cariche

$$Q_F(0^-) = Q_F(0^+) = 0$$

$t > 0 \quad V_{BE} = V_Y \quad V_{BC} < V_Y' \quad B \rightarrow C$

BE ON
BC OFF
 $Q_R = 0$

$$I_C = \frac{Q_F}{\tau_F} \quad I_B = \frac{Q_F}{\tau_F \beta_F} + \frac{dQ_F}{dt}$$

$$V_{in} = V_{CC} - R_C I_C \quad I_B = \frac{V_i - V_{BE}}{R_B} = \frac{V_{CC} - V_Y}{R_B} = \text{COSTANTE}$$

$$\frac{Q_F}{\tau_F \beta_F} + \frac{dQ_F}{dt} = \frac{V_{CC} - V_Y}{R_B} \quad Q_F(t) = A e^{-\frac{t}{\tau_F \beta_F}} + B \quad \text{trovo } A \text{ e } B$$

$$Q_F(0) = A + B = 0$$

$$Q_F(\infty) = B = \tau_F \beta_F \cdot \frac{V_{CC} - V_Y}{R_B} \quad \text{perche a } \infty \text{ i transistori sono esauriti } \frac{dQ_F}{dt} = 0$$

$$Q_F(t) = \tau_F \beta_F \cdot \frac{V_{CC} - V_Y}{R_B} \left(1 - e^{-\frac{t}{\beta_F \tau_F}} \right) \quad V_{in}(t) = V_{CC} - R_C \frac{Q_F}{\tau_F} = V_{CC} - R_C \beta_F \frac{V_{CC} - V_Y}{R_B} (1 - e^{-\frac{t}{\beta_F \tau_F}})$$

$t_{FALL} \rightarrow$ Tempo che l'uscita impiega per passare dal valore alto al valore basso = $t_{HL} = t_{dHL}$

$$V_{u(t)} \Big|_{t=t_{FALL}} = V_{CE_{SAT}} = V_{CC} - \frac{R_C \beta_F (V_{CC} - V_{BE})}{R_B} \left(1 - e^{-\frac{t_{FALL}}{\beta_F \tau_F}} \right)$$

$$1 - e^{-\frac{t_{FALL}}{\beta_F \tau_F}} = \frac{(V_{CC} - V_{CE_{SAT}}) R_B}{V_{CC} - V_{BE}} \cdot \frac{1}{R_C \beta_F} e^{-\frac{t_{FALL}}{\beta_F \tau_F}}$$

$$-\frac{t_{FALL}}{\beta_F \tau_F} = \ln \left(1 - \frac{V_{CC} - V_{CE_{SAT}}}{\frac{\beta_F R_C}{R_B} (V_{CC} - V_{BE})} \right) \Rightarrow t_{FALL} = \beta_F \tau_F \cdot \ln \left(\frac{1}{1 - \frac{V_{CC} - V_{CE_{SAT}}}{\frac{\beta_F R_C}{R_B} (V_{CC} - V_{BE})}} \right)$$

$\frac{\beta_F R_C}{R_B} = |A_{vF}|$

Per $|A_{vF}| \gg 0$, $t_{FALL} \rightarrow 0$

C \rightarrow D
BE ON
BC ON

$$I_B = \frac{V_{CC} - V_{BE}}{R_B} = \frac{V_{CC} - V_{BE}}{R_B} = \frac{Q_F}{\beta_F \tau_F} + \frac{Q_R}{\beta_R \tau_R} + \frac{dQ_F}{dt} + \frac{dQ_R}{dt}$$

$$I_C = \frac{V_{CC} - V_{CE_{SAT}}}{R_C} = \frac{V_{CC} - V_{CE_{SAT}}}{R_C} = \frac{Q_F}{\tau_F} - \frac{Q_R}{\alpha_R \tau_R} - \frac{dQ_R}{dt}$$

SISTEMA DI DUE E.D. IN QF E QR.

il regime (dopo D) dopo t^* l'ingresso torna basso.

$$t^* \quad V_i: V_{CC} \rightarrow 0 \Rightarrow V_u: V_{CE_{SAT}} \rightarrow V_{CC}$$

$\tau_{SAT} \rightarrow \tau_{OFF}$

$t > t^*$ D \rightarrow C BE ON, BC ON

$$I_C = \frac{Q_F}{\tau_F} - \frac{Q_R}{\alpha_R \tau_R} - \frac{dQ_R}{dt} = \frac{V_{CC} - V_{CE_{SAT}}}{R_C} = \frac{V_{CC} - V_{CE_{SAT}}}{R_C}$$

$$I_B = \frac{Q_F}{\beta_F \tau_F} + \frac{Q_R}{\beta_R \tau_R} + \frac{dQ_R}{dt} + \frac{dQ_F}{dt} = \frac{V_i - V_{BE}}{R_B} = \frac{0 - V_{BE}}{R_B} = -\frac{V_{BE}}{R_B} < 0$$

portar via carica $\Rightarrow Q_F$ diminuisce

$V_A = V_{CE} = V_{BE} - V_{BC} = V_{BE} - V_{BE} = V_{CE_{SAT}}$ Per tutto l'intervallo di tempo t^*, t_1 , la V_u non varia perché BJT saturo.

t_s mi serve per portare il BJT fuori dalla saturazione \rightarrow TEMPO STORAGE

C \rightarrow B

BE ON

BC OFF ($Q_B=0, \frac{dQ_B}{dt}=0$)

$$I_C = \frac{Q_F}{\tau_F} = \frac{V_{CC} - V_{CE(sat)}}{R_C} I_B = \frac{Q_F}{\tau_F \beta_F} + \frac{dQ_F}{dt} = -\frac{V_Y}{R_B}$$

$$Q_F(t) = A e^{-\frac{(t-t_1)}{\tau_F \beta_F}} + B ; \text{ per } t=t_1 \text{ (nuova origine)}$$

$$Q_F(t_1) = I_C \cdot \tau_F = \frac{V_{CC} - V_{CE(sat)}}{R_C} \cdot \tau_F = A + B$$

$$Q_F(\infty) = B = -\frac{V_Y}{R_B} \cdot \tau_F \beta_F \quad \rightarrow \quad Q_F(t) = \left[\frac{V_{CC} - V_{CE(sat)}}{R_C} \tau_F + \tau_F \beta_F \frac{V_Y}{R_B} \right] e^{-\frac{t-t_1}{\tau_F \beta_F}} - \tau_F \beta_F \frac{V_Y}{R_B}$$

$$V_{in} = V_{CC} - R_C I_C = V_{CC} - R_C \frac{Q_F}{\tau_F} \quad \text{e } t = t_{rise}, V_{in} = V_{CC}, Q_F = 0$$

$$t_{rise} = \beta_F \tau_F \ln \left[1 + \frac{V_{CC} - V_{CE(sat)}}{V_Y \cdot \frac{\beta_F R_C}{R_B}} \right] \quad t_{fall} = \beta_F \tau_F \ln \left[\frac{1}{1 - \frac{V_{CC} - V_{CE(sat)}}{(V_{CC} - V_Y) \frac{\beta_F R_C}{R_B}}} \right]$$

Per $\tau_F = 0,06 \text{ ns}$

$$t_{rise} = 2,97 \text{ ns} \quad t_{fall} = 0,72 \text{ ns} = t_{dHL}$$

$t_{dLH} = t_{rise} + t_s$ perché solo dopo questo tempo dalla commutazione dell'ingresso ho in uscita quello che voglio.

$t_{dLH} \gg t_{dHL}$ e $t_{rise} > t_{fall}$ perché la corrente di base, che aiuta il transistor ad accendersi, è grande, mentre la corrente che spegne il BJT è molto più piccola ($-\frac{V_Y}{R_B}$).

La porta RTL è fortemente asimmetrica dal punto di vista dei ritardi.

Per rendere la porta più simmetrica, devo aumentare $I_B = -\frac{V_Y}{R_B}$ in modulo.

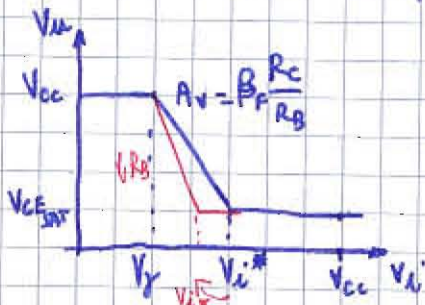
Diminuisco R_B : $R_B \downarrow |I_B| \uparrow$, ma questo influenza il guadagno, che aumenta e fa abbassare il potenziale di saturazione, quindi il BJT è più lento e ci metterò più tempo a disattivarlo.

⇒ inutile abbassare R_B .

L'RTL è una porta non buona. Dobbiamo cambiare porta.

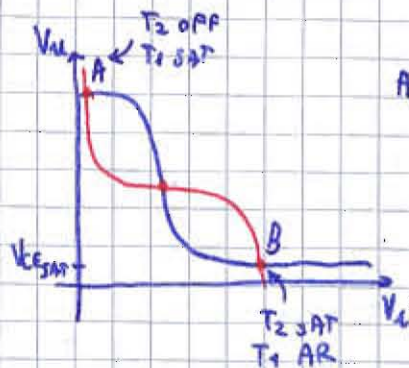
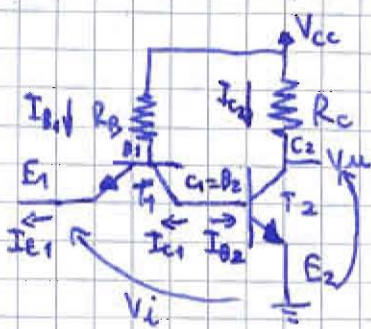
Se $A_v \rightarrow +\infty$, i tempi di ritardo si annullano

06/04/09



Ci servirebbe R_B basso quando commutiamo e R_B alto negli altri casi.

FAMIGLIA LOGICA TTL (Transistor Transistor Logic)



A, B → punti di lavoro stabili

$$I_{C1} = -I_{B2} \text{ vale sempre}$$

Ⓐ ipotesi: $T_2 \text{ OFF} \rightarrow I_{B2} = I_{C2} = I_{E2} = 0$ $I_{C2} = \frac{V_{cc} - V_u}{R_C} = 0 \rightarrow V_u = V_{cc}$
 $I_{C1} = -I_{B2} = 0 \Rightarrow T_1 \text{ non può essere in A.D. } (I_{C1} > 0) \text{ né in A.R. } (I_{C1} < 0)$

ⓑ ipotesi: $T_1 \text{ OFF} \rightarrow I_{B1} = I_{C1} = I_{E1} = 0$ $V_{B1} = V_{cc} - R_B I_{B1} = V_{cc}$
 Se ho un potenziale molto alto sulla base, è strano che non si accende.
 $V_{BE1} = V_{B1} - V_{E1} = V_{cc} - V_i > V_T \Rightarrow T_1 \text{ si accende} \Rightarrow \text{ipotesi assurda!}$
basso, $= 0$ o $= V_{CE_{SAT}}$

⇒ T₂ OFF e T₁ SAT

$$V_{BE2} = V_{CE_{SAT}} + V_i \text{ se } V_{BE2} < V_T, T_2 \text{ OFF}$$

(B) $V_i = V_{CC}$

$T_2 \text{ SAT} \rightarrow V_M = V_{CESAT}$ $I_{C1} = -I_{B2} < 0$ $\Rightarrow T_1$ non può essere in AD
 \hookrightarrow *positiva* ($I_{C1} > 0$) o *OFF* ($I_{C1} = 0$)

1) $T_2 \text{ SAT}$ e $T_1 \text{ SAT}$

$V_{B1} = V_{CC} - R_B I_{B1}$ $V_{BE1} = V_{B1} - V_{E1} = V_{B1} - V_i = V_{CC} - R_B I_{B1} - V_i = -R_B I_{B1}$
 $\Rightarrow V_{BE1} < 0$ ma non è compatibile con $T_1 \text{ SAT}$ ($V_{BE} > 0$) $\hookrightarrow > 0$

$\Rightarrow T_2 \text{ SAT} < T_1 \text{ AR}$
 $\hookrightarrow I_{C1} = -(B_R + 1) I_B$

$V_M: V_{CESAT} \rightarrow V_{CC}$

$T_2: \text{SAT} \rightarrow \text{OFF}$

$B (V_i = V_{CC}) \rightarrow A (V_i = V_{CESAT})$



$T_1: \text{INV} \rightarrow \text{SAT}$

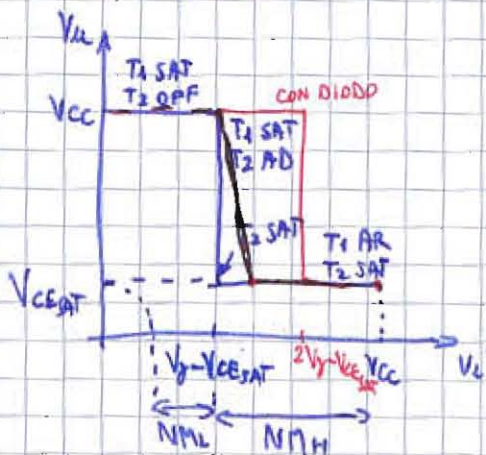
$V_{CE1} = V_{BE2} - V_i = V_Y - V_{CESAT} > V_{CESAT} \Rightarrow T_1 \text{ AD}$ (in regime dinamico)
finché non spengo T_2

$T_1 \text{ AD} \rightarrow I_{C1} = \beta_F I_{B1}$ $I_{B1} = \frac{V_{CC} - (V_{CE1} + V_Y)}{R_B} = \frac{V_{CC} - (V_{CESAT} + V_Y)}{R_B}$

$I_{C1} = \beta_F \cdot I_{B1} = \beta_F \cdot \frac{V_{CC} - (V_{CESAT} + V_Y)}{R_B} = -I_{B2}$ molto più grande di quella dell'altro
 $(I_{B2 \text{ RTL}} = -\frac{V_Y}{R_B})$

transitorio più veloce

UTILIZZO DEL MODELLO A SOGLIA



$T_1 \text{ SAT}$ e $T_2 \text{ OFF} \rightarrow V_M = V_{CC}$ finché

$V_{BE2} = V_i + V_{CE1} = V_i + V_{CESAT} < V_Y$

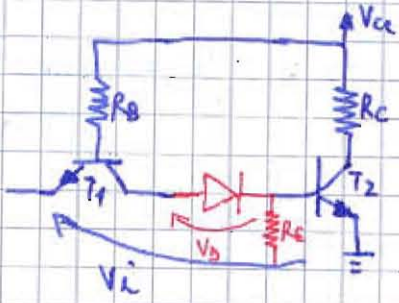
$V_i < V_Y - V_{CESAT} \approx 0,5 V$

1) reale

$NM_L = V_Y - V_{CE_{SAT}} - V_{CE_{SAT}} \approx 0,3V = NM$ margine ridotto rispetto a RTL

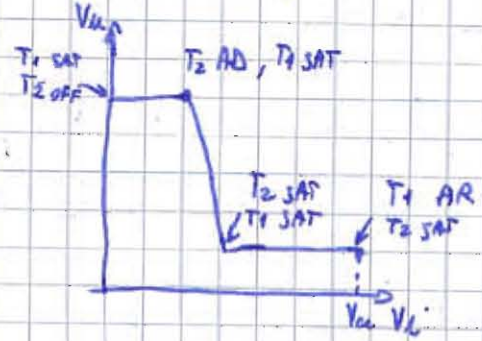
$NM_H = V_{CC} - (V_Y - V_{CE_{SAT}}) \approx 4,5V$

Per aumentare i margini introdurre un diodo tra i due BJT



$V_i + V_{CE_{SAT}} < 2V_Y$ perché devo tenere spenti diodo e BJT

$V_i < 2V_Y - V_{CE_{SAT}}$



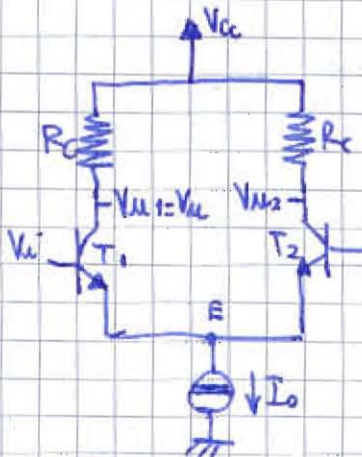
$NM_L = 2V_Y - V_{CE_{SAT}} - V_{CE_{SAT}} \approx 1,0 = NM$

$NM_H = V_{CC} - (2V_Y - V_{CE_{SAT}}) \approx 3,8$

Rimane il problema che devo spegnere anche il diodo. Aggiungo quindi una resistenza RE che però mi spegnerebbe anche T2 (toro di caso RTL)

Ma una nuova famiglia in cui i BJT non saturano mai, ma lavorano solo in AD o OFF.

FAMIGLIA LOGICA ECL (Emitter Coupled Logic)



$T_1 \cong T_2$

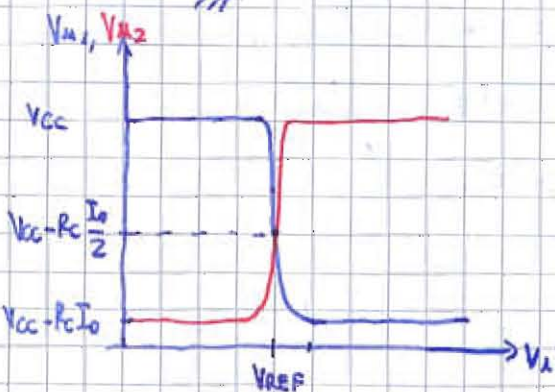
R_c identiche

V_{REF} costante $I_0 \neq 0$ (corrente costante)

$I_{O2} = I_{E1} + I_{E2} \neq 0$

T_1, T_2 mai SAT

T_1, T_2 MAI CONTEMPORANEAMENTE 0



$V_{u1} = V_{CC} - R_c I_{C1}$

$V_{u2} = V_{CC} - R_c I_{C2}$

Del modello di EBM, $I_E = I_F - \alpha_R I_R$

$$I_0 = I_{ES} \left(e^{\frac{V_{BE1}}{V_T}} - 1 \right) - \alpha_F I_{CS} \left(e^{\frac{V_{BE1}}{V_T}} - 1 \right) + I_{ES} \left(e^{\frac{V_{BE2}}{V_T}} - 1 \right) - \alpha_R I_{CS} \left(e^{\frac{V_{BE2}}{V_T}} - 1 \right) =$$

$$= I_{ES} \left(e^{\frac{V_{BE1}}{V_T}} + e^{\frac{V_{BE2}}{V_T}} - 1 - 1 \right) \text{ perché almeno uno dei due } e^{\dots} \text{ è molto grande}$$

perché T_1 e T_2 mai contemporaneamente off.

$$I_{ES} = \frac{I_0}{e^{\frac{V_{BE1}}{V_T}} + e^{\frac{V_{BE2}}{V_T}}}$$

$$I_{C1} = \alpha_F I_{ES} \left(e^{\frac{V_{BE1}}{V_T}} - 1 \right) \approx \frac{I_0}{e^{\frac{V_{BE1}}{V_T}} + e^{\frac{V_{BE2}}{V_T}}} \left(e^{\frac{V_{BE1}}{V_T}} - 1 \right)$$

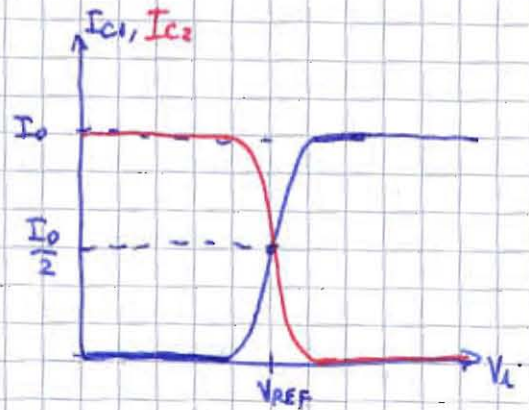
$$I_{C2} = \alpha_R I_{ES} \left(e^{\frac{V_{BE2}}{V_T}} - 1 \right) \approx \frac{I_0}{e^{\frac{V_{BE1}}{V_T}} + e^{\frac{V_{BE2}}{V_T}}} \left(e^{\frac{V_{BE2}}{V_T}} - 1 \right)$$

$$I_{C1} = I_0 \left(\frac{1}{1 + e^{\frac{V_{BE2} - V_{BE1}}{V_T}}} - \frac{1}{e^{\frac{V_{BE1}}{V_T}} + e^{\frac{V_{BE2}}{V_T}}} \right) = \frac{I_0}{1 + e^{\frac{V_{REF} - V_i}{V_T}}}$$

$$V_{BE2} - V_{BE1} = V_{REF} - V_i = V_{REF} - V_i$$

trascurabile rispetto al primo

$$I_{C2} = \dots = \frac{I_0}{1 + e^{\frac{V_i - V_{REF}}{V_T}}}$$

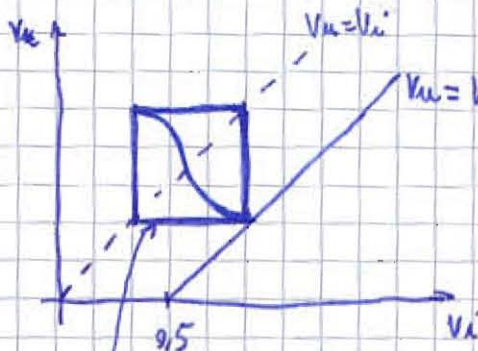


agendo su V_{REF} posso tralare la curva.

agendo su I_0 e/o R_c posso regolare lo swing logic

T_1 mai SAT $\rightarrow V_{CE1} > V_{CE_{SAT}}$

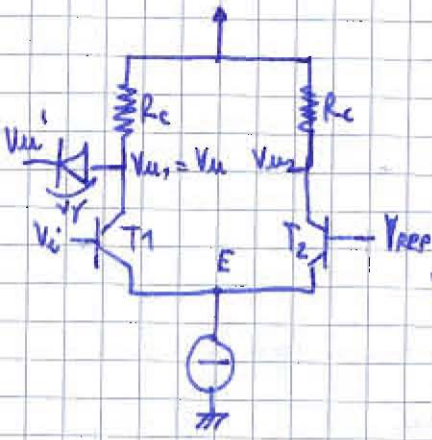
$$V_{u} - V_E = V_{u} - (V_i - V_T) > V_{CE_{SAT}} \quad V_{u} > V_i - V_T + V_{CE_{SAT}} \Rightarrow V_{u} > V_i - 0,5$$



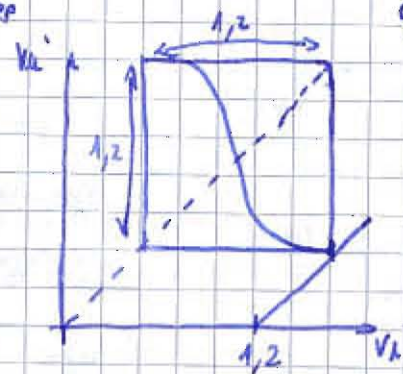
CARATTERISTICA STATICA \rightarrow lato di 0,5

\Rightarrow in realtà lo swing logic non è liberamente regolabile, altrimenti era almeno con T in SAT.

Porta molto veloce perché non dobbiamo dissaturare il BJT

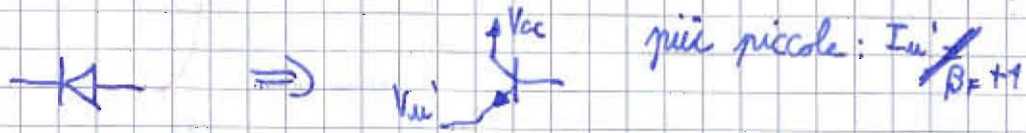


$$\left. \begin{aligned} V_{ce}' + V_{ce} &= V_{cc} \\ V_{ce} &> V_{ce} - 0,5 \end{aligned} \right\} \begin{aligned} V_{ce}' &> V_{ce} - 0,5 - V_{ce} = V_{ce} - 1,2 \\ &\text{quadrato con lato più grande} \end{aligned}$$



Tutto questo se la porta è a vuoto. Se non sono a vuoto, quando T1 è spento, su Rc scorre una corrente e i carichi connessi vanno ad abbassare il valore alto dell'uscita (pulling logic).

Per risolvere questo problema sostituisco il diodo con un BJT connesso a Vce' nell'emettitore e Vcc nel collettore. Questo può, quando acceso, lavorare solo in AD. Sulla Rc passerà quindi una corrente



$$V_{ce} = V_{cc} - R_c I_c$$

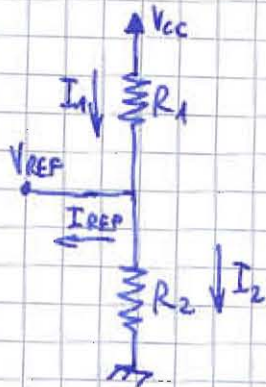
$$I_c = \frac{I_0}{1 + e^{\frac{V_{REF} - V_i}{V_T}}} \Rightarrow V_{ce} = V_{cc} - R_c \cdot \frac{I_0}{1 + e^{\frac{V_{REF} - V_i}{V_T}}}$$

$$A_v = \frac{dV_{ce}}{dV_i} = -R_c I_0 \cdot \frac{-e^{\frac{V_{REF} - V_i}{V_T}} \cdot (-\frac{1}{V_T})}{\left(1 + e^{\frac{V_{REF} - V_i}{V_T}}\right)^2} = \frac{\frac{R_c I_0}{V_T} e^{\frac{V_{REF} - V_i}{V_T}}}{\left(1 + e^{\frac{V_{REF} - V_i}{V_T}}\right)^2}$$

$$A_v \Big|_{V_i = V_{REF}} = -\frac{R_c I_0}{A V_T} \approx -10$$

$$\begin{cases} I_0 = 10^{-2} + 10^{-3} \text{ A} \\ R_c = 10^3 \text{ } \Omega \\ V_T = 25 \text{ mV} \end{cases}$$

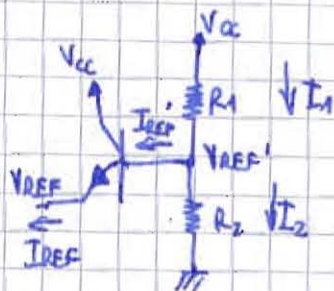
Per realizzare V_{REF} uso il partitore di tensione:



$$I_1 = I_{REF} + I_2 \quad \frac{V_{CC} - V_{REF}}{R_1} = I_{REF} + \frac{V_{REF}}{R_2}$$

Ma questa soluzione non mi garantisce che V_{REF} sia costante perché ho una corrente di base I_{REF} che varia con la polarizzazione del BJT.

Per risolvere il problema inserisco un transistor



$$I_{REF}' = \frac{I_{REF}}{\beta_F + 1} \quad I_1 = I_{REF}' + I_2$$

↳ 100 volte più piccole di prima

il posto del generatore ⊖ metto una resistenza R_E

Nella realtà intervengono disturbi (rumore).

$V_{OH} = V_{CC}$ $V_{OL} = V_{CC} - R_C I_O$ Se applico un disturbo su V_{CC} , avviene una variazione sia in ingresso che in uscita.

Nella realtà, al posto di V_{CC} uso massa come V_{OH} , mentre uso $-V_{EE}$ come massa

$$I_O = \frac{V_E - (-V_{EE})}{R_E} = \frac{V_E + V_{EE}}{R_E} = \frac{V_{REF} - V_Y + V_{EE}}{R_E}$$

$$V_{OH} = 0 \quad V_{OL} = -I_O R_C = -\frac{R_C}{R_E} (V_{REF} - V_Y + V_{EE})$$

la massa è la meno soggetta a rumore.

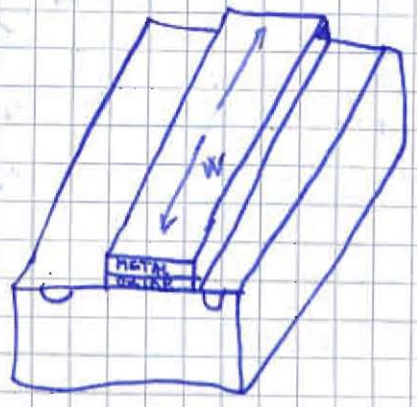
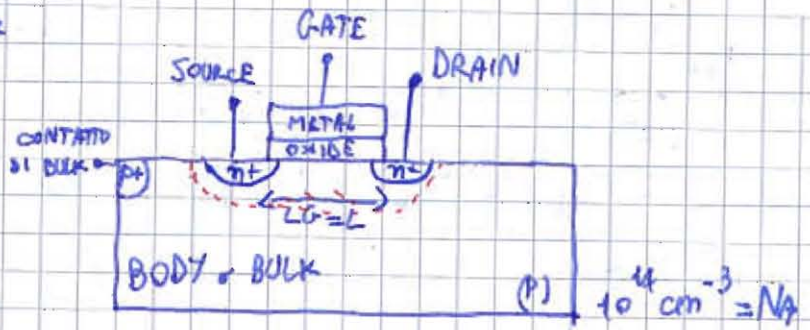
Se applico una variazione su V_{CC} , il riflesso sull'uscita è pesato da $V_{OL} = -\frac{R_C}{R_E} V_{CC}$ e mi basta fare R_E molto grande per ridurre il rumore.

MOS FET

METAL OXIDE SEMICONDUCTOR FIELD EFFECT TRANSISTOR

Non è un dispositivo bipolare

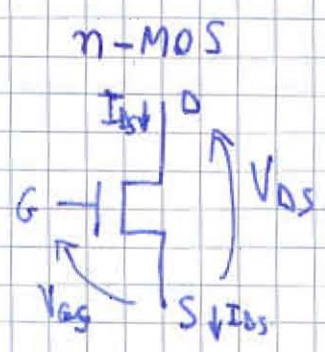
$L_G \Rightarrow$ lunghezza canale



- 1) STRUTTURA SIMMETRICA
- 2) n-MOS: il DRAIN è il potenziale più ALTO, il SOURCE è il potenziale più BASSO
- 3) DISPOSITIVO AUTOISOLATO dal substrato che sta sotto.

Le giunzioni p-n+ sono sempre in invertera, altrimenti condurrebbe e creerebbe una corrente indesiderata. La corrente deve andare da source a drain attraverso il canale. Il canale sta dentro una regione neutra.

4) NON C'È CORRENTE NEL GATE perché ha l'ossido che è un isolante.

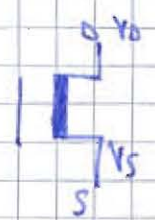


MOS ENHANCEMENT (o ad arricchimento) - NORMALLY OFF

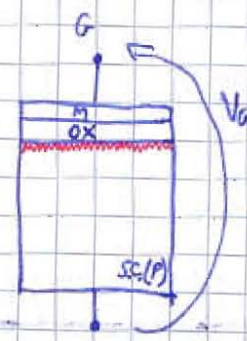
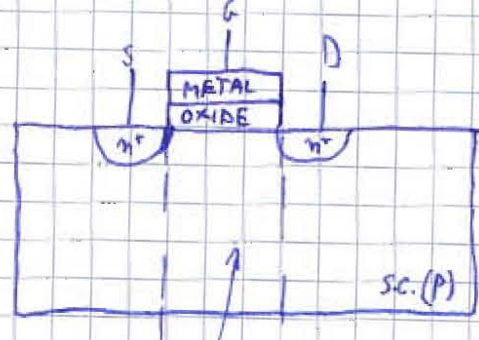
$V_T > 0$ tensione di soglia. Se non polarizzo il MOS, non ho il canale.

La V_{GS} (quindi il gate) cambia il valore della resistenza tra S e D.
 $V_{GS} > V_T$ Non spendo potenza per polarizzare il MOS.

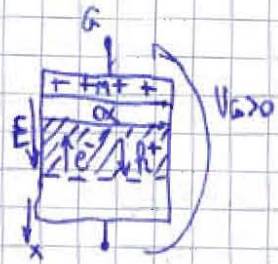
n-MOS DEPLETION (o arricchimento) o NORMALLY ON



il canale c'è sempre, e meno che non lo neutri. $V_T < 0$.



Supponiamo $V_G > 0$

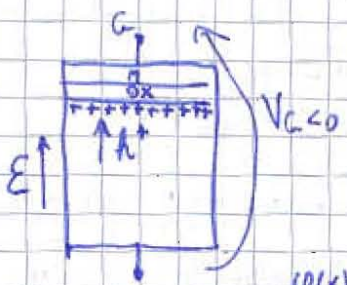


nell'ossido non può circolare corrente

$$J = 0 = qn\mu_n E + qDn \frac{dn}{dx}$$

Si creerà una regione invertita e, al suo interno, un "film" molto conduttivo (CANALE).

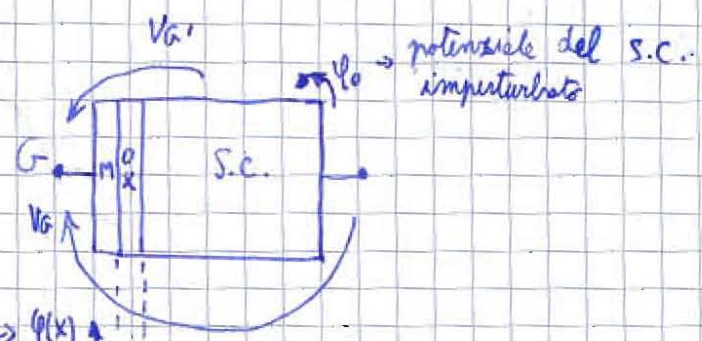
Se $V_G < 0$



Il campo attira lacune alla superficie del s.c.
Crea quindi un canale (regione a bassa resistenza) di lacune.

$$n(x) = n(x_0) \cdot e^{\frac{\phi(x) - \phi(x_0)}{V_T}}$$

$$p(x) = p(x_0) \cdot e^{-\frac{\phi(x) - \phi(x_0)}{V_T}}$$

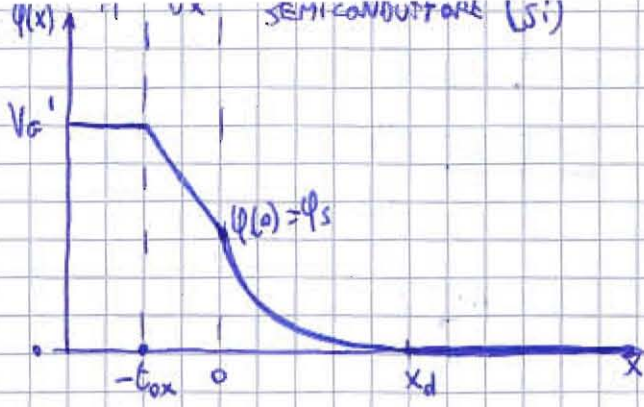


Il potenziale alla superficie gestirà il numero di h^+ vicino alla superficie

$$V_G' \rightarrow \text{potenziale riferito a } \phi_0. \Rightarrow V_G' = V_G - \phi_0$$

Se $V_G' > 0$, $\phi_s > 0$ e sarà $\in [0, V_G']$

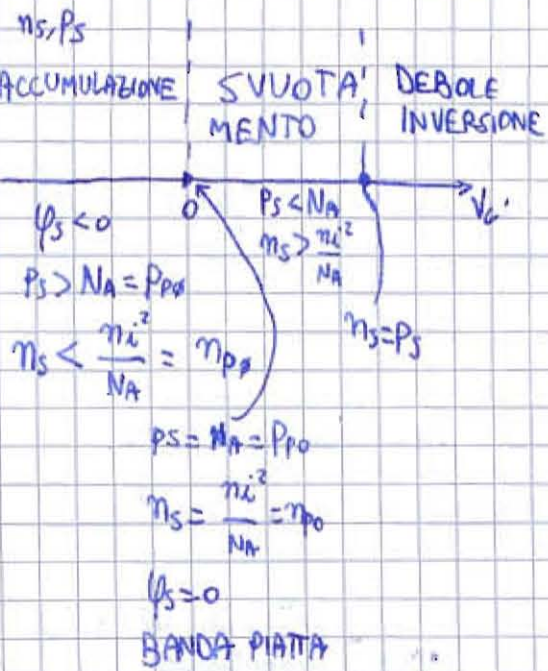
Se $V_G' < 0$, $\phi_s < 0$ e $V_G' = 0$, $\phi_s = 0$



$$n_s = n(0) = \frac{n_i^2}{N_A} e^{\frac{\phi(0)}{V_T}} = \frac{n_i^2}{N_A} e^{\frac{\phi_s}{V_T}}$$

$$p_s = p(0) = N_A e^{-\frac{\phi(0)}{V_T}} = N_A e^{-\frac{\phi_s}{V_T}}$$

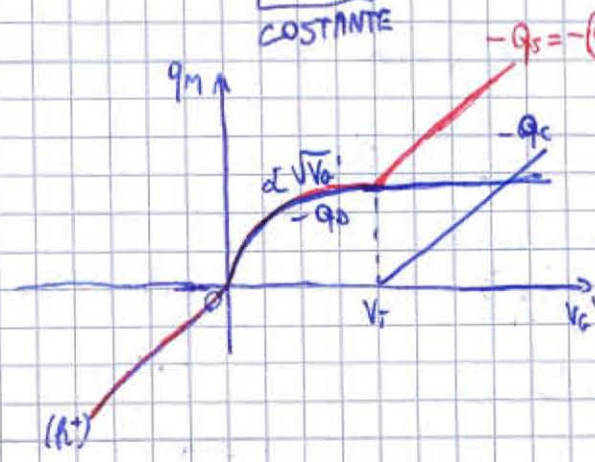
$$n(x_0) = n_{po} = \frac{n_i^2}{N_A} \quad \phi(x_0) = 0$$



① $V_G' < 0 \rightarrow n_s = n_{po} e^{\frac{\phi_s}{V_T}} < n_{po} = \frac{n_i^2}{N_A}$
 $p_s = p_{po} e^{-\frac{\phi_s}{V_T}} > p_{po} = N_A$

sto accumulando lacune all'interfaccia e allontanando elettroni

$C_{ox} = \frac{\epsilon_{ox}}{t_{ox}}$ capacità per unità di superficie
 COSTANTE



$q_m = \text{CARICA METALLO}$
 $q_s = \text{CARICA SEMI-CONDUTTORE}$
 $q_m + q_s = 0 \quad q_m = -q_s$
 $q_c = \text{CARICA ELETTRONI NEL CANALE}$
 $q_D = \text{CARICA REGIONE SVUOTATA}$

② $V_G' > 0 \rightarrow \phi_s > 0$

$$n_s = n_{po} e^{\frac{\phi_s}{V_T}} > n_{po} = \frac{n_i^2}{N_A}$$

$$p_s = p_{po} e^{-\frac{\phi_s}{V_T}} < p_{po} = N_A$$

le lacune si allontanano, si accumulano elettroni in superficie.

$$q_D = -q N_A x_d = -\sqrt{2 \epsilon_s q N_A \phi_s}$$

DEPLETION CARICA REGIONE SVUOTATA

$$\sqrt{\frac{2 \epsilon_s}{q} \cdot \frac{1}{N_A} \phi_s}$$

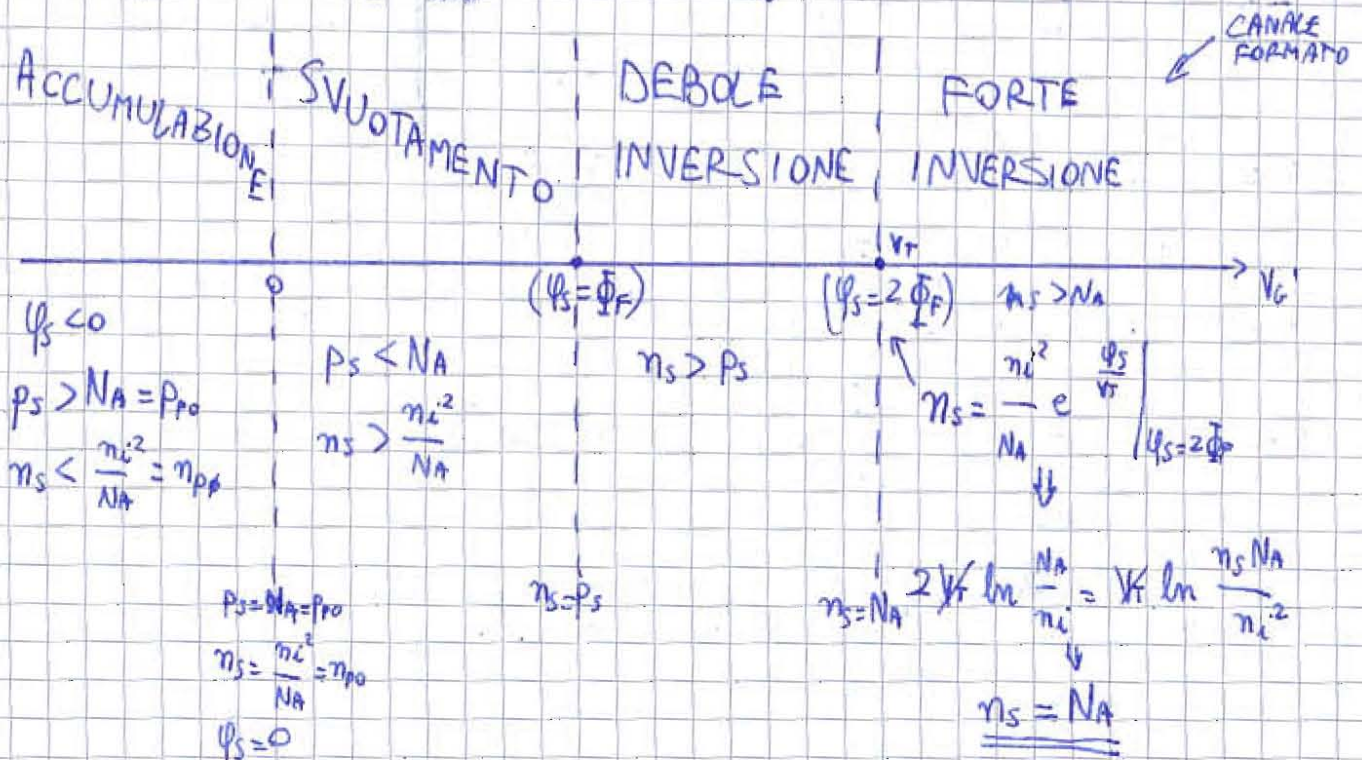


$$C = \frac{C_{ox} \cdot C_{DEP}}{C_{ox} + C_{DEP}}$$

Quando $n_s = p_s$

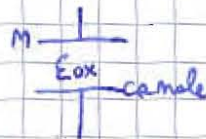
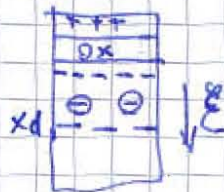
$$\frac{n_i^2}{N_A} e^{\frac{\psi_s}{V_T}} = N_A e^{-\frac{\psi_s}{V_T}} \quad \ln\left(e^{\frac{2\psi_s}{V_T}}\right) = \ln\left(\frac{N_A^2}{n_i^2}\right)$$

$$\frac{2\psi_s}{V_T} = 2 \ln \frac{N_A}{n_i} \quad \psi_s = V_T \ln \frac{N_A}{n_i} = \Phi_F = \text{POTENZIALE DI FERMI}$$



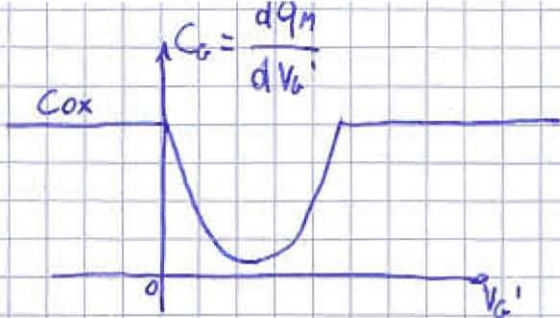
In forte inversione ha invertito la polarizzazione del semiconduttore

$V_G' > V_T \rightarrow$

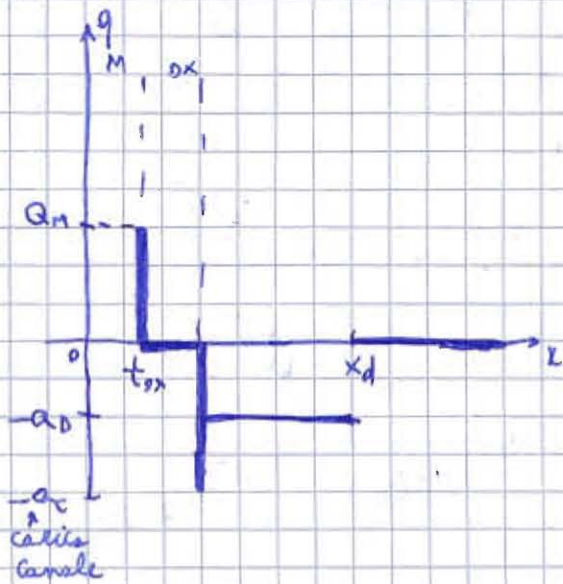
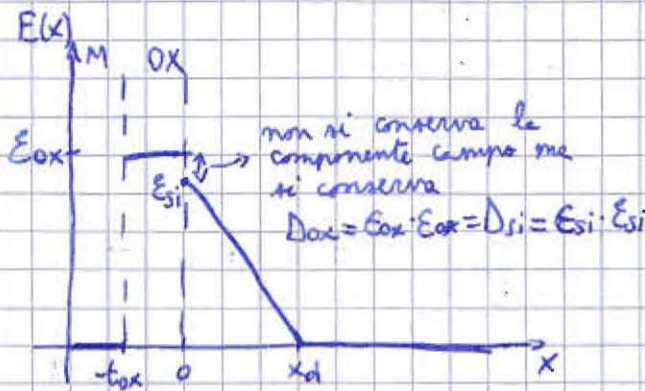


$$C = \frac{dq}{dV}$$

Del punto in cui entra in forte inversione, la regione svuotata cessa di allargarsi e q_D resta costante



La capacità ha valore massimo pari a C_{ox} .
Nella regione di svuotamento la capacità varia in funzione di V_G' .



$$E(x) = - \frac{d\varphi}{dx} \quad \frac{dE}{dx} = \frac{\rho}{\epsilon}$$

METALLO $\rightarrow E = - \frac{dV_G'}{dx} = 0 \quad \varphi = V_G' = \text{const.}$

OSSIDO $\rightarrow \rho = 0$ non c'è carica $\frac{dE}{dx} = 0 \quad E = \text{const.} = E_{ox} \quad \varphi$ varia linearmente

$$E_{ox} = \frac{V_G' - \psi_s}{t_{ox}} \quad \text{coefficiente angolare della retta } \varphi \rightarrow \text{derivata di } \varphi \rightarrow E$$

REGIONE NEUTRA $\rightarrow x > x_d \quad \varphi = 0 \rightarrow E = 0$

SVUOTATA $\rightarrow 0 < x < x_d \quad \rho = q [p - n + N_D - N_A] = -N_A q$

trascurabile perché $\psi_s \ll N_A$ perché $\psi_s > 0$ $\psi_s = N_A e^{-\frac{\psi_s}{V_T}}$
 drogaggio molto con N_A $n_s = \frac{n_i^2}{N_A} e^{\frac{\psi_s}{V_T}}$
 trascurabile perché

$$\frac{dE}{dx} = \frac{\rho}{\epsilon} = - \frac{q N_A}{\epsilon_{si}} \Rightarrow \text{il potenziale avrà andamento parabolico}$$

La regione centrale del MOSFET è un condensatore in cui un'armatura è il metallo e l'altra il semiconduttore.

$x > x_d$ regione neutra del semiconduttore

$$\frac{dE(x)}{dx} = -\frac{q N_A}{\epsilon_{si}} \quad dE(x) = -\frac{q N_A}{\epsilon_{si}} dx \quad \int_{E(x)}^{E(x_d)} dE(x) = \int_x^{x_d} -\frac{q N_A}{\epsilon_{si}} dx$$

$$E(x_d) - E(x) = -\frac{q \cdot N_A}{\epsilon_{si}} (x_d - x) \quad \text{ma } E(x_d) = 0$$

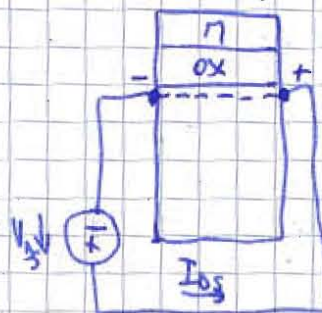
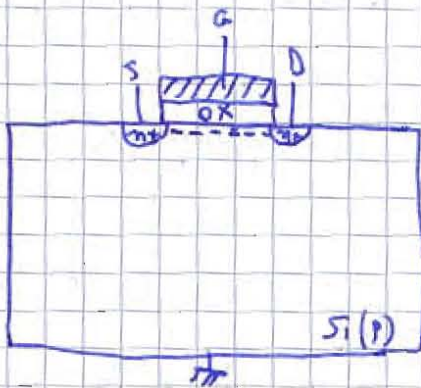
$$E(x) = \frac{q \cdot N_A}{\epsilon_{si}} (x_d - x) \quad -\frac{d\varphi}{dx} = \frac{q N_A}{\epsilon_{si}} (x_d - x)$$

retta con pendenza negativa CVD

$$d\varphi = -\frac{q N_A}{\epsilon_{si}} (x_d - x) dx \quad \int_{\varphi(x)}^{\varphi(x_d)} d\varphi = \int_x^{x_d} -\frac{q N_A}{\epsilon_{si}} (x_d - x) dx$$

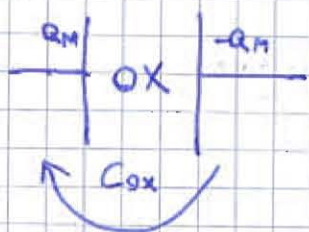
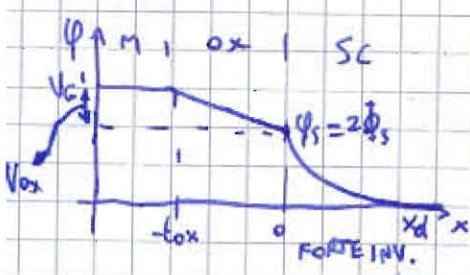
$$\varphi(x_d) - \varphi(x) = -\frac{q N_A}{\epsilon_{si}} \left[x_d \cdot x - x^2 \cdot \frac{1}{2} \right]_x^{x_d} = -\frac{q N_A}{\epsilon_{si}} \left[x_d^2 - \frac{x_d^2}{2} - x_d \cdot x + \frac{x^2}{2} \right] =$$

$$= -\frac{q N_A}{2\epsilon_{si}} (x_d - x)^2 \quad \varphi(x) = \frac{q \cdot N_A}{2\epsilon_{si}} (x_d - x)^2 \quad \text{parabola CVD.}$$



$$C = \frac{dQ}{dV} = \frac{q}{V}$$

Considero il condensatore MOS: la capacità in inversione è proprio C_{ox} .



$$C_{ox} = \frac{Q_M}{V_{ox}} = \frac{Q_M}{V_G' - 2\phi_F}$$

$$V_G' - \phi_s = V_G' - 2\phi_F$$

$$Q_M = C_{ox} (V_G' - 2\phi_F) \quad \text{ma } Q_M = -Q_S$$

$$C_{ox} (V_G' - 2\phi_F) = -Q_S = -(\underbrace{Q_d + Q_c}_{\text{carica neutramento}})$$

$$Q_c = -C_{ox} (V_G' - 2\phi_F) - Q_d$$

$$= -C_{ox} (V_G' - 2\phi_F) + \sqrt{2\epsilon_s q N_A (2\phi_F)} \cdot \frac{C_{ox}}{C_{ox}}$$

ma $Q_d = -\sqrt{2\epsilon_s q N_A (2\phi_F)}$
 dovuta agli atomi scattori ionizzati

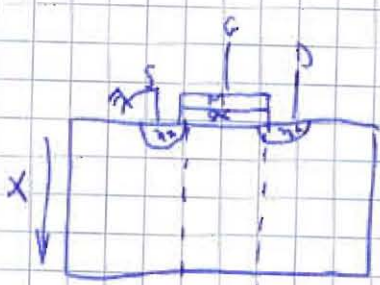
$$Q_c = -C_{ox} \left(V_G' - 2\phi_F - \underbrace{\frac{\sqrt{2\epsilon_s q N_A}}{C_{ox}}}_{\gamma = \text{cost.}} \cdot \sqrt{2\phi_F} \right) = -C_{ox} \left(V_G' - 2\phi_F - \gamma \sqrt{2\phi_F} \right)$$

$V_G' = V_G - \phi_0$ se $V_G' = 0$ sono in condizioni di BANDA PIATTA
 Il valore di V_G (tra gate e bulk) per portare il MOS in banda piatta lo chiamo V_{FB} , cioè V FLAT BAND. $V_G' = 0 \Rightarrow V_G = \phi_0 = V_{FB}$

$$Q_c = -C_{ox} \left(V_G - \phi_0 - 2\phi_F - \gamma \sqrt{2\phi_F} \right) = -C_{ox} \left(V_G - V_{FB} - 2\phi_F - \gamma \sqrt{2\phi_F} \right) =$$

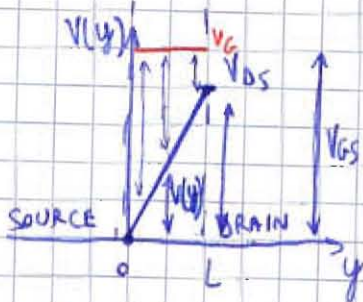
$$= -C_{ox} \left[V_G - \underbrace{\left(V_{FB} + 2\phi_F + \gamma \sqrt{2\phi_F} \right)}_{V_T} \right] = -C_{ox} (V_G - V_T) \quad \text{mi serve } V_G > V_T \text{ per avere il canale.}$$

Se il potenziale tra D e S varia, devo avere che in ogni punto la tensione sia $> V_T$, altrimenti non sono sicuro si crei il canale.



$$Q_c = -C_{ox} (V_{GS} - V_T) \quad \text{se } V_{GS} = 0$$

Se $V_{GS} \neq 0$, "risultano" ad avere il canale se la tensione $V_{GS} - V(y)$ è sempre "maggiore" di V_T .



$$V_{GS} - V(y) - V_T > 0$$

$$Q_c = -C_{ox} (V_{GS} - V_T - V(y))$$

Il canale non sarà lo stesso perché Q_c varia con $V(y)$ e varia più grande quando $V(y) \rightarrow 0$.

$$I = -Q_c \cdot v_{dn} \cdot W = W C_{ox} (V_{GS} - V_T - V(y)) \cdot (-\mu_n E(y)) = \mu_n C_{ox} W (V_{GS} - V_T - V(y)) \frac{dV(y)}{dy}$$

\uparrow velocità portatori \uparrow profondità MOSFET (canale)
 μ_n

$$\int_0^L I dy = \int_{V(0)=0}^{V(L)=V_{DS} \rightarrow \text{DRAIN}} \mu_n C_{ox} W (V_{GS} - V_T - V(y)) dV(y)$$

\downarrow AL SOURCE

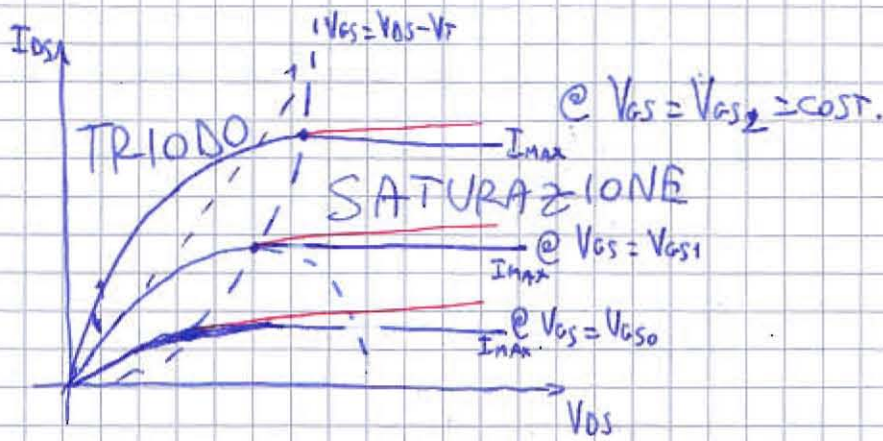
$$I \cdot L = \mu_n C_{ox} W \left[(V_{GS} - V_T) V_{DS} - \frac{V_{DS}^2}{2} \right]$$

$$I = \underbrace{\mu_n C_{ox} \frac{W}{L}}_{\beta_m} \left[(V_{GS} - V_T) V_{DS} - \frac{V_{DS}^2}{2} \right] = \text{CORRENTE DEL MOS}$$

capacità tra il canale il gate e il semiconduttore
 FATTORE DI FORMA

$$= \beta_m \left[(V_{GS} - V_T) V_{DS} - \frac{V_{DS}^2}{2} \right] = I_{DS} = I(V_{GS}, V_{DS})$$

il me interessa I_{DS} in funzione di $V_{DS} \rightarrow$ famiglia di curve



Cerca il punto di massimo

$$\frac{\partial I_{DS}}{\partial V_{DS}} = 0 = \beta_n [V_{GS} - V_T - V_{DS}] = 0 \Leftrightarrow V_{DS} = V_{GS} - V_T$$

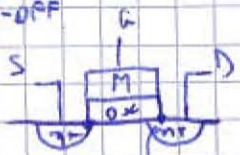
$$I_{DS} \Big|_{V_{DS} = V_{GS} - V_T} = \beta_n \left[(V_{GS} - V_T)(V_{GS} - V_T) - \frac{(V_{GS} - V_T)^2}{2} \right] = \frac{\beta_n}{2} (V_{GS} - V_T)^2 = I_{MAX} \quad \forall V_{GS} > V_{GS0}$$

Tutti i punti di massimo stanno su una parabola.

TRILIBRO \rightarrow sinistra della parabola, cioè $V_{DS} < V_{GS} - V_T$; $V_{DS} > V_{GS} + V_T$
 LINEARE

SATURAZIONE \rightarrow destra della parabola, cioè $V_{DS} > V_{GS} - V_T$; $V_{GS} < V_{DS} + V_T$

PINCH-OFF



se voglio il canale il drain $V_{GD} > V_T$

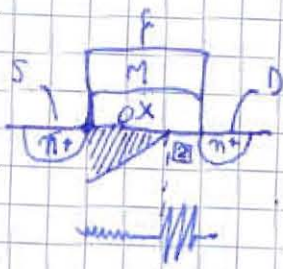
Nel punto di massima corrente, $V_{DS} = V_{GS} - V_T$. $V_T = V_{GS} - V_{DS} = V_{GD}$

$$Q_c = -C_{ox}(V_{GS} - V_T - V_{DS}) \quad \text{ma } V_{DS} = V_{GS} - V_T \quad \text{nel punto di max corrente}$$

$\Rightarrow Q_c = 0$ Il canale è STROZZATO.

umentando ancora la V_{DS} oltre il punto di pinch-off, il canale si stringerà un po' prima.

Ma allora come faccio ad avere corrente se in un punto non ho il canale???



$$I = A \cdot j = \sigma \cdot E \cdot A$$

\uparrow conducibilità
 \uparrow
 $q \cdot n \cdot \mu_n$

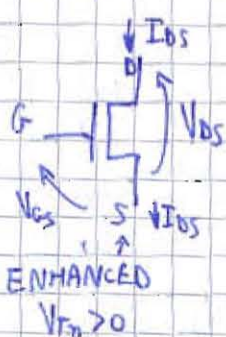
In [2] $\mu_n \rightarrow 0 \Rightarrow \sigma \rightarrow 0$ ma $I = \text{cost}$ per esperienza $\Rightarrow E \rightarrow \infty$

Ho un campo elettrico che prende gli elettroni che arrivano vicino a [2] e li porta al DRAIN.

Oltre il punto di pinch-off, tutta la caduta di potenziale serve per sostenere il campo elettrico.

In realtà, la corrente non rimane costante perché il canale si accorcia, \downarrow diminuisce e la corrente aumenta perché aumenta β_n .

n-MOS



OFF $V_{GS} < V_{Tn}$

$$I_{DS} = 0$$

SATURAZIONE o PINCH-OFF

$$V_{Tn} < V_{GS} < V_{DS} + V_{Tn}$$

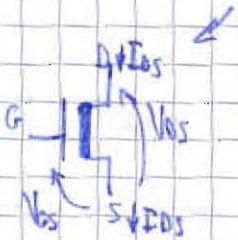
$$I_{DS} = \frac{\beta_n}{2} (V_{GS} - V_{Tn})^2$$

TRILLODO o LINEARE

$$V_{GS} > V_{DS} + V_{Tn}$$

$$I_{DS} = \beta_n \left[(V_{GS} - V_{Tn}) V_{DS} - \frac{V_{DS}^2}{2} \right]$$

Per un n-MOS DEPLETION valgono le stesse equazioni, ma $V_{Tn} < 0$



p-MOS



OFF $V_{SG} < |V_{TP}|$

$$I_{SD} = 0$$

SATURAZIONE

$$|V_{TP}| < V_{SG} < V_{SD} + |V_{TP}|$$

$$I_{SD} = \frac{\beta_p}{2} (V_{SG} - |V_{TP}|)^2$$

TRILLODO

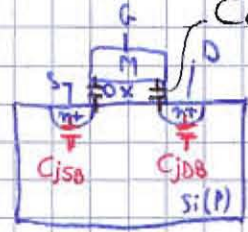
$$V_{SG} > V_{SD} + |V_{TP}|$$

$$I_{SD} = \beta_p \left[(V_{SG} - |V_{TP}|) V_{SD} - \frac{V_{SD}^2}{2} \right]$$

SOURCE al potenziale più alto

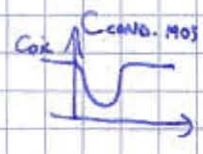
$V_{TP} < 0$ (p-mos enhancement)

$C_{OV} = \text{COVERLAP}$ non dipende dalla tensione



$C_{jSB} \propto \sqrt{|V_{SB}|}$
 $C_{jDB} \propto \sqrt{|V_{DB}|}$

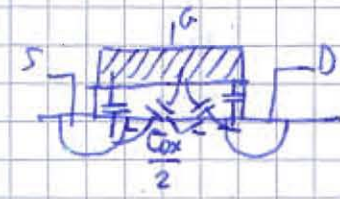
C_{GB} associata a gate-bulk



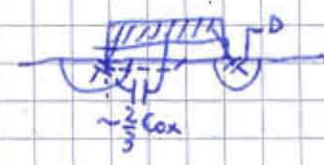
Spazisce quando c'è il canale perché entrano in gioco le capacità tra G e S e quella tra G e D.

IN REGIONE LINEARE

	OFF	LIN	SAT
C_{GB}	C_{ox}	0	0
C_{GS}	C_{ov}	$C_{ov} + \frac{C_{ox}}{2}$	$C_{ov} + \frac{2}{3}C_{ox}$
C_{GD}	C_{ov}	$C_{ov} + \frac{C_{ox}}{2}$	C_{ov}



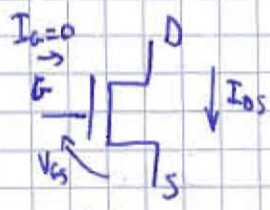
IN PINCH-OFF



il drain non comanda più perché non arriva al canale

DE MUNARI

MOS



20/04/2009

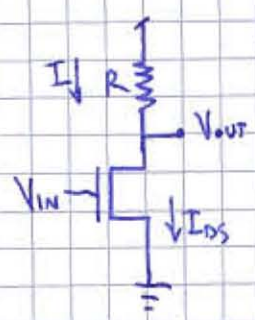
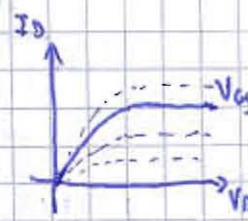
OFF $V_{GS} < V_T$

SAT $V_{DS} > V_{GS} - V_T$

LINEARE $V_{DS} < V_{GS} - V_T$

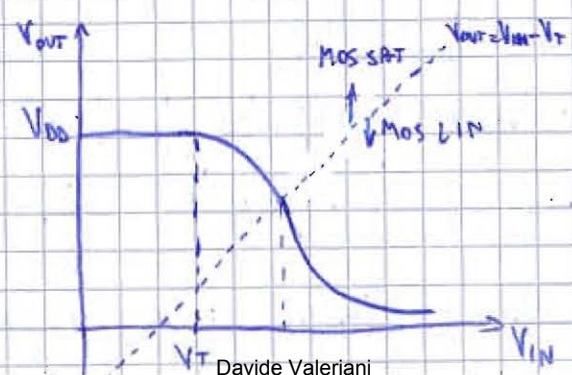
$I_D = I_{os} = \frac{\beta_n}{2} (V_{GS} - V_T)^2$

$I_D = \beta_n \left[(V_{GS} - V_T) \cdot V_{DS} - \frac{V_{DS}^2}{2} \right]$



Connettendo in uscita porte identiche non ho problemi di FAN-OUT perché le correnti assorbite sono nulle ($I_G=0$), in condizioni statiche.

Voglio calcolare la caratteristica V_{out} in funzione di $V_{in} = V_{GS}$



Se $V_{IN} = V_{GS} < V_T \Rightarrow$ MOS è OFF $\Rightarrow I_{DS} = 0$.

$$V_{OUT} = V_{DD} - R \cdot I \quad \text{ma} \quad I = I_{DS} \quad \text{perché} \quad I_{DS} = 0$$
$$\Rightarrow V_{OUT} = V_{DD}$$

Se $V_{IN} > V_T \Rightarrow$ MOS è ON

Hip: MOS saturo $V_{GS} > V_{GS} - V_T$ ma $V_{DS} = V_{OUT}$ e $V_{GS} = V_{IN}$

$$V_{OUT} > V_{IN} - V_T \quad \text{e} \quad V_{IN} < V_{OUT} + V_T$$

Vicino a V_T ($\approx 0,35V$), V_{IN} è circa $0,5V$ ma $V_{OUT} = V_{DD} (\approx 1,8V) + V_T > V_{IN}$ ✓

\Rightarrow Sono in saturazione!

$$I_{DS} = \frac{\beta_n}{2} (V_{GS} - V_T)^2 = \frac{\beta_n}{2} (V_{IN} - V_T)^2 \quad V_{OUT} = V_{DD} - R \cdot \frac{\beta_n}{2} (V_{IN} - V_T)^2$$

La parabola ha massimo in:

$$\frac{dV_{OUT}}{dV_{IN}} = - \frac{2R\beta_n}{2} (V_{IN} - V_T) = 0 \quad \Rightarrow \quad V_{IN} = V_T$$

Il MOS è SAT finché $V_{DS} > V_{GS} - V_T$ cioè $V_{OUT} > V_{IN} - V_T$

Quando $V_{OUT} = V_{IN} - V_T$ ha il passaggio da saturazione a lineare

Per $V_{OUT} < V_{IN} - V_T$ il MOS è lineare. $\Rightarrow I_{DS} = \beta_n \left[(V_{GS} - V_T)V_{DS} - \frac{V_{DS}^2}{2} \right]$.

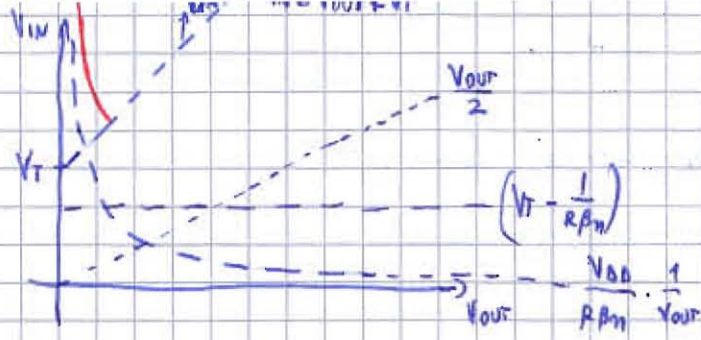
$$I_{DS} = \beta_n \left[(V_{IN} - V_T) \cdot V_{OUT} - \frac{V_{OUT}^2}{2} \right] \Rightarrow V_{OUT} = V_{DD} - R \cdot I = V_{DD} - R \cdot I_{DS} =$$

$$= V_{DD} - R\beta_n \left[(V_{IN} - V_T) \cdot V_{OUT} - \frac{V_{OUT}^2}{2} \right] \quad \text{lungho ricavare } V_{OUT} \Rightarrow \text{ricavo } V_{IN} \text{ in funzione}$$

di V_{OUT} , disegno il grafico, poi ribalto.

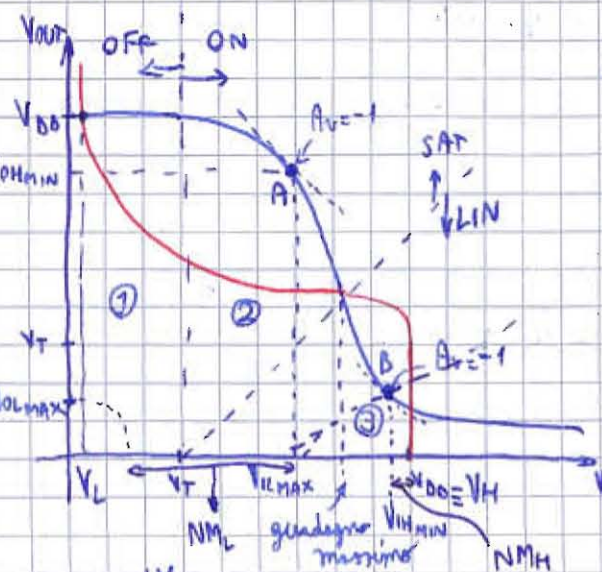
$$V_{OUT} = V_{DD} - R\beta_n V_{IN} V_{OUT} + R\beta_n V_T V_{OUT} + R\beta_n \frac{V_{OUT}^2}{2} \quad V_{IN} = \frac{-V_{OUT} + V_{DD} + R\beta_n V_T V_{OUT} + R\beta_n \frac{V_{OUT}^2}{2}}{R\beta_n V_{OUT}}$$

$$= - \frac{1}{R\beta_n} + \frac{V_{DD}}{R\beta_n V_{OUT}} + V_T + \frac{V_{OUT}}{2}$$



Esistono solo dove mi serve, cioè quando il Mos è in lineare ($V_{IN} = V_{OUT} + V_T$), cioè quando $V_{OUT} < V_{IN} - V_T$, cioè $V_{IN} > V_{OUT} + V_T$

Devo ribaltare il piano. Tengo come riferimento la retta $V_{IN} = V_{OUT} + V_T$



La porta MOS è un NOT. Cerco di capire dove sono V_H e V_L invertendo il grafico per capire il comportamento del MOS 2.

$A_v = \frac{dV_{out}}{dV_{in}}$ Per avere un buon invertitore devo avere due tratti a pendenza forte e un tratto a pendenza elevata.

La zona 1 ha guadagno nullo; la zona 3 ha guadagno forte; nella zona 2 il guadagno cresce fino al punto di guadagno massimo.

Calcolo il margine di immunità ai disturbi. Cerco i punti a guadagno ± 1

$$NM_H = V_{OHmin} - V_{IHmin}$$

$$NM_L = V_{ILmax} - V_{OLmax}$$

Devo trovare le coordinate di A e di B.

A Calcolo la derivata di V_{out} e la pongo uguale a -1

$$\frac{dV_{out}}{dV_{in}} = -\beta_{nR}(V_{in} - V_T) = -1 \quad \beta_{nR}V_{in} - \beta_{nR}V_T = 1 \quad V_{in} = \frac{1 + \beta_{nR}V_T}{\beta_{nR}} = \frac{1}{\beta_{nR}} + V_T$$

$$V_{out} = V_{DD} - \frac{\beta_n R}{2} \left(\frac{1}{\beta_n R} + V_T - V_T \right)^2 = V_{DD} - \frac{1}{2\beta_n R} = V_{OH_{MIN}}$$

$$\text{B) } \frac{dV_{out}}{dV_{in}} = -\beta_n R \left[V_{out} + (V_{in} - V_T) \frac{dV_{out}}{dV_{in}} - \frac{2V_{out}}{2} \cdot \frac{dV_{out}}{dV_{in}} \right] \quad \frac{dV_{out}}{dV_{in}} = -1$$

$$\left\{ +1 = +\beta_n R \left[V_{out} - V_{in} + V_T + V_{out} \right] \quad \leftarrow \text{derivata} = 1 \right.$$

$$\left. V_{out} = V_{DD} - \beta_n R \left[(V_{in} - V_T) V_{out} - \frac{V_{out}^2}{2} \right] \quad \leftarrow \text{equazione del tratto} \right.$$

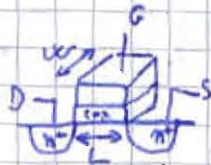
$$V_{out} = V_{OL_{MAX}} \quad V_{in} = V_{IH_{MIN}}$$

$$\rightarrow V_{in} = 2V_{out} + V_T - \frac{1}{\beta_n R} \quad ; \quad V_{out} = \frac{V_{in}}{2} - \frac{V_T}{2} + \frac{1}{2\beta_n R}$$

Per aumentare il guadagno o aumentare R o aumentare β_n .

$$\beta_n = C_{ox} \mu_n \frac{W}{L}$$

capacità per unità di superficie
 $\frac{\epsilon_{ox}}{C_{ox}}$
 non tiene conto di $\frac{W}{L}$.

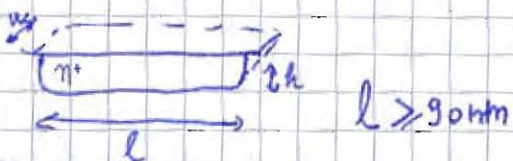


$$C = \epsilon \frac{S}{d}$$

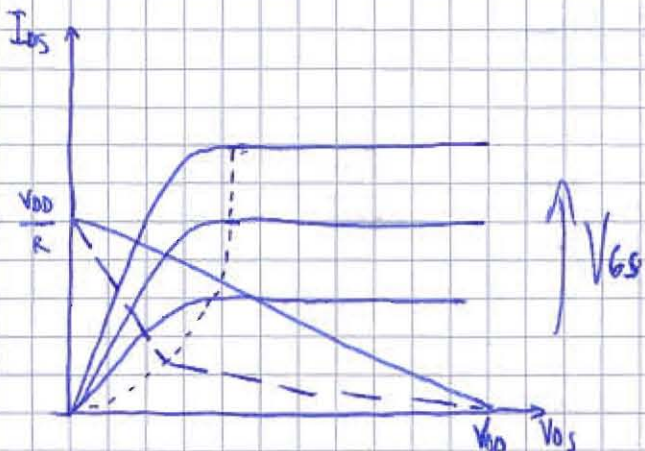
Sulla spessore dell'ossido e sulla costante dielettrica non posso agire. Posso intervenire in fase di progettazione sulla larghezza del canale L e su W .

L non può andare sotto certe dimensioni indicate dalla tecnologia (90 nm).

Per modificare la resistenza $R = \rho \cdot \frac{l}{S}$ posso agire su l e/o S
 $S \rightarrow h \cdot W$



Le resistenze occupano un sacco di spazio nel circuito integrato



$$V_{out} = V_{DD} - R \cdot I = V_{DD} - R \cdot I_{DS}$$

$$V_{GS} = V_{DD} - R \cdot I_{DS}$$

$$I_{DS} = \frac{V_{DD} - V_{GS}}{R} = -\frac{V_{GS}}{R} + \frac{V_{DD}}{R}$$

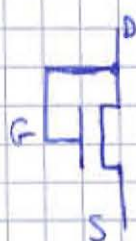
retta di carico

Una resistenza grande mi fa abbassare la caratteristica.

In regione lineare, avere una resistenza grande è controproducente perché renderebbe meno inclinata la caratteristica.

Non posso ottenere un andamento -- con una resistenza (lineare).

→ Introduco un dispositivo di questo tipo:



$$V_{GS} < V_T \Rightarrow \text{MOS OFF}$$

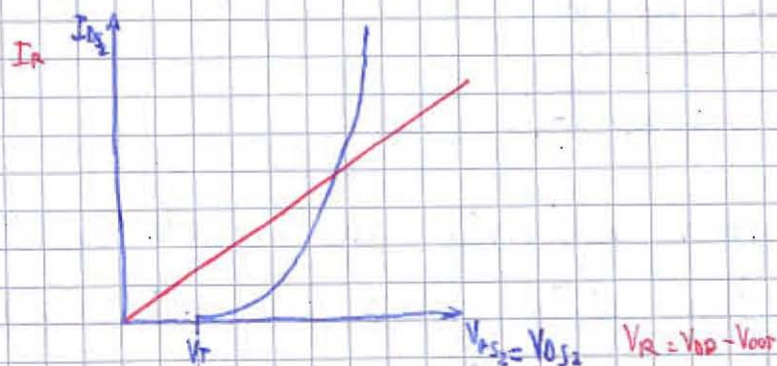
$$V_{GS} > V_T \Rightarrow \text{MOS ON}$$

$$\text{Hp: SAT } V_{DS} > V_{GS} - V_T \text{ ma } V_G = V_D \Rightarrow V_G - V_S > V_G - V_S - V_T \Rightarrow 0 > -V_T$$

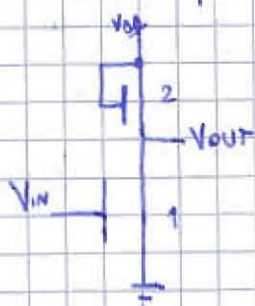
SEMPRE VERIFICATA

Il MOS è sempre saturo quando acceso.

$$I_{DS} = \frac{\beta_n}{2} \frac{(V_{GS} - V_T)^2}{V_{GS}}$$



Inserisco questo MOS al posto della resistenza.



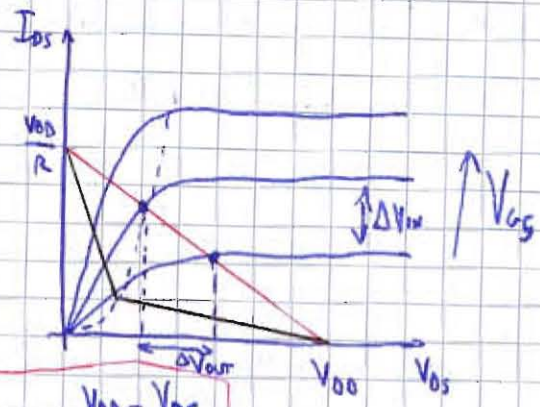
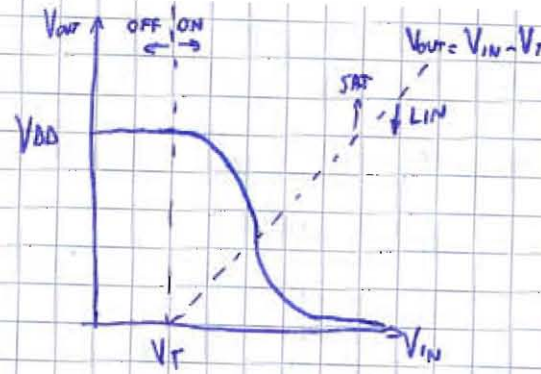
$$V_{out} = V_{DD} - V_{DS2} \Rightarrow V_{DS2} = V_{DD} - V_{out}$$

$$V_R = R \cdot I_R \Rightarrow I_R = \frac{V_R}{R}$$

La caratteristica ha un tratto a pendenza bassa e uno a pendenza molto alta.



INVERTITORE
n-MOS A
CARICO
RESISTIVO



$$I_{DS} = I_R$$

$$V_{OUT} = V_{DS}$$

$$V_{IN} = V_{GS}$$

$$V_{OUT} = V_{DD} - R \cdot I_R = V_{DD} - R \cdot I_{DS}$$

$$V_{DS} = V_{DD} - R \cdot I_{DS}$$

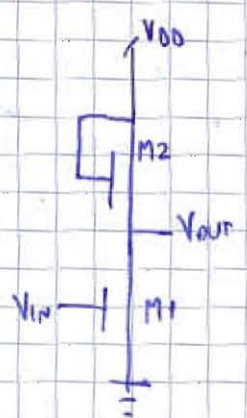
$$I_{DS} = \frac{V_{DD} - V_{DS}}{R}$$

Un certo ΔV_{OUT} corrisponde un ΔV_{IN}

$$|A_{vr}| = \left| \frac{\Delta V_{OUT}}{\Delta V_{IN}} \right|$$

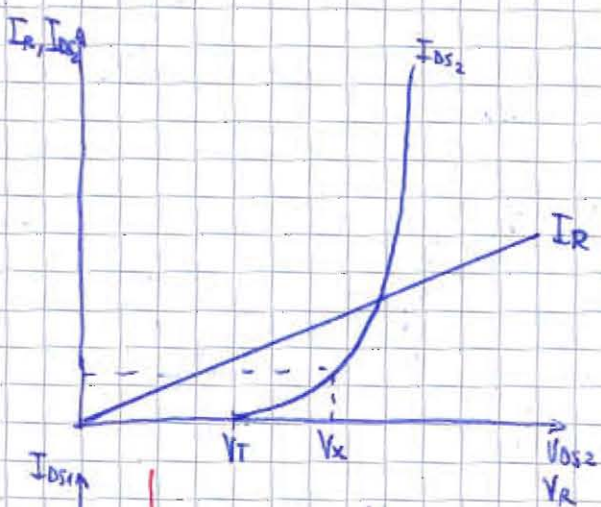
coefficiente angolare della retta \Rightarrow guadagno di tensione sia in SAT che LIN

Invece io voglio un guadagno elevato in SAT e un guadagno basso in LIN. Ma questo andamento non lineare non posso realizzarlo con un resistore.



$$V_{DS2} = V_{DD} - V_{OUT}$$

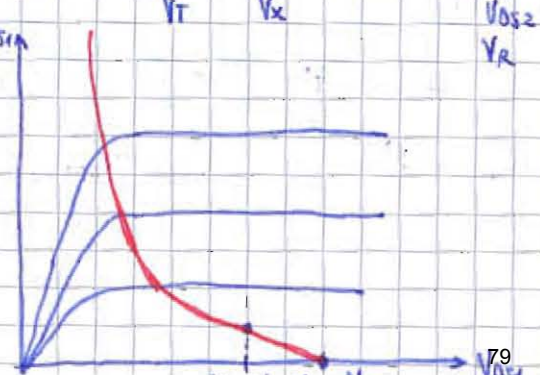
$$I_{DS2} = \frac{\beta_2}{2} (V_{DD} - V_{OUT} - V_T)^2$$



$$V_T = V_{DD} - V_{OUT} = R \cdot I_D$$

Per $V_{DS2} = V_T$, $V_{DS1} = V_{DD} - V_T$

Per $V_{DS2} = V_X$, $V_{DS1} = V_{DD} - V_X$



L'andamento si avvicina a quello delle step-down. Miglior invertitore!

INVERTITORE n-MOS A CARICO SATURATO



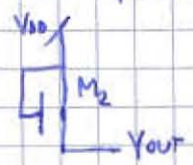
Le tensioni di soglia dei due mos devono essere uguali in quanto sono caratterizzate dal processo tecnologico seguito per realizzare il chip. $V_{t1} = V_{t2}$

$V_{GS1} > V_{GS1} - V_T \rightarrow V_{OUT} > V_{IN} - V_T$ M_1 SAT

M_2 ON ne $V_{GS2} > V_T$, cioè $V_{DD} - V_{OUT} > V_T \rightarrow V_{OUT} < V_{DD} - V_T$

$V_{IN} < V_T$
 M_1 OFF
 M_2 ?

Se M_1 è spento è come forse un circuito aperto.

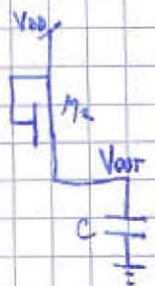


$I_1 = 0 \Rightarrow I_2 \Rightarrow 0 \Rightarrow M_2$ OFF

$$I_{DS2} = \frac{\beta_2}{2} \left(\underset{V_{GS2}}{V_{GS2}} - V_T \right)^2 = \frac{\beta_2}{2} \left(V_{DD} - V_{OUT} - V_T \right)^2 = 0$$

$V_{OUT} = V_{DD} - V_T$

Ma la corrente è nulla anche per valori $V_{OUT} > V_{DD} - V_T$. Provo a collegare un condensatore al circuito. Il condensatore si carica finché M_2 può erogare corrente essendo acceso. M_2 si spegne a $V_{OUT} = V_{DD} - V_T$ e la tensione ai capi del condensatore vale $V_{DD} - V_T$.



$I_C = C \cdot \frac{dV_{OUT}}{dt}$

$V_{IN} > V_T$

M_1 ON SAT (V_{OUT} è ancora sopra la retta)

M_2 SAT

$I_{DS1} = I_{DS2}$

$$\frac{\beta_2}{2} \left(\underset{V_{GS2}}{V_{GS2}} - V_T \right)^2 = \frac{\beta_1}{2} \left(\underset{V_{GS1}}{V_{GS1}} - V_T \right)^2$$

$V_{GS2} = V_{DD} - V_{OUT}$ $V_{GS1} = V_{IN}$

$$\frac{\beta_2}{2} (V_{DD} - V_{out} - V_T)^2 = \frac{\beta_1}{2} (V_{in} - V_T)^2 \quad (V_{DD} - V_{out} - V_T)^2 = \frac{\beta_1}{\beta_2} (V_{in} - V_T)^2$$

$\beta_2 > 0$ quindi radice
 $V_{out} < V_{DD} - V_T$

$$V_{DD} - V_{out} - V_T = \sqrt{\frac{\beta_1}{\beta_2}} (V_{in} - V_T)$$

$$V_{out} = V_{DD} - V_T - \sqrt{\frac{\beta_1}{\beta_2}} (V_{in} - V_T) = -\sqrt{\frac{\beta_1}{\beta_2}} V_{in} + \underbrace{\sqrt{\frac{\beta_1}{\beta_2}} V_T + V_{DD} - V_T}_{const.}$$

$V_{in} \gg V_T$

M_1 LIN

M_2 SAT

$$I_{DS1} = \beta_1 \left[(V_{GS1} - V_T) \cdot V_{DS1} - \frac{V_{DS1}^2}{2} \right]$$

V_{in} V_{out}

$$I_{DS2} = \frac{\beta_2}{2} [V_{GS2} - V_T]^2$$

$V_{DD} - V_{out}$

$$\beta_1 \left[(V_{in} - V_T) V_{out} - \frac{V_{out}^2}{2} \right] = \frac{\beta_2}{2} (V_{DD} - V_{out} - V_T)^2$$

Ricavando V_{in} , disegnandone il grafico e ribaltandolo si ottiene che il guadagno dipende sempre dal rapporto tra β_1 e β_2 .

Interessa quindi che il rapporto $\frac{\beta_1}{\beta_2}$ sia alto nella regione centrale, senza esagerare perché tale β_2 rapporto mi influenza anche il guadagno nella regione lineare e il valore basso.

$$A_v = -\sqrt{\frac{\beta_1}{\beta_2}} \quad \beta_1 = Cox \mu_n \frac{W_1}{L_1} \quad \beta_2 = Cox \mu_n \frac{W_2}{L_2}$$

$$A_v = -\sqrt{\frac{W_1 L_2}{W_2 L_1}} \quad \text{Per avere } |A_v| \text{ elevato dovrà essere } W_1 \text{ e } L_2 \text{ grandi; } W_2 \text{ e } L_1 \text{ piccoli}$$

L_1 e W_2 li posso fare piccoli come la minima dimensione dettata dalla tecnologia. I due MOS hanno un rapporto di forme opposte: uno corto e largo, l'altro lungo e stretto.

Il valore logico alto è più basso → diminuisce l'escursione logica → diminuisce l'immunità ai disturbi → difetto del circuito.

22/04/09

Dato che la caratteristica dipende dal rapporto $\frac{\beta_1}{\beta_2}$, si dice **RATIOED** (a rapporto).

Proviamo a far lavorare M_2 in regione lineare. Ho bisogno che $V_{GS2} < V_{GS2} - V_T$

$$\Rightarrow V_{DD} - V_{OUT} < V_{GS2} - V_T \Rightarrow V_{GS2} > V_{DD} - V_{OUT} + V_T$$

Ma che potenziale devo mettere al gate perché M_2 lavori in regione lineare.

$$V_{G2} - V_{S2} > V_{DD} - V_{OUT} + V_T \quad V_{S2} = V_{OUT} \quad V_{G2} - V_{OUT} > V_{DD} - V_{OUT} + V_T$$

$V_{G2} > V_{DD} + V_T$ Suppongo M_2 LIN collegandolo a un potenziale $> V_{DD} + V_T$

$$I_{DS2} = \beta_2 \left[(V_{GS2} - V_T) V_{DS2} - \frac{V_{DS2}^2}{2} \right]$$

M_2 LIN $V_{GS2} = V_{DD} + V_T$ non semplice M_2 ON se $V_{GS2} > V_T \Rightarrow V_{DD} > 0$ sempre verificata

$$\boxed{V_{IN} < V_T} \Rightarrow M_1 \text{ OFF}$$

$$I_{DS1} = 0 = I_{DS2} \quad \beta_2 \left[(V_{GS2} - V_T) V_{DS2} - \frac{V_{DS2}^2}{2} \right] = 0$$

$$\beta_2 V_{DS2} \left(V_{GS2} - V_T - \frac{V_{DS2}}{2} \right) = 0 \quad \text{verificata se } V_{DS2} = 0 \text{ oppure se}$$

$$V_{GS2} - V_T - \frac{V_{DS2}}{2} = 0 \quad V_{GS2} = \frac{V_{DS2}}{2} + V_T > V_{DD} + V_T \quad V_{DS2} > 2V_{DD} \text{ ma } V_{DS2} = V_{DD} - V_{OUT}$$

$$V_{DD} - V_{OUT} > 2V_{DD} \Rightarrow V_{OUT} < -V_{DD} \quad \text{ASSURDO}$$

$$V_{DS2} = 0 \quad V_{DD} - V_{OUT} > 0 \Rightarrow \boxed{V_{OUT} = V_{DD}}$$

Ho recuperato lo svantaggio che abbassare la V_{DD} della soglia.

$$\boxed{V_{IN} > V_T}$$

M_1 SAT
 M_2 LIN

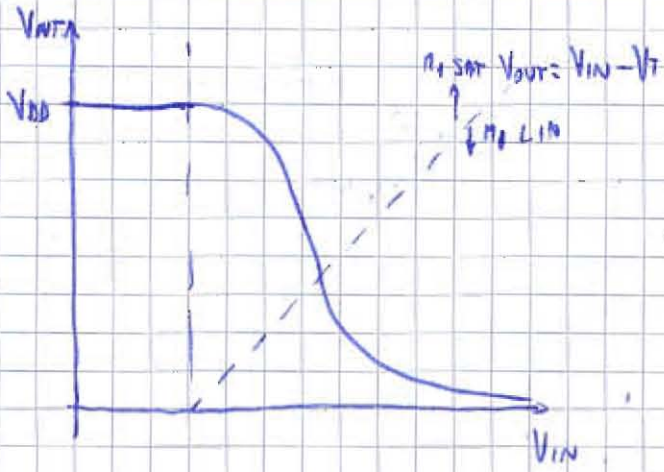
$$I_{DS1} = I_{DS2} \quad \frac{\beta_1}{2} \left(\underset{V_{IN}}{V_{GS1} - V_T} \right)^2 = \beta_2 \left[\underset{V_{DD} + V_T}{(V_{GS2} - V_T)} \underset{V_{DD} - V_{OUT}}{V_{DS2}} - \frac{V_{DS2}^2}{2} \right]$$

$$A_{Vr} \approx \frac{\beta_1}{\beta_2} \rightarrow \text{logica retined}$$

M1 LIN
M2 LIN

$$\beta_1 \left[(V_{GS1} - V_T) V_{DS1} - \frac{V_{DS1}^2}{2} \right] = \beta_2 \left[(V_{GS2} - V_T) V_{DS2} - \frac{V_{DS2}^2}{2} \right]$$

andamento quadratico, dipendente sempre da $\frac{\beta_1}{\beta_2}$



Circuito non utilizzato perché richiede una doppia alimentazione
 ↓
 ingombrante nei chip, tanti fili da sbrigliare (routing)

Perché M2 LIN, $V_{DS2} < V_{GS2} - V_T$, $V_{GS2} > V_{DS2} + V_T$, $V_{GS2} > V_D + V_T$

Potrei risolvere il problema avendo un dispositivo con una soglia negativa $V_T < 0$.

$V_{GS} > V_{DS} - |V_T|$ ma $V_{DS} = V_{DD}$ $V_{GS} > V_{DD} - |V_T|$ mi basterebbe connettere il gate a V_{DD} per avere funzionamento lineare (una sola alimentazione)

Ci sono due tipi di MOS a soglia negativa.

MOS DEPLETION (a vuoto)

Il canale è già creato, per non crearlo devo applicare una tensione negativa $\Rightarrow V_T < 0$.

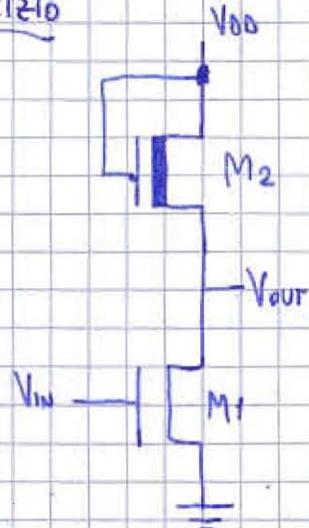
Richiede un passaggio tecnologico in più, ma è un buon compromesso

DEPLETION

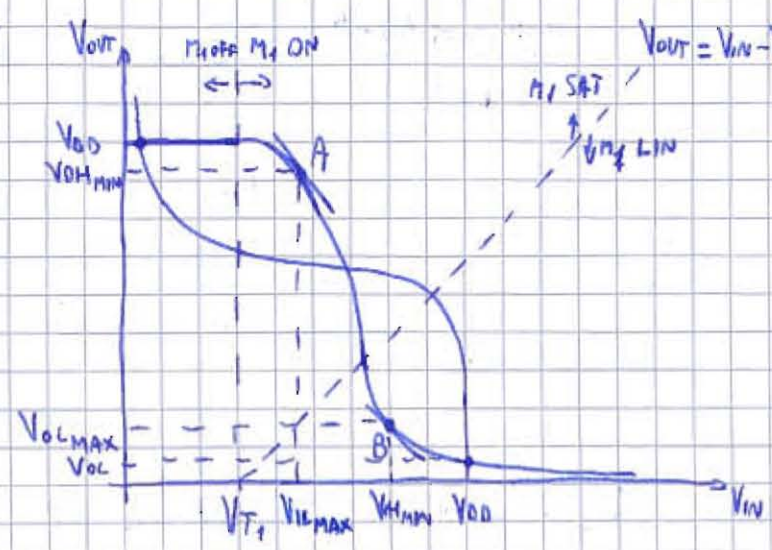
ENHANCEMENT



ESERCIZIO



M_2 ON $V_{GS_2} > V_{T_2} \Rightarrow V_{T_2} = -|V_{T_2}|$ $V_{GS_2} = V_{DS_2}$
 M_2 LIN $V_{DS_2} < V_{GS_2} - V_{T_2} = V_{GS_2} + |V_{T_2}|$ $\propto |V_{T_2}|$
 SEMPRE VERIFICATA



$\beta_1 = 2 \text{ mA/V}^2$
 $\beta_2 = 0,2 \text{ mA/V}^2$
 $V_{T_1} = 1,2 \text{ V}$
 $V_{T_2} = -0,5 \text{ V}$
 $V_{DD} = 5 \text{ V}$

M_2 ON e $V_{GS_2} > -|V_{T_2}|$ $V_{DD} - V_{OUT} > -|V_{T_2}|$ $V_{OUT} < V_{DD} + |V_{T_2}|$
 sempre ON e lineare

NM=?

$V_{IN} < V_{T_1}$ $I_{DS1} = 0 = I_{DS2}$ $\beta_2 \left[(V_{GS_2} - V_{T_2}) V_{DS_2} - \frac{V_{DS_2}^2}{2} \right] = 0$ come dimostrarlo
 $V_{DS_2} = 0$ $V_{DD} - V_{OUT} = 0$ $V_{OUT} = V_{DD}$
 M_1 OFF M_2 LIN

$V_{IN} > V_{T_1}$ andamento parabolico. $V_{IN} \gg V_{T_1}$ andamento iperbolico
 M_1 SAT M_2 LIN M_1 LIN M_2 LIN

Non interessa l'andamento preciso per calcolare NM.

PUNTO **A**

$I_{DS1} = I_{DS2} \Rightarrow \frac{\beta_1}{2} (V_{GS_1} - V_{T_1})^2 = \beta_2 \left[(V_{GS_2} - V_{T_2}) V_{DS_2} - \frac{V_{DS_2}^2}{2} \right]$
 M_1 SAT M_2 LIN

$\frac{\beta_1}{2} (V_{IN} - V_{T_1})^2 = \beta_2 \left[(V_{DD} - V_{OUT} - V_{T_2})(V_{DD} - V_{OUT}) - \frac{(V_{DD} - V_{OUT})^2}{2} \right]$

$\frac{d}{dV_{IN}} \Rightarrow \beta_1 (V_{IN} - V_{T_1}) = \beta_2 \left[-\frac{dV_{OUT}}{dV_{IN}} (V_{DD} - V_{OUT}) + (V_{DD} - V_{OUT} - V_{T_2}) \cdot \left(-\frac{dV_{OUT}}{dV_{IN}}\right) \right]$
 $+ 2 \cdot \frac{(V_{DD} - V_{OUT})}{2} \cdot \left(+\frac{dV_{OUT}}{dV_{IN}}\right)$ $\frac{dV_{OUT}}{dV_{IN}} = -1$

$$\beta_1 (V_{IN} - V_{T1}) = \beta_2 \left[V_{DD} - V_{OUT} + V_{DD} - V_{OUT} - V_{T2} - \cancel{V_{DD} + V_{OUT}} \right]$$

$$\beta_1 (V_{IN} - V_{T1}) = \beta_2 (V_{DD} - V_{OUT} - V_{T2})$$

$$\left\{ \begin{aligned} (V_{IN} - V_{T1}) &= \frac{\beta_2}{\beta_1} (V_{DD} - V_{OUT} - V_{T2}) \end{aligned} \right.$$

$$\left\{ \begin{aligned} \frac{\beta_1}{2} (V_{IN} - V_{T1})^2 &= \beta_2 \left[(V_{DD} - V_{OUT} - V_{T2})(V_{DD} - V_{OUT}) - \frac{(V_{DD} - V_{OUT})^2}{2} \right] \end{aligned} \right.$$

$$\frac{\beta_1}{2} \left[\frac{\beta_2^2}{\beta_1^2} \cdot (V_{DD} - V_{OUT} - V_{T2})^2 \right] = \beta_2 (V_{DD} - V_{OUT} - V_{T2})(V_{DD} - V_{OUT}) - \frac{\beta_2}{2} (V_{DD} - V_{OUT})^2$$

... $V_{OUT} = 4,97 \text{ V} = V_{OHMIN}$

~~$V_{OUT} = 6,0 \text{ V}$~~ non accettabile perché $> V_{DD}$

$$\beta_1 (V_{IN} - V_{T1}) = \beta_2 (V_{DD} - V_{OUT} - V_{T2}) \Rightarrow V_{IN} = V_{IHMAX} = 1,25 \text{ V}$$

PUNTO **B**

$$\begin{matrix} M_1 \text{ LIN} \\ M_2 \text{ LIN} \end{matrix} \quad \beta_1 \left[(V_{GS1} - V_{T1}) V_{DS1} - \frac{V_{DS1}^2}{2} \right] = \beta_2 \left[(V_{GS2} - V_{T2}) V_{DS2} - \frac{V_{DS2}^2}{2} \right]$$

$$\beta_1 \left[(V_{IN} - V_{T1}) V_{OUT} - \frac{V_{OUT}^2}{2} \right] = \beta_2 \left[(V_{DD} - V_{OUT} - V_{T2})(V_{DD} - V_{OUT}) - \frac{(V_{DD} - V_{OUT})^2}{2} \right]$$

$$\frac{d}{dV_{IN}} \Rightarrow \beta_1 \left[V_{OUT} + (V_{IN} - V_{T1}) \cdot \frac{dV_{OUT}}{dV_{IN}} - V_{OUT} \cdot \frac{dV_{OUT}}{dV_{IN}} \right] = \beta_2 \left[-\frac{dV_{OUT}}{dV_{IN}} (V_{DD} - V_{OUT}) - \frac{dV_{OUT}}{dV_{IN}} (V_{DD} + V_{OUT} - V_{T2}) - (V_{DD} - V_{OUT}) \cdot \left(-\frac{dV_{OUT}}{dV_{IN}} \right) \right]$$

range $dV_{OUT}/dV_{IN} = -1$

$$\beta_1 \left[V_{OUT} - V_{IN} + V_{T1} + V_{OUT} \right] = \beta_2 \left[V_{DD} - V_{OUT} + \cancel{V_{DD} - V_{OUT} - V_{T2}} - \cancel{V_{DD} + V_{OUT}} \right]$$

$$\beta_1 \left[2V_{OUT} - V_{IN} + V_{T1} \right] = \beta_2 \left[V_{DD} - V_{OUT} - V_{T2} \right]$$

$$\left\{ \begin{aligned} \beta_1 \left[(V_{IN} - V_{T1}) V_{OUT} - \frac{V_{OUT}^2}{2} \right] &= \beta_2 \left[(V_{DD} - V_{OUT} - V_{T2})(V_{DD} - V_{OUT}) - \frac{(V_{DD} - V_{OUT})^2}{2} \right] \end{aligned} \right.$$

... $V_{OUT} = 0,98 V = V_{OLMAX}$... $V_{IN} = 2,7V = V_{IHMIN}$

$NM_H = V_{OHMIN} - V_{IHMIN} = 2,26V$

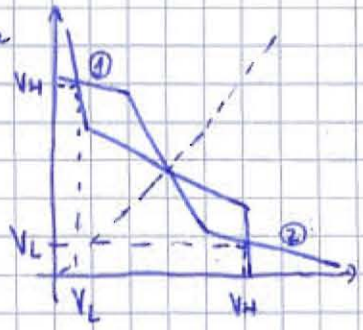
$NM_L = V_{OLMAX} - V_{OLMAX} = 0,27V \Leftarrow NM.$

Se la domanda fosse stata: "Calcolare l'escursione logica" $V_H = ?$ $V_L = ?$

$V_H = V_{DD}$ $V_L = ?$ $\beta_1 \left[(V_{IN} - V_{T1}) V_{OUT} - \frac{V_{OUT}^2}{2} \right] = \beta_2 \left[(V_{DD} - V_{OUT} - V_{T2}) (V_{DD} - V_{OUT}) - \frac{(V_{DD} - V_{OUT})^2}{2} \right]$

Impongo $V_{IN} = V_{DD}$ e riservo $V_{OUT} = V_{OL} = V_L =$

Se non avessi avuto il tratto iniziale diretto avrei dovuto calcolare un sistema

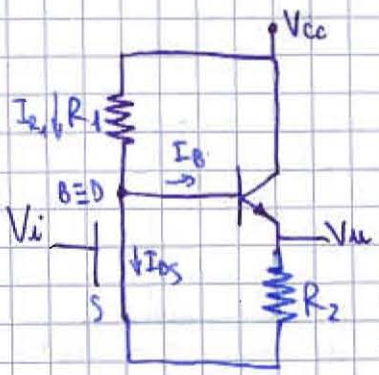


①
②*

* \rightarrow scambio V_{IN} con V_{OUT}

27/04/2009

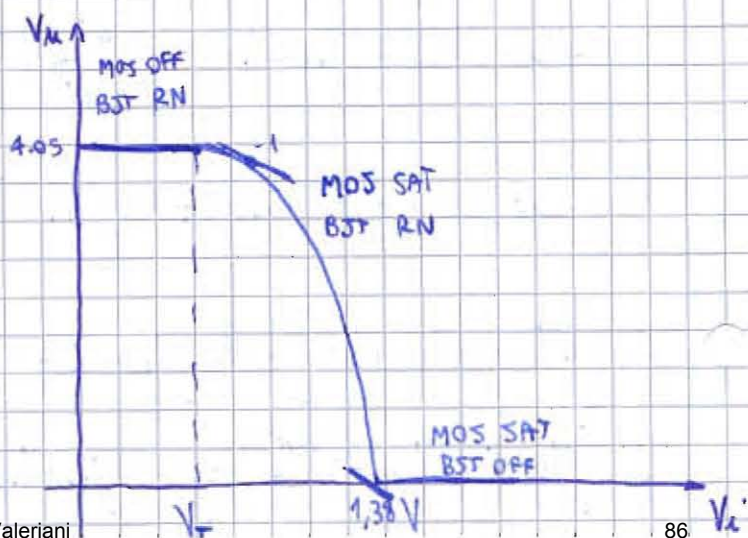
ESERCIZIO



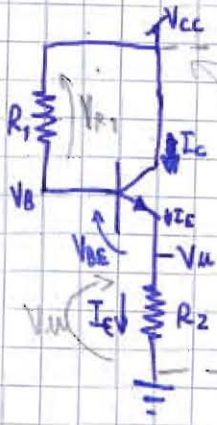
Si determini il margine di immunità ai disturbi

- $V_T = 0,75V$
- $\beta_F = 100$
- $\beta_N = 5 \text{ mA/V}^2$
- $R_1 = 5 \text{ K}\Omega$
- $R_2 = 1 \text{ K}\Omega$
- $V_{CC} = 5V$
- ma $\rightarrow V_T = 0,8V$

① Determino la caratteristica statica



$V_i < V_T \Rightarrow \text{MOS OFF}$



Hp: BJT OFF

$$I_B = I_C = I_E = 0$$

$$V_B = V_{cc} - R_1 I_B = V_{cc}$$

$$V_E = V_{em} = R_2 I_E = 0$$

$$V_{BE} = V_B - V_E = V_{cc} > V_T$$

$$5V > 0,75V$$

\Rightarrow BJT non può essere OFF.

La base al pini è a potenziale uguale a V_{cc} , mentre $V_c = V_{cc}$
 $\Rightarrow V_B \leq V_c$ mai maggiore $\Rightarrow V_{BC} \leq 0$ mai polarizzato in diretta
 \Rightarrow BJT non può essere né in AR né in SAT

Per $V_i < V_T$, il BJT è ON in regione normale.

$$V_{BE} = V_T \quad I_C = \beta_F I_B$$

Non conoscendo V_{ce} , non ha senso scrivere l'equazione della maglia di destra. Regione sulla maglia grande:

$$V_{cc} = V_{R1} + V_{BE} + V_{em} = R_1 I_B + V_T + R_2 I_E \quad I_E = I_B + I_C = I_B + \beta_F I_B$$

$$V_{cc} = R_1 I_B + V_T + R_2 I_B (\beta_F + 1) \quad I_B = \frac{V_{cc} - V_T}{R_1 + R_2 \beta_F + R_2} = \frac{5 - 0,75}{5K + 1K \cdot 100 + 1K} = 0,27 \text{ mA}$$

$$I_E = I_B (\beta_F + 1) = 0,27 \text{ mA} \cdot (100 + 1) = 27,27 \text{ mA}$$

$$V_{em} = R_2 \cdot I_E = 1K \cdot 27,27 \text{ mA} =$$

$$V_{em} = 4,05 \text{ V}$$

$$V_i > V_T$$

Hp: MOS SAT se $V_{DS} > V_{GS} - V_T$

$$V_{GS} > V_T \Rightarrow \text{MOS ON}$$

$$V_{DS} = V_{em} + V_{BE} = V_{em} + V_T = 4,05 + 0,75 = 4,8 \text{ V} \quad \text{appena acceso}$$

$$\Rightarrow V_{DS} > V_i - V_T \quad \text{OK}$$

Il BJT è ancora in regione normale appena il MOS si accende

MOS SAT e BJT RN

SAT
||
P.O.

$$I_{DS} = \frac{\beta_n}{2} (V_{GS} - V_T)^2 = \frac{\beta_n}{2} (V_i - V_T)^2$$

$$I_{R1} = I_B + I_{DS} \quad I_{DS} = I_{R1} - I_B$$

$$I_C = \beta_F \cdot I_B \quad \text{ma } I_C + I_B = I_E \quad \text{ma } I_E \cdot R_2 = V_{CE}, \quad I_E = \frac{V_{CE}}{R_2}$$

$$V_{CC} = R_1 I_{R1} + V_{BE} + V_{CE} = R_1 I_{R1} + V_B + V_{CE} \quad I_{R1} = \frac{V_{CC} - V_B - V_{CE}}{R_1}$$

$$\frac{V_{CC} - V_B - V_{CE}}{R_1} = \frac{V_{CE}}{R_2} \frac{1}{\beta_F + 1} + \frac{\beta_n}{2} (V_i - V_T)^2 \quad \text{parabola con concavità-}$$

↳ $V_{CE} = \dots f(V_i)$

MOS SAT se $V_{DS} > V_{GS} - V_T$ con $V_{GS} = V_{CE} + V_{BE}$ e $V_{DS} = V_i$

$V_{CE} + V_{BE} > V_i - V_T$ se aumenta V_i , $V_i - V_T$ cresce, ma V_{CE} diminuisce (dal grafico) perché cresce I_{DS} e quindi I_{R1} . La disequazione si sta spostando sempre di più verso la non verità.

$$V_{GS} = V_{CC} - R_1 I_{R1} \Rightarrow V_{GS} \downarrow \quad V_{GS} = V_{BE} + V_{CE} \downarrow$$

Quando la disequazione non è più verificata, il MOS passa da saturo a lineare oppure il MOS rimane in saturazione ma il BJT si spegne.

$$V_i \uparrow \quad V_{GS} \downarrow \quad V_{GS} = V_{BE} \downarrow \quad V_{CE} = V_{CE} \downarrow$$

V_{CE} arriva a un punto che non può più diminuire (rotta 0 ma ci va) e si blocca, ma V_{GS} continua a diminuire e V_{BE} diventa inferiore a V_B e il BJT si spegne.

Calcolo i valori di V_i per cui si presenta ciascuna situazione per vedere cosa avviene prima.

Hp: MOS LIN, BJT RN ($V_{BE} = V_{\gamma}$)

$$\begin{matrix} V_{DS} \\ \underbrace{V_{u} + V_{\gamma}} \end{matrix}$$

$$I_{DS} = \beta_n \left[(V_{GS} - V_T) V_{DS} - \frac{V_{DS}^2}{2} \right] = \beta_n \left[(V_i - V_T) (V_u + V_{\gamma}) - \frac{(V_u + V_{\gamma})^2}{2} \right]$$

Due conti fatti prima so che

$$I_{R1} = \frac{V_{CC} - V_{\gamma} - V_u}{R_1}$$

$$I_E = \frac{V_u}{R_2} \quad (*) \quad \frac{V_{CC} - V_{\gamma} - V_u}{R_1} = \frac{V_u}{R_2(\beta+1)} + \beta_n \left[(V_i - V_T) (V_u + V_{\gamma}) - \frac{(V_u + V_{\gamma})^2}{2} \right]$$

$$I_B = \frac{V_u}{R_2(\beta+1)}$$

Ricavo V_{in} di passaggio del MOS da SAT a LIN sapendo che in quel punto valgono tutte e due le equazioni: MOS SAT BJT RN MOS LIN BJT RN

$$\left\{ \begin{matrix} (*) \\ (**) \end{matrix} \right. \Rightarrow V_i$$

Oppure potero usare $V_{DS} = V_{GS} - V_T$ $V_u + V_{\gamma} = V_i - V_T$ messo a sistema con (*)

Uno dei due valori di V_i si da scartare

$$V_i = 1,78 \text{ V}$$

Hp MOS SAT T1 OFF $V_u = 0$ $I_{DS} = \frac{\beta_n}{2} (V_i - V_T)^2$

$$I_{R1} = I_{DS} + I_B$$

$$V_u + V_{\gamma} = V_D \quad V_D = V_{CC} - R_1 I_{R1} \quad I_B = 0$$

$$\downarrow$$

$$I_{DS} = I_{R1}$$

$$V_u + V_{\gamma} = V_{CC} - R_1 I_{R1} \quad I_{R1} = \frac{V_{CC} - V_u - V_{\gamma}}{R_1}$$

$$\frac{\beta_n}{2} (V_i - V_T)^2 = \frac{V_{CC} - V_{DS} - V_T}{R_1} \quad (V_i - V_T)^2 = \frac{2(V_{CC} - V_T)}{\beta_n R_1}$$

$$V_i = V_T + \sqrt{\frac{2(V_{CC} - V_T)}{\beta_n R_1}} = 1,38 \text{ V}$$

Cambiando i valori delle resistenze posso far sì che accada prima il passaggio in lineare del mos

$$V_{OL\text{MAX}} = 0 \quad V_{IH\text{MIN}} = 1,38 \text{ V}$$

$$\frac{d}{dV_i} \text{ (**)} \quad -\frac{1}{R_1} \frac{dV_u}{dV_i} = \frac{1}{R_2(\beta_n + 1)} \frac{dV_u}{dV_i} + \frac{2\beta_n}{2} (V_i - V_T)$$

$$\text{Impongo } \frac{dV_u}{dV_i} = -1 \Rightarrow \frac{1}{R_1} = \frac{1}{R_2(\beta_n + 1)} + \beta_n (V_i - V_T) \Rightarrow V_i = V_{IH\text{MAX}} = 0,84 \text{ V}$$

$$V_{OL} = \text{(**)} (V_{OL\text{MAX}}) = V_{OH\text{MIN}} = 1,03 \text{ V}$$



INVERTITORE
n-MOS
CON CARICO
RESISTIVO



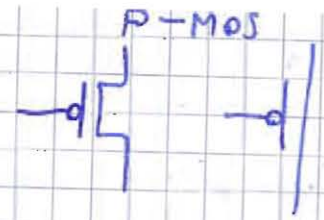
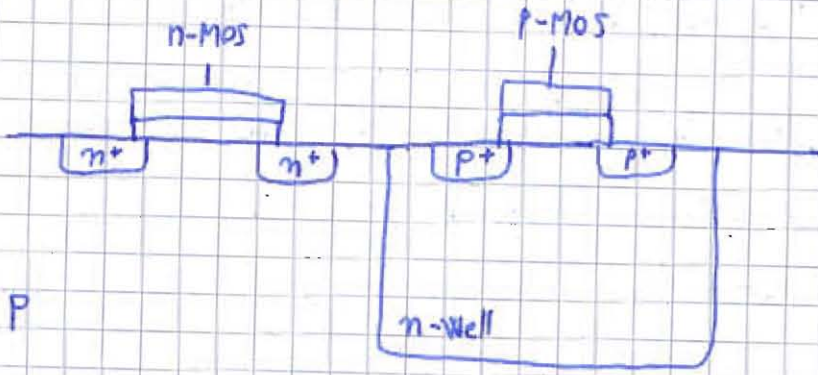
INVERTITORE
n-MOS
CON CARICO
SATURATO



INVERTITORE
n-MOS
CON CARICO
DI TIPO DEPLETION

Il livello logico basso non è mai nullo \rightarrow non abbiamo l'escursione termica che vogliamo. Quando l'uscita è bassa, la potenza statica dissipata non è nulla.

Provo a utilizzare i p-MOS. Come faccio a usare n-MOS e p-MOS sulla stessa fetta di silicio drogata p? Uso le n-Well, delle "tasche" drogate di tipo n.



SOURCE → potenziale più alto
 al contrario dell' n-MOS

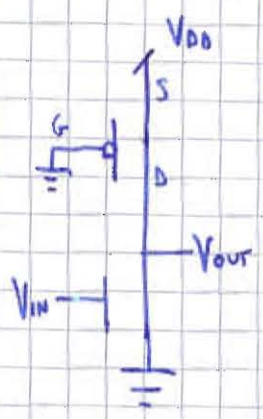
P-MOS ON se $V_{SG} > |V_{TP}|$

P-MOS SAT se $V_{SD} > V_{SG} - |V_{TP}|$

P-MOS LIN se $V_{SD} < V_{SG} - |V_{TP}|$

$$I_{SD} = \frac{\beta_p}{2} (V_{SG} - |V_{TP}|)^2$$

$$I_{SD} = \beta_p \left[(V_{SG} - |V_{TP}|) \cdot V_{SD} - \frac{V_{SD}^2}{2} \right]$$

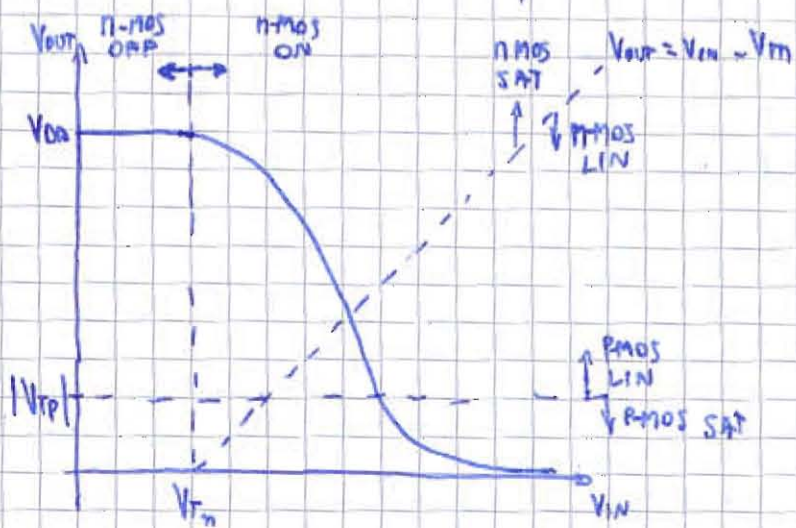


P-MOS ON $V_{SD} = V_{DD} - V_{out}$

$V_{SG} = V_{DD} - 0 = V_{DD}$

Hp: pmos LIN deve essere $V_{DD} - V_{out} < V_{DD} - |V_{TP}|$

$V_{out} > |V_{TP}|$



PMOS ON $V_{SG} > |V_{TP}|$

ma $V_{SG} = V_{DD} \Rightarrow V_{DD} > |V_{TP}|$

PMOS LIN

$V_{out} > |V_{TP}|$

$V_{in} < V_{TN}$

NMOS OFF
PMOS LIN

$$I_{SDn} = 0$$

$$I_{SDp} = \beta_p \left[(V_{SG} - |V_{TP}|) V_{SD} - \frac{V_{SD}^2}{2} \right]$$

$$I_{SD} = \beta_p \left[(V_{DD} - |V_{TP}|)(V_{DD} - V_{out}) - \frac{(V_{DD} - V_{out})^2}{2} \right] = 0 \leftarrow I_{SD} \text{ n-mos}$$

$$(V_{DD} - V_{out}) \left[(V_{DD} - |V_{TP}|) - \frac{V_{DD} - V_{out}}{2} \right] = 0$$

$$V_{DD} = V_{out}$$

$$V_{DD} - |V_{TP}| - \frac{V_{out}}{2} + \frac{V_{out}}{2} = 0 \quad \frac{V_{DD}}{2} - |V_{TP}| = -\frac{V_{out}}{2} \quad V_{out} = 2|V_{TP}| - V_{DD}$$

ma $V_{out} > |V_{TP}|$ $V_{out} = 2|V_{TP}| - V_{DD} > |V_{TP}|$ $|V_{TP}| > V_{DD}$ assurdo perché
 creveremo detto che $V_{DD} > |V_{TP}|$ affinché il p-mos sia ON.

Unica soluzione valida: $V_{out} = V_{DD}$

L'uscita bassa non può mai valere 0:

$$V_{out} = 0 \Rightarrow V_{DS_n} = 0 \quad I_{DS} = \beta_n \left[(V_{GS} - V_{TN})V_{DS} - \frac{V_{DS}^2}{2} \right] \text{ perché uscita bassa, MOS LIN}$$

$$\Rightarrow I_{DS} = 0 \quad \text{ma se l'uscita è bassa, il p-mos è saturo:}$$

$$I_{SD} = \frac{\beta_p}{2} (V_{SG} - |V_{TP}|)^2 = \frac{\beta_p}{2} (V_{DD} - |V_{TP}|)^2 \text{ che non può mai essere 0.}$$

Ma $I_{DS} = I_{SD} \Rightarrow$ assurdo! Ipotesi sbagliata.

Inoltre questa è una logica "a rapporto". Il consumo di potenza statica non è nullo. \Rightarrow Non ho risolto i problemi!!!!

- DIMENSIONAMENTO
 - POTENZA STATICA DISSIPATA
 - VALORE BASSO
- } Problemi che devo risolvere

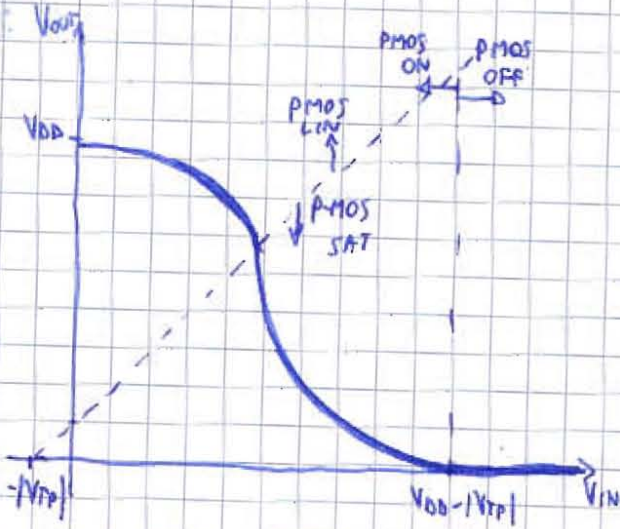
Prova a usare solo p-MOS.



$V_{SG} > |V_{TP}|$
 $V_{out} - V_{in} > |V_{TP}|$

Se metto in ingresso un valore alto $V_{in} = V_{DD}$, $V_{SG} < |V_{TP}|$ e il mos è spento, dando uscita alta. Avrei uscita alta in corrispondenza di ingresso alto \rightarrow non funziona da invertitore

P-MOS ON $V_{SG} > |V_{TP}|$
 $V_{DD} - V_{in} > |V_{TP}|$
 $V_{in} < V_{DD} - |V_{TP}|$



P-MOS SAT

$$V_{SD} > V_{SG} - |V_{TP}|$$

$$V_{DD} - V_{OUT} > V_{DD} - V_{IN} - |V_{TP}|$$

$$V_{OUT} < V_{IN} + |V_{TP}|$$

$V_{IN} > V_{DD} - |V_{TP}|$ PMOS OFF $V_{OUT} = 0$

$V_{IN} < V_{DD} - |V_{TP}|$ PMOS SAT $I_{SD} = \frac{\beta_P}{2} (V_{SG} - |V_{TP}|)^2 = \frac{\beta_P}{2} (V_{DD} - V_{IN} - |V_{TP}|)^2$

$I_{SD} = I_R = \frac{V_{OUT}}{R}$ $\frac{V_{OUT}}{R} = \frac{\beta_P}{2} (V_{DD} - V_{IN} - |V_{TP}|)^2$

$V_{IN} \ll V_{DD} - |V_{TP}|$ PMOS LIN $I_{SD} = I_A$

$I_{SD} = \beta_P \left[(V_{SG} - |V_{TP}|) V_{SD} - \frac{V_{SD}^2}{2} \right] = \frac{V_{OUT}}{R}$

$\beta_P \left[(V_{DD} - V_{IN} - |V_{TP}|)(V_{DD} - V_{OUT}) - \frac{(V_{DD} - V_{OUT})^2}{2} \right] = \frac{V_{OUT}}{R}$

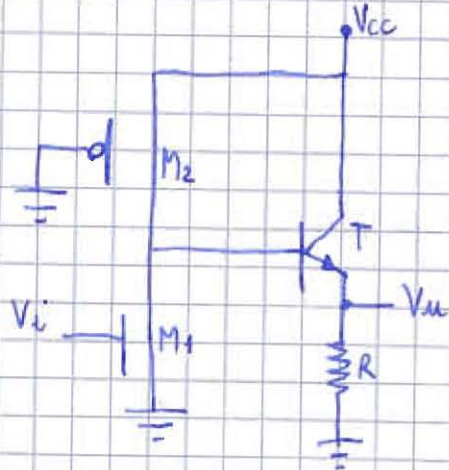
risolvero graficamente
risolvendo V_{IN} e poi
ribaltando il grafico

Non puoi arrivare a V_{DD} .

Non ho risolto il problema, l'ho solo ribaltato. Perché non riesco a spegnere il ramo basso quando l'uscita è alta (o-mos) o viceversa con questa logica.

Il ramo inferiore si chiama di PULL-DOWN perché abbassa l'uscita con ingresso alto. Il ramo superiore alza l'uscita con ingresso basso e si chiama PULL-UP.

Due casi: il pull-up vince sul pull-down e viceversa.



$$V_T = V_{Tn} = -V_{Tp} = -0,7 \text{ V}$$

$$R = 1 \text{ k}\Omega$$

$$\beta_1 = 4 \text{ mA/V}^2$$

$$\beta_2 = 75 \mu\text{A/V}^2$$

$$V_{cc} = 5 \text{ V}$$

$$\beta_F = 100$$

$$V_{\gamma} = 0,75 \text{ V}$$

$$V_{in} < V_{TN} \rightarrow M_1 \text{ OFF}$$

$$V_{SGP} = V_S - V_G = V_{cc} - 0 = V_{cc} > |V_{TP}| \Rightarrow M_2 \text{ ON}$$

$$H_p: M_2 \text{ SAT} \quad V_{SD} > V_{SG}^{V_{cc}} - |V_{TP}|$$

$$V_{SD} = V_{cc} - V_{BE} - V_U = V_S - V_O$$

$$V_{cc} - V_{BE} - V_U > V_{cc} - |V_{TP}| \quad V_U < -V_{BE} + |V_{TP}| = -0,05 \text{ A IMPOSS.}$$

$\Rightarrow M_2$ è in lineare

T è in RN perché per essere OFF la corrente di base doveva essere = 0,

$$V_{BE} = V_{\gamma}$$

$$I_C = \beta_F \cdot I_B$$

$$V_U = R \cdot I_E \quad I_E = I_C + I_B = (\beta_F + 1) I_B$$

$$V_{cc} = V_U + V_{BE} + V_{SD} \Rightarrow V_U = V_{cc} - V_{BE} - V_{SD}$$

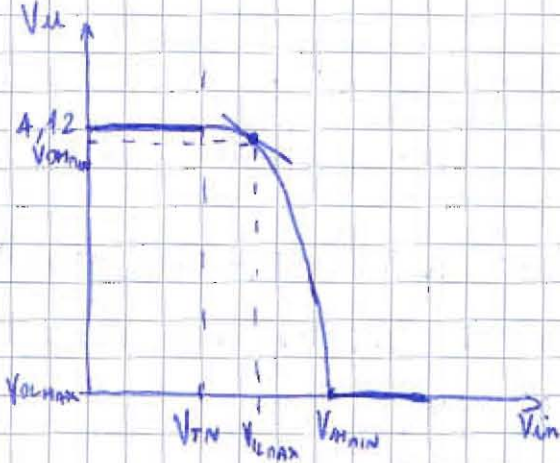
$$I_{SD} = \beta_2 \left[(V_{SG} - |V_{TP}|) V_{SD} - \frac{V_{SD}^2}{2} \right] = I_B$$

$$\frac{I_E}{\beta_F + 1} = \frac{V_U}{R(\beta_F + 1)} = \beta_2 \left[(V_{cc} - |V_{TP}|)(V_{cc} - V_U - V_{\gamma}) - \frac{(V_{cc} - V_U - V_{\gamma})^2}{2} \right]$$

$$V_U = 4,12 \text{ V}$$

$$V_{in} > V_{TN} \quad H_p: M_1 \text{ SAT} \quad V_{DS} > V_{GS} - V_{TN} \quad V_{DS} = V_U + V_{BE} = 4,87 \text{ V}$$

$4,87 > V_{in} - V_{TN}$ VERO perché V_{in} di poco $> V_{TN}$



T AD (RN) perché dimostrato che in SAT $v_{ce} < -0,05$ (assunto)

$$I_{SDP} = I_B + I_{OSn}$$

$$\beta_2 \left[\left(\underset{V_{GS}}{\uparrow} (V_{CC} - |V_{TP}|) \right) \left(\underset{V_{GS}}{\uparrow} (V_{CC} - V_{ce} - V_{\gamma}) \right) - \frac{(V_{CC} - V_{ce} - V_{\gamma})^2}{2} \right] = \frac{V_{ce}}{R(\beta_2 + 1)} + \frac{\beta_1}{2} \left(\underset{V_{GS}}{\uparrow} (V_{IN} - V_{TN}) \right)^2$$

Derivo rispetto a V_{ce}

$$\beta_2 \cdot \left[- (V_{CC} - |V_{TP}|) \frac{dV_{ce}}{dV_{ce}} - \frac{2(V_{CC} - V_{ce} - V_{\gamma})}{2} \cdot \left(- \frac{dV_{ce}}{dV_{ce}} \right) \right] = \frac{1}{R(\beta_2 + 1)} \cdot \frac{dV_{ce}}{dV_{ce}} + \frac{\beta_1}{2} (V_{IN} - V_{TN})$$

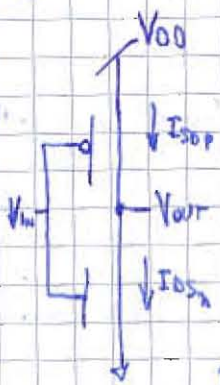
$$\frac{dV_{ce}}{dV_{ce}} = 1 \quad \beta_2 [V_{CC} - |V_{TP}| - V_{CC} + V_{ce} + V_{\gamma}] = - \frac{1}{R(\beta_2 + 1)} + \beta_1 (V_{IN} - V_{TN})$$

$$V_{OHMIN} = 4,082 \text{ V} \quad V_{ILMAX} = 0,78 \text{ V}$$

$V_{IN} \gg V_{TN}$ due casi: ...

M_1 LIN T RN

M_1 SAT T OFF $\rightarrow V_{ce} = 0 = V_{OLMAX}$ $V_{IHMIN} = 1,29 \text{ V}$



Quando V_{IN} è basso, il p-mos è in lineare, quindi V_{OUT} all

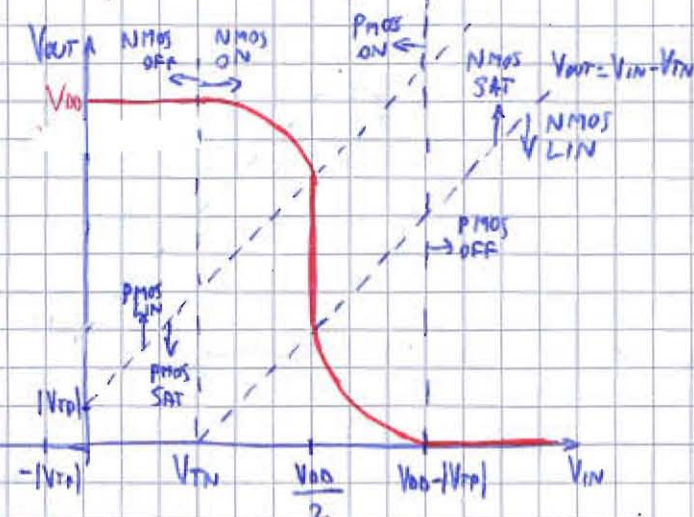
$V_{IN} = 0 \Rightarrow V_{OUT} = V_{DD}$ ← n-mos spento

$V_{IN} = V_{DD} \Rightarrow V_{OUT} = 0$

Quando V_{IN} è alto, il p-mos è spento perché V_{GS} è $0 < |V_{TP}|$ mentre l'n-mos è acceso ($V_{GS} > V_{TN}$) in lineare

Questa logica si chiama CMOS - Complementary MOS.

La potenza dissipata è nulla perché non può circolare corrente.



NMOS SAT se $V_{DS} = V_{OUT} > V_{GS} - V_{TN} = V_{IN} - V_{TN}$
 PMOS ON se $V_{SG} > |V_{TP}| \Rightarrow V_{DD} - V_{IN} > |V_{TP}|$
 $V_{IN} < V_{DD} - |V_{TP}|$
 PMOS SAT se $V_{DD} > V_{SG} - |V_{TP}|$
 $V_{DD} - V_{OUT} > V_{DD} - V_{IN} - |V_{TP}|$
 $V_{OUT} < V_{IN} + |V_{TP}|$

$V_{IN} < V_{TN}$
 NMOS OFF

PMOS LIN perché V_{IN} basso e quindi V_{out} alto

$$I_{DSn} = 0 = I_{SDp} = \beta_p \left[(V_{SG} - |V_{TP}|) V_{SD} - \frac{V_{SD}^2}{2} \right] = 0 \Rightarrow V_{SD} = 0 \text{ unica sol. accet.}$$

$$V_{SD} = V_{DD} - V_{OUT} = 0 \quad V_{OUT} = V_{DD}$$

$V_{IN} > V_{DD} - |V_{TP}| \Rightarrow$ PMOS OFF, NMOS LIN perché V_{IN} alto $\Rightarrow V_{out}$ basso

$$I_{DSn} = 0 = I_{SDp} = \beta_n \left[(V_{GS} - V_{TN}) V_{DS} - \frac{V_{DS}^2}{2} \right] \Rightarrow V_{DS} = 0 \text{ unica sol. accet.}$$

$$V_{OUT} = 0$$

In mezzo abbiamo tre situazioni:

H_p : P-MOS SAT fascia centrale
 N-MOS SAT

$$I_{SDp} = I_{DSn} \quad \frac{\beta_p}{2} \underbrace{(V_{DD} - V_{IN} - |V_{TP}|)}_{V_{SG}}^2 = \frac{\beta_n}{2} \underbrace{(V_{IN} - V_{TN})}_{V_{GS}}^2 \text{ non dipende da } V_{OUT}$$

$$V_{DD} - V_{IN} - |V_{TP}| = \sqrt{\frac{\beta_n}{\beta_p}} (V_{IN} - V_{TN}) \quad V_{IN} = \frac{V_{DD} - |V_{TP}| + \sqrt{\frac{\beta_n}{\beta_p}} V_{TN}}{1 + \sqrt{\frac{\beta_n}{\beta_p}}} \text{ Costante!}$$

suppongo che $|V_{TP}| = V_{TN}$ e $\beta_n = \beta_p$ (non stesse dimensioni)

$$V_{IN} = \frac{V_{DD}}{2} \quad \mu_n C_{ox} \frac{W_n}{L_n} = \mu_p C_{ox} \frac{W_p}{L_p} \quad \mu_n = 2,5 \cdot \mu_p$$

$$2,5 \mu_p \frac{W_n}{L_n} = \mu_p \frac{W_p}{L_p} \quad \frac{W_n}{L_n} = \frac{1}{2,5} \frac{W_p}{L_p} \quad \text{non possono avere le stesse dimensioni}$$

se $L_n = L_p \Rightarrow W_p = 2,5 W_n$ il p deve essere più largo dell'n.

$$R = \rho \cdot \frac{l}{S} = \rho \cdot \frac{L}{W \cdot t_{inv}} \quad \text{aumentando } W, \text{ diminuisce la resistenza}$$

N-MOS SAT
P-MOS LIN

$$I_{DSN} = I_{SDP}$$

$$\frac{\beta_n}{2} (V_{IN} - V_{TN})^2 = \beta_p \left[\left(\overbrace{V_{DD} - V_{IN}}^{V_{SG}} - |V_{TP}| \right) (V_{DD} - V_{OUT}) - \frac{(V_{DD} - V_{OUT})^2}{2} \right]$$

N-MOS LIN
P-MOS SAT

$$I_{DSN} = I_{SDP}$$

$$\beta_n \left[(V_{IN} - V_{TN}) V_{OUT} - \frac{V_{OUT}^2}{2} \right] = \frac{\beta_p}{2} (V_{DD} - V_{IN} - |V_{TP}|)^2$$

Non è una logica a rapporto perché la pendenza del tratto centrale non dipende dal rapporto dei β , perché è sempre verticale. Solo la posizione del tratto centrale dipende dal rapporto dei β .

⇒ LOGICA RATIOLESS

La caratteristica è simmetrica se $\beta_n = \beta_p$. Ottima condizione per il margine d'immunità ai disturbi. \rightarrow c se $V_{IN} = |V_{TP}|$

I valori alti e bassi non dipendono dai β .

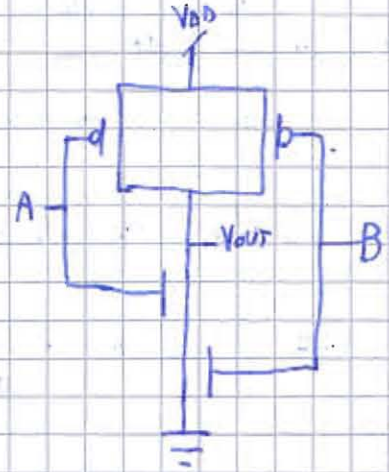
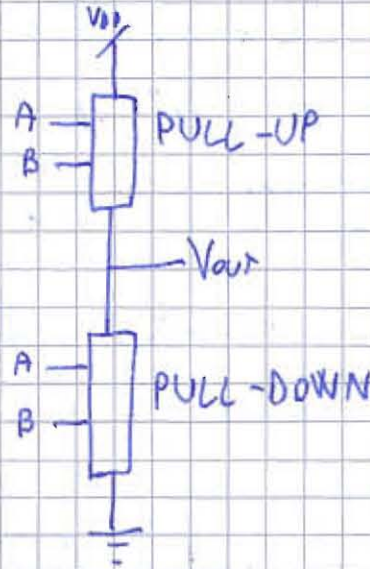
Con il CMOS si ottiene la massima escursione logica, si elimina il consumo di potenza in condizioni stazionarie, si migliora il margine d'immunità ai disturbi.

$$V_{DD} \text{ deve essere } V_{DD} > V_{TN} + |V_{TP}|$$

NAND

0 logic \rightarrow 0V con CMOS
 1 logic \rightarrow V_{DD} con CMOS

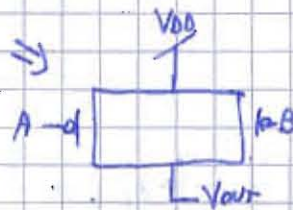
A	B	Y	
0	0	1	attivare PULL-UP
0	1	1	" "
1	0	1	" "
1	1	0	attivare PULL-DOWN



Anche con un solo 0 in ingresso il pull-down deve essere spento.



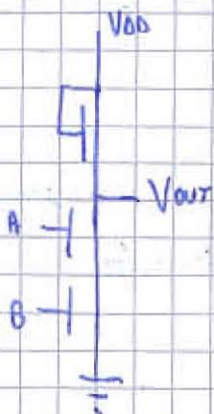
Il pull-up deve essere acceso anche se pull-down è spento \Rightarrow



RETE NAND IN FCMOS (full complementary MOS)

\uparrow perché gli ingressi sono applicati sia a pull-up/down

il cui stato è realizzato con MOS a carico saturato?



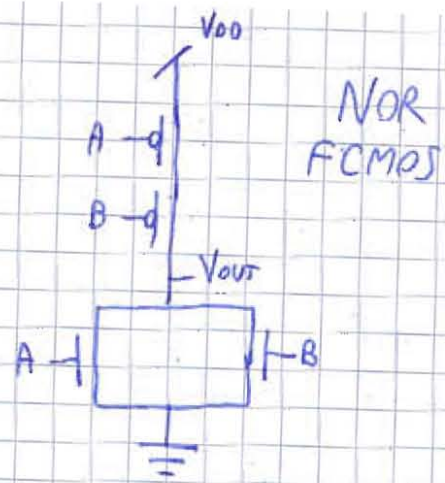
A	B	V_{out}	
0	0	$V_{DD} - V_T$	1 OK
0	1	$V_{DD} - V_T$	1
1	0	$V_{DD} - V_T$	1
1	1	V_0	0

NOR

A	B	Y
0	0	1
0	1	0
1	0	0
1	1	0

$Y=1$ $A=0$ e $B=0$

$Y=0$ $A=1$ o $B=1$

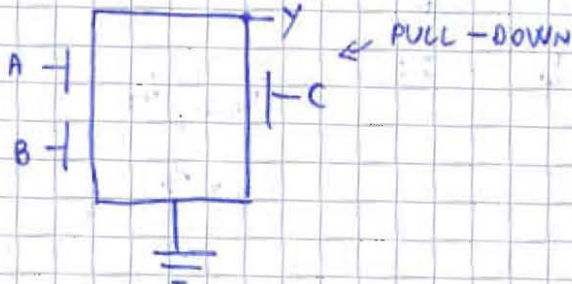


Realizzare $Y = \overline{A \cdot B + C}$

$Y=0$ \approx $A \cdot B=1$ o $C=1$ ($A=1$ e $B=1$) o $C=1$

\hookrightarrow $A=1$ e $B=1$ rete di pull-down

($A=1$ e $B=1$) è la descrizione di due n-mos in serie



NAND

$Y = \overline{A \cdot B}$

$Y=0$ $A \cdot B=1$ $\begin{array}{|l} \hline \top \\ \hline \end{array}$
 $A=1$ e $B=1$ $\begin{array}{|l} \hline \top \\ \hline \end{array}$

$Y=1$ $A \cdot B=0$ $\begin{array}{|l} \hline \top \\ \hline \end{array}$
 $A=0$ o $B=0$ $\begin{array}{|l} \hline \top \\ \hline \end{array}$

$e \Rightarrow$ MOS SERIE

$Y=0 \Rightarrow$ NMOS

NOR

$Y = \overline{A+B}$

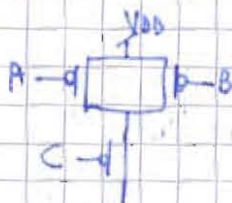
$Y=0$ $A+B=1$ $\begin{array}{|l} \hline \top \\ \hline \end{array}$
 $A=1$ o $B=1$ $\begin{array}{|l} \hline \top \\ \hline \end{array}$

$Y=1$ $A+B=0$ $\begin{array}{|l} \hline \top \\ \hline \end{array}$
 $A=0$ e $B=0$ $\begin{array}{|l} \hline \top \\ \hline \end{array}$

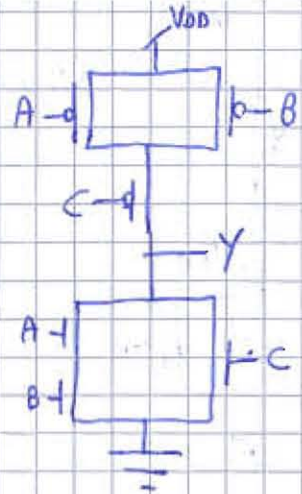
$o \Rightarrow$ MOS PARALLELO

$Y=1 \Rightarrow$ PMOS

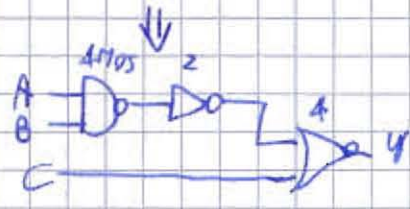
$Y=1 \approx$ $A \cdot B=0$ e $C=0 \Rightarrow$ ($A=0$ o $B=0$) e $C=0$



Quindi



6 MOS NECESSARI

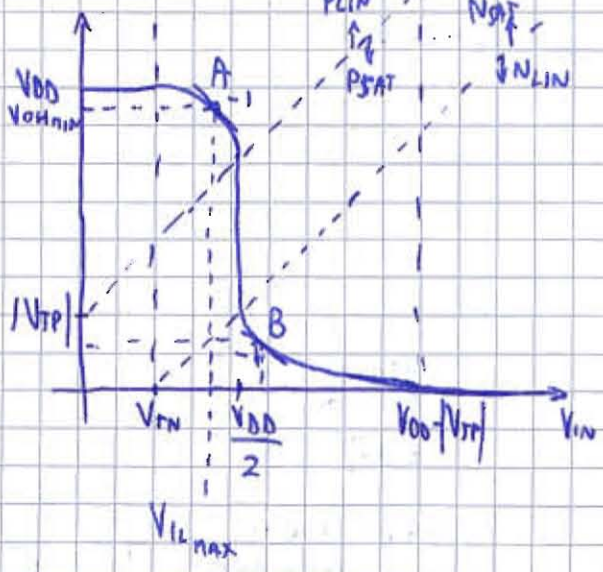
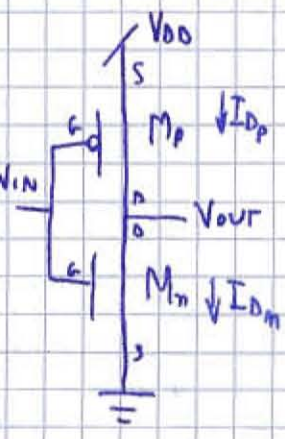


10 MOS NECESSARI

Minor area occupata e migliore efficienza perché un segnale deve passare un solo stato

MARCOLEDI 16.30-18.30 ESERCITAZIONE

04/05/09



$$V_{TN} = |V_{TP}|$$

$$\beta_n = \beta_p$$

$$A(V_{ILmax}, V_{OHmin})$$

$$B(V_{IHmin}, V_{OLmax})$$

Calcolo NM

Già siamo a vuoto, $I_{Dp} = I_{Dn}$.

$$\beta_p \cdot \left[(V_{SG} - |V_{TP}|) \cdot V_{SD} - \frac{V_{SD}^2}{2} \right] = \frac{\beta_n}{2} (V_{GS} - V_{TN})^2$$

dove $V_{SG} = V_{DD} - V_{IN}$ per il p-mos
 $V_{SD} = V_{DD} - V_{OUT}$

e $V_{GS} = V_{IN}$ per il n-mos
 $V_{DS} = V_{OUT}$

$$\beta_p \left[(V_{DD} - V_{IN} - |V_{TP}|) \cdot (V_{DD} - V_{OUT}) - \frac{(V_{DD} - V_{OUT})^2}{2} \right] = \frac{\beta_n}{2} (V_{IN} - V_{TN})^2$$

$$\frac{d}{dV_{in}} \Rightarrow \beta_p \left[-(V_{DD} - V_{out}) + (V_{DD} - V_{in} - |V_{TP}|) \cdot \left(-\frac{dV_{out}}{dV_{in}} \right) + \frac{2(V_{DD} - V_{out})}{2} \cdot \frac{dV_{out}}{dV_{in}} \right] =$$

$$= 2 \frac{\beta_n}{2} (V_{in} - V_{TN}) \quad \text{impongo} \quad \frac{dV_{out}}{dV_{in}} = -1$$

$$\beta_p \left[V_{out} - V_{DD} + V_{DD} - V_{in} - |V_{TP}| - V_{DD} + V_{out} \right] = \beta_n (V_{in} - V_{TN})$$

$$\beta_p (2V_{out} - V_{DD} - V_{in} - |V_{TP}|) = \beta_n (V_{in} - V_{TN})$$

Poniamoci nella condizione $V_{TN} = |V_{TP}|$ e $\beta_n = \beta_p$

$$2V_{out} - V_{DD} - V_{in} - |V_{TP}| = V_{in} - |V_{TP}| \quad \begin{matrix} 2V_{out} = V_{DD} + 2V_{in} \\ \uparrow V_{OHMIN} \qquad \qquad \uparrow V_{ILMAX} \end{matrix}$$

sostituiremo nell'equazione

$$\left\{ \begin{aligned} \beta_p \left[(V_{DD} - V_{ILMAX} - |V_{TP}|)(V_{DD} - V_{OHMIN}) - \frac{(V_{DD} - V_{OHMIN})^2}{2} \right] &= \frac{\beta_n}{2} (V_{ILMAX} - V_{TN})^2 \\ 2V_{OHMIN} - 2V_{ILMAX} - V_{DD} &= 0 \quad \dots \end{aligned} \right.$$

B

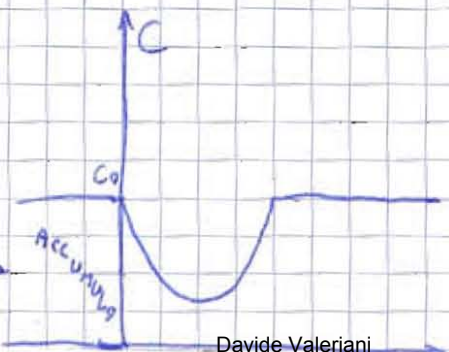
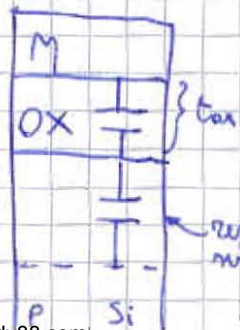
Es. $V_{DD} = 3,5V$
 $V_{TN} = |V_{TP}| = 0,6V$

$$I_{DP SAT} = I_{DM LIN} \quad \text{stesso procedimento}$$

Il margine di immunità ai disturbi alto è uguale a quello basso perché il sistema è simmetrico (circa 1,75V) → elevato!!

COMPORTAMENTO DINAMICO

La situazione di transitorio dipende dalle capacità in gioco.

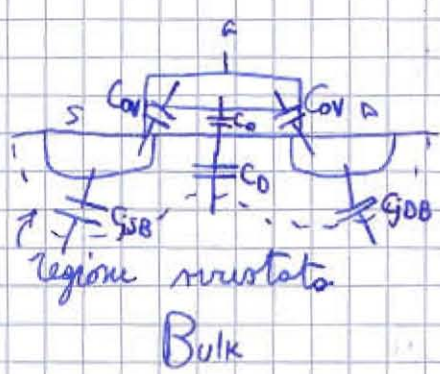


$$C_0 = C_{ox} \cdot W \cdot L$$

$$\downarrow \frac{E_{ox}}{tox}$$

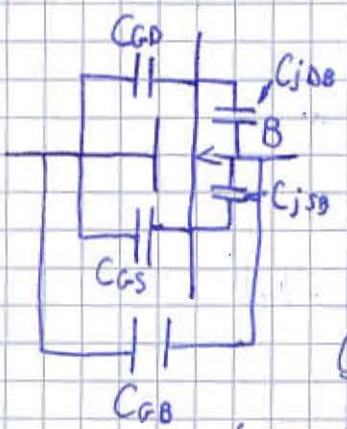
Capacità non lineare. Difficile risolverlo negli esercizi, considerato solo con l'aiuto di software.

Mettiamoci nella condizione di caso peggiore $C = C_0$. Ma questa capacità non è l'unica in gioco.



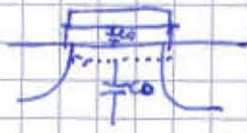
	OFF	LIN	SAT
C_{GB}	C_0	~ 0	~ 0
C_{GS}	C_{ov}	$C_{ov} + \frac{1}{2} C_0$	$\sim C_{ov} + \frac{2}{3} C_0$
C_{GD}	C_{ov}	$C_{ov} + \frac{1}{2} C_0$	$\sim C_{ov}$

caso peggiore ↑



C_{GB} quando mos OFF sarà $< C_0$, nel caso peggiore C_0 (perché è la serie tra C_0 e C_0)

Quando il dispositivo è in lineare, siamo in forte inversione. Strato invertito.

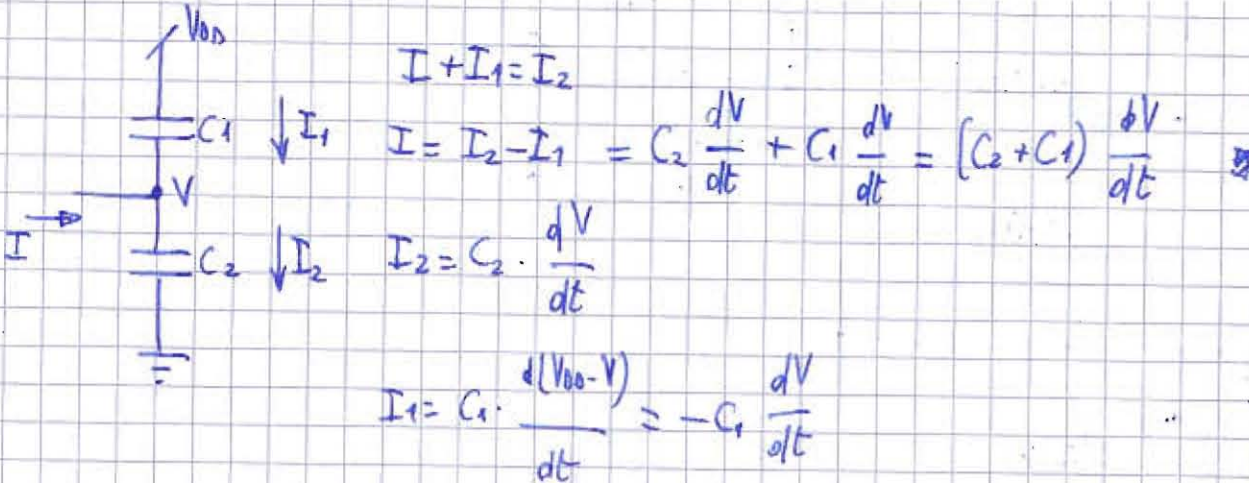


C_0 è connessa al source e al drain, perché non c'è più diretto collegamento con il bulk perché ora c'è un conduttore. $\frac{C_0}{2}$ lo associa al source, $\frac{C_0}{2}$ lo associa al drain.

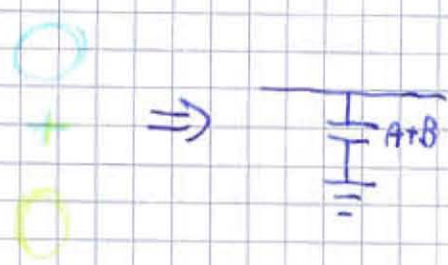
In saturazione il canale è ristretto, per cui lo strato invertito è e non possa associarlo solo a metà al drain e al source.

$C_{GS} > C_{ov} + \frac{C_0}{2}$ mentre $C_{GD} < C_{ov} + \frac{C_0}{2}$

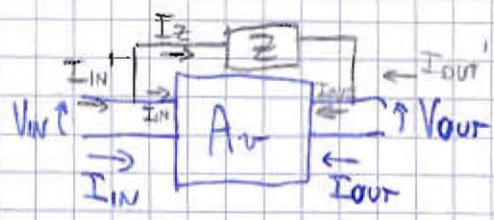
Suppongo di connettere più CMOS tra loro "in serie" e vedere come si comportano le capacità.



⇒ è lo stesso circuito



TEOREMA DI MILLER



supponiamo che venga connessa un'impedenza Z tra l'ingresso e l'uscita.

Da Kirchhoff so che $I_{IN}' = I_{IN} + I_Z$ e $I_Z = \frac{V_{IN} - V_{OUT}}{Z}$ e

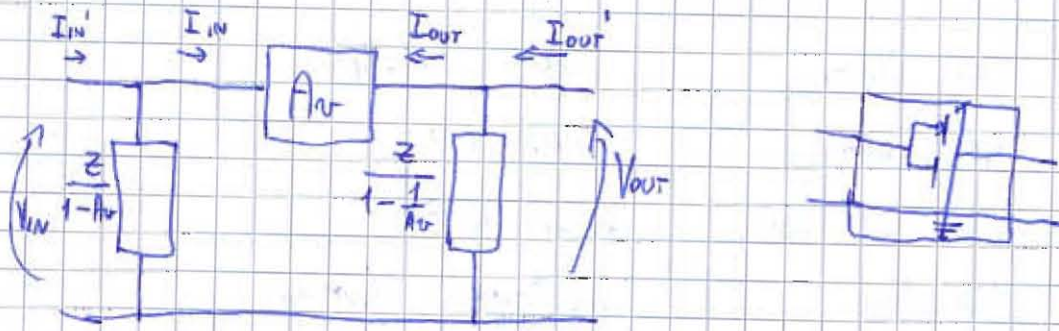
$V_{OUT} = A_v \cdot V_{IN}$ da cui $I_{IN}' = I_{IN} + \frac{V_{IN} - V_{OUT}}{Z} = I_{IN} + \frac{V_{IN} - A_v V_{IN}}{Z} = I_{IN} + \frac{V_{IN}(1 - A_v)}{Z} =$
 $= I_{IN} + \frac{V_{IN}}{Z/(1 - A_v)}$

Stesso ragionamento per l'uscita:

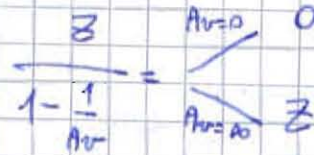
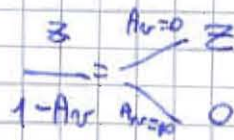
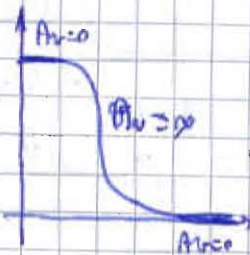
$I_{OUT}' = I_{OUT} - \frac{V_{OUT} - V_{IN}}{Z} = I_{OUT} + \frac{V_{OUT}(1 - \frac{1}{A_v})}{Z} =$

$= I_{OUT} + \frac{V_{OUT}}{Z/(1 - \frac{1}{A_v})}$ ← corrente che ottienei

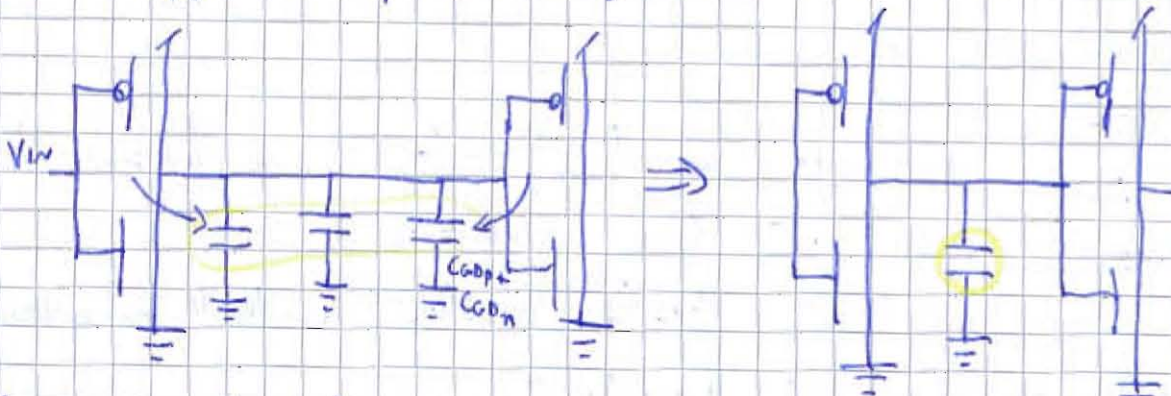
Il circuito precedente è quindi equivalente a



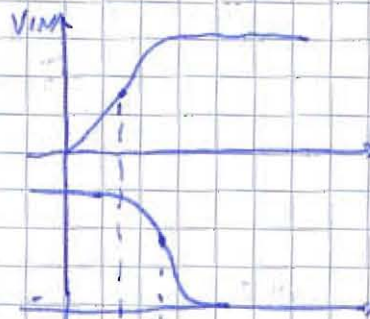
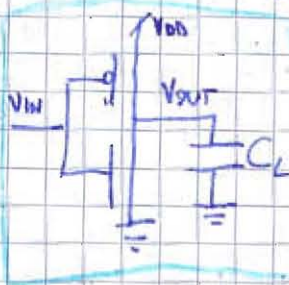
$C_{GDp} + C_{GDn}$ viene pertanto divisa in due, una da sommare alla capacità $A+B$ d'ingresso e una da sommare a quella dell'uscita



Il caso peggiore è quando valgono Z

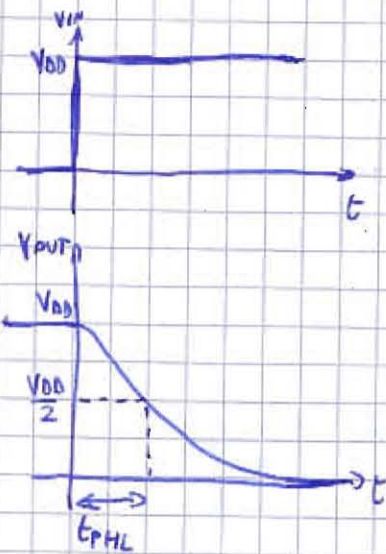


il parte quelle di giunzione, le capacità dipendono tutte da C_0 .
 $C_{overlap} \ll C_0$. Sommando il caso peggiore dell'n-mos e del p-mos, ottengo $2C_0$ come caso peggiore, trascurando le capacità di giunzione.
 Per valutare gli effetti di transitorio di un invertitore, considero



$t_{PHL} \rightarrow$ TEMPO DI PROPAGAZIONE per passare dal 50% dell'excitazione logica in ingresso al

Considero una variazione istantanea dell'ingresso.



$t < 0 \quad V_{IN} = 0$
 nMOS OFF
 pMOS ON LIN
 $V_{OUT} = V_{DD}$

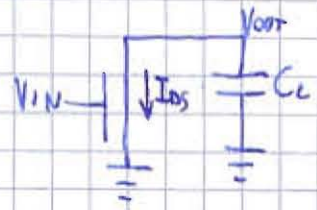
$t > 0 \quad V_{IN} = V_{DD}$
 nMOS ON
 pMOS OFF
 per $t \rightarrow \infty, V_{OUT} = 0$

$$50\% (V_H - V_L) = \frac{V_{DD}}{2}$$

$V_H = V_{DD} - V_T$
 $V_L = 0,5V$
 $\frac{V_H - V_L}{2} + V_L = \frac{V_H + V_L}{2} = 50\% (V_H - V_L)$



Il p-mos si spegne istantaneamente (perché variazione istantanea in ingresso).
 Il pull-up non c'è più.



NMOS SAT se $V_{DS} > V_{GS} - V_T$, cioè se $V_{OUT} > V_{IN} - V_T$
 per $t = 0^- \quad V_{IN} = 0, V_{OUT} = V_{DD}$
 per $t = 0^+ \quad V_{IN} = V_{DD}, V_{OUT} = V_{DD} \quad V_{DD} > V_{DD} - V_T \Rightarrow$ NMOS SAT

L'N-mos rimane in SAT finché $V_{out} > V_{DD} - V_T$

$$t_{PHL} = t_{SAT} + t_{LIN}$$

t_{SAT}

$$I_{DS} = -I_C = \frac{\beta_n}{2} (V_{GS} - V_T)^2 = \frac{\beta_n}{2} (V_{IN} - V_T)^2$$

$$= \frac{\beta_n}{2} (V_{DD} - V_T)^2$$

$$= -C_L \frac{dV_{out}}{dt}$$

$$\int_0^{t_{SAT}} dt = \frac{C_L}{\frac{\beta_n}{2} (V_{DD} - V_T)^2} \int_{V_{DD}}^{V_{DD} - V_T} dV_{out}$$

$$t_{SAT} = \frac{C_L}{\frac{\beta_n}{2} (V_{DD} - V_T)^2} \cdot (V_{DD} - V_T - V_{DD}) = \frac{V_T \cdot C_L}{\frac{\beta_n}{2} (V_{DD} - V_T)^2}$$

$$I_{DS_{LIN}} = -C \frac{dV_{out}}{dt} \quad \beta_n \left[(V_{GS} - V_T) V_{DS} - \frac{V_{DS}^2}{2} \right] = -C_c \frac{dV_{out}}{dt}$$

$$V_{GS} = V_{IN} = V_{DD}$$

$$V_{DS} = V_{out}$$

$$\beta_n \left[(V_{DD} - V_T) \cdot V_{out} - \frac{V_{out}^2}{2} \right] = -C_c \frac{dV_{out}}{dt}$$

$$dt = \frac{-2C_c}{\beta_n} \frac{dV_{out}}{2(V_{DD} - V_T) V_{out} - V_{out}^2}$$

$$dt = \frac{2C_c}{\beta_n} \frac{dV_{out}}{V_{out} [V_{out} - 2(V_{DD} - V_T)]}$$

$$\int_0^{t_{LIN}} dt = \frac{2C_c}{\beta_n} \int_0^{V_{DD}/2} \frac{dV_{out}}{V_{out} [V_{out} - 2(V_{DD} - V_T)]}$$

$$\frac{1}{V_{out} [V_{out} - 2(V_{DD} - V_T)]} = \frac{A}{V_{out}} + \frac{B}{V_{out} - 2(V_{DD} - V_T)} = \frac{A V_{out} - 2A(V_{DD} - V_T) + B V_{out}}{V_{out} [V_{out} - 2(V_{DD} - V_T)]}$$

$$= \frac{V_{out}(A+B) - 2A(V_{DD} - V_T)}{V_{out} [V_{out} - 2(V_{DD} - V_T)]}$$

$$\begin{cases} A+B=0 \\ -2A(V_{DD} - V_T) = 1 \end{cases} \quad \begin{cases} A = -\frac{1}{2} \cdot \frac{1}{V_{DD} - V_T} \\ B = \frac{1}{2(V_{DD} - V_T)} \end{cases}$$

$$= -\frac{1}{2(V_{DD} - V_T)} \cdot \frac{1}{V_{out}} + \frac{1}{2(V_{DD} - V_T)} \cdot \frac{1}{V_{out} - 2(V_{DD} - V_T)}$$

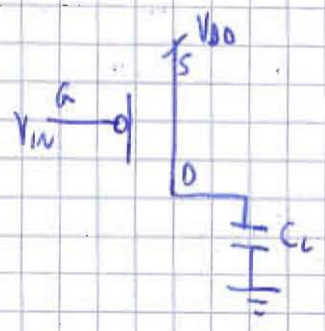
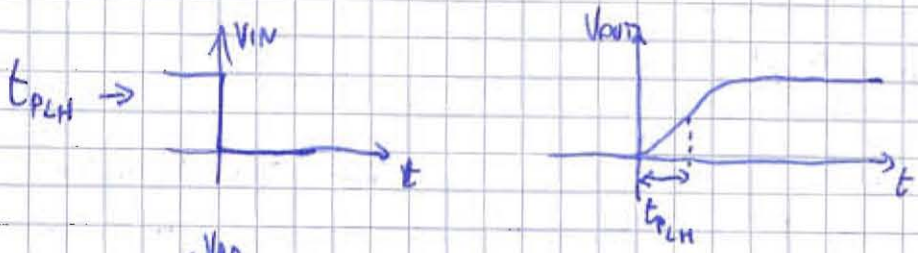
$$t_{LIN} = \frac{2C_c}{\beta_n} \left[-\frac{1}{2(V_{DD} - V_T)} \cdot \ln V_{out} + \frac{1}{2(V_{DD} - V_T)} \cdot \ln |V_{out} - 2(V_{DD} - V_T)| \right]_{V_{DD} - V_T}^{V_{DD}/2} =$$

$$= \frac{2C_c}{\beta_n} \frac{1}{2(V_{DD} - V_T)} \left[\ln \frac{V_{out} - 2(V_{DD} - V_T)}{V_{out}} \right]_{V_{DD} - V_T}^{V_{DD}/2} = \frac{C_c}{\beta_n (V_{DD} - V_T)} \left[\ln \frac{\frac{V_{DD}}{2} - 2V_{DD} + 2V_T}{\frac{V_{DD}}{2}} - \ln(-1) \right] =$$

$$= \frac{C_L}{\beta_n (V_{DD} - V_T)} \left[\ln \frac{-3V_{DD} + 4V_T}{V_{DD}} \cdot \frac{1}{-1} \right] = \frac{C_L}{\beta_n (V_{DD} - V_T)} \ln \frac{3V_{DD} - 4V_T}{V_{DD}}$$

$$t_{PHL} = t_{SAT} + t_{LIN} = \frac{2C_L V_T}{\beta_n (V_{DD} - V_T)^2} + \frac{C_L}{\beta_n (V_{DD} - V_T)} \ln \frac{3V_{DD} - 4V_T}{V_{DD}} =$$

$$= \frac{C_L}{\beta_n (V_{DD} - V_T)} \left[\frac{2V_T}{V_{DD} - V_T} + \ln \frac{3V_{DD} - 4V_T}{V_{DD}} \right]$$



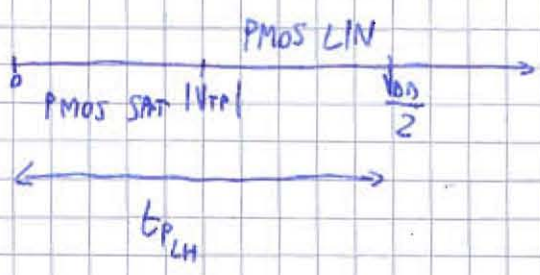
PULL-DOWN operates $t > 0 \rightarrow V_{IN} = 0$

PMOS SAT re

$$V_{SD} > V_{SG} - |V_{TP}|$$

$$V_{DS} - V_{out} > V_{GS} - V_{in} - |V_{TP}|$$

$$V_{out} < V_{in} + |V_{TP}| \quad V_{out} < |V_{TP}|$$



$$I_{SD} = I_C = C \frac{dV_{out}}{dt}$$

$$t_{SAT} \frac{\beta_p}{2} (V_{DD} - V_{in} - |V_{TP}|)^2 = C \frac{dV_{out}}{dt} \dots t_{SAT} = \frac{2C_L |V_{TP}|}{\beta_p (V_{DD} - |V_{TP}|)}$$

$$t_{LIN} \beta_p \left[(V_{DD} - V_{in} - |V_{TP}|)(V_{DD} - V_{out}) - \frac{(V_{DD} - V_{out})^2}{2} \right] = C \frac{dV_{out}}{dt}$$

$$t_{LIN} = \frac{C_L}{\beta_p (V_{DD} - |V_{TP}|)} \ln \frac{3V_{DD} - 4|V_{TP}|}{V_{DD}}$$

Dato che la porta è simmetrica

$$t_{PHL} = t_{PLH}$$

$$t_p = \frac{t_{PHL} + t_{PLH}}{2} = t_{PHL} = t_{PLH}$$

quando $\beta_n = \beta_p$ e $V_{TN} = |V_{TP}|$

$$V_{DD} \gg V_T$$

$$t_{PHL} = \frac{2C_L}{\beta_n \cdot V_{DD}} \left[\frac{1}{\frac{V_{DD}}{V_T} - 1} + \frac{1}{2} \ln \frac{3 - 4 \frac{V_T}{V_{DD}}}{1} \right]$$

trascurabile (pointing to $\frac{1}{\frac{V_{DD}}{V_T} - 1}$)
trascurabile (pointing to $\ln \dots$)
grande (pointing to $\frac{V_{DD}}{V_T}$)
trascurabile (pointing to $\frac{V_T}{V_{DD}}$)
 $\ln 3 \approx 1$

$$= \frac{2C_L}{\beta_n V_{DD}} \cdot \frac{1}{2} = \frac{C_L}{\beta_n V_{DD}}$$

$\uparrow C_L \rightarrow \uparrow t_{PHL}$
 $\uparrow \beta_n \rightarrow \downarrow t_{PHL}$
 $\uparrow V_{DD} \rightarrow \downarrow t_{PHL}$

perché aumenta quadraticamente la corrente

La potenza dissipata (dinamica) aumenta con V_{DD} .

Per avere circuiti veloci, devo accettare un consumo di potenza elevato.

$$C_L \propto C_{ox} \cdot W \cdot L \quad t_p \approx \frac{C_L}{\beta_n V_{DD}} = \frac{L C_{ox} W \cdot L}{\mu_n C_{ox} \cdot W \cdot \frac{1}{L} \cdot V_{DD}} = \frac{\alpha}{\mu_n} \cdot \frac{L^2}{V_{DD}}$$

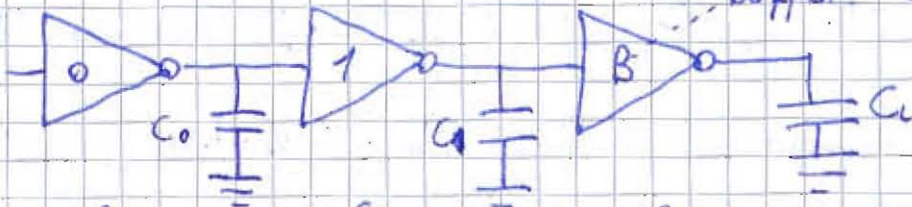
$$\beta_n = \mu_n C_{ox} \cdot \frac{W}{L}$$

Il tempo di propagazione non dipende della larghezza del MOS ma della lunghezza. La lunghezza deve quindi essere minima.

Se però considero più invertitori in cascata, questa formula non vale più perché $C_L \neq C_{ox} \cdot W \cdot L$. Devo considerare anche le

Buffer Capacità parassite dei f

$$C_L \gg C_{ox} \cdot W \cdot L$$



$$t_{p0} = \frac{C_0}{\beta_0 V_{DD}}$$

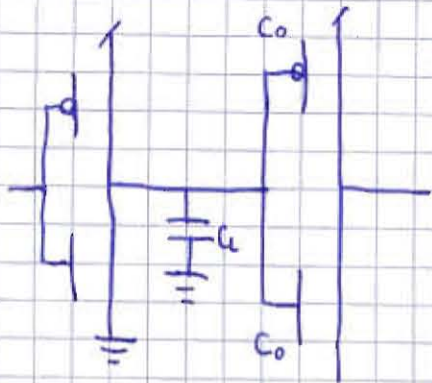
$$t_{p1} = \frac{C_1}{\beta_1 V_{DD}}$$

$$t_{p2} = \frac{C_L}{\beta_2 V_{DD}}$$

$$t_{p0} = \frac{C_L}{\beta_0 \cdot V_{DD}} = \frac{C_L}{\mu_n \cdot C_{ox} \cdot \frac{W_0}{L_0} \cdot V_{DD}}$$

Potrei aumentare W_0 (ultimo stadio con MOS molto larghi), ma andrei ad aumentare C_B e via via, a catena, aumentano i tempi di propagazione degli invertitori precedenti.

06/05/09



α

$C_L \approx 2 C_{ox} W \cdot L$ se hanno la stessa lunghezza altrimenti $C_L = C_{ox} W_p L_p + C_{ox} W_n L_n$

Le interconnessioni presentano delle capacità parassite, pertanto $C_L \gg C_{ox} \cdot W \cdot L$

L'ultimo \triangleright deve essere in grado di "pilottare" la capacità C_L .

Viene chiamato buffer.

$$t_p \approx \frac{C}{\beta \cdot V_{DD}} = \frac{\alpha C_{ox} W \cdot L}{\beta \cdot V_{DD}} = \frac{\alpha \cdot L^2}{\mu_n \cdot V_{DD}}$$

stadio a valle stadio n

Questo vale solo se ci troviamo tra due stadi: all'ultimo stadio:

$$t_{p0} = \frac{C_L}{\beta \cdot V_{DD}} = \frac{C_L}{C_{ox} \mu_n \frac{W}{L} \cdot V_{DD}}$$

dipende dalla larghezza del NMOS $\Rightarrow t_{p0} = t_{p_{NMOS}}$

Per diminuire t_{p0} devo aumentare W_0 e quindi $C_1 \Rightarrow$ aumenta t_{p1}

Ho trasportando il problema a monte \rightarrow circuito sempre lento

Considero $\beta_1 = \beta_0$ e $t^* = t_{p1} + t_{p0}$ (tempi che modifico cambiando W_0).

$$t^* = \frac{C_1}{\beta_0 \cdot V_{DD}} + \frac{C_L}{\beta_0 \cdot V_{DD}}$$

suppongo di variare $W_0 = k \cdot W_0 = k W_1$ perché $\beta_0 = \beta_1$

$$\beta_B = \mu C_{ox} \frac{W_B}{L} \quad \beta_0 = \mu C_{ox} \frac{W_0}{L}$$

$$\frac{\beta_B}{\beta_0} = \frac{\mu C_{ox} \frac{W_B}{L}}{\mu C_{ox} \frac{W_0}{L}} = \frac{W_B}{W_0} = K \quad C_1 = \alpha \cdot C_{ox} \cdot W_0 \cdot L$$

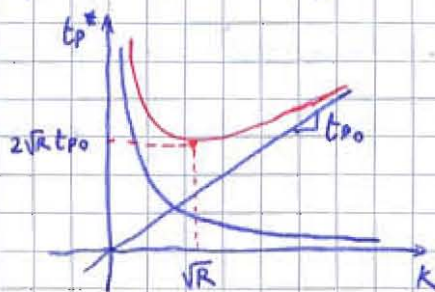
$$\beta_0 \quad \mu C_{ox} \frac{W_0}{L} \quad W_0 \quad C_0 = \alpha C_{ox} \cdot W_0 \cdot L$$

$$\frac{C_1}{C_0} = \frac{W_B}{W_0} = K \quad t_p^* = \frac{C_1}{C_0} \cdot \frac{C_0}{\beta_0 \cdot V_{DD}} + \frac{C_2}{\frac{\beta_0}{\beta_0} \cdot \beta_0 \cdot V_{DD}} = \frac{K C_0}{\beta_0 \cdot V_{DD}} + \frac{C_2}{K \beta_0 V_{DD}} =$$

valore tale che $C_2 = R C_0$

$$= K \frac{C_0}{\beta_0 V_{DD}} + \frac{R C_0}{K \beta_0 V_{DD}} = \frac{C_0}{\beta_0 V_{DD}} \left(K + \frac{R}{K} \right) = \text{devo trovare } K \text{ che minimizza}$$

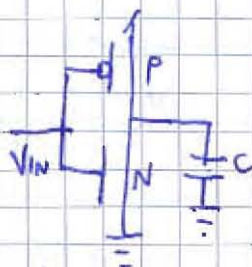
$$= t_{p0} \left(K + \frac{R}{K} \right)$$



$$\frac{dt_p^*}{dK} = t_{p0} \left(1 - \frac{R}{K^2} \right) = 0 \quad K = \sqrt{R} \quad R = \frac{C_2}{C_0} = \frac{C_2}{C_1} \cdot \frac{C_1}{C_0} = K \cdot \frac{C_2}{C_1}$$

$$R = \frac{C_2}{C_1} \cdot \sqrt{R} \quad \frac{C_2}{C_1} = \sqrt{R} = K = \frac{C_1}{C_0} \quad C_1 \text{ dipende da } W_0 \text{ ed } \epsilon \text{ la media proporzionale tra } C_2 \text{ e } C_0.$$

NO DIMENSIONAMENTO SU PIU' BUFFER.

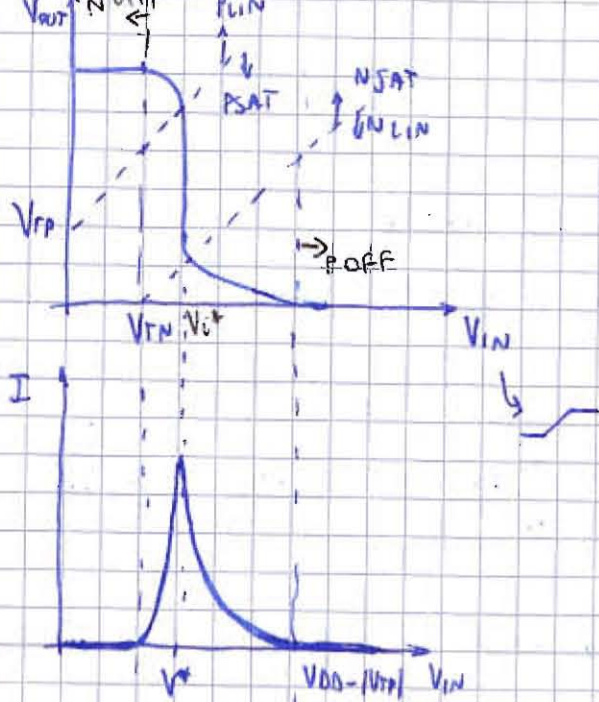


Due contributi al consumo di potenza: quello della capacità e quella di corto circuito.

C'è un transitorio nel passaggio da alto a basso e viceversa in cui c'è una corrente \rightarrow consumo di potenza.

Suppongo che l'ingresso non vari istantaneamente.

Trascuro per ora la capacità C.



$$I_{DS} = \frac{\beta_n}{2} \left(\begin{matrix} V_{GS} - V_{TN} \\ V_{IN} \end{matrix} \right)^2 \quad \text{per } N_{SAT} \text{ } P_{LIN}$$

$$I_{SO} = \frac{\beta_p}{2} (V_{SG} - |V_{TP}|)^2 \quad \text{per } N_{LIN} \text{ } P_{SA}$$

$$= \frac{\beta_p}{2} (V_{DD} - V_{IN} - |V_{TP}|)^2$$

Quando V_{IN} non varia istantaneamente ed è presente un carico, devo considerare la potenza dissipata sul carico dovuta dalle correnti che vi circola.

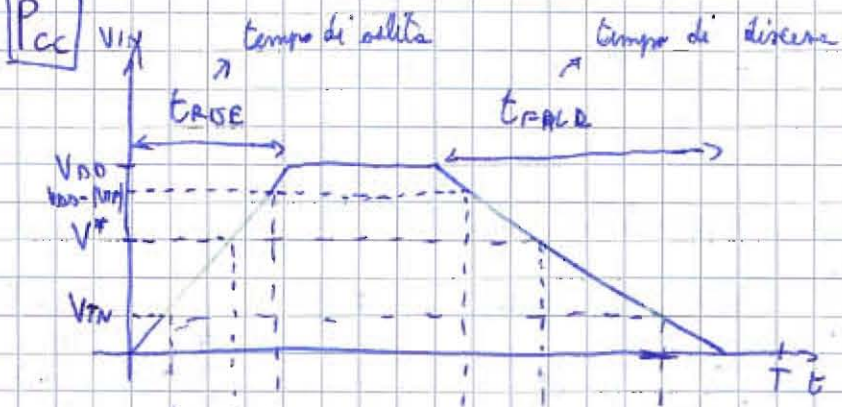
$$P_{DIN} = P_{CC} + P_{ASS. CARICO}$$

\downarrow potenza dissipata di tutto circuito \downarrow potenza

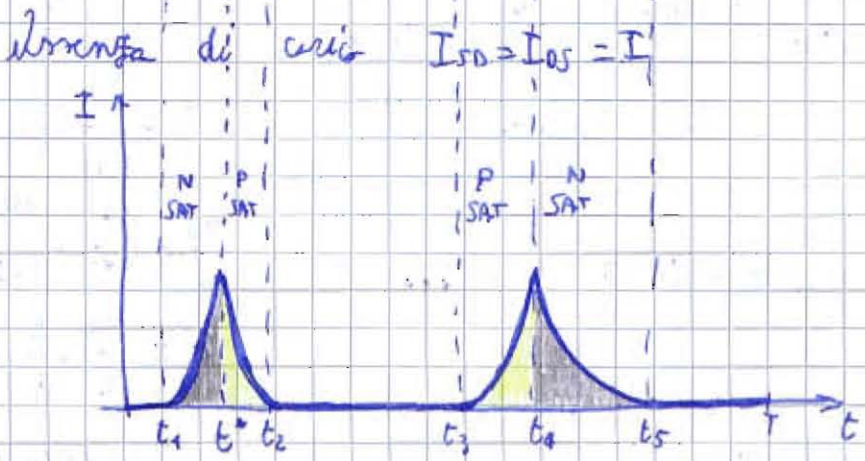
potenza dissipata dal CMOS anche in assenza di carico dovuta al fatto che al variare della V_{IN} (non istantanea) il CMOS lavora in regioni in cui entrambi i MOS sono accesi, pertanto ha corrente da V_{DD} a massa e dissipa potenza. È nulla solo se V_{IN} varia istantaneamente. La potenza associata al carico (capacitivo) è dovuta al fatto che quando varia la tensione d'uscita ha corrente nelle capacità. Presente anche in caso di variazione istantanea perché il condensatore si deve caricare o scaricare (transitorio).

Per calcolare P_{CC} , considero un circuito senza il carico.

Per calcolare $P_{ASS. CARICO}$, considero un ingresso che varia istantaneamente. Poi sommo.



P-MOS e N-MOS entrambi accesi



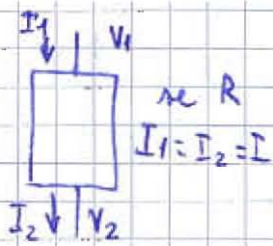
$$I = \frac{\beta_n}{2} (V_{GS} - V_{TN})^2 = \frac{\beta_n}{2} (V_{IN}(t) - V_{TN})^2 \quad V_{IN}(t) = a \cdot t \text{ lineare} \Rightarrow I \text{ parabolica}$$

$$\text{Per } t > t^*, P_{SAT} \quad I = \frac{\beta_p}{2} (V_{SG} - |V_{TP}|)^2 = \frac{\beta_p}{2} (V_{DD} - V_{IN} - |V_{TP}|)^2 \text{ ancora parabolica}$$

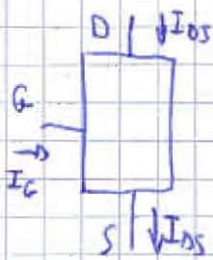
Il consumo di potenza non ce l'ha sempre, ma solo nelle transizioni.

$$\begin{aligned} \tilde{P}_{CC} &= \frac{1}{T} \int_0^T P_{ist.} dt = \frac{1}{T} \int_0^T V_{DD} \cdot I dt = \frac{1}{T} \left[\int_0^{t_1} V_{DD} \cdot I dt + \int_{t_1}^{t_2} V_{DD} \cdot I dt + \int_{t_2}^{t_3} V_{DD} \cdot I dt + \int_{t_3}^{t_4} V_{DD} \cdot I dt + \int_{t_4}^{t_5} V_{DD} \cdot I dt + \int_{t_5}^T V_{DD} \cdot I dt \right] \\ &= \frac{1}{T} \left[\int_{t_1}^{t_2} V_{DD} \cdot \frac{\beta_n}{2} (V_{IN} - V_{TN})^2 dt + \int_{t_2}^{t_3} V_{DD} \cdot \frac{\beta_p}{2} (V_{DD} - V_{IN} - |V_{TP}|)^2 dt + \int_{t_3}^{t_4} V_{DD} \cdot \frac{\beta_p}{2} (V_{DD} - V_{IN} - |V_{TP}|)^2 dt + \int_{t_4}^{t_5} V_{DD} \cdot \frac{\beta_n}{2} (V_{DD} - V_{IN} - |V_{TP}|)^2 dt \right] \end{aligned}$$

il meno che i coefficienti angolari non sono uguali in modulo.



$$P = V_1 I_1 - V_2 I_2 = I(V_1 - V_2) = V \cdot I$$



$$P = V_0 \cdot I_{os} + V_g \cdot I_{g} - V_s I_{os} = I_{os} (V_0 - V_s) = V_{os} \cdot I_{os}$$

(nel P-mos, $P = V_{so} \cdot I_{so}$)

$$\tilde{P}_{Ac} = \tilde{P}_{Pmos} + \tilde{P}_{Nmos} + \tilde{P}_c$$

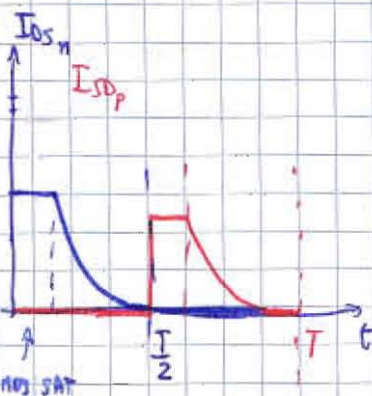
$$\tilde{P}_c = \frac{1}{T} \int_0^T V_{out} \cdot I_c dt = \frac{1}{T} \int_0^T V_{out}(t) \cdot C \cdot \frac{dV_{out}}{dt} dt = \frac{C}{T} \int_{V_{out}(0)}^{V_{out}(T)} V_{out} dV_{out} =$$

$$= \frac{C}{T} \left[\frac{V_{out}^2}{2} \right]_{V_{out}(0)}^{V_{out}(T)} = \frac{C}{T} \left[\frac{V_{DD}^2}{2} - \frac{V_{DD}^2}{2} \right] = 0$$

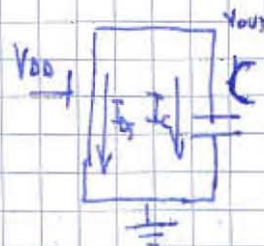
perchi in un semiperiodo la capacita assorbe energia nell'altro la cede.

$$\tilde{P}_{Nmos} = \frac{1}{T} \int_0^T V_{os} \cdot I_{os} dt = \frac{1}{T} \int_0^{T/2} V_{os} I_{os} dt + \frac{1}{T} \int_{T/2}^T V_{os} I_{os} dt =$$

perchi nmos off



il circuito che sto analizzando è



$$V_{os} = V_{out}$$

$$I_{os} = -I_c$$

$$\tilde{P}_{Nmos} = - \frac{1}{T} \int_0^{T/2} V_{out} I_c dt = - \frac{1}{T} \int_0^{T/2} V_{out} \cdot C \cdot \frac{dV_{out}}{dt} dt =$$

$$= - \frac{C}{T} \left[\frac{V_{out}^2}{2} \right]_{V_{DD}}^0 = \frac{C}{T} \frac{V_{DD}^2}{2} = \frac{1}{2} C f V_{DD}^2$$

NON dipende dalle dimensioni del transistor

frequenza = $\frac{1}{T}$
del segnale d'ingresso

$$I_{os} = \frac{\beta_n}{2} (V_{in} - V_{th})^2$$

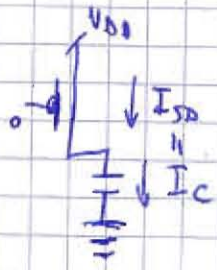
finchi $V_{out} > V_{DD} - V_r$

PMOS SAT

$$V_{DD} - V_{out} > V_{DD} - V_{in} - |V_{thp}|$$

$$V_{out} < |V_{thp}|$$

$$\tilde{P}_{PMOS} = \frac{1}{T} \int_{T/2}^T V_{SD} \cdot I_{SD} dt = \frac{1}{T} \int_{T/2}^T (V_{DD} - V_{out}) C \frac{dV_{out}}{dt} dt =$$



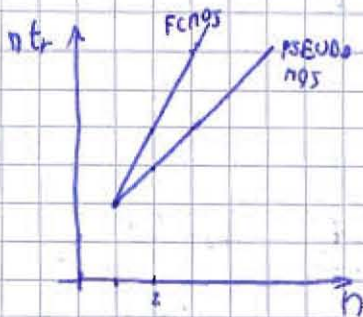
$$= \frac{C}{T} \int_0^{V_{DD}} (V_{DD} - V_{out}) dV_{out} = \frac{C}{T} \left[V_{DD} V_{out} - \frac{V_{out}^2}{2} \right]_0^{V_{DD}} = \frac{C}{2T} \cdot V_{DD}^2 = \frac{C}{2} \cdot f \cdot V_{DD}^2$$

$$\tilde{P}_{AC} = \tilde{P}_{PMOS} + \tilde{P}_{NMOS} = C \cdot \frac{1}{T} \cdot V_{DD}^2 = C \cdot f \cdot V_{DD}^2$$

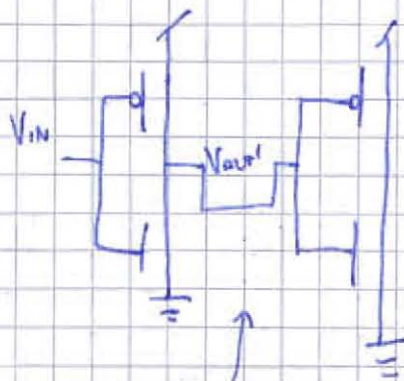
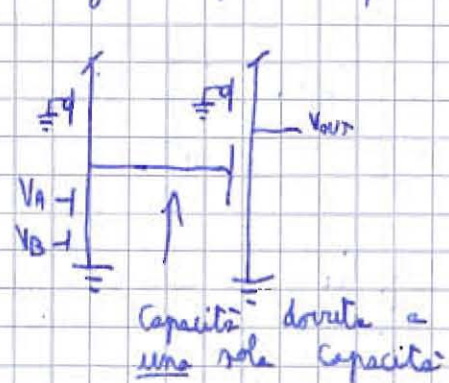
Non dipende dalle dimensioni del dispositivo.umentando la velocità (f) aumenta la potenza dissipata. il variare di f, \tilde{P}_{AC} rimane quasi costante perché variando T varia anche t_r , quindi $\frac{t_r}{T} \approx \text{cost.}$

Del punto di vista statico, lo pseudo NMOS consuma sempre potenza perché PMOS sempre ON, mentre il CMOS non consuma nulla.

Realizzando logiche complesse (NAND...), con il CMOS ho bisogno di 2n transistori, mentre con lo pseudo MOS solo n+1, con n = n° ingressi.

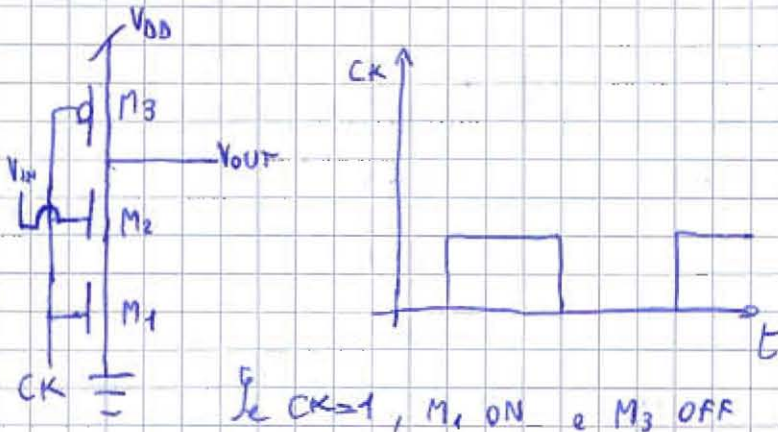


Collegando più dispositivi in serie



Capacità elevata che dipende da due capacità.

Devo passare a logiche dinamiche, che usano un segnale di clock.
LOGICA P/E (Precharge/Evaluation)



Se $CK=0$, M_1 OFF e M_3 ON
 PullDown OFF e PullUp ON

\Downarrow
 $V_{OUT} = V_{DD}$

Se $CK=1$, M_1 ON e M_3 OFF ; PD ? e PU OFF

\uparrow
 dipende da M_2

$\left\{ \begin{array}{l} V_{IN}=0 \Rightarrow M_2 \text{ OFF, PD OFF} \Rightarrow V_{OUT} = V_{DD} \\ \uparrow \\ \text{costante} \\ \text{ALTA IMPED} \end{array} \right.$

$V_{OUT} = 0 \leftarrow \text{PD ON} \leftarrow M_2 \text{ ON} \leftarrow V_{IN} = 1$

Ricapitolando

$CK=0$

M_1 OFF	PD OFF	} $V_{OUT} = V_{DD}$	P Precharge
M_3 ON	PU ON		

$CK=1$

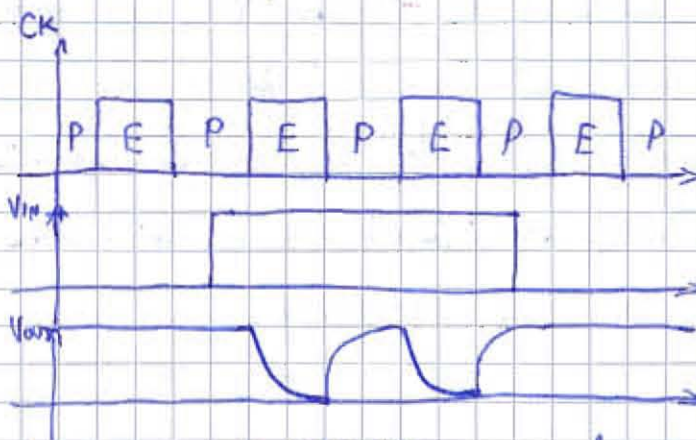
M_3 OFF	PU OFF	E Evaluation
M_1 ON	PD ?	

se PD ON $\Rightarrow M_2$ ON $\Rightarrow V_{IN} = V_{DD}$

$\hookrightarrow V_{OUT} = 0$

se PD OFF $\Rightarrow M_2$ OFF $\Rightarrow V_{IN} = 0$

\hookrightarrow (PU OFF) $\Rightarrow V_{OUT}$ A.I. o H.I. $\Rightarrow V_{OUT} = V_{DD}$

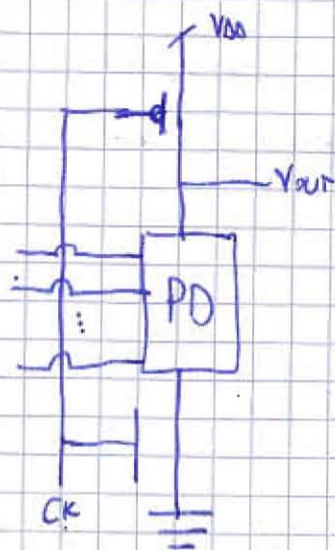


P \rightarrow PreCharge (precarica)
 E \rightarrow Evaluation (valutazione)

commutator anche se l'ingresso
 non varia

ha un consumo di potenza dinamica.

Devo progettare solo la rete di pull-down.



Nella logica

- PSEUDO NMOS

- FCMOS

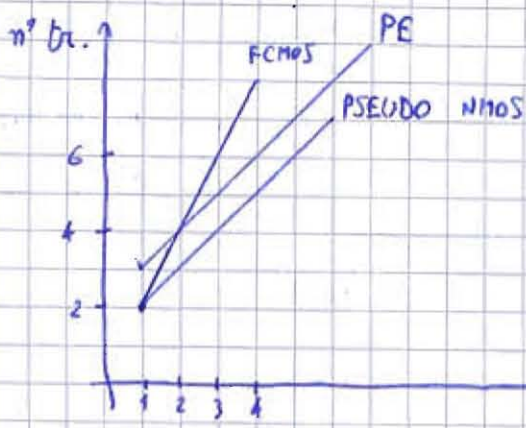
- PE

ho bisogno di transistori

$n+1$

$2n$

$n+2$

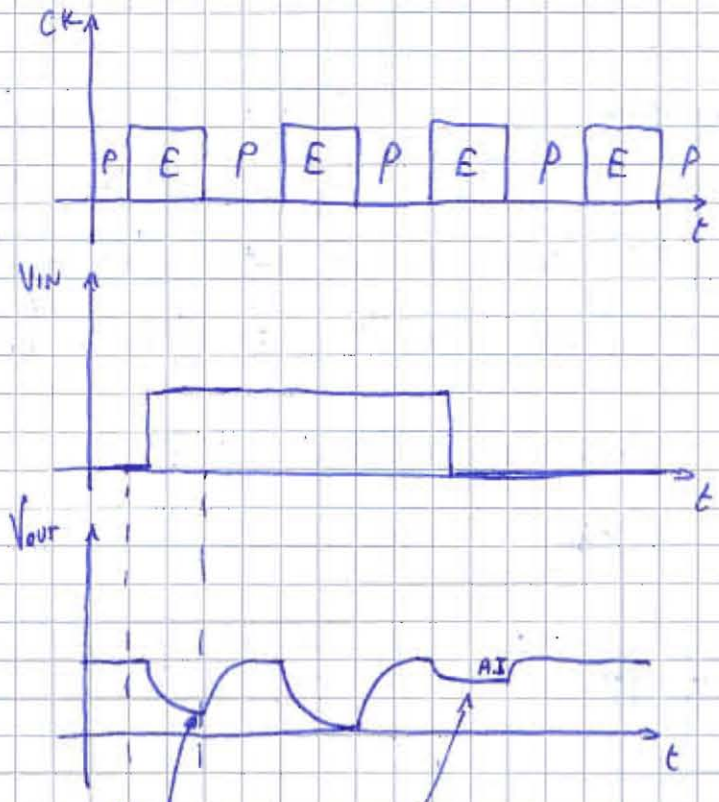
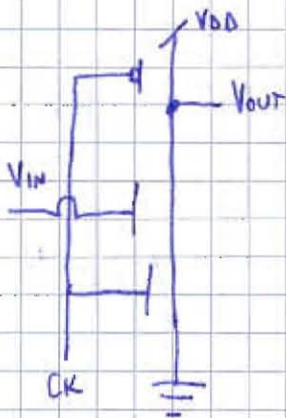


PE è RATIOLESS perché l'uscita non dipende dalle dimensioni.

Il consumo di potenza dinamica è più alto perché prima (FCMOS) dipende dal periodo del segnale d'ingresso, ora dipende dal periodo del segnale di clock (ogni volta che varia l'uscita ho consumi di potenza). Logica PE più facile da realizzare rispetto al FCMOS perché devo progettare solo il Pull Down.

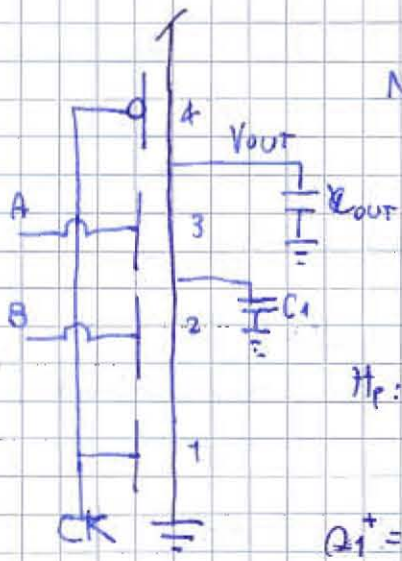
Mentre nelle logiche FCMOS posso avere momenti di potenza nulla in quanto esse c'è nelle transizioni ed è il valore di PU e PD a tenermi alta o bassa l'uscita, nella logica PE non posso fermare il clock, altrimenti la capacità che mi tiene in memoria il valore d'uscita si scarica, dato che solo idealmente questa mantiene il dato. Devo ricaricarla ogni tanto \Rightarrow averla una frequenza di lavoro minima e una massima.

Considera un invertitore PE



l'uscita rimane a un valore che non essere indeterminato (non controllabile)

⇒ IL SEGNALE NON DEVE VARIARE IN FASE DI VALUTAZIONE

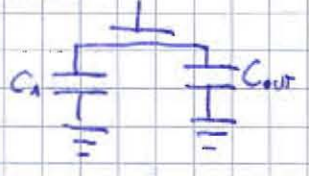


NAND	A	B	Vout
	0	0	1
	0	1	1
	1	0	0
	1	1	0

fase E → PU OFF

$t < 0$ $B=0$ $B=0$
 $t > 0$ $A=0$ $A=1 \Rightarrow M3 ON$

Vout A.I.



H_f : C_1 scarica $V_{C1} = 0$ $Q_1^- = V_1 C_1 = 0$

C_{out} $V_{out} = V_{DD}$ $Q_{out}^- = C_{out} V_{out} = C_{out} V_{DD}$

$Q_1^+ = C_1 V_x$

$Q_{out}^+ = C_{out} V_x$

$Q_1^- + Q_{out}^- = Q_1^+ + Q_{out}^+$

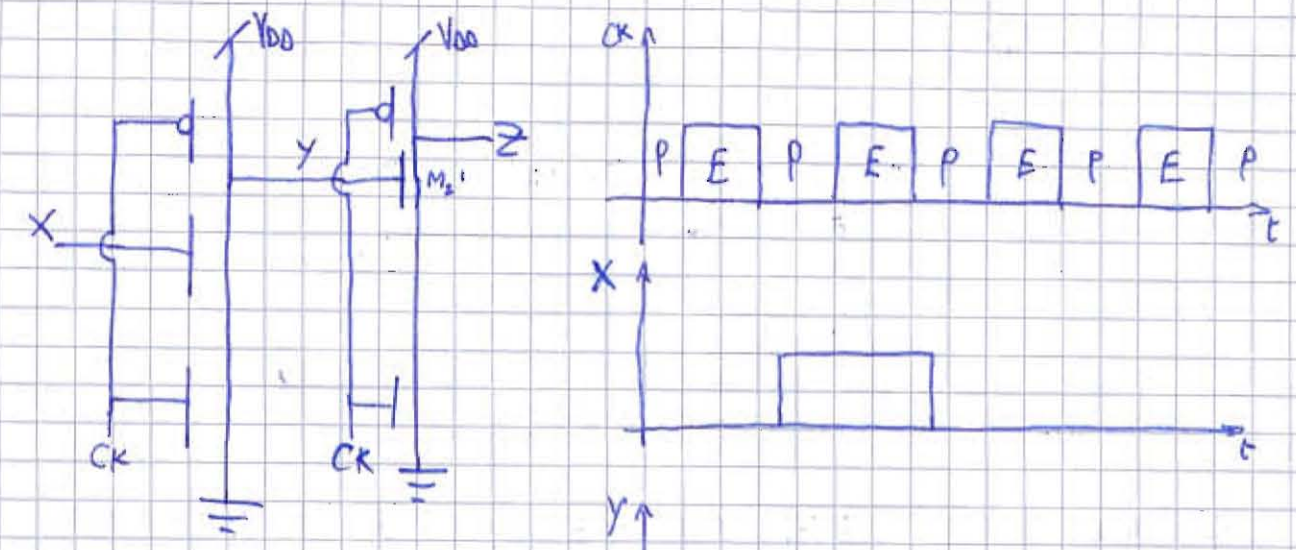
$0 + C_{out} V_{DD} = C_1 V_x + C_{out} V_x$

La logica PE è dinamica perché il dato è memorizzato in una capacità dinamica.

Trovo il massimo valore di disturbo che possiamo avere sugli ingressi avendo lo stesso comportamento (NM).

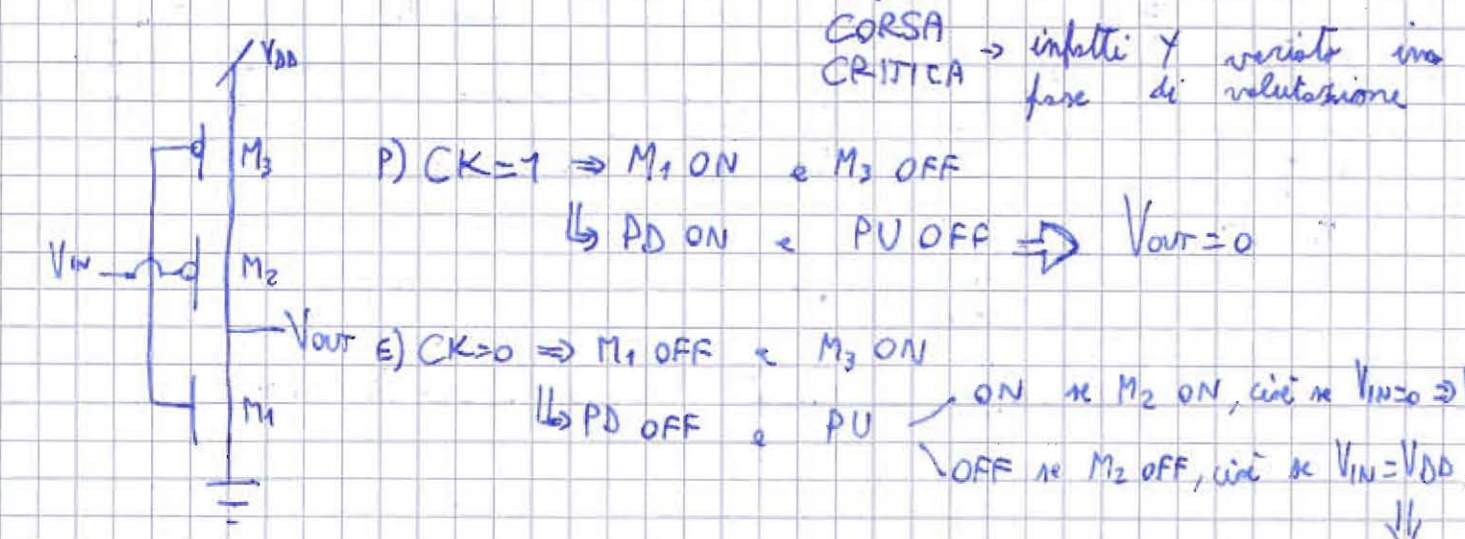
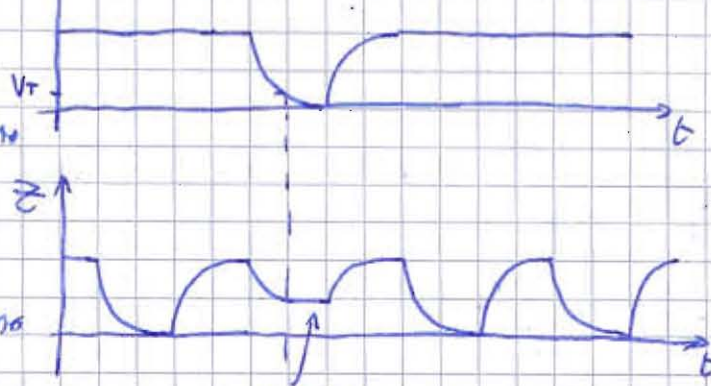
$$\left. \begin{array}{l} V_L = 0 \quad M_2 \text{ OFF finché } V_{IN} < V_T \Rightarrow NM_L = V_T \\ V_H = V_{DD} \quad M_2 \text{ ON finché } V_{IN} > V_T \Rightarrow NM_H = V_{DD} - V_T \end{array} \right\} NM = V_T \text{ piccolo}$$

Provo a mettere due invertitori PE in cascata



Ciò che fa variare l'uscita è il valore alto dell'ingresso

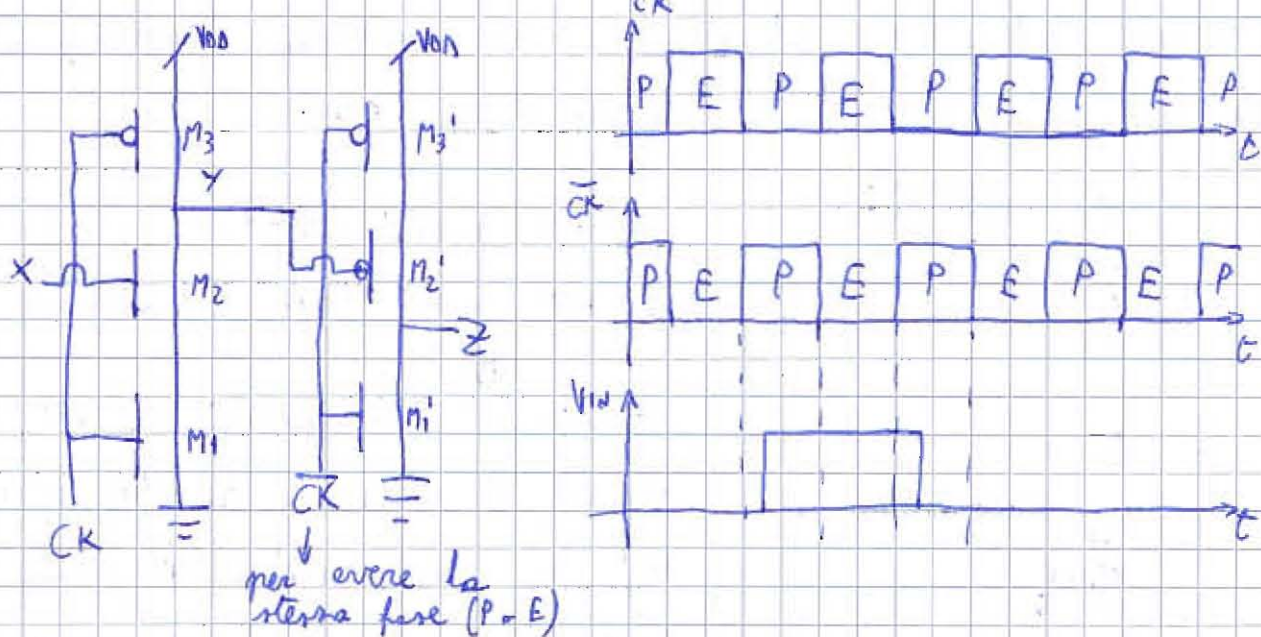
Studio una logica che vari con il valore basso dell'ingresso



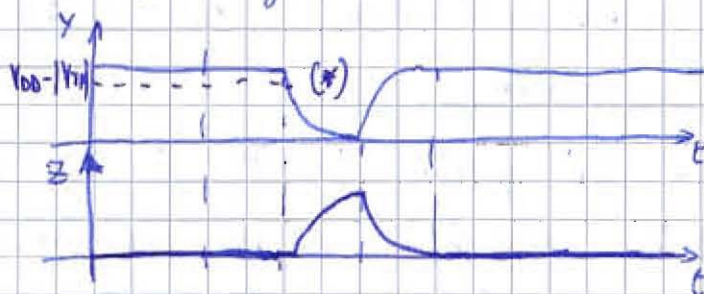
CORSA CRITICA \rightarrow infatti Y variato in fase di valutazione

Comportamento duale

$$\Downarrow \\ V_{OUT} = A.I = c$$



Cascata di logica PE NMOS con logica PE PMOS.

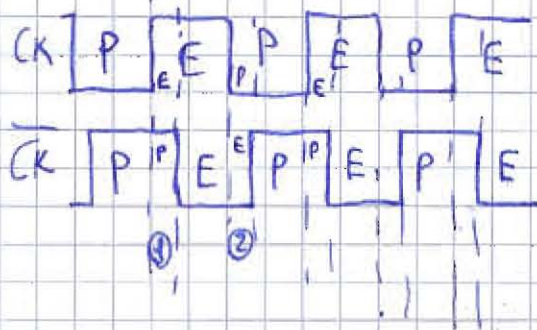


(*) $\bar{CK} = 0$ E_p
 vallet. PMOS
 M_1' OFF \Rightarrow PD' OFF
 M_3' ON
 M_2' OFF finché $V_{DD} > Y > V_{DD} - |V_{TP}|$
 M_2' ON finché $Y < V_{DD} - |V_{TP}| \Rightarrow Z \uparrow$

Logica sensibile al valore basso. Il malfunzionamento l'ho convertito in un ritardo!

12/05/09

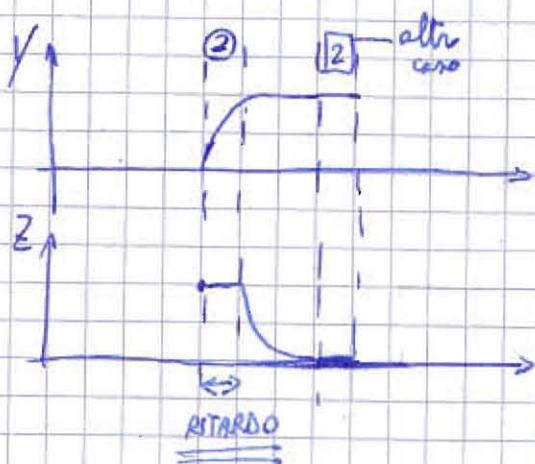
\bar{CK} posso realizzarlo o con un altro oscillatore o con un invertitore (ritardo!!). \bar{CK} verrà sfasato rispetto al clock



esistono degli intervalli di tempo in cui entrambi i clock sono a 1 o a 0 (CLOCK SKEW). Crea un problema quando l'uscita può essere modificata.

Nel circuito sopra non crea problemi. ① perché lo stadio a valle è in presenza e rimane con PD=1, prendendosi delle Y.

In ②, Y va a 1, il PU si spegne e non influenza l'uscita, perché il circuito a valle evolve con ingresso basso (PMOS)

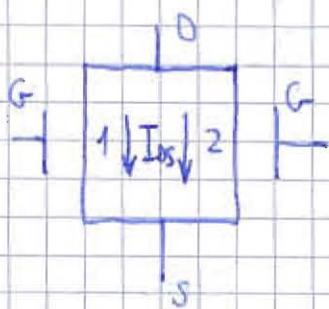


M_3' ON perché $\overline{CK} = 1$
 M_2' ON perché $Y = 0$ inizialmente
 \Downarrow
 Z rimane alto finché M_2' ON
 Quando Y arriva a $100 - |V_{TP}|$ si spegne M_2' , m_2 anche M_1 è OFF perché $\overline{CK} = 0$
 $\Rightarrow Z$ A.I. rimane al suo valore alto

La presenza del clock stesso non ha creato problemi, anche se ha introdotto un ritardo.

Il problema di questo circuito è che, dato che si alternano logiche PE con rete combinatoria sul PD con logiche PE con rete combinatoria sul PU, la dimensione aumenta e la velocità diminuisce.

CONNESSIONE MOS PARALLELO



$$V_{DS1} = V_{DS2}$$

$$V_{GS1} = V_{GS2}$$

$$V_{TP1} = V_{TP2} \quad V_{TP1} = V_{TP2}$$

β_1 può essere diverso da β_2

due MOS lavorano nella stessa regione

$$I_{DS} = I_{DS1} + I_{DS2}$$

Hp: MOS LIN

$$I_{DS1} = \beta_1 \left[(V_{GS1} - V_T) V_{DS1} - \frac{V_{DS1}^2}{2} \right]$$

$$I_{DS2} = \beta_2 \left[(V_{GS2} - V_T) V_{DS2} - \frac{V_{DS2}^2}{2} \right]$$

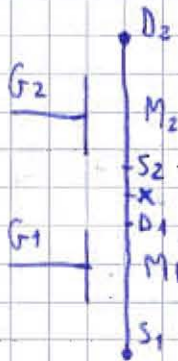
$$I_{DS} = (\beta_1 + \beta_2) \left[(V_{GS} - V_T) V_{DS} - \frac{V_{DS}^2}{2} \right] \Rightarrow \beta = \beta_1 + \beta_2$$

HP MOS SAT

$$I_{DS1} = \frac{\beta_1}{2} (V_{GS1} - V_T)^2 \quad I_{DS2} = \frac{\beta_2}{2} (V_{GS2} - V_T)^2 \quad I_{DS} = (\beta_1 + \beta_2) \cdot \frac{1}{2} (V_{GS} - V_T)^2$$

MOS IN PARALLELO \Rightarrow $\boxed{\beta = \beta_1 + \beta_2}$

MOS IN SERIE



$$V_{G1} = V_{G2}$$

$$V_{T1} = V_{T2} = V_T$$

$$V_{DS2} = V_{D2} - V_X = V_D - V_X$$

tensione di bulk
↓

$$V_{GS1} = V_{G1} - V_{S1} = V_{GS} = V_G - V_S + V_B - V_B = V_{GB} - V_{SB}$$

$$V_{DS} = V_D - V_S + V_B - V_B = V_{DB} - V_{SB}$$



$$V_G = V_{G1} = V_{G2}$$

$$V_D = V_{D2}$$

$$V_S = V_{S1}$$

$$I_D = \beta \left[(V_{GS} - V_T) V_{DS} - \frac{V_{DS}^2}{2} \right] =$$

$$= \beta \left[(V_{GB} - V_T) (V_{DB} - V_{SB}) - \frac{(V_{DB} - V_{SB})^2}{2} \right] =$$

$$= \beta \left[(V_{GB} - V_T) V_{DB} - (V_{GB} - V_T) V_{SB} - \cancel{V_{SB} V_{DB}} + V_{SB}^2 - \frac{V_{DB}^2}{2} - \frac{V_{SB}^2}{2} + \cancel{V_{DB} V_{SB}} \right] =$$

$$= \beta \left\{ \left[(V_{GB} - V_T) V_{DB} - \frac{V_{DB}^2}{2} \right] - \left[(V_{GB} - V_T) V_{SB} - \frac{V_{SB}^2}{2} \right] \right\} = \beta \left[f(V_{GB}, V_{DB}) - f(V_{GB}, V_{SB}) \right]$$

⊗

$$\Rightarrow I_{D1} = \beta_1 \left[f(V_{GB1}, V_{DB1}) - f(V_{GB1}, V_{SB1}) \right]$$

$$\text{ma } V_{GB1} = V_{GB} = V_{GB2}$$

$$V_{DB2} = V_{DB}$$

$$V_{SB1} = V_{SB}$$

$$I_{D2} = \beta_2 \left[f(V_{GB2}, V_{DB2}) - f(V_{GB2}, V_{SB2}) \right]$$

$$I_{D1} = \beta_1 \left[\underbrace{f(V_{GS}, V_{DS})}_X - f(V_{GS}, V_{DS}) \right] = \beta_1 (A - X)$$

$$I_{D2} = \beta_2 \left[\underbrace{f(V_{GS}, V_{DS})}_Y - \underbrace{f(V_{GS}, V_{DS})}_A \right] = \beta_2 (Y - A)$$

↑
riferita al
MOS equivalente

$$I_{D1} = I_{D2} = I_D \quad \beta_1(A - X) = \beta_2(Y - A) \quad \beta_1 A - \beta_1 X = \beta_2 Y - \beta_2 A$$

$$A = \frac{\beta_1 X + \beta_2 Y}{\beta_1 + \beta_2}$$

$$I_{D1} = \beta_1(A - X) = \beta_1 \cdot \left(\frac{\beta_1 X + \beta_2 Y}{\beta_1 + \beta_2} - X \right) =$$

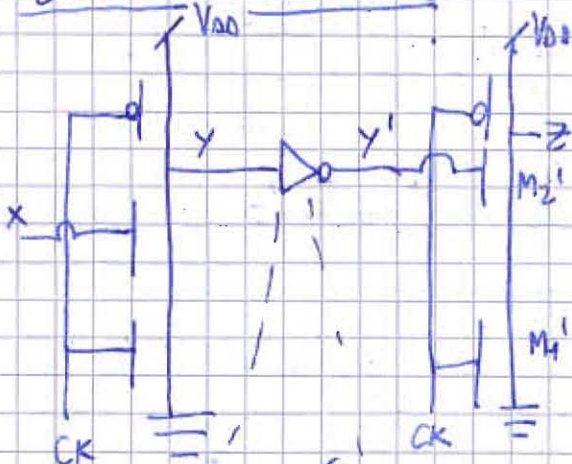
$$= \beta_1 \left(\frac{\beta_1 X + \beta_2 Y - \beta_1 X - \beta_2 X}{\beta_1 + \beta_2} \right) = \frac{\beta_1 \cdot \beta_2}{\beta_1 + \beta_2} (Y - X) = \frac{\beta_1 \beta_2}{\beta_1 + \beta_2} \left[\underbrace{f(V_{GS}, V_{DS}) - f(V_{GS}, V_{DS})}_{(*)} \right]$$

$$\beta = \frac{\beta_1 \cdot \beta_2}{\beta_1 + \beta_2} = \frac{1}{\frac{1}{\beta_1} + \frac{1}{\beta_2}} \Rightarrow \frac{1}{\beta} = \frac{1}{\beta_1} + \frac{1}{\beta_2}$$

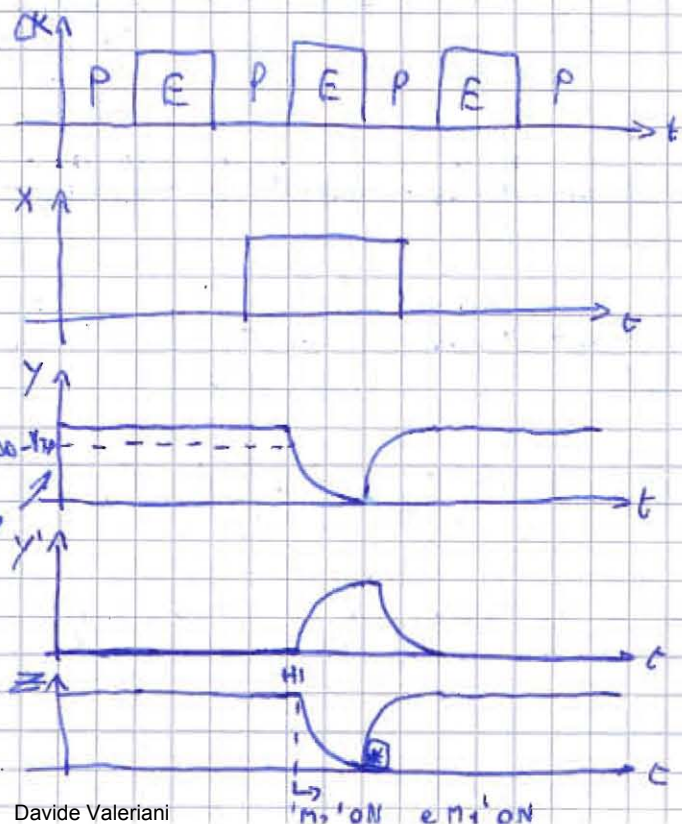
MOS IN SERIE

$$\Rightarrow \frac{1}{\beta} = \frac{1}{\beta_1} + \frac{1}{\beta_2}$$

LOGICA DOMINO



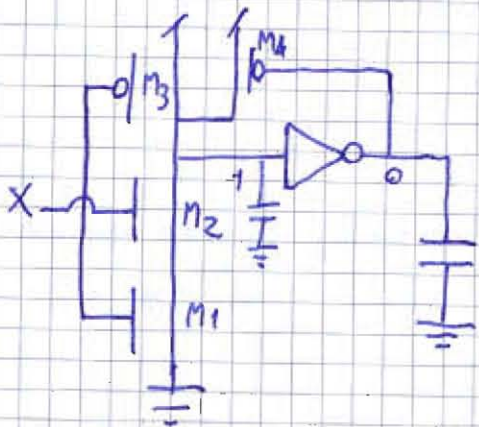
PMOS accende
per $Y > V_{DD} - V_{TP}$



nessun ritardo perché in fase di presenza

$$n^{\circ} \text{tr} = n + 4$$

Non è invertente \Rightarrow ho bisogno di un'altro invertitore per realizzare una logica completa.



CK=1 Evaluation

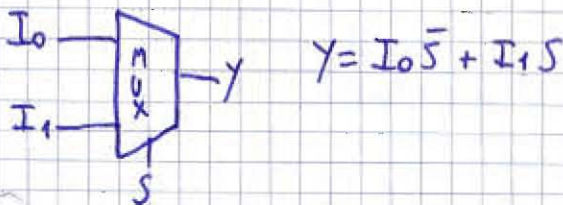
X=0 $\left. \begin{array}{l} M_1 \text{ ON} \\ M_2 \text{ OFF} \\ M_3 \text{ OFF} \end{array} \right\} \text{PD OFF}$

M_4 funziona da oggetto che riesce a mantenere al livello alto (LEVEL KEEPER). Mette in stand-by la logica senza consumare potenza!!

M_4 si spegne quando l'uscita dell'invertitore sarà arrivata a $V_{DD} - V_t$, cioè quando la corrente che carica il condensatore è più grande dell'altra.

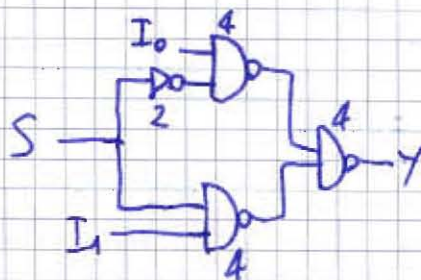
Il PU vince sul PD.

13/05/09



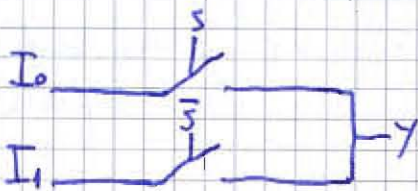
$$Y = I_0 \bar{S} + I_1 S$$

Può essere fatto anche con due porte NAND.



richiede 14 MOS!

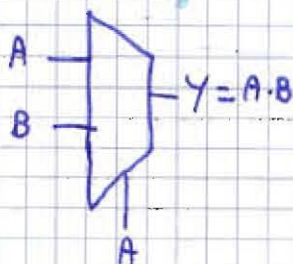
C'è una realizzazione migliore?



tramite interruttori.
 \downarrow
ingombrante

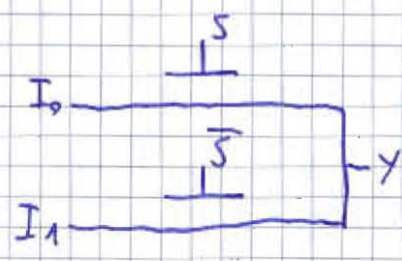
L'interruttore può essere realizzato con relè
 \downarrow

AND con MUX

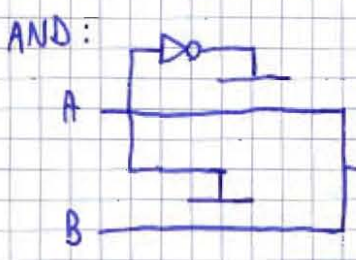


interruttore comandato da un segnale elettrico (corrente) fatto girare su una bobina per chiudere l'interruttore

Realizzazione del MUX utilizzando MOS



4 MOS → due per negare S e due per il circuito!

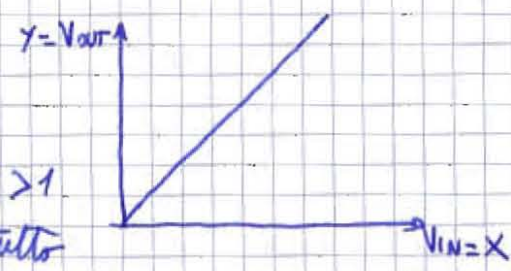


AND: $y = A \cdot B$ 4 MOS! oppure 6 CMOS (2 per invertire il segnale)

Ma utilizzando il MOS come interruttore.

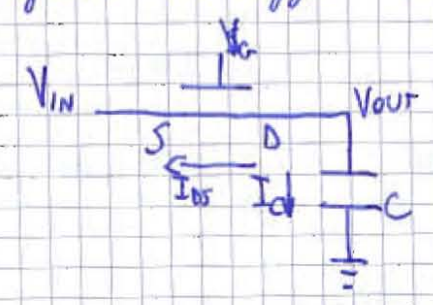


$y = X \cdot S$



Non ho tratti a guadagno > 1

⇒ passo in uscita anche tutto il rumore in ingresso, non ho margine d'immunità ai disturbi. Grande svantaggio!!



se $V_g = 0, V_{IN} = 0, V_{OUT} = V_{DD}$ per $t < 0$
 $t = 0: V_g = V_{DD}, V_{IN} = 0$
 $t > 0 V_{OUT} = V_{DD} \rightarrow 0$ ci aspettiamo...

$I_c = C \frac{dV_{out}}{dt}$ $I_{os} = -I_c$

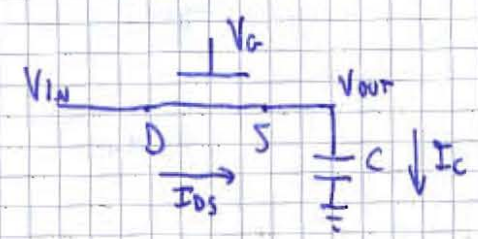
MOS SAT se $V_{os} > V_{GS} - V_T \rightarrow V_{OUT} - V_{IN} > V_G - V_{IN} - V_T \rightarrow V_{OUT} > V_{DD} - V_T$

per $t \rightarrow +\infty$ MOS LIN $\rightarrow I_{os} = 0 \rightarrow V_{os} = 0 \rightarrow V_{OUT} = V_{IN} = 0$ L'NMOS trasferisce uno 0 forte
 il transistoro esaurito $I_c = 0 \rightarrow \beta \left[(V_{os} - V_T) V_{os} - \frac{V_{os}^2}{2} \right]$

Supponiamo ora che

$t < 0 \quad V_g = 0, V_{OUT} = 0, V_{IN} = V_{DD}$

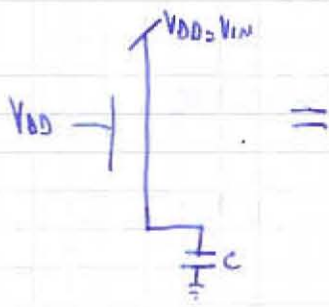
$t > 0 \quad V_g = V_{DD}, V_{IN} = V_{DD}, V_{OUT} = ?$



MOS SAT

$V_{DS} > V_{GS} - V_T$ cioè se $V_{IN} - V_{OUT} > V_G - V_{OUT} - V_T$ $V_G = V_{DD}$ per $t > 0$

$V_{IN} > V_{DD} - V_T$ SEMPRE VERO ($V_{IN} = V_{DD}$) → MOS sempre SAT



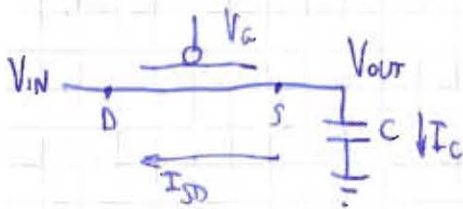
$I_C = 0 = I_{DS_{SAT}}$

$\frac{\beta}{2} (V_{GS} - V_T)^2 = 0 \quad V_{GS} - V_T = 0$

$V_{DD} - V_{OUT} - V_T = 0 \quad V_{OUT} = V_{DD} - V_T$

Quando voglio trasferire un valore alto in uscita, perdo la soglia
L'N-MOS trasferisce un 1 debole.

P MOS



$t < 0$

$V_G = V_{DD}$

$V_{IN} = 0$

$V_{OUT} = V_{DD}$

$t > 0$

$V_G = 0$

$V_{IN} = 0$

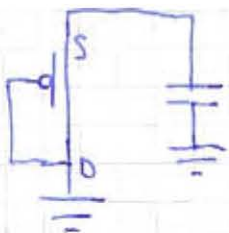
$V_{OUT} ?$

MOS SAT

$V_{SD} > V_{SG} - |V_{TP}|$

$V_{OUT} - V_{IN} > V_{OUT} - V_G - |V_{TP}|$

$V_{IN} < |V_{TP}|$ verificata sempre ($V_{IN} = 0$)



Pessimo dispositivo di PULL DOWN

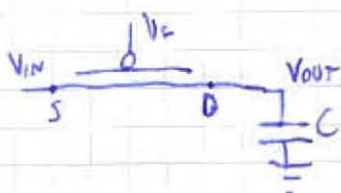
$I_C = 0$ finito il transistoro

$I_C = -I_{SD} \quad \frac{\beta}{2} (V_{SG} - |V_{TP}|)^2 = 0 \quad V_{SG} = |V_{TP}|$

$V_{OUT} - V_G = |V_{TP}| \quad V_{OUT} = |V_{TP}|$

Il P-MOS trasferisce una 0 debole

altro caso:



$t < 0$

$V_G = V_{DD}$

$V_{OUT} = 0$

$V_{IN} = V_{DD}$

$t > 0$

$V_G = 0$

$V_{OUT} ?$

$V_{IN} = V_{DD}$

MOS SAT

$V_{SD} > V_{SG} - |V_{TP}|$

$t > 0 \quad V_G = 0$

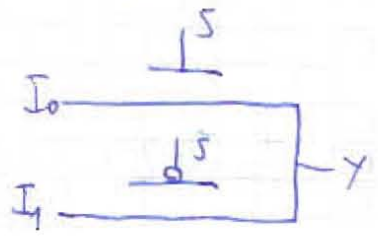
$V_{IN} - V_{OUT} > V_{IN} - V_G - |V_{TP}|$

$V_{OUT} < |V_{TP}|$

Per $0 < V_{OUT} < |V_{TP}|$ MOS SAT, dopodiché MOS LIN

alle fine del transitorio $I_C = I_S = 0 \rightarrow V_{SD} = 0 \rightarrow V_{IN} = V_{OUT} = 0 \quad V_{IN} = V_{OUT} = V_{DD}$
 Il PMOS trasferisce un 1 forte.

MUX con PMOS



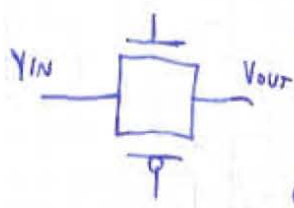
MOS usati come PASS-TRANSISTORS

↓
 LOGICA A PASS-TRANSISTORS (2 MOS)

difetto:

- gli NMOS fanno passare 1 debole
- i PMOS fanno passare 0 debole

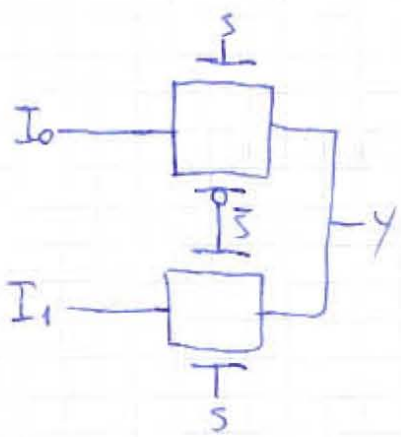
Risolvere il problema usando TRANSMISSION GATES:



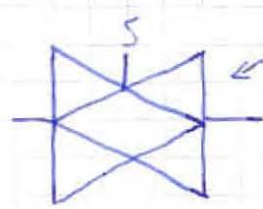
Quando $V_{IN} = 0$, il PMOS si spegne a $|V_{TP}|$, ma il NMOS rimane acceso e completa l'escursione a 0.

Quando $V_{IN} = V_{DD}$, il NMOS si spegne a $V_{DD} - V_T$ ma il PMOS rimane acceso e completa l'escursione a 1.

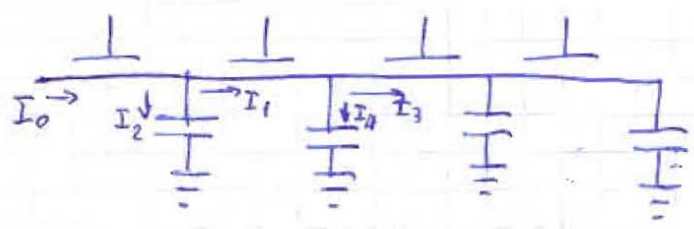
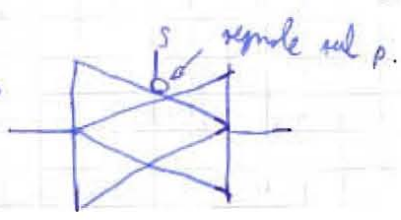
MUX con TRANSMISSION GATES



Uso però 4 MOS invece dei 2 di prima.



← SIMBOLO T.G. →



La corrente viene dall'ingresso e dovrà caricare tutte le capacità.

$$I_0 = I_1 + I_2 \quad I_1 = I_3 + I_4 \dots$$

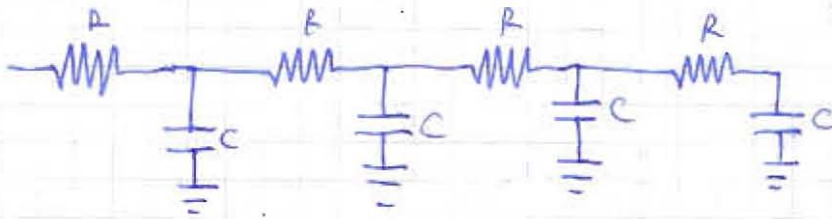
$$I = f(V_{DS}) = K \cdot V_{DS} \quad \text{approssimazione del 1° ordine}$$

$$V_{DS} = I \cdot R$$

approssimo il MOS acceso con una resistenza R .



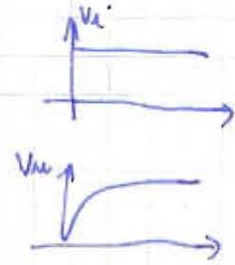
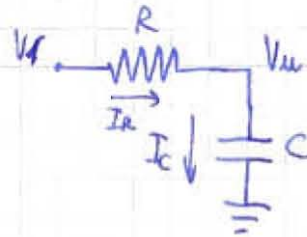
Il circuito diventa:



CIRCUITO LINEARIZZATO



Considero un solo stadio:



$$I_R = I_C \quad \text{ma} \quad I_C = C \frac{dV_u}{dt}$$

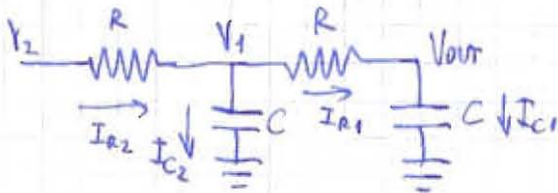
$$I_R = \frac{V_1 - V_u}{R} \quad C \frac{dV_u}{dt} = \frac{V_1 - V_u}{R}$$

$$V_1 = V_u + RC \frac{dV_u}{dt}$$

$$V_u = A e^{-\frac{t}{RC}} + B$$

$$\tau = RC$$

Considero un secondo stadio



$$I_{R2} = I_{R1} + I_{C2}$$

$$I_{R2} = \frac{V_2 - V_1}{R}$$

$$I_{C2} = C \frac{dV_1}{dt}$$

$$V_1 = V_{out} + RC \frac{dV_{out}}{dt}$$

$$I_{R1} = \frac{V_1 - V_{out}}{R}$$

$$\frac{V_2 - V_1}{R} = \frac{V_1 - V_{out}}{R} + C \frac{dV_1}{dt}$$

$$\frac{V_2}{R} = \frac{2V_1 - V_{out}}{R} + C \frac{d}{dt} \left[V_{out} + RC \frac{dV_{out}}{dt} \right]$$

$$V_2 = 2V_1 - V_{out} + RC \frac{dV_{out}}{dt} + R^2 C^2 \frac{d^2 V_{out}}{dt^2}$$

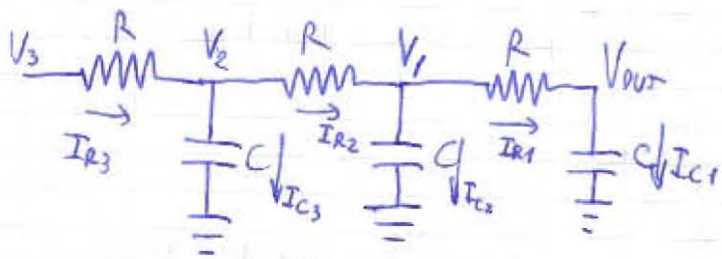
$$V_1 = V_{out} + RC \frac{dV_{out}}{dt}$$

$$V_2 = 2V_{out} + 2RC \frac{dV_{out}}{dt} - V_{out} + RC \frac{dV_{out}}{dt} + \overbrace{R^2 C^2 \frac{d^2 V_{out}}{dt^2}}^{\text{trascuro}}$$

$$V_2 = V_{out} + 3RC \frac{dV_{out}}{dt}$$

$$\tau = 3RC \quad V_u = A e^{-\frac{t}{\tau}} + B$$

Considero tre stadi:



$$I_{R1} = \frac{V_1 - V_{out}}{R}$$

$$I_{R1} = C \frac{dV_{out}}{dt}$$

$$I_{R2} = I_{R1} + I_{C2}$$

$$I_{C2} = C \frac{dV_1}{dt}$$

$$I_{R3} = I_{R2} + I_{C3}$$

$$I_{C3} = C \frac{dV_2}{dt}$$

$$I_{R3} = \frac{V_3 - V_2}{R}$$

$$I_{R2} = \frac{V_2 - V_1}{R}$$

$$V_1 = V_{out} + RC \frac{dV_{out}}{dt}$$

$$V_2 = V_{out} + 3RC \frac{dV_{out}}{dt}$$

$$\dots V_3 = V_{out} + 6RC \frac{dV_{out}}{dt}$$

(sempre trascurando le derivate di ordine superiore al primo) $\tau = 6RC$

$n = n^{\circ}$ stadi:

$n \quad \tau$

1 RC

2 $3RC$

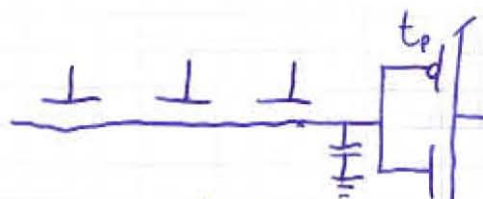
3 $6RC$

$$\Rightarrow \tau = \frac{n(n+1)}{2} RC$$

All'aumentare del numero di stadi, il circuito diventa più lento
 \Rightarrow Non posso fare catene lunghe con pass transistors o transmission gates.

18/05/2009

Un'alternativa è inserire una rete combinatoria a CMOS:



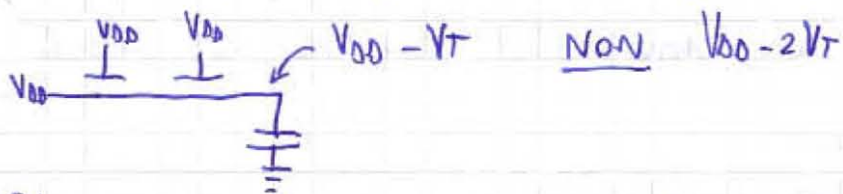
La corrente che carica il condensatore è la tensione di alimentazione

$$\tau = \frac{3(3+1)}{2} RC = 6RC$$

$$\tau = \frac{3(3+1)}{2} RC = 6RC$$

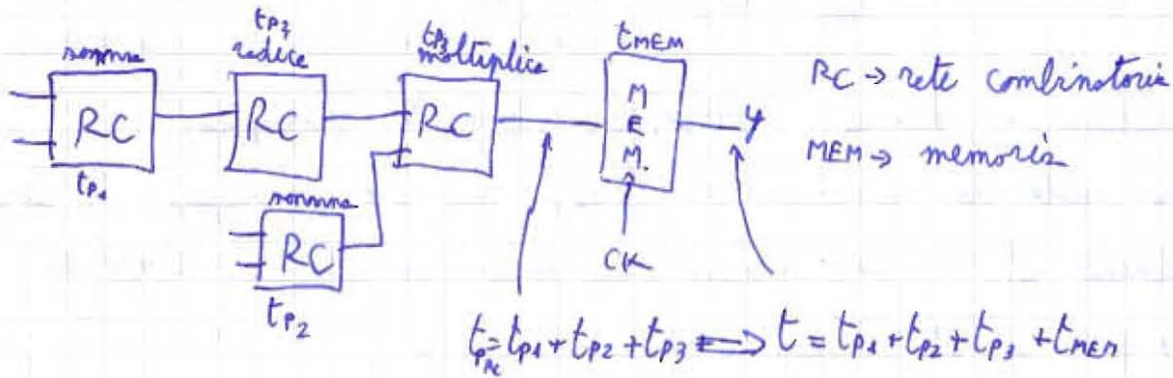
$$t_{pr} = 6RC + t_p + 6RC = 12RC + t_p \ll 21RC \text{ (caso 6 mos serie)}$$

Inoltre, si risolve il problema di non presenza di margine d'immunità ai disturbi; il segnale viene rigenerato da V_{DD} .

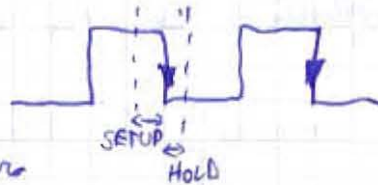


L'invertitore ha un margine d'immunità ai disturbi.

Per non invertire il segnale, basterà mettere un ulteriore invertitore



Devo forzare il segnale di clock.

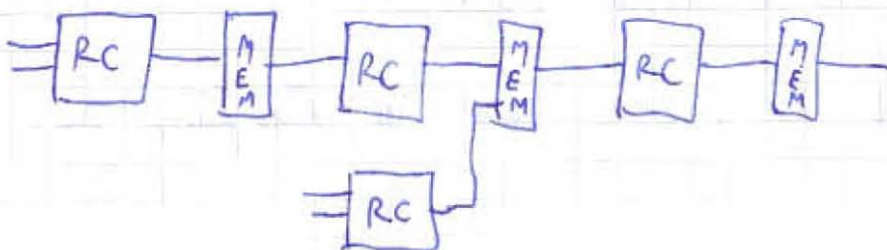


$$T_{CK} \gg t_{PRC} + t_{MEM} \quad \text{ma } t_{MEM} \ll t_{PRC} \text{ e } t_{setup}$$

$$T_{CK} \gg t_{PRC} \quad f_{CK} < \frac{1}{t_{PRC}} \quad \text{Come minimizzare } t_{PRC}?$$

- agire sulla tecnologia dei blocchi
- agire sul circuito dei blocchi
- cambiare l'architettura delle reti combinatorie (modo in cui connetti tra loro i blocchi)

↳ Esempio: inserisco degli elementi di memoria tra i blocchi:



$t = t_{p1} + t_{MEM} + t_{p2} + t_{MEM} + t_{p3} + t_{MEM} = 3t_p + 3t_{MEM}$ considerando $t_p = t_{p1} + t_{p2} + t_{p3}$
 tuttavia, prima non potero cambiare i segnali d'ingresso finché i vecchi segnali d'ingresso non sono stati elaborati e salvati in memoria.

$$T_{CK} \gg t_p + t_{MEM}^{\text{breve}} \quad (\text{non di } 3t_p + 3t_{MEM})$$

$f_{CK} < \frac{1}{t_p}$ (prima $f_{CK} < \frac{1}{t_{pRC}} = \frac{1}{3t_p}$) \Rightarrow in questo caso la frequenza di clock può essere maggiore.

Questa architettura si chiama PIPELINE (catena di montaggio).

Finché il primo dato non arriva in fondo, non c'è vantaggio. Il tempo necessario affinché il 1° dato arrivi in fondo si chiama TEMPO DI LATENZA ed è pari a $3t_p + 3t_{MEM}$.

Il collo di bottiglia è la RC più lenta in caso di $t_{p1} \neq t_{p2} \neq t_{p3} \dots$

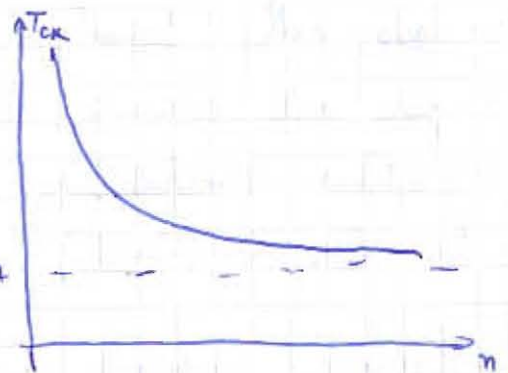
Se n è il numero di blocchi combinatori che costituiscono la pipeline, avrò $t_p = \frac{t_{pRC}}{n}$; considerando $t_{MEM} \ll t_p \Rightarrow T_{CK} \gg \frac{t_{pRC}}{n}$

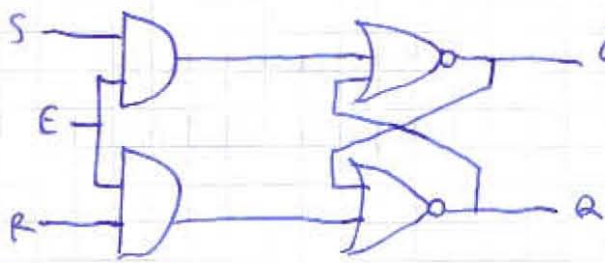
Quindi più spessetto la rete, più il tempo diminuisce. Posso spessettare finché $t_{MEM} \ll t_p$. Altrimenti $T_{CK} \gg \frac{t_{pRC}}{n} + t_{MEM}$

Al un certo punto non ha più interesse a spessettare perché il collo di bottiglia è t_{MEM} .

Il problema torna a livello circuitale. Però realizzare blocchi di memoria molto veloci.

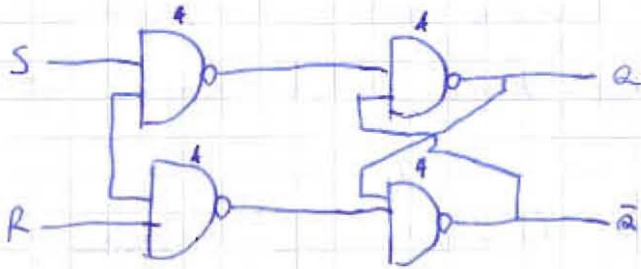
Per realizzare gli elementi di memoria uso dei flip-flop, in particolare dei latch.





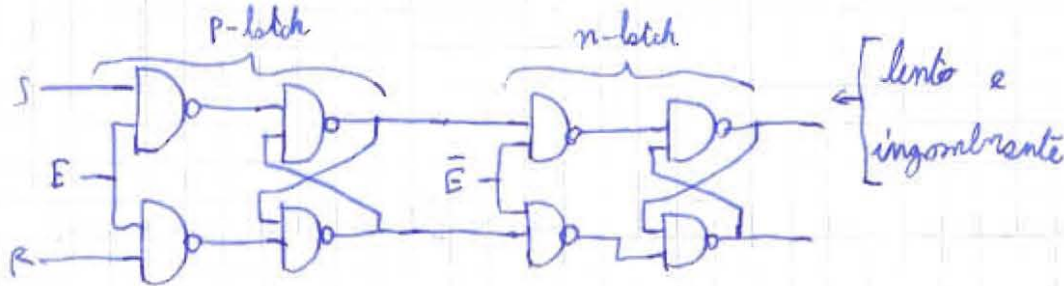
LATCH SR con segnale di ENABLE
 ↓
 p-latch → attivo nel fronte positivo
 del segnale di enable.
 ↓
 positive

Posso realizzarlo con sole porte NAND:



16 MOS per realizzare un p-latch.

Posso anche realizzare un n-latch. Mettendo insieme un n-latch con un p-latch ottengo un flip flop master/slave che diventa sincrono.



Quando l'enable $E=1$, p-latch attivo, mentre n-latch è in fase di hold (opaco). Quando $E=0$, p-latch opaco e n-latch attivo.

Il trasferimento del segnale avviene quando passo da alto a basso.

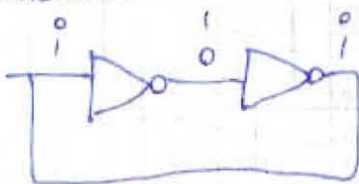
$32 \text{ MOS} + 2 \text{ MOS}$ per invertire $E = 34 \text{ MOS}$!!!

Per realizzare FF-D, basta cortocircuitare S-R

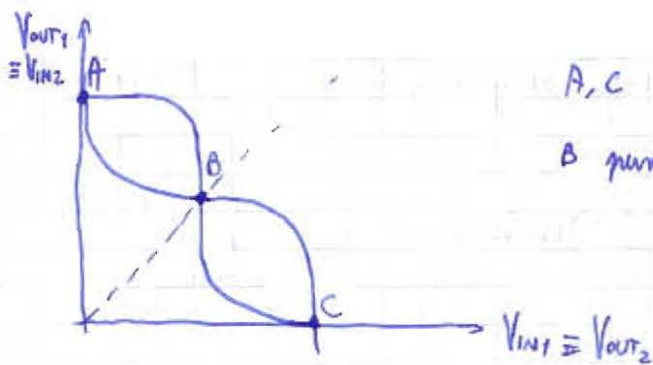
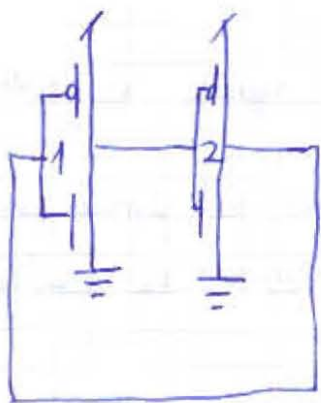


In una fase viene memorizzato il dato; nell'altra fronte di clock lo rende disponibile in uscita.

MEMORIZZAZIONE



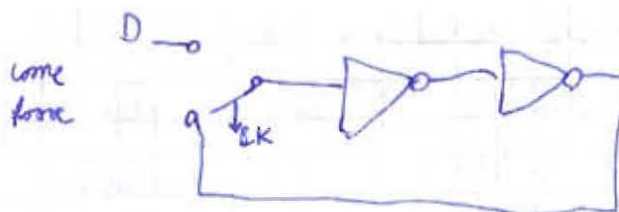
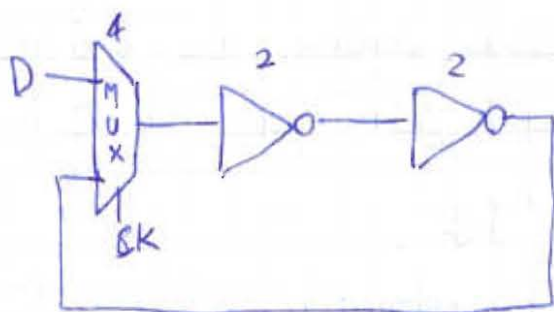
Memorizzazione non dinamica



A, C punti stabili
B punto instabile

Nel punto instabile basta un minimo rumore perché l'ingresso vada alto o basso, mentre un rumore nei punti stabili riporta il segnale allo stesso punto*.

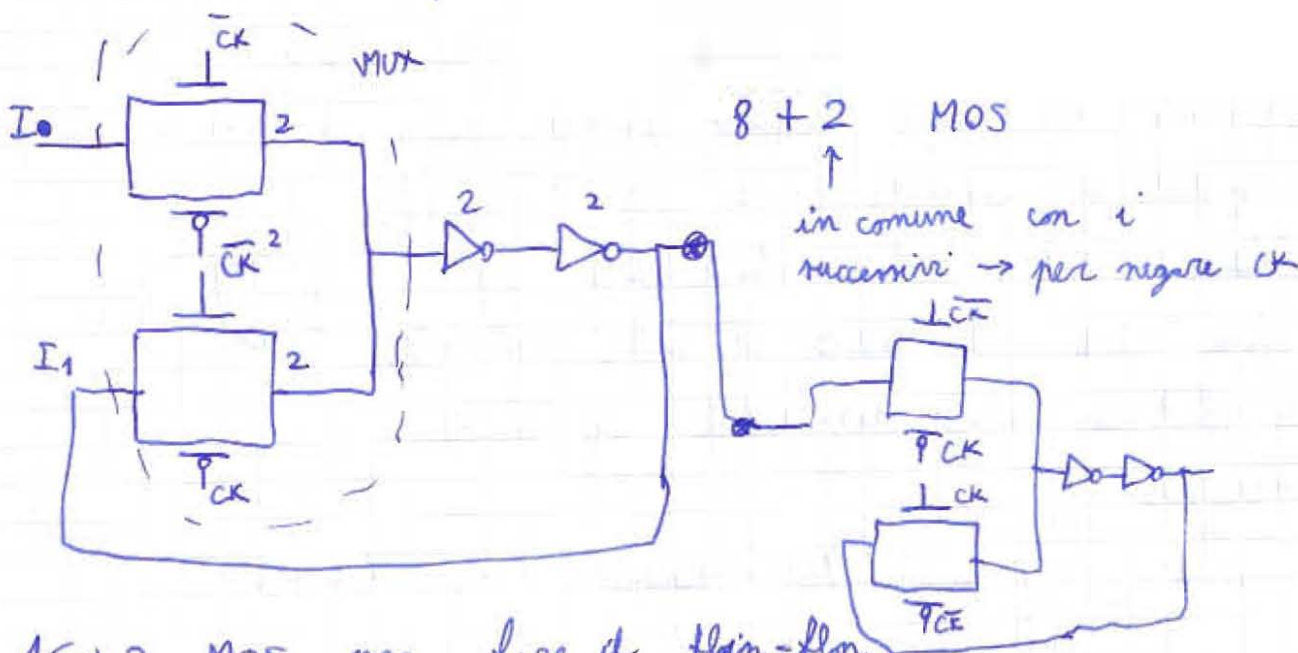
* → non potrei descrivere il comportamento dinamico sulle caratteristiche statiche.



8 MOS per realizzare un p-latch (la metà di quelli di prima).

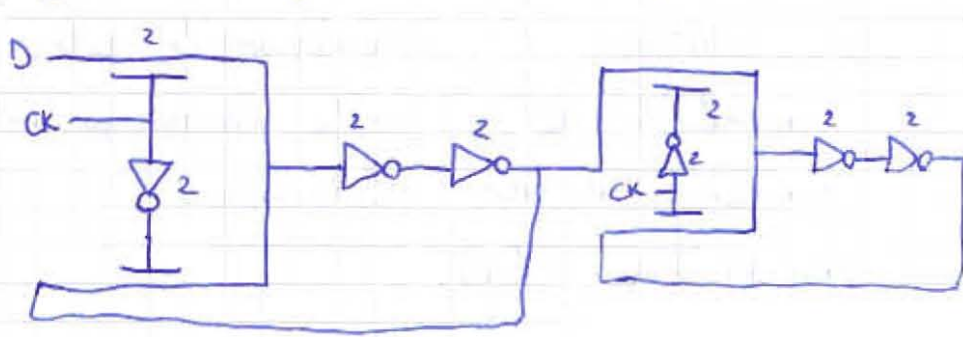
CK=1 valuto D

CK=0 tenuta del segnale



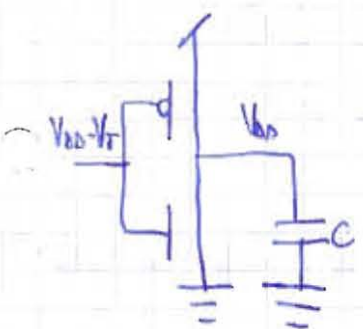
16 + 2 MOS per fare il flip-flop

Transmission gate può eliminarsi perché lento il segnale viene rigenerato dagli invertitori. \square



latch 6 (+2)
FF 12 (+2)

\square non è così indolore:



$$V_{GS} = V_{DD} - V_T$$

$$t < 0 \quad V_{OUT} = V_{DD}$$

$$V_{IN} = V_{DD} - V_T$$

$$t > 0 \quad V_{DD} \rightarrow 0$$

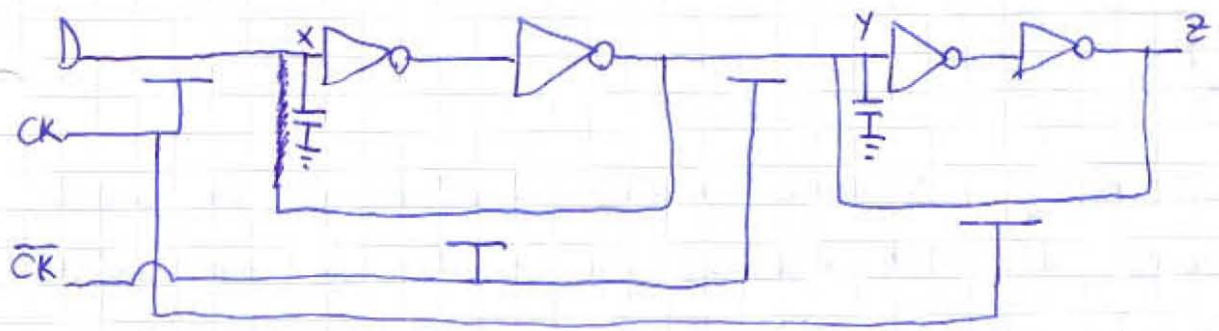
$$\text{MOS SAT} \quad V_{DS} > V_{GS} - V_T$$

$$V_{OUT} > V_{OUT} - 2V_T$$

$$I_{SAT} = \frac{\beta}{2} (V_{GS} - V_T)^2$$

$V_{DD} - V_T < V_{DD}$

Corrente più piccola \rightarrow tempo di scarica del condensatore più lungo
 \hookrightarrow il circuito è un po' più lento.

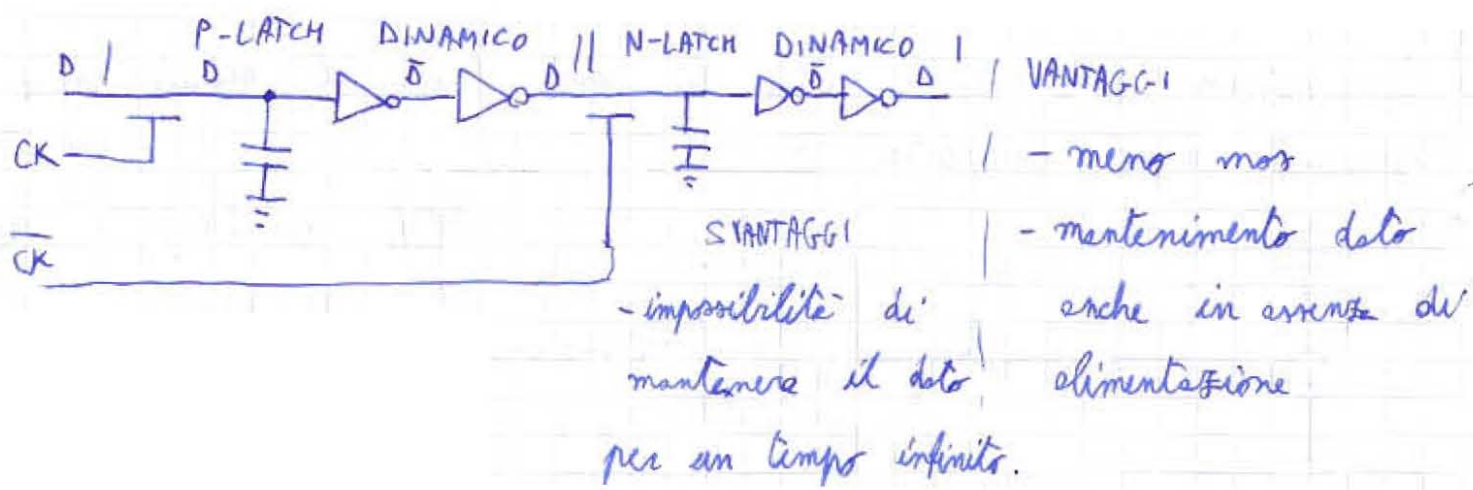


y, x capacità parassita. È ancora necessaria la retroazione?

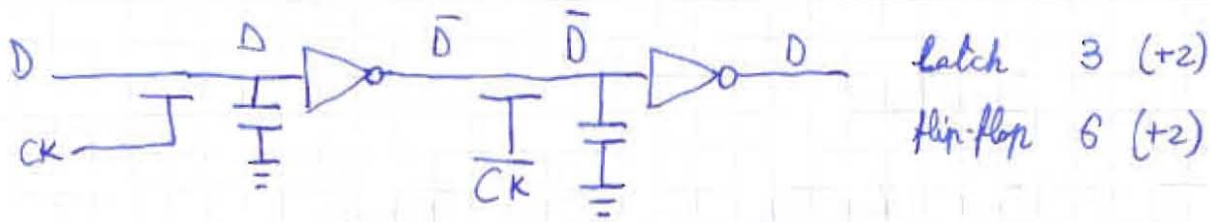
ck = 1 evlutazione

ck = 0

Staccando la retroazione, x è in alta impedenza (mantenimento dato)
 Il dato viene memorizzato nella capacità.

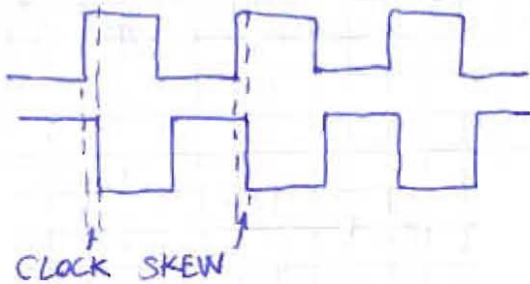


Posso eliminare due invertitori che non cambia nulla



Per averlo più veloce posso usare i transmission gate, tanto ho già risparmiato tanto.

Il \overline{CK} sarà sfasato rispetto a CK per colpa del ritardo dell'invertitore.



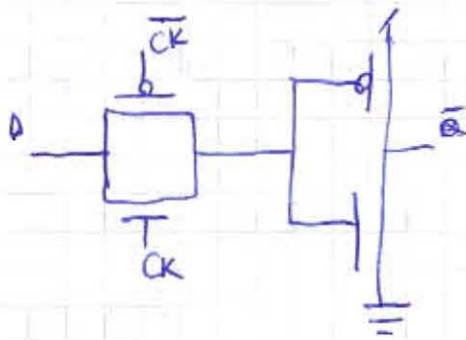
Quando $CK = \overline{CK} = 0$ non ci sono problemi.

Quando $CK = \overline{CK} = 1$, D viene portato direttamente in uscita, non sincronizzato dal clock. Si produce un segnale che non controlla \Rightarrow uscita indeterminata.

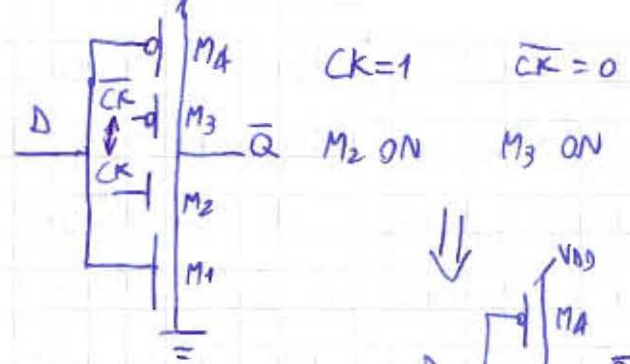
Per evitare questa situazione devo creare due clock distinti:



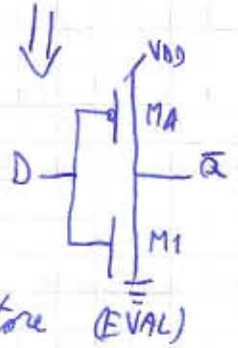
Devo realizzare qualcosa di piccolo, veloce e immune al clock-skew.



P-LATCH

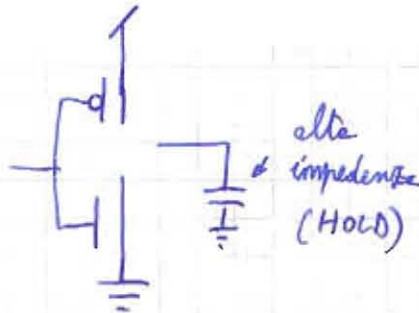


CK=1 $\overline{CK}=0$
 M2 ON M3 ON



invertitore (EVAL)

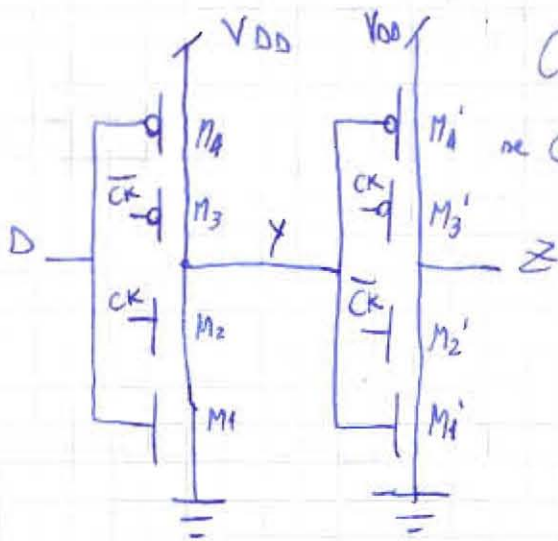
CK=0 e $\overline{CK}=1$
 M2, M3 OFF



alta
 impedenza
 (HOLD)

Si comporta come un p-latch. Per fare n-latch basta invertire i clock. \uparrow altero quando CK=1

Cono latch invertenti. Mettendo in cascata p-latch e n-latch posso fare il flip-flop.



C'è clock-skew?

se CK = \overline{CK} = 0 M2 e M2' OFF
 M3 e M3' ON

se D=1, Y non può andare a 0 perché M2 aperto \rightarrow Y H.I. perché M4 OFF
 se D=0, \rightarrow Y = VDD perché M1, M2 OFF e M3, M4 ON
 Z H.I.

Una variazione dell'ingresso non arriva in fondo.

CK = \overline{CK} = 1 M3, M3' OFF e M2, M2' ON

se D=0 M1 OFF Y H.I. perché PU e PD OFF
 M4 ON

se D=1 M1 ON Y=0, Z H.I. perché M1' OFF e M3' OFF
 M4 OFF

\Rightarrow Il circuito non soffre di clock skew.

Questa logica si chiama C²MOS.

L'utilizzo di C²MOS per realizzare latch mi porta alla logica SINGLE PHASE CLOCK LOGIC (SPCL)

Single phase perché CK lo ottengo con un invertitore tanto la logica è immune al clock-skew.

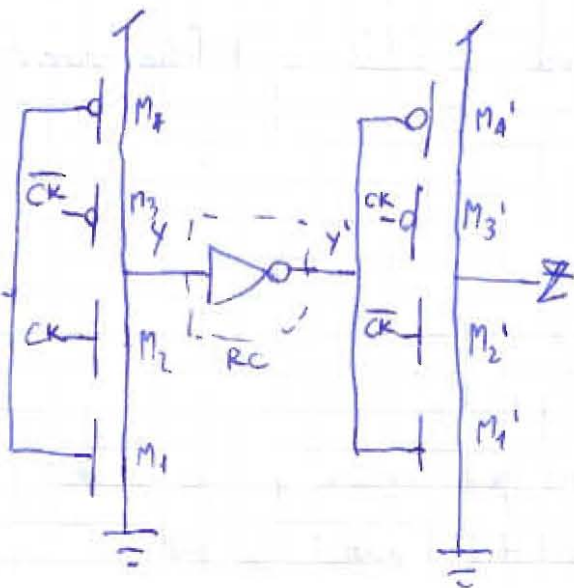
La pipeline non è mai trasparente.

19/05/09

Possiamo realizzare una cosa del tipo:



usando solo un latch come elemento di memoria?
C'è clock-skew?



$CK = \overline{CK} = 0$ PD OFF

$x=0$ M_3 ON $y' \rightarrow 0$ M_4 ON $\Rightarrow z=1$

$x=1$ Y H.I.

problema clock-skew

$CK = \overline{CK} = 1$ PU OFF

$x=1$ M_1 ON

$y \rightarrow 0$

$y' \rightarrow 1$

M_4 ON

$z \rightarrow 0$

la variazione dell'ingresso si propaga

$x=0$ Y H.I.

La pipeline funziona se la rete combinatoria porta in mezzo ai latch è NON invertente, cioè se ho una variazione dell'ingresso da 0 a 1 anche l'uscita, se varia, deve farlo da 0 a 1.

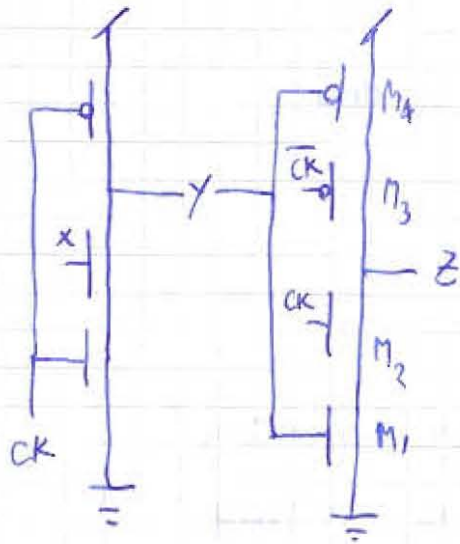
NAND \rightarrow invertente

AND \rightarrow non invertente

A	B	Y
0	0	0
0	1	0
1	0	0
1	1	1

stesso cambiamento

Nel caso di reti combinatorie realizzate in logica PE:



$$CK = \overline{CK} = 0$$

PE meccanica $y = 1$

M_2 OFF M_3 ON
 M_1 ON M_4 OFF

$\Rightarrow Z$ H.I.

PD OFF PU OFF

non crea problemi

$$CK = \overline{CK} = 1$$

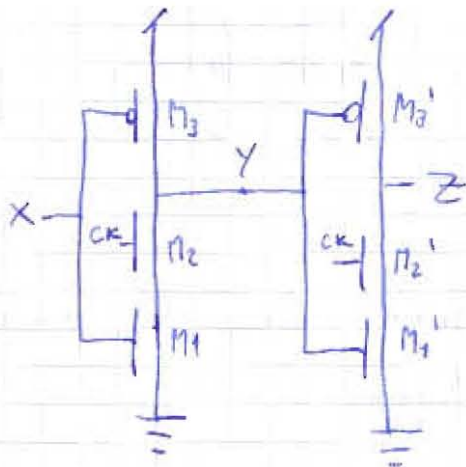
PE valutazione $y = 1 \rightarrow 0$ unica variazione possibile

M_3 OFF M_2 ON

\downarrow
 PU OFF $\Rightarrow Z$ non può caricarsi verso l'alto (ed più c'è giri)

\Rightarrow posso usare anche reti combinatorie invertenti con logica PE

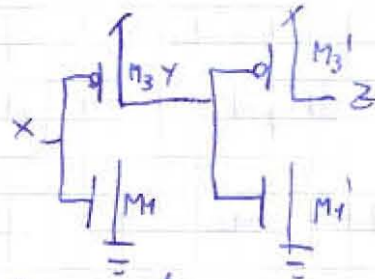
LOGICHE TSPCL (True Single Phase Clock Logic)



$$CK = 1 \rightarrow M_2 \text{ ON } M_2' \text{ OFF} \rightarrow Z = \overline{Y} \Rightarrow Z = X$$

$$Y = \overline{X}$$

$$CK = 0$$



$$X = 0 \rightarrow 1$$

M_1 ON
 M_3 OFF $\Rightarrow Y$ H.I.

$$X = 1 \rightarrow 0$$

M_3 ON
 M_1 OFF $\Rightarrow Y = 1$

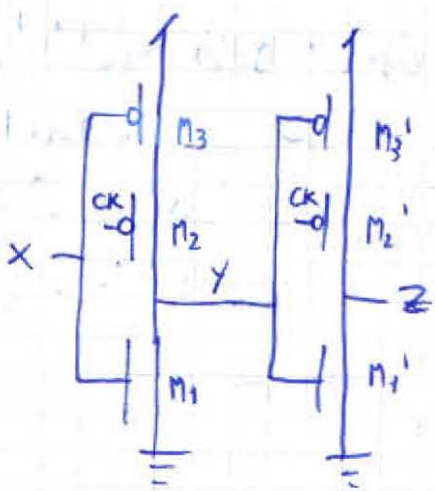
\downarrow
 $M_3' \text{ OFF} \Rightarrow Z$ H.I.

$CK = 0$ HOLD

$CK = 1$ VALUTAZIONE

\Rightarrow si comporta
 come un p-latch

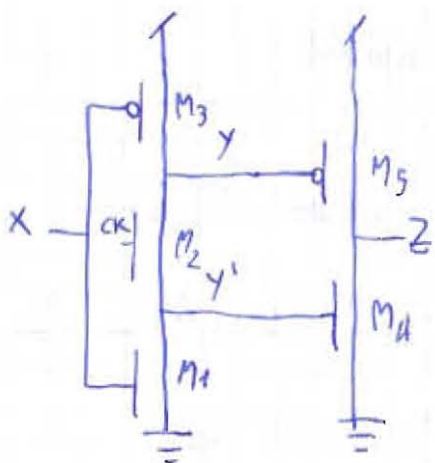
Per fare l'm-latch il circuito diventa \Rightarrow



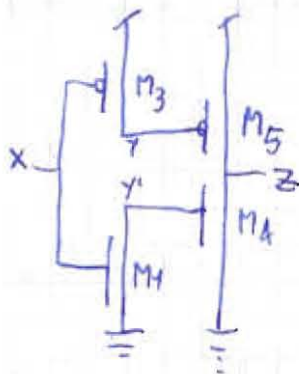
CK=0 M₂, M₂' ON ... H.I.
 CK=1 M₂, M₂' OFF ... HOLD

← M-LATCH

I latch realizzati in TSPCL sono non invertenti.
 Ho un clock solo → meno problemi di routing.
 Posso semplificarlo ulteriormente?



CK=0 → HOLD



X 0 → 1

M₃ OFF
 M₁ ON

Y H.I.

Y' → 0 M₄ OFF
 ↓
 PD OFF

Y=0 M₃ ON Z=1

Y=1 M₅ OFF Z=H.I.

X 1 → 0

M₃ ON
 M₁ OFF

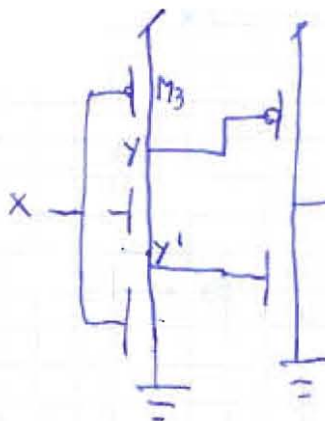
Y → 1
 Y' H.I.

M₅ OFF

Y'=0 M₄ OFF
 ↓
 Z H.I.

Y'=1 M₄ ON
 ↓
 Z=0

CK=1 → due invertitori (o quasi)

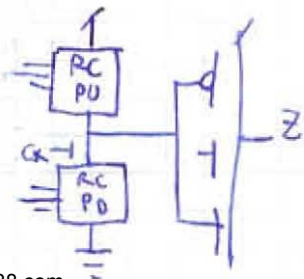


quando X=0, CK=1,

M₃ ON e Y=V_{DD},

mentre Y'=V_{DD}-V_T V_{GS}=V_{DD}-V_T Tempi di scarica più lunghi → svantaggio.

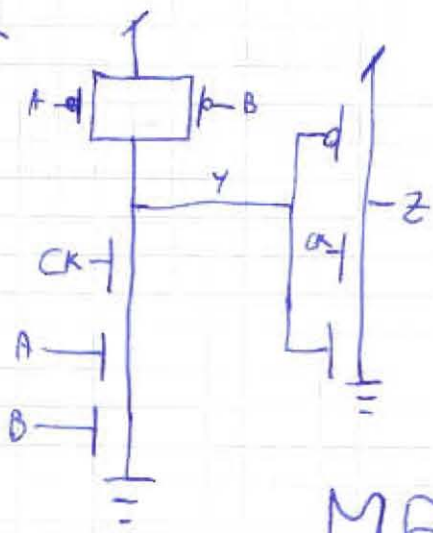
le al posto del P-mos metterci un N-mos (sul CK), il problema lo avrei per X=1. ⇒ carica più lenta.



Posso integrare le RC nel latch.

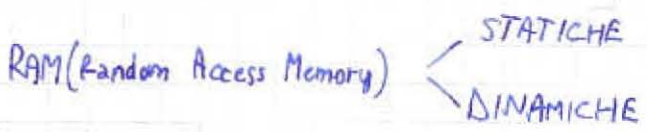
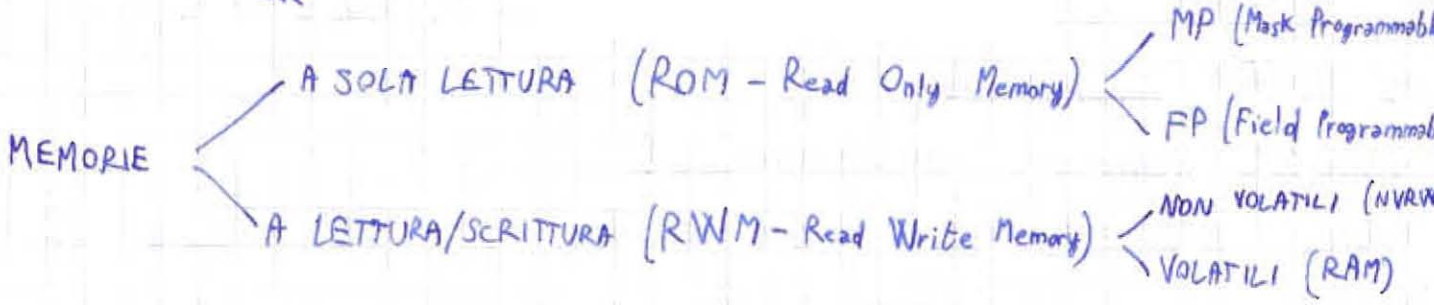
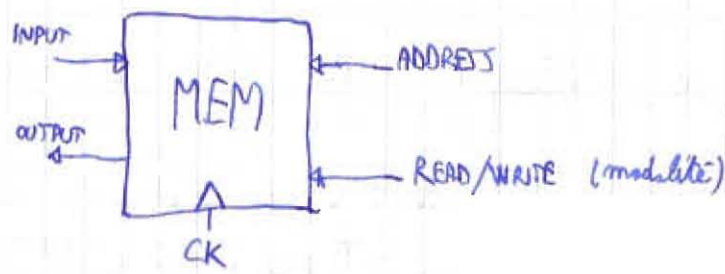
Vantaggio: togliamo uno stadio → rete più veloce.

AND



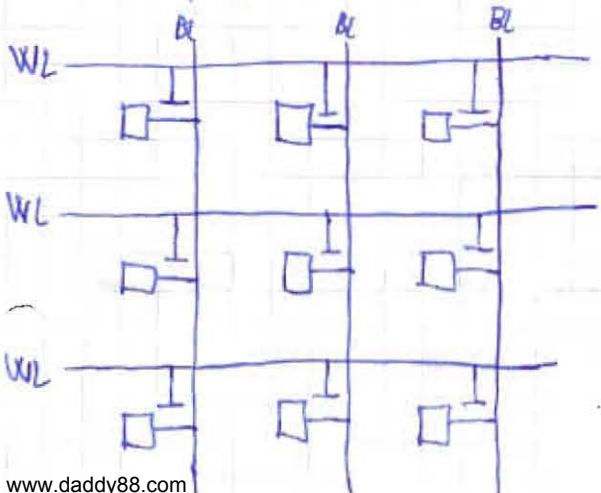
Questi sono elementi di memoria a singolo bit.
Vogliamo memorizzare tanti bit.

MEMORIE



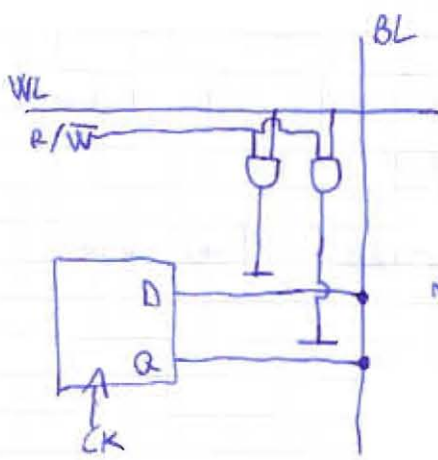
EPROM → programmabili elettricamente ma non cancellabili (ultravioletto)

E²PROM → programmabili e cancellabili elettricamente



WL → Word Line
BL → Bit Line

WL abilita la lettura/scrittura delle celle di memoria dei dati della BL.

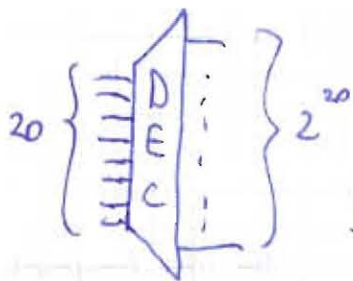


$AVL = 1$
 $R/\bar{W} = 1$ lettura $BL = Q$
 $R/\bar{W} = 0$ scrittura $BL = 0/1$ (la seconda di cosa devo scrivere)

schema concettuale ← ingombrante

$1 MB = 8 BL$ e $10^6 \approx 2^{20}$ WL

Devo selezionare una WL alla volta \Rightarrow decoder



ho bisogno, per realizzarlo, di AND a 20 ingressi!
 Se una cella è $5\mu m \times 5\mu m$

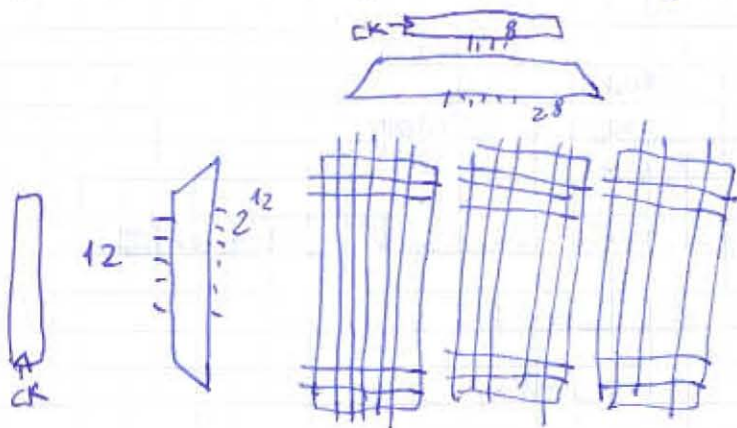
$W = 8 \cdot 5 \mu m = 40 \mu m$
 $L = 2^{20} \cdot 5 \mu m \approx 5 m !!!$

\Rightarrow molto ingombrante

Impensabile memorie unidimensionali.

MEMORIE BIDIMENSIONALI \rightarrow due decoder, uno che seleziona il blocco e uno che seleziona la WL.

Ad es. 2^8 blocchi da 2^{12} righe.

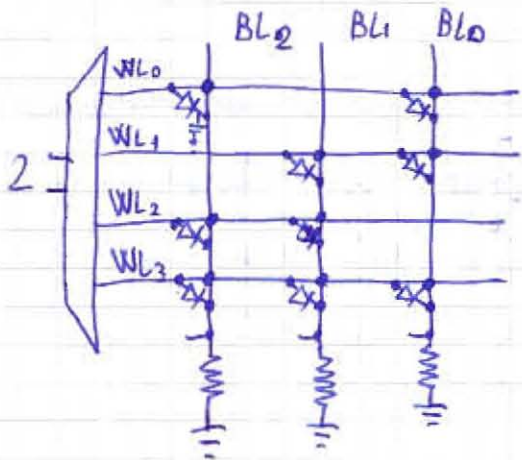


$W = 5 \mu m \cdot 8 \cdot 2^8 = 5 \cdot 2^{11} \mu m = 10^4 \mu m = 1 cm$
 $L = 2^{12} \cdot 5 \mu m \approx 2 cm$

alla bit-line fanno capo 2 condensatori parassiti.

Una prima soluzione è sostituire il flip-flop con un latch (asincrono) spostando il sincronismo su un registro esterno.

Una memoria è una matrice di celle.



Vogliamo già definire il contenuto della memoria secondo, ad esempio, una tabella della verità:

WL ₀	101	WL ₂	110
WL ₁	011	WL ₃	111

Connetto a una rete di PD le BL per non lasciarle fluttuanti.

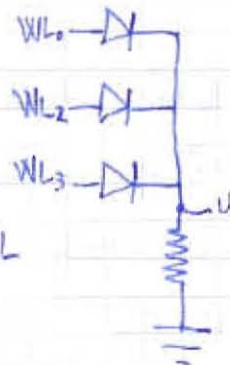
Se non collego la BL a nulla, in uscita esco 0.

Se la collego a una WL (pull-up), l'uscita andrà alta (quanto dipende dal dimensionamento del PU).

Il difetto è che, dato che una sola WL è attiva, le altre WL sono a 0 e ho un costo circuito tra V_{DD} e massa.

Risolvero il problema mettendo dei diodi all'incrocio tra WL e BL al posto dei • (connessione elettrica)

Per la BL₂ il circuito è

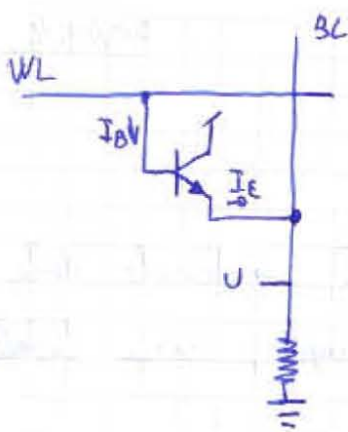


rilevatore di massimo

I diodi impediscono la circolazione di corrente sulla WL quando WL=0.

Ogni diodo, però, mette in gioco una capacità parassita verso la bit-line. Tale capacità deve essere caricata dalla corrente proveniente dalla WL, corrente richiesta alla rete di PU del decoder. → SOLUZIONE NON EFFICIENTE

Introduco un dispositivo attivo come il BJT:

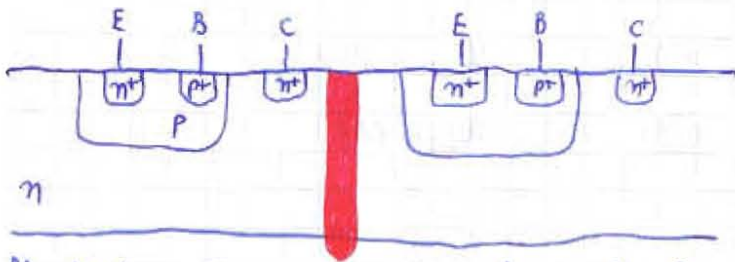


$$I_E = (\beta_F + 1) I_B$$

$$I_B = \frac{I_E}{\beta_F + 1}$$

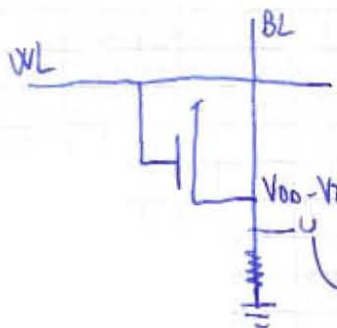
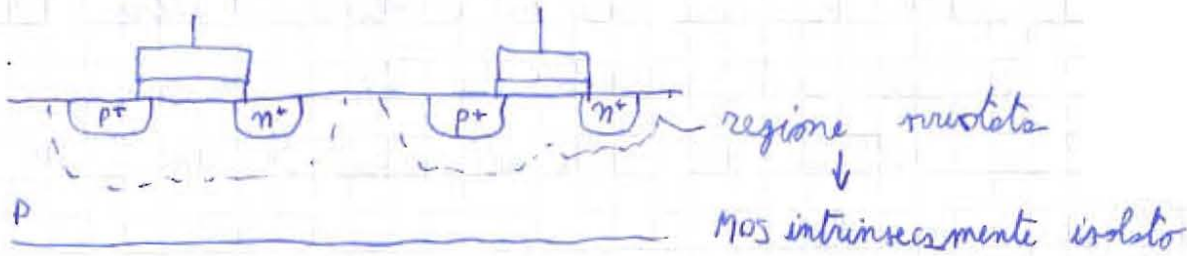
corrente richiesta, presa dall'alimentazione

Il problema è che il BJT non è un dispositivo intrinsecamente isolato, perché devo allargare la struttura (più massicci) per isolare il dispositivo



Il collettore è in comune → faccio l'isolamento scavando trincee riempiendole di ossido di silicio

Con i MOS non ho questo problema:

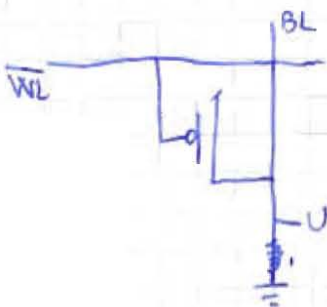


La corrente richiesta al decoder è nulla. Lo svantaggio è che devo portare l'alimentazione ad ogni cella e uso il nMOS come PU.

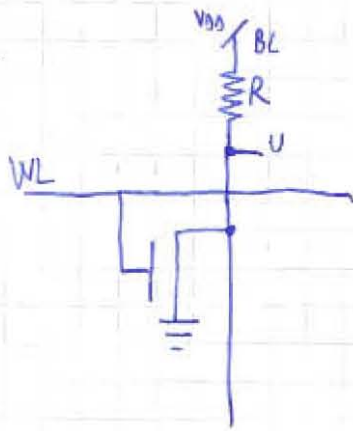
al max $V_{DD} - V_T$

Posso usare un p-MOS, però il decoder deve essere basato su NAND e i p-MOS sono più ingombranti.

Il PU deve vincere sul PD, per caricare la capacità di uscita a un valore alto. Devo aumentare β , quindi fare il MOS più grande.



Sposto il MOS nel PD e la resistenza nel PU.



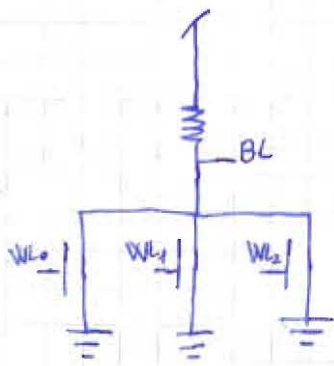
Se $WL=1$, $U=0$; quindi devo mettere il MOS nei nodi dove voglio 0.

$WL=1 \rightarrow$ MOS ON, dimensioni β in modo che $U=0$.

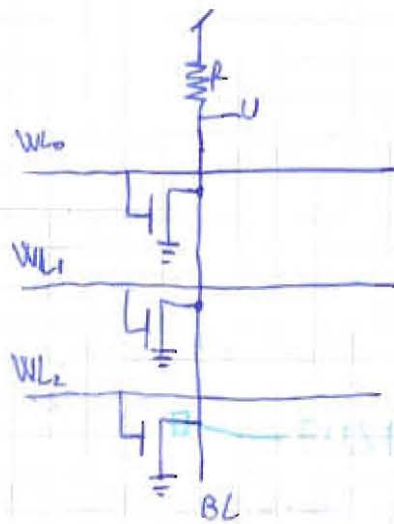
$WL=1$ senza MOS $\rightarrow U=V_{DD}$

Basta che una $WL=1$ per avere 0 in uscita.

NOR



=



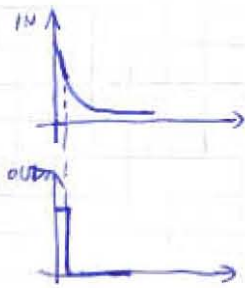
MEMORIA

NOR-BASED

Ma ho sempre le capacità parassite. Potrei usare CMOS per evitare la logica a rapporto, ma dovrei mettere al posto di R tanti P-MOS quante sono WL \rightarrow troppo ingombrante.

Usando le logiche PE dovrei portare sincronismo (clock).

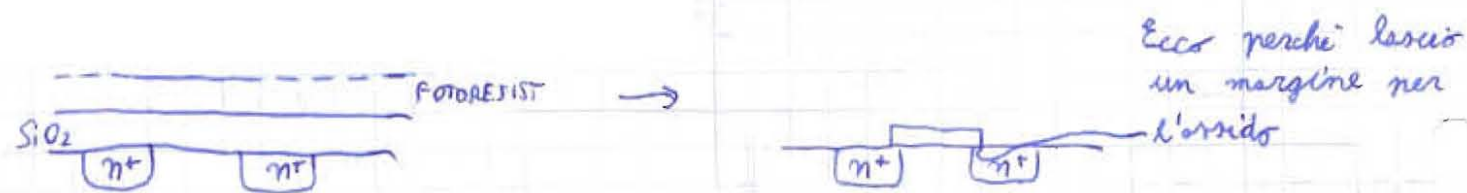
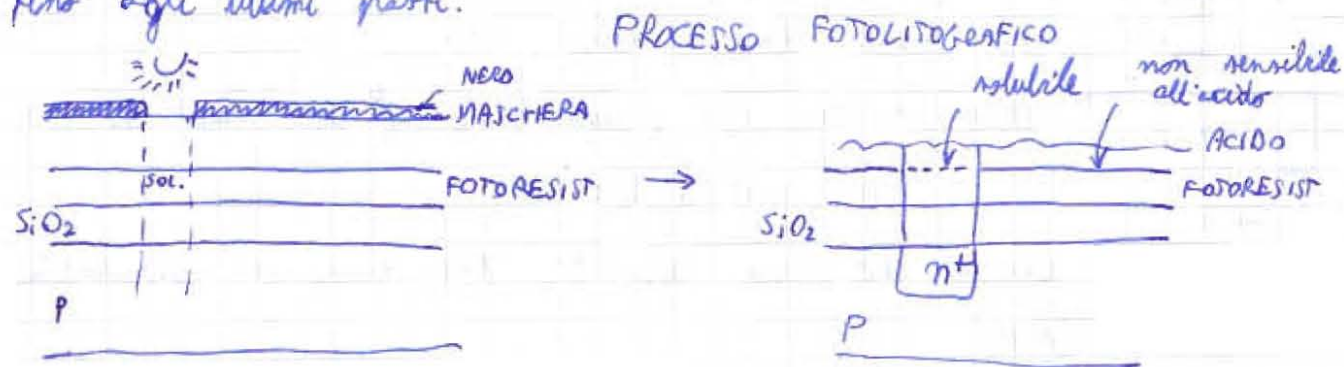
Collego all'uscita di ogni BL un dispositivo chiamato SENSE AMPLIFIER, che fa commutare l'uscita in presenza di variazioni dell'ingresso:



Non mi interessa quindi che si esaurisca il transitorio di carica/scarica delle capacità, perché il SENSE-AMPLIFIER mi fa commutare subito l'uscita.

Per programmare una memoria ROM, inserisco i dispositivi (MOS, diodi, ...) in ogni cella della ROM, poi collego S a BL nel caso di m-n

D a Bc per p-mos solo dove voglio il dispositivo; gli altri rimangono scollegati. La produzione è uguale per ogni contenuto della ram fino agli ultimi passi.



Il processo tecnologico è una successione di maschere (molto costose, 10/20 mila € l'una !!!). Per questo non posso permettermi di personalizzare ogni maschera, ma solo quella delle metallizzazioni.

MASK-PROGRAMMABLE
FIELD-PROGRAMMABLE

Metto in serie al diodo un fusibile, cioè un restringimento di piste, che si brucia in caso di sovracorrente.

Per memorizzare uno 0 faccio passare una corrente elevata che fonde il fusibile. Mentre, in caso normale, la corrente normale deve essere anche sopportata dal fusibile.

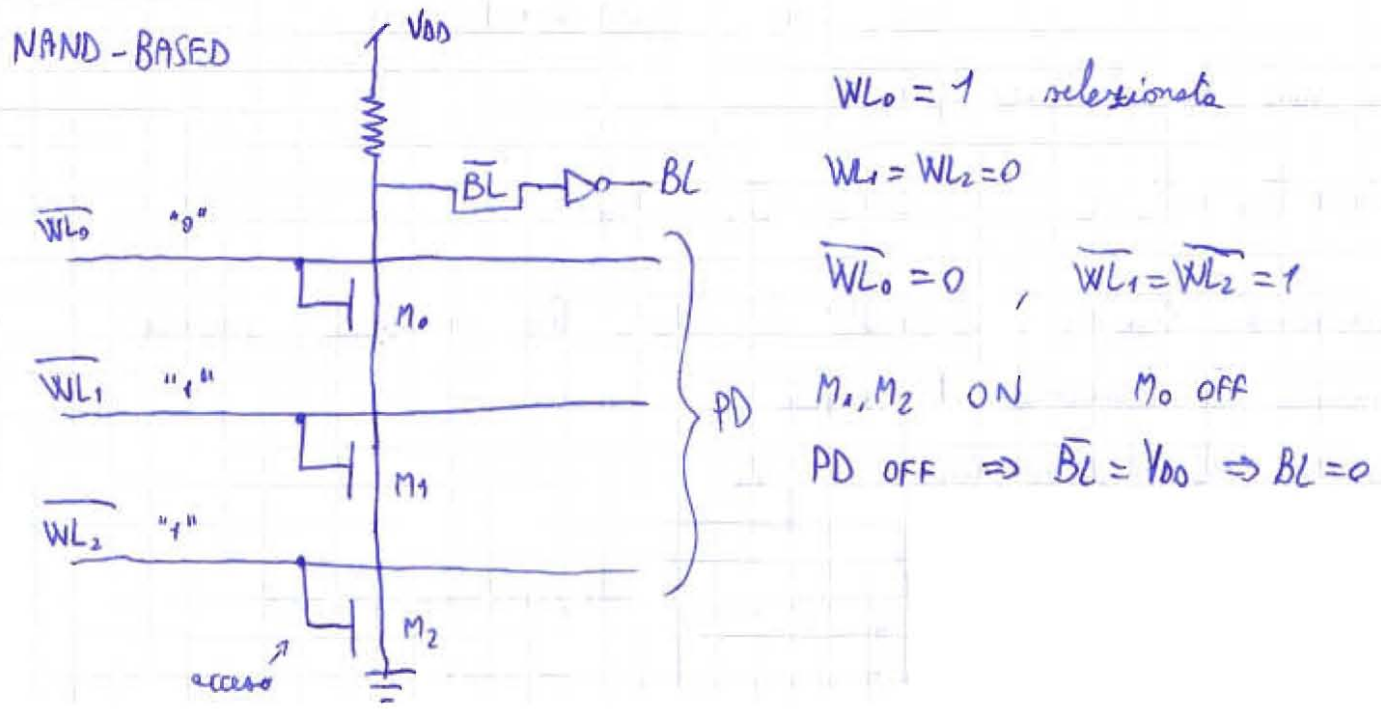
Esiste anche la soluzione ad anti-fusibile; vengono fatte due metallizzazioni vicine fra loro. In caso di elevate correnti, il dielettrico si rompe e crea contatto.

Lo svantaggio è che quando ho un 1 ho una resistenza nel fusibile.

Il problema è che dobbiamo portare la massa a tutte le celle (tante interconnessioni)

$BL = \overline{WL_0 + WL_1}$ $\overline{BL} = \overline{\overline{WL_0 + WL_1}}$ $\overline{BL} = \overline{\overline{WL_0} \cdot \overline{WL_1}}$ NAND BASED

Metterò poi un sense amplifier che nega l'uscita.
 Userò decoder basati su NAND per ottenere \overline{WL} .



Per memorizzare "1" sostituire i MOS con MOS e n-mentamento.

$WL = 1 \quad \overline{WL} = 0$, $V_t < 0 \Rightarrow$ MOS ON \Rightarrow PD ON $\Rightarrow \overline{BL} = "0"$ $\Rightarrow BL = "1"$
 \hookrightarrow DEPLETION (canale già creato)

Gli altri MOS non vengono accesi perché $\overline{WL} = 1 > (V_t < 0)$

$V_t > 0 \Rightarrow$ M OFF \Rightarrow PD OFF $\Rightarrow \overline{BL} = 1 \Rightarrow BL = 0$

\hookrightarrow ENHANCEMENT

Non posso più usare fusibili per programmare la memoria.

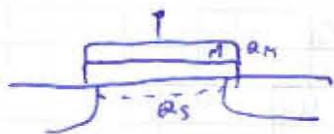
Cambiano proprio i dispositivi, in particolare il drogaggio.

\Rightarrow un processo tecnologico in più da personalizzare (più costoso)
 MOS in serie \Rightarrow β_{eq} più piccolo del minimo $\beta \Rightarrow$ bassa capacità di memorizzazione \Rightarrow utile per memoria di piccole dimensioni, vantaggio perché compatta.

anche nella NOR-BASED si può ragionare sulle V_T :

$$V_T > V_{DD} \quad M \text{ OFF} \Rightarrow PD \text{ OFF} \Rightarrow BL = "1"$$

$$V_T < V_{DD} \quad M \text{ ON} \Rightarrow PD \text{ ON} \Rightarrow BL = "0"$$



$|Q_M| = |Q_S|$ trascurando la presenza di cariche
 $Q_M = -Q_S$ nell'ossido.

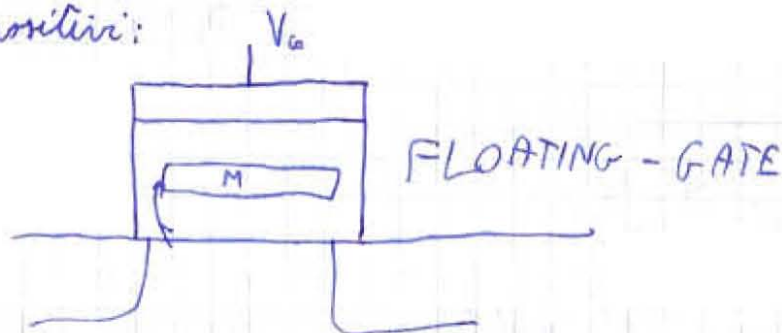
Ora non lo trascuro più!!

$$Q_M + Q_{ox} + Q_S = 0$$

$$Q_M = -Q_S - Q_{ox}$$

Supponiamo $Q_{ox} < 0$. al parità di Q_S , Q_M aumenta, quindi aumenta la tensione di soglia.

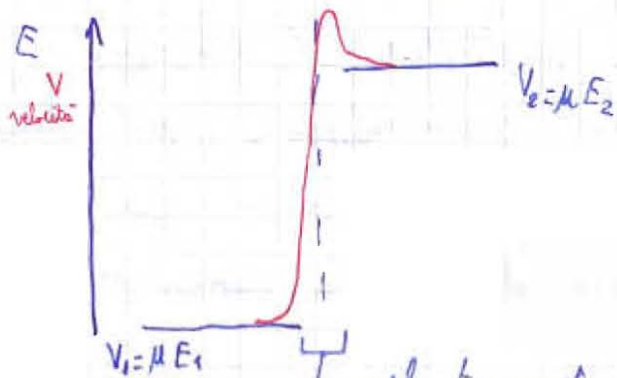
Considero altri dispositivi:



Se gli elettroni hanno molta energia, possono saltare dal semiconduttore al metallo, saltando lo strato di ossido.

Il numero di elettroni che riesce a fare il salto dipende sia dall'energia che riesce a dare sia dalla spessore dell'ossido (meccanica quantistica \rightarrow effetto probabilistico).

EFFETTO TUNNEL



Supponiamo di riuscire a creare delle situazioni di campo elettrico e che la variazione sia brusca

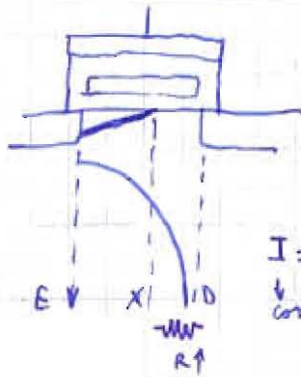
\hookrightarrow nel transistor le particelle hanno $V > V_1, V_2$

Avremmo quindi una energia cinetica elevata, sufficiente a fare il salto.

La variazione deve essere brusca, altrimenti passeremmo per livelli di equilibrio e non avremmo l'energia cinetica necessaria.

ELETTRONI CALDI → elettroni che hanno l'energia superiore a quella che avrebbero all'equilibrio.

Consideriamo un dispositivo in saturazione:



Contengo la corrente con un campo elettrico infinito.

$$I = A \cdot J = A \cdot q \cdot n \cdot v$$

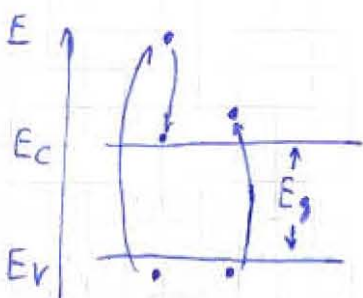
↓
cont

$q \cdot n \cdot v \approx 0$
↓
 $E \rightarrow \infty$

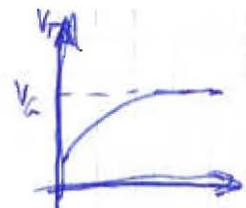
Gradiente di campo elettrico elevato, che è quello che volevo.

1) tensione di programmazione \neq tensione di lettura: non voglio alterare la memoria quando la leggo.

2) voglio tanti elettroni caldi: se accelero un elettrone tale che questo passi in bande di conduzione, questo può urtare un altro elettrone in bande di valenza, cedendogli energia. Può accadere che l'energia ceduta permetta di far saltare anche l'altro elettrone in bande di conduzione, che, a sua volta potrà urtare con altri elettroni, generando un EFFETTO A VALANGA, avendo più probabilità di avere elettroni caldi.



Quando $V_T = V_a$, il dispositivo si spegne
AUTOREGOLAZIONE



Man mano che gli elettroni saltano, la tensione di soglia sale.

Con questo meccanismo non posso cancellare la memoria, perché nel metallo non posso creare elettroni caldi perché il campo elettrico è costante.

Devo fornire energia in un altro modo: attraverso radiazione luminosa (ultravioletta) che penetra fino al metallo, fornendo energia agli elettroni del floating-gate l'energia per saltare dal metallo all'ossido. Queste memorie sono le EPROM.

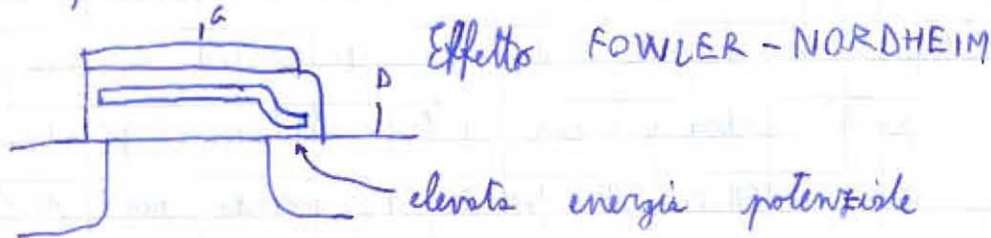
Ho anche cariche non volute che si fermano nell'ossido. I cicli di programmazione/cancellazione sono limitati, per questo sono ROM. La cancellazione è molto più lunga della programmazione.

VANTAGGI → possibilità di programmazione sul campo, possibilità di cancellare alcune volte la memoria con radiazione luminosa.

SVANTAGGIO → numero limitato di scritture/cancellazioni per la carica accumulata nell'ossido

Il dispositivo si chiama FAMOS, Floating gate Avalanche injected MOS
↳ usato nelle EPROM

L'effetto tunnel è favorito dall'energia cinetica e da piccoli spessori di ossido. Con piccolo spessore di ossido si possono usare anche gli elettroni freddi:

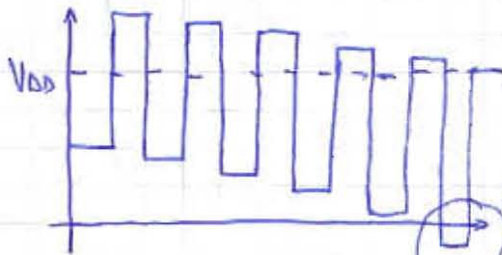


$V_{GD} > 0$ $V_{GD} < 0$ Questo dispositivo si chiama FLOTOX
Floating gate Thin Oxide ↳ usato nelle E²PROM

Diagramma per $V_{GD} > 0$: FG ↓ e^- , D ↑ e^-
Diagramma per $V_{GD} < 0$: FG ↑ e^- , D ↓ e^-

La cella è difficile da controllare, non ho più l'autocontrollo.

Supponiamo che $t_{PROG} < t_{CANC}$

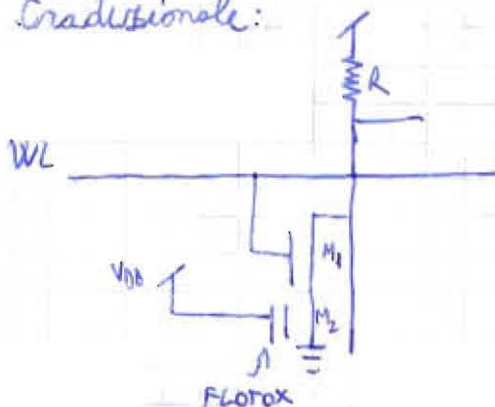


DERIVA

da evitare, altrimenti il dispositivo non si spegne mai, anche con $WL=0$.

Viceversa, se $t_{PROG} > t_{CANC}$, mi sbaglia il valore di una cella, non mi tutta la memoria come nel primo caso.

Per risolvere il problema, faccio in modo che la WL comandi un dispositivo tradizionale:



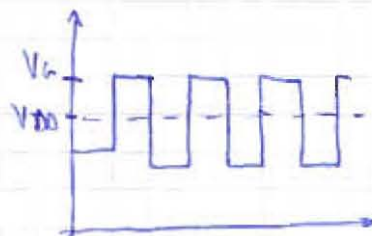
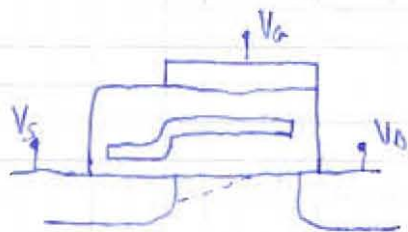
$WL=1 \Rightarrow M_1 \text{ ON}$

$M_2 \begin{cases} \text{ON} & \text{se } V_T < V_{DD} \text{ anche se } V_T < 0 \\ \text{OFF} & \text{se } V_T > V_{DD} \end{cases}$

$WL=0 \Rightarrow M_1 \text{ OFF (perché } V_T > 0)$

aumento però notevolmente le dimensioni della memoria.

Uso per la programmazione la tecnica degli elettroni caldi e per la cancellazione la tecnica degli elettroni freddi:

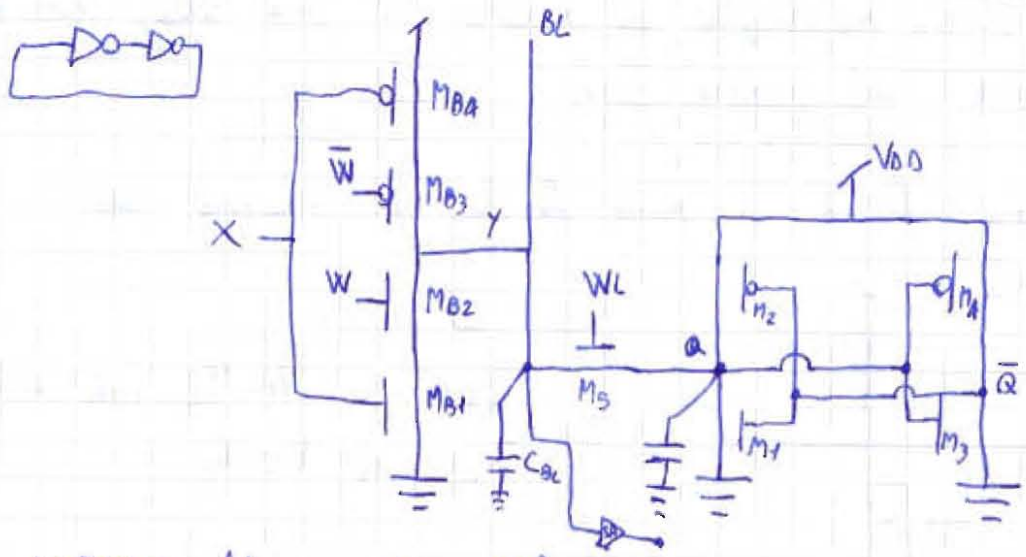
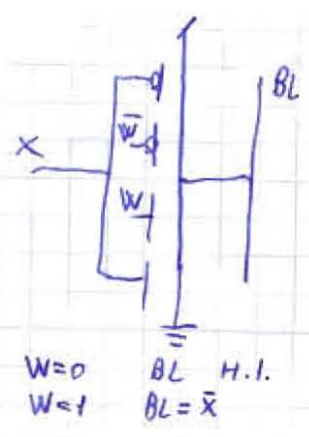
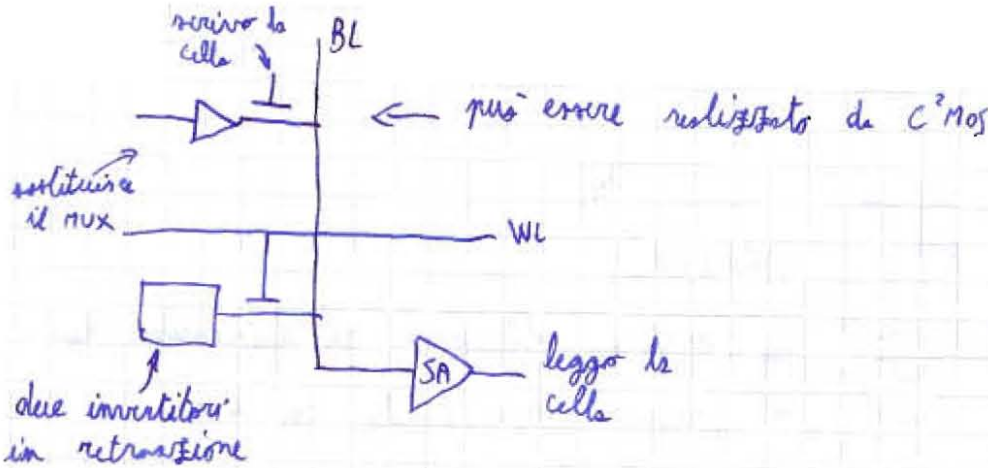


Cella FLASH-EPROM, usata per le memorie flash.

Non ho più il fenomeno di deriva.

Posso cancellare anche singole celle (CANCELLAZIONE SELETTIVA). Cicli di lettura/scrittura limitati. Non sono memorie veloci.

Le memorie veloci devono essere alimentate!



LETTURA (da memoria a BL)

L'inverter CMOS deve essere disattivato (alta impedenza): $W=0$ ($\bar{W}=1$)
 M_{B2}, M_{B3} OFF Y H.I. $WL=1$

SCRITTURA

$W=1$ ($\bar{W}=0$) M_{B2}, M_{B3} ON $Y = \bar{X}$ $WL=1$ $Q = \bar{X} = BL$

Supponiamo che:

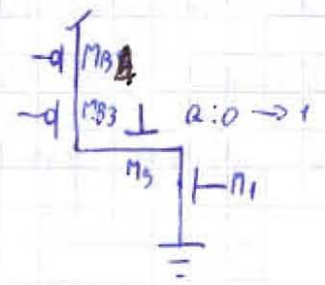
$t < 0$ ($WL=0$)	M_5 OFF	$t > 0$ ($WL=1$)	M_5 ON
$Q=0$ (H_p)		$W=1$	M_{B2}, M_{B3} ON
$W=1$	$Y=1$ ($X=0$)	$X=0$	M_{B4} ON

$t=0^+$ $Q=0 \Rightarrow \bar{Q}=1$ M_1 ON

PV M_{B3}, M_{B4}, M_5 $\beta_{B3}, \beta_{B4}, \beta_5 \uparrow$

PD M_1 $\beta_1 \downarrow$

$\Rightarrow M_5$ grande e M_1 piccolo in scrittura.



LETTURA

$W=0 \quad \bar{W}=1 \quad M_{B2}, M_{B3} \text{ OFF} \rightarrow Y \text{ H.I.}$

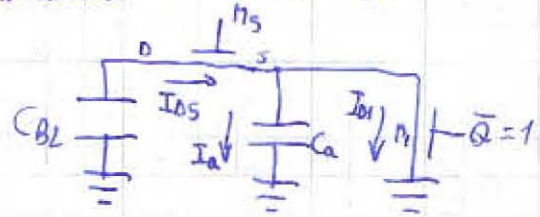
$t < 0 \quad (WL=0) : BL = "1" \quad (H_P) \quad V_{CBL} = "1"$

$a = "0" \quad (H_P)$

meglio quindi scaricare la capacità portando a nulla BL.

$t \geq 0 \quad (WL=1) \quad \bar{Q} = "1" \rightarrow M_1 \text{ ON}$

$I_{DS} = I_a + I_{D1}$

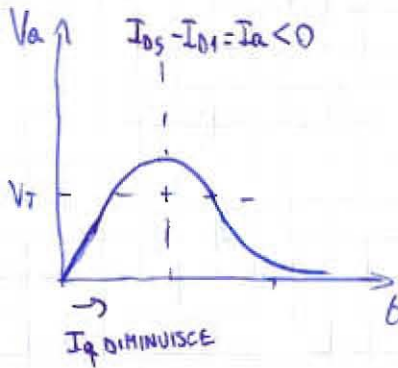


$t = 0^+ \quad M_1 \text{ ON}$

\hookrightarrow SAT se $V_{DS} > V_{GS} - V_T$, cioè se $V_a > V_{DS} - V_T$ NON VERIF.

\downarrow
 $M_1 \text{ LIN.} \quad I_{D1} = \beta_1 \left[(V_{GS} - V_T) V_{DS} - \frac{V_{DS}^2}{2} \right] = 0 \text{ in } t=0^+$
 $V_a = 0$

$I_{D1} = 0 \Rightarrow I_{DS} = I_a$ inizialmente I_{DS} va a caricare la capacità C_a
 \hookrightarrow proveniente dalle scariche di C_{BL}



$V_a \uparrow$, ma $V_a = V_{DS} \uparrow \Rightarrow I_{D1} \uparrow$
 I_{D1} porta via carica a C_a , che si scarica se
 $I_{D1} > I_{DS}$ perché deve essere $I_a = I_{DS} - I_{D1} < 0$
 $\hookrightarrow \beta_1 \uparrow, \beta_5 \downarrow$ cioè $M_1 \uparrow \text{ e } M_5 \downarrow$

Se $V_a > V_T$, M_3 si accende, $\bar{Q} = 0$, $M_2 \text{ ON}$, $Q = 1 \Rightarrow$ vado nel punto stabile ($Q = "1"$, $\bar{Q} = "0"$). Devo pertanto scaricare C_{BL} prima che $V_a > V_T$. Devo avere una corrente piccola.

\Rightarrow dimensionamento della cella: piccola in lettura, grande in scrittura \rightarrow irrealizzabile.

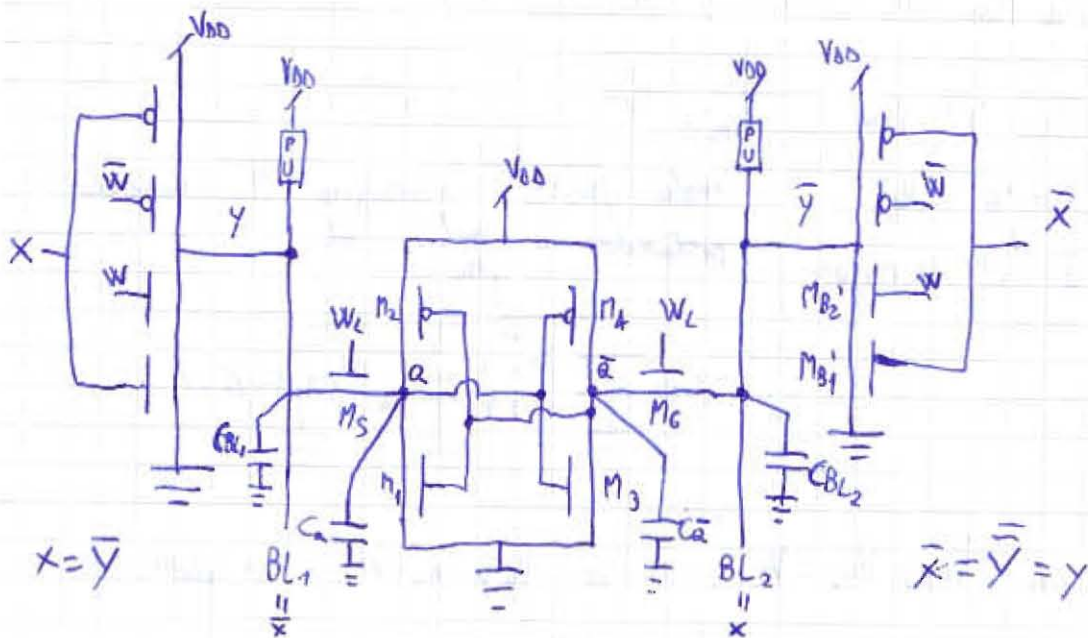
26/05/09

SCRITTURA: $\beta_{M5} \uparrow, \beta_{M1} \downarrow$
 LETTURA: $\beta_{M5} \downarrow, \beta_{M1} \uparrow$

Non sono riuscito a portare il dato sulla BL e neanche a prescrivere il dato nella cella. \Rightarrow è necessario che $V_a < V_T$

In un punto, comunque, $I_{DS} - I_{D1} < 0 \rightarrow I_{DS} < I_{D1}$ $\beta_{M5} \downarrow$ $\beta_{M1} \uparrow$
 piccolo grande

RAM STATICA



SCRITTURA

$$BL_2 = \overline{BL_1}$$

commutazione alla

$$Q \quad 0 \rightarrow 1$$

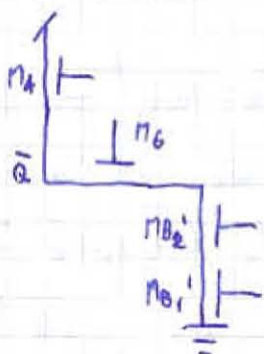
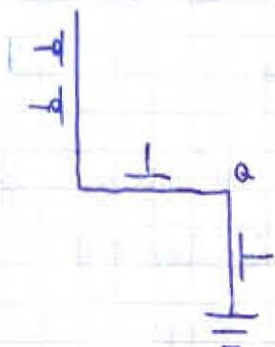
$$W=1$$

$$BL_1 = 1$$

$$\overline{Q} \quad 1 \rightarrow 0$$

$$X=0$$

$$BL_2 = 0$$



Q inizia a salire vedendo un PU acceso.

\overline{Q} inizia subito a scendere sentendo il PD $M_{B2'}$, $M_{B1'}$, senza dover aspettare, come prima, l'accensione di M_3 (dovuta a $V_a > V_T$).

Dopo di che si accenderanno anche M_3 (ulteriore PD) e M_2 (ulteriore PU) e la cella finirà di commutare.

Non è più necessario dimensionare i PU e i PD in modo che V_a diventi, prima o poi, maggiore di V_T .

LETTURA

$$BL_2 = \overline{BL_1}$$

$$BL_1 = 1$$

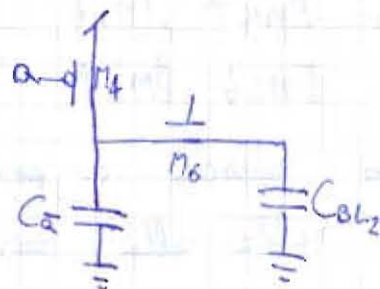
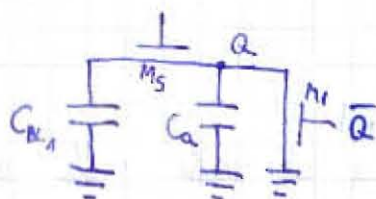
$$W=0$$

$$BL_2 = 0$$

$$BL_1, BL_2 \text{ H.I. } Q=0$$

$$WL=1$$

$$\overline{Q}=1$$



Foglio che: $Bl_1: 1 \rightarrow 0$ $Q: 0 \rightarrow 0$
 $Bl_2: 0 \rightarrow 1$ $\bar{a}: 1 \rightarrow 1$

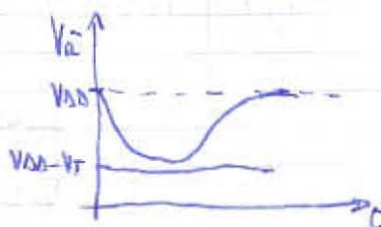
Le capacità sono connesse a massa o a V_{DD} , tanto la corrente e la stessa (dipende dalle variazioni di potenziale).

$I_{D4} = I_{\bar{a}} + I_{D6}$ $I_{\bar{a}} = I_{D4} - I_{D6}$ voglio che la capacità $C_{\bar{a}}$ rimanga

carica, quindi $I_{\bar{a}} > 0 \Rightarrow I_{D4} > I_{D6}$

Inizialmente, I_{D6} va a scaricare $C_{\bar{a}}$,

quindi $V_{\bar{a}}$ diminuisce.



anche qui è importante che $V_{\bar{a}} > V_{DD} - V_T$, altrimenti Q commuterebbe

a 1.

La presenza della 2^a bit-line peggiora la situazione, perché induce la commutazione della cella.

SCRITTURA: OK

LETTURA: KO!!

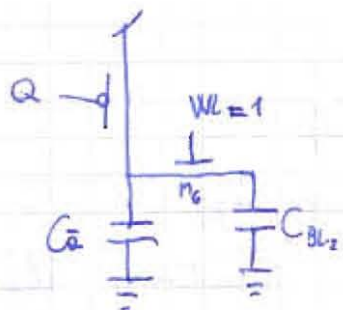
In fase di lettura considero $Bl_1 = Bl_2 = 1$.

$W=0$ Bl_1 H.L. $C_{\bar{a}}$ e C_{Bl_2} sono a 1 e in parallelo.

$Q=0$ $\bar{a}=1$ Quando $WL=1$, le capacità si sommano, pertanto

$WL=1$ devo scaricare una capacità molto più grande

$Q: 0 \rightarrow 0$ $\bar{a}: 1 \rightarrow 1$ prima di commutare.



Non ci sarà più una corrente che passa per M_6 perché $C_{\bar{a}} = C_{Bl_2}$.

Eventualmente, $C_{\bar{a}}$ si può scaricare quando M_3 si accende, ma ci impiegherà molto tempo a scaricarsi e $V_{\bar{a}}$ fa in tempo a tornare sotto V_T

prima che $V_{\bar{a}}$ diventi più basso di $V_{DD} - V_T$ (facendo scendere M_2 e quindi commutare la cella). Dimensionamento transistori meno critico.

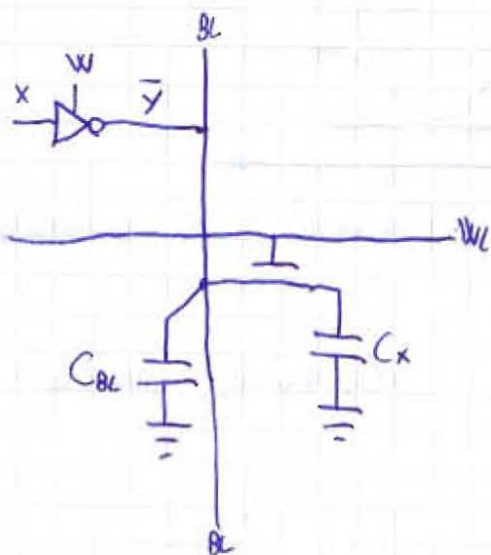
Per precaricare le BL metto un PU piccolo in modo che non possa vincere su un eventuale PD. ^{anche passivo (resistenza)}

27/05/09

RAM STATICHE → molto veloci ma ingombranti.

↳ non vengono usati condensatori.

DYNAMIC RAM



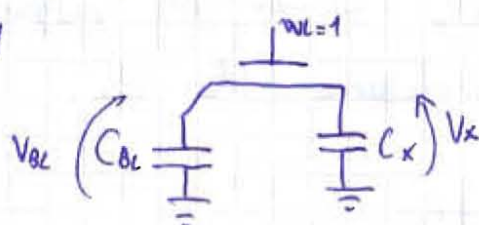
SCRITTURA

$W=1$ $WL=1$ l'informazione parte su C_x

LETTURA

$W=0$ Y H.I. BL H.I.

$WL=1$



Se C_{BL} carica, $V_{BL} = "1"$, e C_x scarica, $V_x = "0"$, si avrà una ridistribuzione di carica.

$t < 0$ V_{BL}^- V_x^- nella capacità C_{BL} avremo la carica $Q_{BL}^- = V_{BL}^- C_{BL}$ mentre in C_x avremo $Q_x^- = V_x^- C_x$

$t > 0$ $V_{BL}^+ = V_x^+$ esaurito il transitorio

$Q_{BL}^+ = V_{BL}^+ C_{BL}$ $Q_x^+ = V_x^+ C_x$ per il principio di conservazione

della carica: $Q_{BL}^- + Q_x^- = Q_{BL}^+ + Q_x^+$

$$V_{BL}^- C_{BL} + V_x^- C_x = V_{BL}^+ C_{BL} + V_x^+ C_x = V_{BL}^+ (C_{BL} + C_x)$$

$$V_{BL}^+ = \frac{C_{BL}}{C_{BL} + C_x} V_{BL}^- + \frac{C_x}{C_{BL} + C_x} V_x^-$$

↑ tensione da leggere

Forrei trasferire il contenuto della (V_x) sulla BL (V_{BL}), mantenendolo anche nella cella.

C_{BL} → somma capacità di ogni mos esistente con la BL .

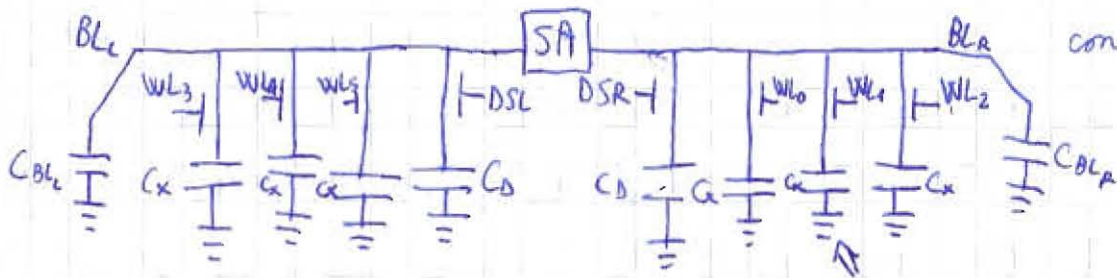
$C_{BL} \gg C_x$ perché la cella è molto piccola. $\frac{C_{BL}}{C_{BL}+C_x} \rightarrow 1$ $\frac{C_x}{C_{BL}+C_x} \rightarrow 0$

Ma io volevo leggere V_x^- , che ora è affogata da un termine di rumore (V_{BL}^-) molto grande. Rapporto segnale/rumore molto piccolo.
 \Rightarrow lettura impossibile!

Per eliminare il rumore posso generare un altro termine di rumore uguale ed opposto posso eliminare il rumore.

Divido la BL in due BL_L BL_R .

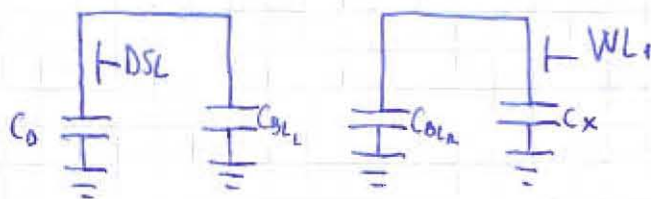
Considero una BL con 6 celle:



Aggiungo due celle DUMMY, non sono celle di memoria, comandate da due segnali di selezione della cella, Dummy Select Left e Dummy Select Right.

Supponiamo di voler leggere il contenuto di WL_1 :

$WL_1 = 1$ $DSL = 1$ Se vogliamo leggere una cella della BL_R devo attivare DSL e viceversa.



$t < 0$: V_D^- , $V_{BL_L}^-$

$t > 0$: V_D^+ , $V_{BL_L}^+$ $\rightarrow V_D^+ = V_{BL_L}^+$

$t < 0$: V_x^- , $V_{BL_R}^-$

$t > 0$: $V_x^+ = V_{BL_R}^+$

Come prima:

$$C_D V_D^- + C_{BL_L} V_{BL_L}^- = V_{BL_L}^+ (C_D + C_{BL_L})$$

$$V_{BL_L}^+ = \frac{C_D}{C_D + C_{BL_L}} V_D^- + \frac{C_{BL_L}}{C_D + C_{BL_L}} V_{BL_L}^-$$

$$C_x V_x^- + C_{BL_R} V_{BL_R}^- = V_{BL_R}^+ (C_x + C_{BL_R})$$

$$V_{BL_R}^+ = \frac{C_x}{C_x + C_{BL_R}} V_x^- + \frac{C_{BL_R}}{C_x + C_{BL_R}} V_{BL_R}^-$$

Supponiamo di aver costruito la cella dummy in modo che $C_D = C_x$

Considero anche che $C_{BL_L} = C_{BL_R}$. Faccio la differenza tra le equazioni

$$V_{BL_L}^+ - V_{BL_R}^+ = \frac{C_x}{C_x + C_{BL_R}} (V_0^- - V_x^-) + \frac{C_{BL_R}}{C_x + C_{BL_R}} (V_{BL_L}^- - V_{BL_R}^-)$$

la mia informazione
che voglio leggere

rumore grande che
voglio eliminare

Devo fare in modo che per $t < 0$ $V_{BL_L}^- = V_{BL_R}^-$ da cui segue

$$V_{BL_L}^+ - V_{BL_R}^+ = \frac{C_x}{C_x + C_{BL_R}} (V_0^- - V_x^-)$$

V_0^- la conosco e la metto a un valore
che stia a metà tra il valore alto
e basso: $V_0^- = V_{REF} = \frac{V_{DD}}{2}$ $0 < V_{REF} < V_{DD}$

Se $V_x^- = "1" = V_{DD} \Rightarrow V_{REF} - V_x^- < 0 \Rightarrow V_{BL_L}^+ - V_{BL_R}^+ < 0 \Rightarrow V_{BL_L}^+ < V_{BL_R}^+$

Se $V_x^- = "0" = 0 \Rightarrow V_{REF} - V_x^- > 0 \Rightarrow V_{BL_L}^+ - V_{BL_R}^+ > 0 \Rightarrow V_{BL_L}^+ > V_{BL_R}^+$

Mi serve, tra le BL, un oggetto che riconosca quale BL è a
potenziale maggiore o minore. \Rightarrow metto un MULTIVIBRATORE BISTABILE
che, tra l'altro, riesce a riportare a 0 o V_{DD} le BL.

Per leggere il contenuto della cella devo:

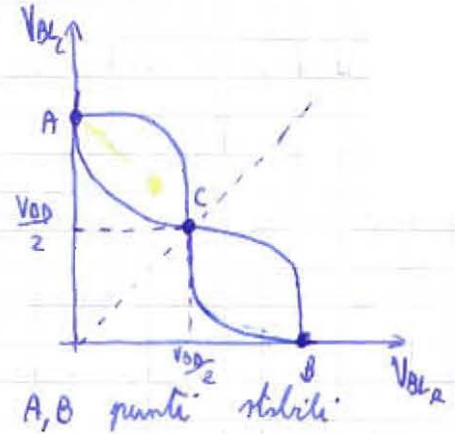
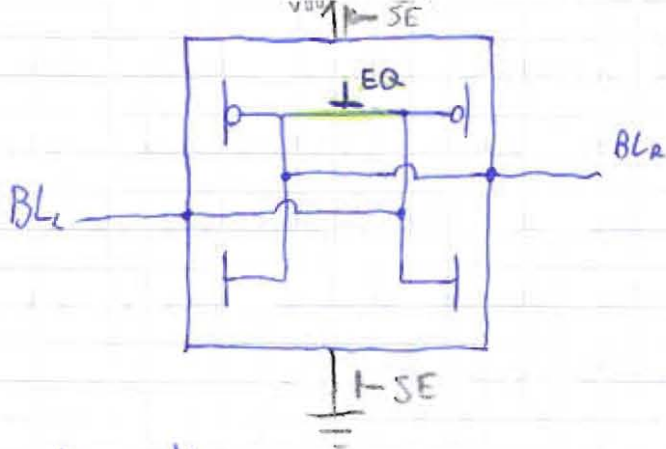
1) - portare le BL allo stesso valore (EQUALIZZAZIONE) } fase di
- precaricare le celle dummy a $\frac{V_{DD}}{2}$ (PRECARICA) } EQUALIZZAZIONE / PRECARICA

2) mettere BL_R e BL_L in alta impedenza, attivare le WL della cella
che voglio leggere e il DS della cella opposta (fase di LETTURA)

3) leggere lo sbilanciamento e rigenerare il segnale (fase di RIGENERAZIONE)

Il contenuto della cella è stato distrutto dalla redistribuzione di carica,
ma posso sfruttare la rigenerazione per ricaricare il contenuto della
cella.

Tra le BL metto un Sense Amplifier che mi fa tutte queste
operazioni, gestendo le varie fasi.



In C, $V_{BL1} = V_{BL2}$
 Se $\beta_n = \beta_p$ e $V_{tn} = |V_{tp}|$, $C \left(\frac{V_{DD}}{2}, \frac{V_{DD}}{2} \right)$

Le ricerca ~ per lavorare il multivibratore ottengo una equalizzazione che precisava. Per farlo, devo cortocircuitare BL_1 e BL_2 in modo che siano allo stesso potenziale, ma solo quando è necessario. Invece un interruttore \Rightarrow MOS

Fase di lettura: devo spegnere il SA in modo che BL_1 e BL_2 siano H.1
 SE \rightarrow Sense amplifier Enable

Uso un p-mos per il PU perché così non perdo la soglia.

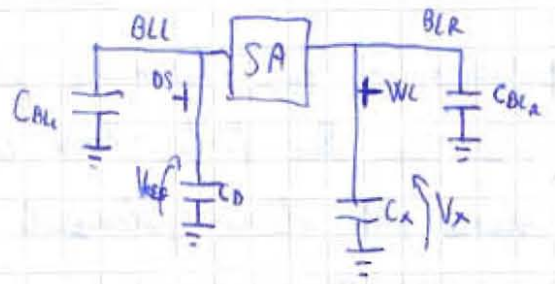
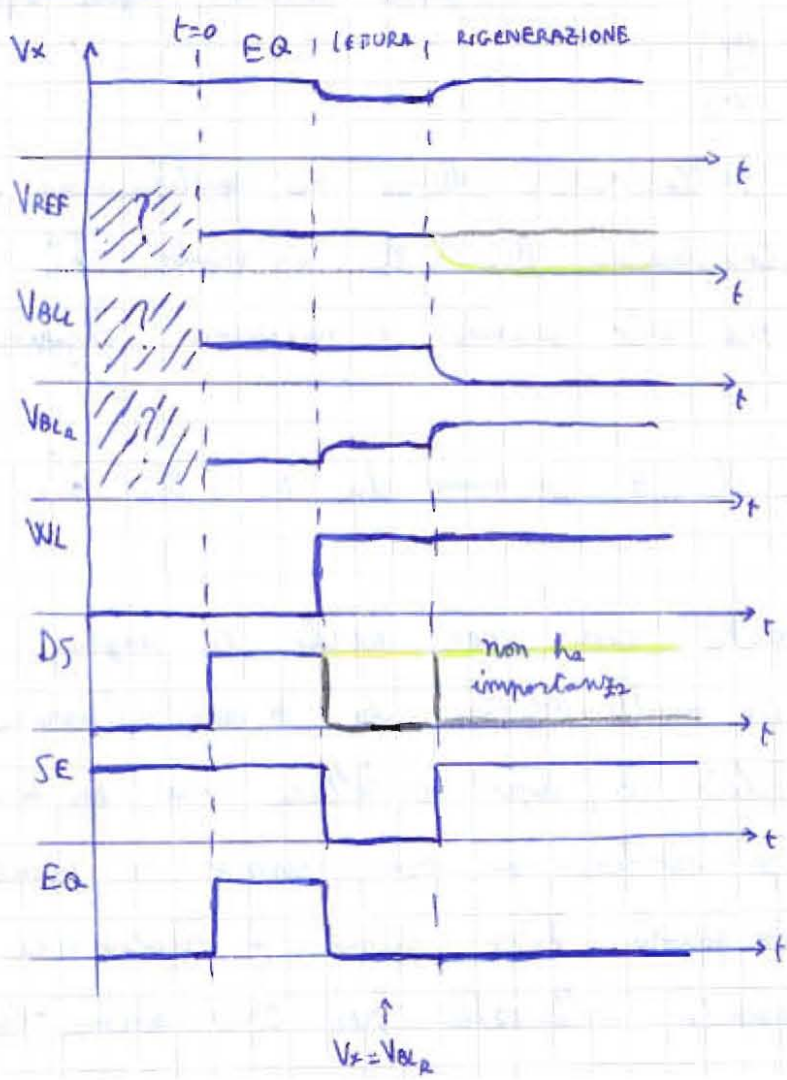
Fase di rigenerazione: questo è un multivibratore che si può trovare in due punti stabili. È abilitato SE, dopo la lettura sarà in un punto non di equilibrio, ma si porterà a un punto di equilibrio. Tenendo abilitata WL anche in questa fase ricerca e rigenera anche quello che era memorizzato nella cella per t_{CO} prima della ridistribuzione di carica.

Ogni fase è molto veloce, ma dato che la lettura è passiva in tre fasi la DRAM è più lenta delle SRAM, ma più piccola.

La memoria cache è statica e non dinamica. Il problema delle DRAM è che, essendo l'informazione delle celle memorizzata in un condensatore, dopo un po' si scarica se non la leggo per un po'. Per risolvere questo problema, periodicamente attivo una fase di REFRESH che mi legge tutta la memoria per rigenerarla.

Questa operazione è asincrona del processore. alcune volte, quindi, la memoria non è disponibile. Ma non posso permetterlo per una memoria che si interfaccia con la CPU direttamente come la cache. È la CPU che deve decidere quando inviare dati, non la memoria! Quindi, non uso DRAM per la cache.

CICLO DI LETTURA

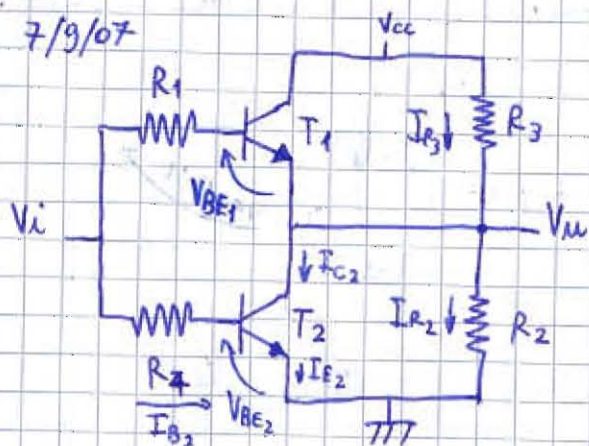


- V_{DD} ———
- $V_{DD}/2$ ———
- 0 ———
- / DS delle BL stesse
- / DS delle BL opposte
- Supponiamo di leggere dalle BLR
- / DS lo metto basso
- / DS lo lascio alto

ESERCITAZIONI

06/05/09

7/9/07



- $V_{CC} = 5V$
- $\beta_F = 100$
- $R_1 = 7k\Omega$
- $R_3 = 500\Omega$
- $R_4 = 5k\Omega$

1) Determinare R_2 in modo tale che alla soglia logica

$$A_v \Big|_{V_i = V_{LT}} = -8$$

2) Determinare le caratteristiche statiche $V_u(V_i)$, per $0 < V_i < V_{CC}$

1) alla soglia logica $V_i = V_u = V_{LT}$

$$V_{BE} = V_B - V_E = V_u - V_i = 0 < V_\gamma \Rightarrow \boxed{T_1 \text{ OFF}} \Rightarrow I_{B1} = I_{C1} = I_{E1} = 0$$

BJT	OFF	$V_{BE} < V_\gamma$	$I_B = I_C = I_E = 0$
	AD	$V_{BE} = V_\gamma$	$I_C > 0, I_C = \beta_F I_B, V_{CE} > V_{CE_{SAT}}$
	SAT	$V_{BE} = V_\gamma$	$I_C < \beta_F I_B, V_{CE} = V_{CE_{SAT}}, I_B > 0$

T_2 ? Hp T_2 OFF $\rightarrow I_{B2} = I_{C2} = I_{E2} = 0$

$$I_{R3} = I_{R2} \quad V_u = \frac{V_{CC} \cdot R_2}{R_2 + R_3} = \text{COST.} \Rightarrow \text{derivata nulla rispetto a } V_i$$

$\hookrightarrow 0 \neq -8$ che è il mio obiettivo

$\Rightarrow T_2$ ON

$$\text{Hp: } T_2 \text{ SAT} \rightarrow V_{BE2} = V_\gamma \quad V_{CE} = V_{CE_{SAT}} \quad I_{B2} > 0 \rightarrow \frac{V_i - V_{BE2}}{R_4} > 0 \quad V_i > V_{BE2} = V_\gamma$$

\Rightarrow ma alla soglia logica $V_i = V_u = V_{LT} = V_{CE_{SAT}}$ ma $V_{CE_{SAT}} \text{ non è } > V_\gamma$

$\hookrightarrow \boxed{T_2 \text{ è in AD}}$

Calcolo le caratteristiche statiche. Ignoro T_1 .

$$I_{R3} = I_{R2} + I_{C2} \quad I_{R3} = \frac{V_{CC} - V_{CE}}{R_3} \quad I_{R2} = \frac{V_{CE}}{R_2} \quad \text{per } T_2 \text{ AO, } I_{C2} = \beta_F I_{B2}$$

$$I_{C2} = \beta_F \cdot \frac{V_i - V_{BE2}}{R_4} \quad \frac{V_{CC} - V_{CE}}{R_3} = \frac{V_{CE}}{R_2} + \beta_F \cdot \frac{V_i - V_{CE}}{R_4}$$

$$V_{CE} \left(\frac{1}{R_2} + \frac{1}{R_3} \right) = -\beta_F \frac{V_i - V_{CE}}{R_4} + \frac{V_{CC}}{R_3} \quad \text{derivando rispetto a } V_i$$

$$\frac{dV_{CE}}{dV_i} \left(\frac{1}{R_2} + \frac{1}{R_3} \right) = -\frac{\beta_F}{R_4} \quad A_{vV} \frac{R_3 + R_2}{R_2 R_3} = \frac{-\beta_F}{R_4} \quad \text{pongo } A_{vV} = -8$$

$$R_4 A_{vV} (R_3 + R_2) = -\beta_F R_2 R_3 \quad 5000 \cdot (-8) \cdot (500 + R_2) = -100 \cdot R_2 \cdot 500$$

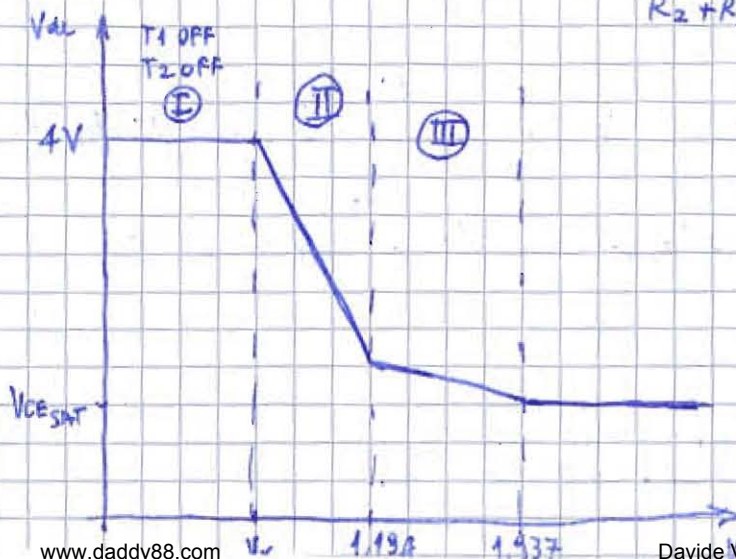
$$-2000 - 4R_2 = -5R_2 \quad \boxed{R_2 = 2000 \Omega} \quad A_{vV} = \frac{-\beta_F / R_4}{\frac{1}{R_2} + \frac{1}{R_3}}$$

2) T_2 OFF per $V_{BE2} < V_{BE}$ $I_{B2} = I_{C2} = I_{E2} = 0$ REG I
 T_1 OFF per $V_{BE1} < V_{BE}$

$$V_{BE2} = V_i - R_4 I_{B2} = V_i \Rightarrow T_2 \text{ OFF per } V_i < V_{BE}$$

Se T_2 OFF, anche T_1 lo sarà perché $V_{CE} > 0$ e $V_{BE1} = V_i - V_{CE} < V_{BE}$
 dato che $V_i < V_{BE}$

$$T_1 \text{ OFF} \leftarrow T_2 \text{ OFF} \Rightarrow V_{CE} = \frac{R_2 \cdot V_{CC}}{R_2 + R_3} = 4V \quad \left. \begin{array}{l} V_{B1} = V_i \\ V_{E1} = V_{CE} \end{array} \right\} V_{BE1} = V_i - 4V < V_{BE}$$



$V_i > V_Y$ REGIONE II

T_2 AD, T_1 OFF

T_2 AD perché al confine $V_u = 4V > V_{CE\text{SAT}}$

$$\begin{cases} I_{R_3} = I_{R_2} + I_{C_2} \\ V_{BE_2} = V_Y \end{cases} \quad \frac{V_{CC} - V_u}{R_3} = \frac{V_u}{R_2} + \beta_F \frac{V_i - V_Y}{R_4}$$

$I_{C_2} = \beta_F I_{B_2}$

$V_u = 10 - 8V_i$

Opp, o T_1 ON o T_2 SAT

$V_{BE_1} > V_Y$ / $V_{CE_2} \leq V_{CE\text{SAT}}$

a) $V_{BE_1} < V_Y$ (T_1 rimane OFF) $I_{B_1} = 0 \Rightarrow V_i = V_{BE_1}$

$V_{E_1} = V_u = 10 - 8V_i$

$V_{BE_1} = V_i - V_u = V_i - 10 + 8V_i = 9V_i - 10 < V_Y \Rightarrow V_i < 1,194V$

T_1 ON quando $V_i > 1,194V$

b) $V_{CE_2} > V_{CE\text{SAT}}$ (T_2 rimane in AD)

$V_u = 10 - 8V_i > V_{CE\text{SAT}} = 0,2V \Rightarrow V_i < 1,225V$

T_2 SAT quando $V_i > 1,225V$

\Rightarrow prima T_1 ON.

T_1 ON $\Rightarrow T_1$ AD perché se fosse SAT $V_{CC} - V_{CE\text{SAT}} + V_Y > V_{CC}$ assurdo!

REG. III

T_1 AD

T_2 AD

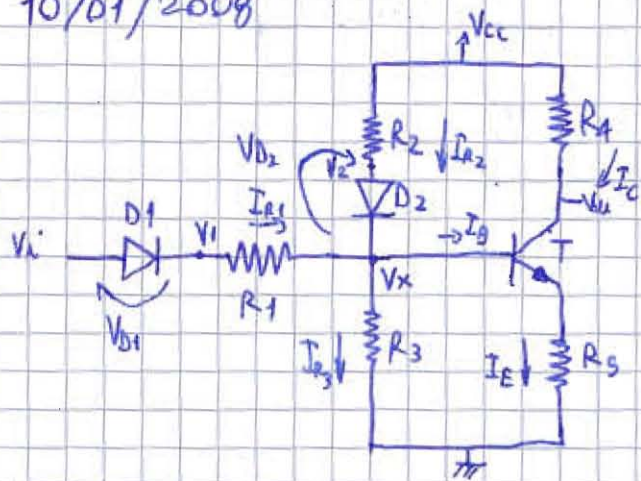
$$I_{R_3} + I_{E_1} = I_{R_2} + I_{C_2} \quad \frac{V_{CC} - V_u}{R_3} + I_{B_1} + I_{C_1} = \frac{V_u}{R_2} + I_{C_2}$$

$$\frac{V_{CC} - V_u}{R_3} + (\beta_F + 1) \cdot \frac{V_i - (V_u + V_Y)}{R_1} = \beta_F \frac{V_i - V_Y}{R_4} + \frac{V_u}{R_2} \quad V_u = 0,837 - 0,329V_i$$

Si rimane in III finché

$V_{CE_2} > V_{CE\text{SAT}} \Rightarrow V_u = 0,837 - 0,329V_i > V_{CE\text{SAT}} \Rightarrow V_i < 1,937V$

10/01/2008



$V_{CC} = 5V$

$\beta_F = 100$

$V_{CE_{SAT}} = 0,2$

$R_1 = 100 \Omega$

$R_2 = 10 K\Omega$

$R_3 = 2,5 K\Omega$

$R_4 = 2,5 K\Omega$

$R_5 = 500 \Omega$

Caratteristica statica ...?

all'inizio $V_i = 0$ e D1 OFF.

$V_{D1} < V_f$. \Rightarrow D2 OFF, anche T OFF perché dovremmo avere $I_B > 0$ e $V_x > V_{CE_{SAT}}$, che presupporrebbe una corrente negativa su R_3 , assurdo

$$I_{R2} = 0 = \frac{V_{CC} - V_2}{R_2} \Rightarrow V_2 = V_{CC}$$

se T OFF

$I_B = I_C = I_E = 0 \rightarrow I_{R4} = I_{R5} = 0$

$$\frac{V_{CC} - V_{Uc}}{R_4} = 0 \Rightarrow V_{Uc} = V_{CC}$$

$$I_{R3} = I_{R2} + I_{R4} - I_B = 0 \Rightarrow V_x = 0$$

$V_{D2} = V_2 - V_x = V_{CC} - 0 > V_f$ ASSURDO \Rightarrow D2 ON quando D1 OFF

T? Ho T OFF $\rightarrow I_B = I_C = I_E = 0 \rightarrow$ bilancia di corrente al nodo x

$I_{R2} = I_{R3}$ perché $I_B = 0$ e $I_{R4} = 0$ per Ho D1 OFF

$$\frac{V_{CC} - (V_x + V_2)}{R_2} = \frac{V_x}{R_3} \Rightarrow V_x = 0,85V = V_{BE} \text{ perché } I_E = 0 = \frac{V_5}{R_5} = 0 \Rightarrow V_5 = 0$$

$V_x > V_f \Rightarrow T$ ON

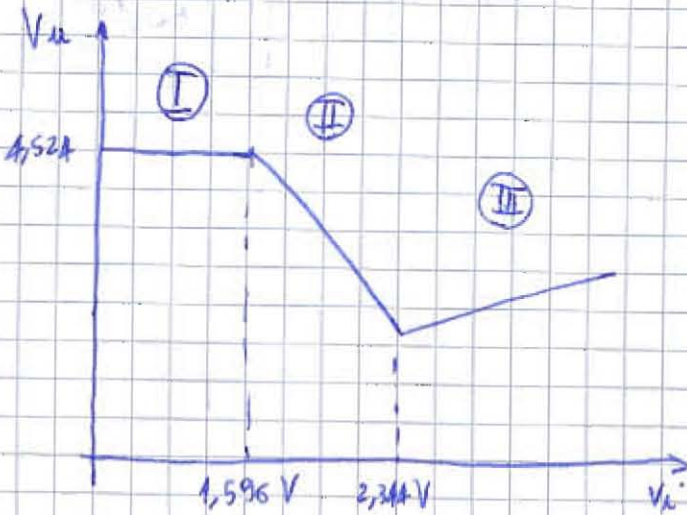
Condizione di partenza: D1 OFF, D2 ON, T ON

Ho: T ON $I_{R2} = I_{R3} + I_B$ $\frac{V_{CC} - (V_x + V_2)}{R_2} = \frac{V_x}{R_3} + \frac{I_E}{\beta_F + 1}$

dove $I_E = \frac{V_x - V_2}{R_5}$ $V_x = 0,846V > V_f$ OK

$$I_C = \frac{V_{CC} - V_{CE}}{R_A} = I_E \cdot \beta_F \cdot \frac{1}{\beta_F + 1} \quad \text{ma } V_X = 0,846 \text{ V} \Rightarrow V_{CE} = 4,524 \text{ V}$$

$$V_{CE} = V_{CE} - V_S = V_{CE} - (V_X - V_Y) = 4,524 - 0,846 + 0,75 = 4,428 \text{ V} > V_{CE_{SAT}} \quad \text{OK T.A.D}$$



rimango in

Ⓘ $V_{D1} < V_Y$

se D_1 OFF, $I_{R1} = 0 = \frac{V_Y - V_X}{R_1}$

$\Rightarrow V_Y = V_X = 0,846 \text{ V}$

$V_{D1} = V_i - V_Y = V_i - V_X < V_Y$

$\Rightarrow V_i < V_Y + V_X = 0,75 + 0,846 = 1,596 \text{ V}$

ⓓ D_1 ON
 D_2 ON
T AD

$I_{R2} + I_{R1} = I_{R3} + I_B$

$I_C = \frac{I_E}{\beta_F + 1}$

... $V_X = -0,671 + 0,951 V_i$

$V_{CE} = 12,035 - 4,706 V_i$

Dopo, o T SAT o D_2 OFF

sostituisco a

T AD finché $V_{CE} > V_{CE_{SAT}}$

D_2 ON finché $I_{D2} = I_{R2} > 0$

V_X quanto trovato

$V_{CE} - V_S = V_{CE} - (V_X - V_Y) > V_{CE_{SAT}}$

$I_{D2} = I_{R2} = \frac{V_{CC} - (V_X + V_Y)}{R_2} > 0$

$V_i < 2,344 \text{ V}$

$V_i < 5,22 \text{ V}$ (sempre!)

avviene prima

ⓓ D_1 ON, D_2 ON, T SAT

$V_{CE} = V_{CE} - V_S = V_{CE_{SAT}}$

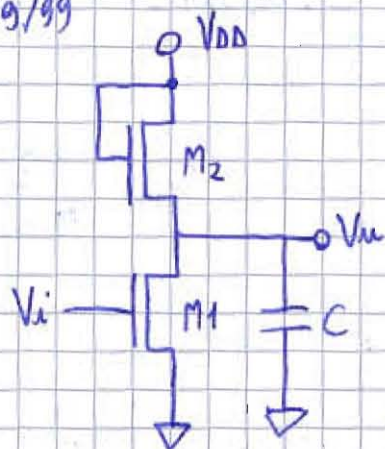
$I_C = \frac{V_{CC} - (V_X - V_Y + V_{CE_{SAT}})}{R_A}$

$I_E = \frac{V_X - V_Y}{R_5}$

$\left\{ \begin{array}{l} I_{R2} + I_{R1} = I_B + I_{R3} \\ V_X = V_{CE_{SAT}} + V_Y \end{array} \right.$

$\Rightarrow V_{CE} = -0,810 + 0,775 V_i$

14/05/09



$$V_{T1} = V_{T2} = V_T = 0,8 \text{ V}$$

$$t_{PLH} = 20 \text{ ns}$$

$$\text{escursione} = 4 \text{ V}$$

$$C = 0,1 \text{ pF}$$

$$V_{DD} = 5 \text{ V}$$

$$\beta_1 = ?$$

$$\beta_2 = ?$$

VALENTINA BIANCHI

valentina.bianchi@nemo.unipr.it

6049

INVERTITORE NMOS A CARICO SATURATO

MODELLI N-MOS

① OFF $I_D = 0$, $V_{GS} < V_T$

② SAT $I_D = \frac{\beta_n}{2} (V_{GS} - V_T)^2$ $V_T < V_{GS} < V_{DS} + V_T$

③ LIN $I_D = \beta_n \left[(V_{GS} - V_T)V_{DS} - \frac{V_{DS}^2}{2} \right]$ $V_{GS} > V_{DS} + V_T$

$$\beta_n = \mu_n \cdot C_{ox} \cdot \frac{W}{L}$$

t_{PHL} = tempo che l'uscita impiega per andare da V_H a $\frac{V_H + V_L}{2}$

t_{PLH} = " " " " " " " " V_L a $\frac{V_H + V_L}{2}$

$V_H - V_L = \text{escursione}$

Calcolo V_H :

suppongo $V_i = V_L < V_T$ (HP) $\rightarrow M_1$ OFF $\rightarrow I_{D1} = 0$ $I_{D1} = I_{D2} = 0$

M OFF $\Rightarrow I_D = 0$ ma non viceversa

$$M_2 \text{ SAT (HP)} \rightarrow I_{D2} = \frac{\beta_2}{2} (V_{GS} - V_T)^2 = 0 \Rightarrow V_{GS} = V_T$$

$$V_{GS} = V_{DS} = V_T \quad V_{DD} - V_{DS_2} - V_m = 0 \quad V_m = V_{DD} - V_{DS_2} = 5 - 0,8 = 4,2 \text{ V}$$

$$V_H = 4,2 \text{ V}$$

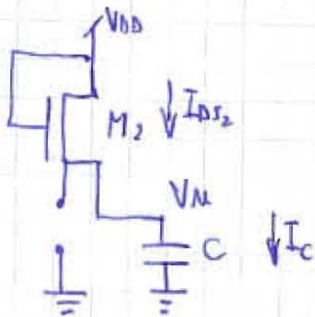
$$V_L = -\text{excursione} + V_H = 4,2 - 4 = 0,2 \text{ V}$$

$$t_{PLH} = ?$$

Hp: $t < 0 \quad V_i = V_H \text{ e } V_m = V_L$

$t = 0^+ \quad V_i = V_L \text{ e } V_m = V_L$

M1 OFF perché $V_i = 9,2 < V_T = 0,8$



$$I_{D2} = I_C = C \cdot \frac{dV_m}{dt}$$

Hp: M2 SAT

$$I_{D2} = \frac{\beta_2}{2} (V_{GS} - V_T)^2 = \frac{\beta_2}{2} (V_{DD} - V_m - V_T)^2$$

non può essere off perché deve essere ID20

$$\frac{\beta_2}{2} (V_{DD} - V_m - V_T)^2 = C \cdot \frac{dV_m}{dt}$$

$$\int_0^{t_{PLH}} \frac{2C}{\beta_2} \frac{dV_m}{(V_{DD} - V_m - V_T)^2} = \int_{V_L}^{(V_H + V_L)/2} dt$$

$$t_{PLH} = \frac{2C}{\beta_2} \left[\frac{1}{V_{DD} - V_m - V_T} \right]_{V_L}^{(V_H + V_L)/2} = \frac{2C}{\beta_2} \left[\frac{1}{4,2 - \frac{V_H + V_L}{2}} - \frac{1}{4,2 - V_L} \right]$$

$$= \frac{2C}{\beta_2} \left[\frac{1}{2} - \frac{1}{4} \right] \Rightarrow 40 \cdot 10^{-9} = \frac{2 \cdot 0,1 \cdot 10^{-12}}{\beta_2} \cdot \frac{1}{4}$$

$$\beta_2 = \frac{0,1 \cdot 10^{-12}}{40 \cdot 10^{-9}} = 2,5 \mu\text{A/V}^2$$

Per trovare β_1 , rimpio $V_i = V_H$ e $V_m = V_L$

Hp: M1 LIN $V_{GS} > V_{DS} + V_T \quad 4,2 > 0,2 + 0,8$ verificata

Hp M2 SAT $V_T < V_{GS} < V_{DS} + V_T$

$$I_{D1} = I_{D2}$$

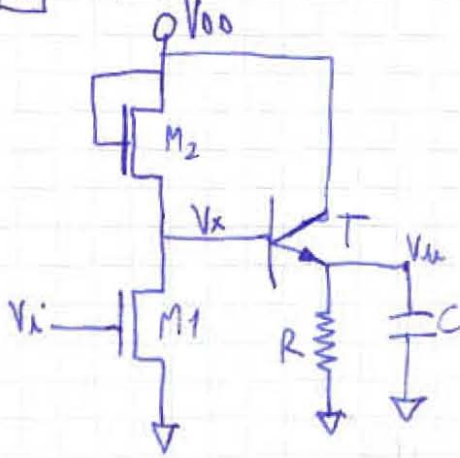
$$\beta_1 \left[(V_{GS1} - V_T) V_{DS1} - \frac{V_{DS1}^2}{2} \right] = \frac{\beta_2}{2} (V_{GS2} - V_T)^2$$

$$\beta_1 = \frac{\beta_2 (V_{GS} - V_T)^2}{2 \left[(V_{GS} - V_T) V_{DS} - \frac{V_{DS}^2}{2} \right]}$$

$V_{GS1} = V_i$
 $V_{DS1} = V_m$
 $V_{GS2} = V_{DD} - V_i$

$$\beta_1 = \frac{\beta_2 (V_{DD} - V_{M1} - V_T)^2}{2 \left[(V_{i1} - V_T) V_{M1} - \frac{V_{M1}^2}{2} \right]} = \frac{\beta_2 (V_{DD} - V_L - V_T)^2}{2 \left[(V_{H1} - V_T) V_L - \frac{V_L^2}{2} \right]} = \frac{2,5 \cdot 10^{-6} (5 - 0,2 - 0,8)^2}{2 \left[(4,2 - 0,8) \cdot 0,2 - \frac{0,2^2}{2} \right]} = 30,3 \frac{\mu A}{V^2}$$

2) 29/02/2000



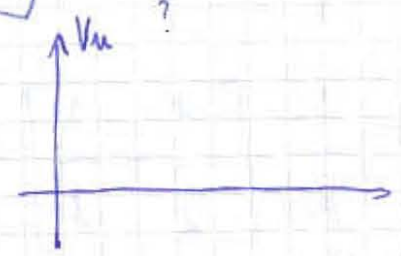
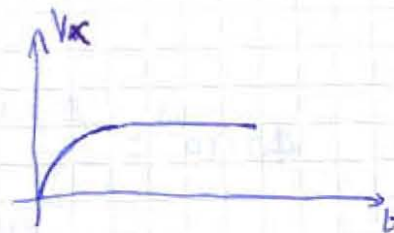
$V_{T1} = V_{T2} = 0,8 V$ $V_{\gamma} = 0,75 V$
 $\beta_1 = 2 \text{ mA/V}^2$ $\beta_F = 100$
 $\beta_2 = 250 \mu A/V^2$ $t_{PLH} = ?$
 $R = 1 \text{ k}\Omega$
 $C = 5 \text{ pF}$
 $V_{DD} = 5 V$

MODELLO BJT

① OFF $V_{BE} < V_{\gamma}$ $I_C, I_B, I_E = 0$

② REGIONE NORMALE $V_{BE} = V_{\gamma}$ $I_C = \beta_F \cdot I_B$ $I_C > 0$

③ SATURAZIONE $I_C < \beta_F I_B$ $V_{CE} = V_{CE SAT}$ $V_{BE} = V_{\gamma}$



①: $V_i = V_H$ $V_x \downarrow$ $V_x < V_{\gamma} \rightarrow T \text{ OFF (Hp)} \rightarrow I_E = 0$ $V_m = R \cdot I_E = 0$
 perché in condizioni statiche la capacità è un circuito aperto.

② $V_i = V_L = 0 \rightarrow M_1 \text{ OFF} \rightarrow V_x \uparrow \rightarrow T \text{ ON}$
 $\hookrightarrow M_2 \text{ SAT}$

Hp: $M_2 \text{ SAT}$ T. R.N.

$$I_{D2} = I_B \quad m_2 \quad I_{D2} = \frac{\beta_2}{2} (V_{GS2} - V_T)^2 = \frac{\beta_2}{2} (V_{DD} - V_x - V_T)^2 = \frac{\beta_2}{2} (V_{DD} - V_{\gamma} - V_m - V_T)^2$$

$$I_B = I_E \cdot \frac{1}{\beta_F + 1} = \frac{V_m}{R(\beta_F + 1)}$$

$$\frac{\beta_2}{2} (V_{DD} - V_Y - V_{th} - V_T)^2 = \frac{V_{th}}{R(\beta_F + 1)}$$

$$K_1 = V_{DD} - V_Y - V_T = 3,45 \text{ V}$$

$$\frac{\beta_2}{2} (K_1 - V_{th})^2 = \frac{V_{th}}{R(\beta_F + 1)}$$

$$K_1^2 - 2K_1 V_{th} + V_{th}^2 = \frac{2V_{th}}{R\beta_2(\beta_F + 1)}$$

$$K_2 = R\beta_2(\beta_F + 1) = 29,25$$

$$K_1^2 - 2\left(K_1 + \frac{1}{K_2}\right)V_{th} + V_{th}^2 = 0$$

$$V_{th,1,2} = \frac{K_1 + \frac{1}{K_2} \pm \sqrt{\left(K_1 + \frac{1}{K_2}\right)^2 - K_1^2}}{K_1^2}$$

$$= \frac{3,45 + 0,040 \pm \sqrt{3,49^2 - 3,45^2}}{3,45^2} = \frac{3,49 \pm 0,527}{11,90} = \begin{cases} 4,01 \text{ V} \\ 2,96 \text{ V} \end{cases}$$

$$V_{GS_2} = V_{DS_2} = V_{DD} - V_{th} - V_Y = \begin{cases} 1) 0,23 \text{ V} < V_T \text{ non acc. perché } H_p \text{ } M_2 \text{ SAT} \\ 2) 1,28 \text{ V} > V_T \text{ accettabile} \end{cases}$$

$$\Rightarrow V_H = 2,96 \text{ V}$$

$I_E > 0$ perché $V_{th} > 0 \Rightarrow I_C \approx I_E > 0 \Rightarrow$ verificata H_p T.R.N.

① Verifico $V_L = 0$

$V_i = V_H$ M_1 ON, M_1 LIN, M_2 SAT, T OFF

$$I_{D1} = I_D + I_{D2} = I_{D2}$$

$$\beta_1 \left[(V_i - V_T) V_x - \frac{V_x^2}{2} \right] = \frac{\beta_2}{2} (V_{DD} - V_x - V_T)^2$$

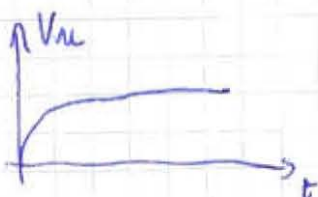
$$\beta_1 \left[(V_H - V_T) V_x - \frac{V_x^2}{2} \right] = \frac{\beta_2}{2} (V_{DD} - V_x - V_T)^2$$

$$V_x \begin{cases} 4,32 \text{ V } V_{GS_2} = V_{DS_2} = V_{DD} - V_x = 0,68 \text{ N.A.} \\ 0,45 \text{ V } V_{DS_2} = V_{DD} - V_x = 4,55 \text{ V} > V_T \end{cases}$$

$V_x = 0,45 \text{ V} < V_Y = 0,75 \text{ V} \Rightarrow H_p$ T OFF verificata

(H_p) VERIFICATA M₂ SAT

(M₁) VERIFICATA M₁ LIN



$$t < 0 \quad V_i = V_H = 2,96$$

$$t = 0^+ \quad V_i = V_L = 0 \rightarrow M_1 \text{ OFF}$$

$$V_{th} = V_L = 0 \quad M_2 \text{ SAT}$$

T R N

$$I_E = I_R + I_C = \frac{V_u}{R} + C \frac{dV_u}{dt}$$

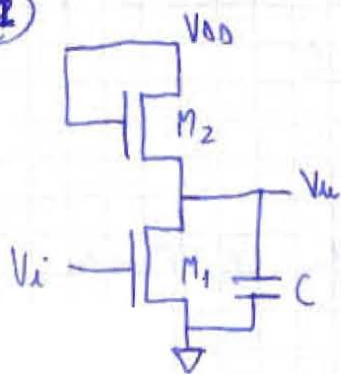
$$I_B = \frac{I_E}{\beta_F + 1} = I_{D2} = \frac{\beta_2}{2} (V_{DD} - V_Y - V_u - V_T)^2$$

$$\left(\frac{1}{\beta_F + 1} \right) \left(\frac{V_u}{R} + C \frac{dV_u}{dt} \right) = \frac{\beta_2}{2} (V_{DD} - V_Y - V_u - V_T)^2 \dots$$

$K_T = V_{DD} - V_Y - V_T$
 $K_2 = \beta_2 (\beta_F + 1)$

$$\int_0^{t_{PLH}} dt = \int_0^{V_{u,AB}} C \frac{dV_u}{\frac{K_2}{2} V_u^2 - (K_2 K_1 + \frac{1}{R}) V_u - \frac{K_1^2 K_2}{2}} \dots t_{PLH} = 91,4 \text{ pS}$$

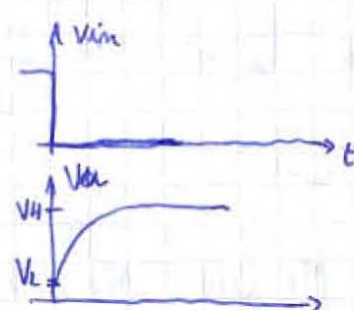
2



$V_T = 0,8 \text{ V}$
 $C = 5 \text{ pF}$
 $\beta_1, \beta_2 ?$
 $t_{PLH} = 15 \text{ ns}$
 $V_{OL} = V_{IL} = 0,2 \text{ V}$
 $V_{DD} = 5 \text{ V}$

20/05/09

Invertitore n-MOS a carico saturato



Calcolo V_H e V_L

$V_H = V_{DD} - V_T = 4,2 \text{ V}$ per una parte di questo tipo

$V_L = 0,2 \text{ V}$ per ipotesi

$t < 0$ $V_i = V_H$, $V_u = V_c = V_L$

$t = 0^+$ $V_i = V_L$, $V_u = V_c = V_L$ $V_i = V_{GS1} = V_u = 0,2 \text{ V} < V_T = 0,8 \text{ V}$ M_1 OFF

$$I_{D1} + I_C = I_{D2} \quad I_C = C \frac{dV_u}{dt} = I_{D2} = \frac{\beta_2}{2} (V_{GS2} - V_T)^2$$

H_p M_2 ON \rightarrow M_2 SAT $C \frac{dV_u}{dt} = \frac{\beta_2}{2} (V_{DD} - V_u - V_T)^2$

$$C \frac{dV_u}{dt} = \frac{\beta_2}{2} (V_{DD} - V_u - V_T)^2 \quad \int_0^{t_{PLH}} dt = \frac{2C}{\beta_2} \frac{dV_u}{(V_{DD} - V_u - V_T)^2}$$

$$t_{PLH} = \frac{2C}{\beta_2} \left[\frac{1}{V_{DD} - V_T - V_u} \right]_{V_L}^{\frac{V_L + V_H}{2}} \rightarrow t_{PLH} = \frac{2C}{\beta_2} \left[\frac{1}{V_{DD} - V_T - \frac{V_L + V_H}{2}} - \frac{1}{V_{DD} - V_T - V_L} \right]$$

$$\beta_2 = \frac{2C}{t_{PLH}} \cdot 0,25 = 166,6 \frac{\mu A}{V^2}$$

$$V_{GS2} = V_{DD} - V_u = 4,8V > V_T = 0,8V$$

$\hookrightarrow M_2$ ON verificato

Valutiamo il caso $V_i = V_H$ e $V_u = V_L$ in condizioni statiche ($t < 0$)

Hp: M_1 LIN, M_2 SAT

$I_{D1} = I_{D2}$ (I_C non esiste in condizioni statiche)

$$\beta_1 \left[(V_{GS1} - V_T) V_{DS1} - \frac{V_{DS1}^2}{2} \right] = \frac{\beta_2}{2} (V_{GS2} - V_T)^2$$

$$\beta_1 \left[(V_i - V_T) V_u - \frac{V_u^2}{2} \right] = \frac{\beta_2}{2} (V_{DD} - V_u - V_T)^2$$

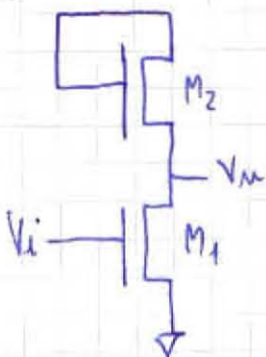
$$\beta_1 \left[(V_H - V_T) V_L - \frac{V_L^2}{2} \right] = \frac{\beta_2}{2} (V_{DD} - V_L - V_T)^2 \quad \beta_1 = \frac{\frac{\beta_2}{2} (V_{DD} - V_L - V_T)^2}{(V_{DD} - V_T) V_L - \frac{V_L^2}{2}} = 2,02 \frac{mA}{V^2}$$

Verifico le ipotesi

M_1 LIN ok $V_{GS1} > V_{GS1} + V_T$

$V_i > V_u + V_T \rightarrow V_H > V_u + V_T \rightarrow V_{DD} - V_T = 4,2V > 1V$ VERO

②



$$V_T = 1,2V$$

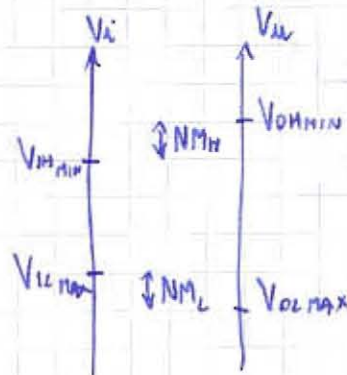
$$\beta_{1,2} = \beta' \left(\frac{W}{L} \right)_{1,2}$$

$$NM_L = 0,5V$$

$$P_S = 1mW$$

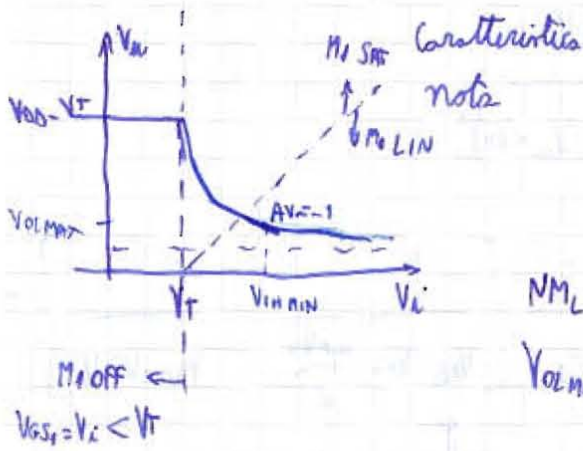
$$\beta' = 1 \frac{mA}{V^2}$$

$$V_{DD} = 5V$$



$$NM_L = V_{IL_{max}} - V_{OL_{max}}$$

$$NM_H = V_{OH_{min}} - V_{IH_{min}}$$



$$V_{u,MIN} = V_{DD} - V_T$$

$$V_{u,MAX} = V_T = 1,2V$$

$$NM_L = V_{u,MAX} - V_{u,MIN} = 0,5$$

$$V_{u,MIN} = V_{u,MAX} - 0,5 = 1,2V - 0,5V = 0,7V$$

Hip: M_1 LIN, M_2 SAT $\beta_1 \left[(V_{GS1} - V_T) V_{DS1} - \frac{V_{DS1}^2}{2} \right] = \frac{\beta_2}{2} (V_{GS2} - V_T)^2$

$$\beta_1 \left[(V_i - V_T) V_u - \frac{V_u^2}{2} \right] = \frac{\beta_2}{2} (V_{DD} - V_u - V_T)^2$$

$$\frac{2\beta_1}{\beta_2} \left[(V_i - V_T) V_u - \frac{V_u^2}{2} \right] = (V_{DD} - V_u - V_T)^2 \quad \Leftrightarrow \quad 2\theta \left[(V_i - V_T) V_u - \frac{V_u^2}{2} \right] = (V_{DD} - V_u - V_T)^2$$

$$A_v = \frac{dV_u}{dV_i}$$

derivato

$$2\theta \left[V_u + (V_i - V_T) \frac{dV_u}{dV_i} - V_u \cdot \frac{dV_u}{dV_i} \right] = -2(V_{DD} - V_u - V_T) \cdot \frac{dV_u}{dV_i}$$

impongo $\frac{dV_u}{dV_i} = -1$

$$\theta [V_u - V_i + V_T + V_u] = V_{DD} - V_u - V_T$$

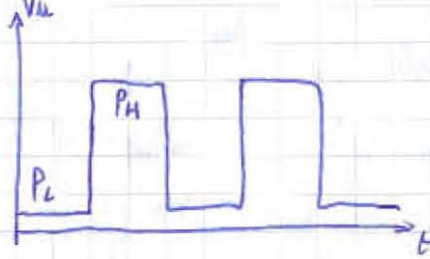
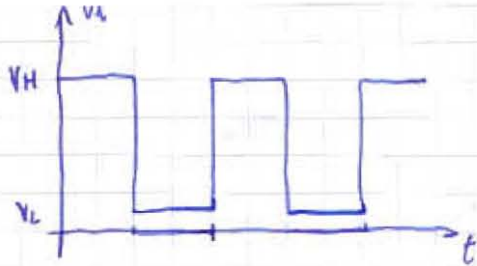
$$\theta = \frac{V_{DD} - V_u - V_T}{2V_u - V_i + V_T} \quad V_u = V_{u,MAX} \quad \text{e} \quad V_i = V_{i,MIN}$$

$$\begin{cases} 2\theta \left[(V_i - V_T) V_u - \frac{V_u^2}{2} \right] = (V_{DD} - V_u - V_T)^2 & \frac{V_{DD} - V_u - V_T}{2V_u + V_T - V_i} \left[2(V_i - V_T) V_u - V_u^2 \right] = (V_{DD} - V_u - V_T)^2 \\ \theta = \frac{V_{DD} - V_{u,MAX} - V_T}{2V_{u,MAX} - V_{i,MIN} + V_T} & 2(V_i - V_T) V_u - \frac{V_u^2}{2} = (V_{DD} - V_u - V_T)(2V_u + V_T - V_i) \end{cases}$$

risolto $V_i = V_{i,MIN} = 2,27V$

Verifico poi le ipotesi...

$$\theta = \frac{V_{DD} - V_{u,MAX} - V_T}{2V_{u,MAX} + V_T - V_{i,MIN}} = 9,39 = \frac{\beta_1}{\beta_2}$$



Potenza statica → uscita ideale

- nessuna capacità
- ingresso ideale

$$P_m = \frac{1}{T} \int_0^T P(t) dt$$

in un periodo avrà due casi: P_L e P_H

$$P_m = \frac{1}{T} \left[\int_0^{T/2} P_L dt + \int_{T/2}^T P_H dt \right] = \frac{P_L}{2}$$

$$P_H = V_{DD} \cdot I_{D0} = V_{DD} \cdot I_{D2} = V_{DD} \cdot I_{D1} = 0$$

nessun C in uscita
 $V_i = V_L$
 $M_1 \text{ off} \rightarrow I_{D1} = 0$

Per calcolare P_L mi metto nel punto in cui $V_i = V_L$

Hp: M_2 SAT M_1 LM

$$\beta_1 \left[(V_{GS1} - V_T) V_{DS1} - \frac{V_{DS1}^2}{2} \right] = \frac{\beta_2}{2} (V_{GS2} - V_T)^2$$

$$\theta \left[2(V_i - V_T) V_{uL} - V_{uL}^2 \right] = [V_{DD} - V_{uL} - V_T]^2 \quad V_{uL} = V_L \quad V_i = V_H = V_{DD} - V_T$$

$$\theta \left[2(V_{DD} - V_T - V_T) V_L - V_L^2 \right] = [V_{DD} - V_L - V_T]^2 \quad \text{ricavo } V_L = \begin{cases} 5,16 & \text{non acc. perché } > V_{DD} \\ 0,27 & \end{cases}$$

$$P = \frac{1}{2} P_L = 1 \text{ mW}$$

$$\frac{1}{2} V_{DD} \cdot I_{D0} = 1 \text{ mW} \quad I_{D0} = 400 \mu\text{A}$$

Impongo $I_{D0} = I_{D1} = I_{D2}$

$$I_{D0} = \frac{\beta_2}{2} (V_{DD} - V_{uL} - V_T)^2 = 400 \mu\text{A}$$

$$\text{Ricavo } \beta_2 = \frac{800 \mu\text{A}}{(5 - 0,27 - 0,2)^2} = 64 \frac{\mu\text{A}}{\text{V}^2}$$

fattore di forma

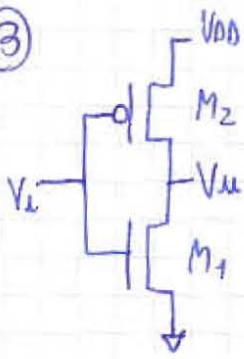
$$\left(\frac{W}{L}\right)_1 = \frac{\beta_1}{\beta'} = 0,6$$

$$\beta_1 = \theta \cdot \beta_2 = 600,96 \frac{\mu\text{A}}{\text{V}^2}$$

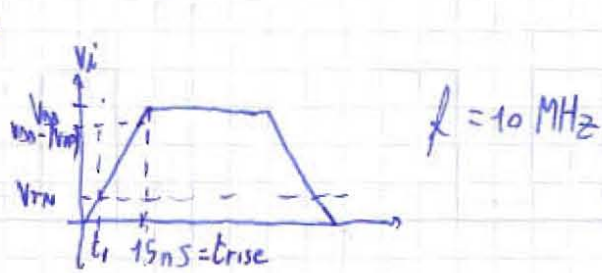
$$\left(\frac{W}{L}\right) = \frac{\beta_{1,2}}{\beta'}$$

$$\left(\frac{W}{L}\right)_2 = \frac{\beta_2}{\beta'} = 64 \cdot 10^{-3}$$

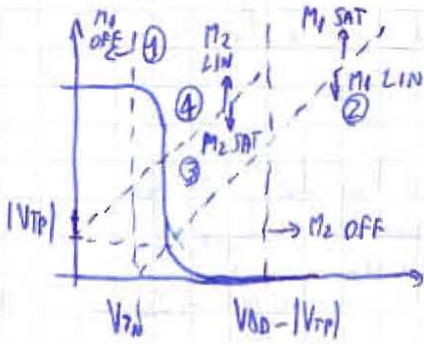
③



segnale logico $\frac{V_{DD}}{2}$
 $V_{Tn} = 1,2V$
 $V_{Tp} = -0,8V$
 $V_{DD} = 5V$
 $P_D = 10 \mu W$ potenza di costo circuito



segnale logico $\rightarrow V_i = V_u$



caratteristica statica

① $\begin{cases} V_{GS1} < V_T \\ V_i < V_T \end{cases}$

② $\begin{cases} V_{GS1} < V_{GS1} + V_T \\ V_i < V_u + V_T \rightarrow V_u > V_i - V_T \end{cases}$

③ $\begin{cases} V_{GS2} < |V_{TP}| \\ V_{DD} - V_i < |V_{TP}| \end{cases}$

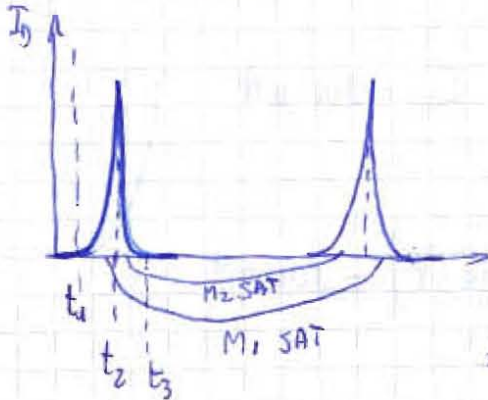
④ $\begin{cases} V_{GS2} < V_{SD2} + |V_{TP}| \\ V_u < V_i + |V_{TP}| \end{cases}$

Hp : M_1 SAT
 M_2 SAT

$I_{D1} = I_{D2}$

$\frac{\beta_1}{2} (V_{GS1} - V_T)^2 = \frac{\beta_2}{2} (V_{GS2} - |V_{TP}|)^2$

$\frac{\beta_1}{2} (V_i - V_T)^2 = \frac{\beta_2}{2} (V_{DD} - V_i - |V_{TP}|)^2$ $V_u = V_i = \frac{V_{DD}}{2}$ $\beta = \frac{\beta_1}{\beta_2} = 1,71$



$$P_m = \frac{1}{T} \left[\int_{t_1}^{t_2} V_{DD} \cdot \frac{I_{D1}}{I_{D1}} dt + \int_{t_2}^{t_3} V_{DD} \cdot I_{D2} dt \right] =$$

$$= \frac{2V_{DD}}{T} \left[\int_{t_1}^{t_2} \frac{\beta_1}{2} (V_i - V_T)^2 dt + \int_{t_2}^{t_3} \frac{\beta_2}{2} (V_{DD} - V_i - |V_{TP}|)^2 dt \right]$$

V_i dipende dal tempo

$V_i(t) = m \cdot t$ dove $m = \frac{V_{DD}}{t_{RISE}}$

$V_i(t) = \frac{V_{DD}}{t_{RISE}} \cdot t$ devo trovare $t_1, t_2, t_3 \rightarrow$ proporzioni

$t_1 :: t_{RISE} = V_{TN} : V_{DD}$ $t_1 = \frac{t_{RISE} \cdot V_{TN}}{V_{DD}}$ $t_2 = \frac{t_{RISE}}{2}$ $t_3 = \frac{(V_{DD} - |V_{TP}|) t_{RISE}}{V_{DD}}$

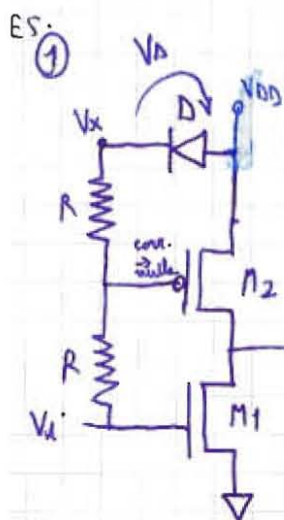
$$T = \frac{1}{f} = \frac{1}{10^7 \text{ Hz}} = 0,1 \mu\text{s} \dots$$

$$P_m = \frac{t_{\text{rise}}}{3T} \left[\beta_1 \left(\frac{V_{DD}}{2} - V_{Tn} \right)^3 + \beta_2 \left(\frac{V_{DD}}{2} - |V_{Tp}| \right)^3 \right] = A [B \cdot \beta_1 + C \beta_2] = 10 \mu\text{W}$$

$$\theta = \frac{\beta_1}{\beta_2} = 1,71$$

$$\beta_2 = \frac{P}{A} \cdot \frac{1}{\theta B + C} = 23,07 \mu\text{A/V}^2$$

$$\beta_1 = \theta \beta_2 = 39,45 \frac{\mu\text{A}}{\text{V}^2}$$



$$V_{Tn} = -V_{Tp} = V_T = 0,8 \text{ V}$$

$$\beta_n = \beta_p = 1 \text{ mA/V}^2$$

$$V_Y = 0,75 \text{ V}$$

$$V_u(V_i) = ?$$

$$M_1: V_{GS1} = V_i \quad \text{e} \quad V_{DS1} = V_u$$

$$\textcircled{1} M_1 \text{ OFF} \quad V_{GS1} < V_T \quad \text{cioè} \quad V_i < V_T$$

$$\textcircled{2} M_1 \text{ SAT} \quad V_{GS1} < V_{DS1} + V_T \quad \text{cioè} \quad V_i < V_u + V_T \quad V_u > V_i - V_T$$

D:

$$\textcircled{1} D \text{ OFF} \quad V_D < V_Y \quad \text{cioè} \quad V_{DD} - V_x < V_Y \quad V_x > V_{DD} - V_Y \quad \text{e} \quad V_x = V_i \text{ perche}$$

correnti tutte nulla $V_i > V_{DD} - V_Y$

$$M_2: V_{S2} = V_{DD} \quad \begin{cases} V_{DD} - V_D - 2R \cdot I - V_i = 0 \\ I = \frac{V_{G2} - V_i}{R} \end{cases} \Rightarrow V_{G2} = \frac{V_{DD} - V_D + V_i}{2}$$

$$V_{SG_2} = V_{S_2} - V_{G_2} = \frac{V_{DD} + V_D - V_i}{2}$$

$$V_{SD_2} = V_{DD} - V_{in}$$

① M_2 OFF

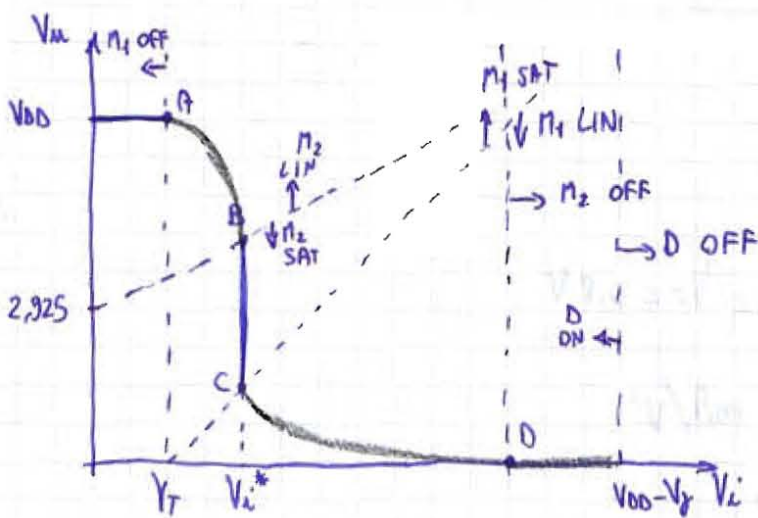
$$V_{SG_2} < |V_{TP}|$$

$$\stackrel{(Hp)}{\hookrightarrow} D \text{ ON} \rightarrow V_{SG_2} = \frac{V_{DD} + V_D - V_i}{2} < V_T \Rightarrow V_i > V_{DD} + V_D - 2V_T = 4$$

$$\hookrightarrow V_i < V_{DD} - V_T = 4,25$$

$$M_2 \text{ SAT.} \quad \text{ie } V_{SG_2} < V_{SD_2} + V_T \quad \text{cioè } \frac{V_{DD} + V_D - V_i}{2} < V_{DD} - V_{in} + V_T$$

$$V_{in} < \frac{V_i}{2} + 2,925 \text{ V}$$



Calcolo ora le intercelle:

① M_1 OFF, M_2 LIN, D ON

$$I_{O_1} = 0 = I_{O_2} = \beta_2 \left[(V_{SG_2} - V_T) V_{SD_2} - \frac{V_{SD_2}^2}{2} \right] = 0 \quad V_{SD_2} \left[(V_{SG_2} - V_T) - \frac{V_{SD_2}}{2} \right] = 0$$

$V_{SD_2} = 0$ OK verifica Hp regione lineare

$$V_{SG_2} - V_T - \frac{V_{SD_2}}{2} = 0 \quad \text{cioè } V_{SD_2} = 2(V_{SG_2} - V_T) \quad \text{IMPOS. perché in lineare } V_{SG} > V_{SD} + V_T$$

$$V_{SD_2} = 0 \Rightarrow V_{DD} - V_{in} = 0 \Rightarrow V_{in} = V_{DD}$$

1° punto di transizione A (V_T, V_{DD})

② M_1 SAT, M_2 SAT per il secondo punto di transizione

$$\frac{\beta_1}{2} (V_{GS_1} - V_T)^2 = \frac{\beta_2}{2} (V_{GS_2} - V_T)^2 \quad V_i = \frac{V_{DD} + V_D - V_i}{2} \quad V_i = \frac{V_{DD} + V_T}{3} = 1,9166 \text{ V}$$

Ma inseriamo questo valore in $V_{in} = \frac{V_i}{2} + 2,925 = 3,883 \text{ V}$

B(1,9166; 3,883) ③ poi inserisco V_i^* anche in $V_u = V_i - V_T = 1,1166$

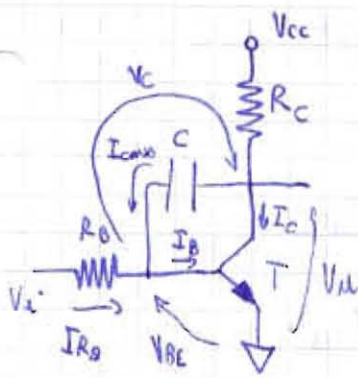
C(1,9166; 1,1166)

④ M_1 LIN, M_2 OFF

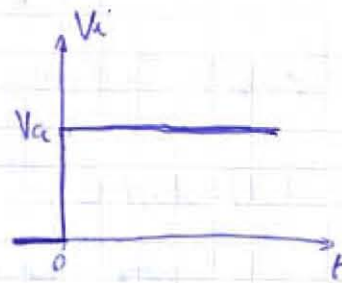
$I_{D2} = 0$
 $\begin{cases} I_{D1} = I_{D2} = 0 \\ M_1 \text{ LIN} \end{cases} \Rightarrow V_{DS1} = 0 \Rightarrow V_{DS1} = V_u = 0$

D(4,15; 0)

ESERCIZIO 2

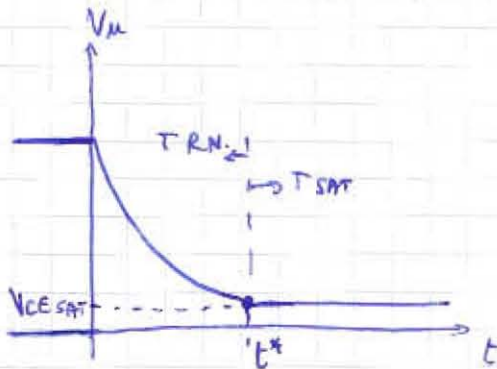


$V_T = 0,7 \text{ V}$
 $V_{CE_{SAT}} = 0,2 \text{ V}$
 $V_i(t) = \begin{cases} 0 & t < 0 \\ V_{CC} & t > 0 \end{cases}$
 $V_{CC} = 5 \text{ V}$
 $\beta_F = 100$
 $R_C = 1000 \Omega$
 $R_B = 10 \text{ k}\Omega$
 $C = 2 \text{ pF}$



$t < 0$ $V_i = 0$ HP T OFF
 $\cancel{I_{RB}} + \cancel{I_{C/NB}} = I_B \Rightarrow I_B = 0$
 T OFF cond. statiche
 $V_i - V_{BE} = 0$ $V_i < V_T$ HP OK!!

$V_{CC} - R_C I_C^0 = V_u \Rightarrow V_u = V_{CC}$



$t = 0^+$ $V_C(0^-) = V_C(0^+)$ la tensione ai capi di C è costante
 $(V_u - V_{BE})(0^-) = (V_u - V_{BE})(0^+)$

$V_C(0^-) = V_u - V_{BE} = V_{CC} - V_i^0 = V_{CC}$
 $V_C(0^+) = V_u - V_{BE} = V_u - V_T$
 (HP)
 T.R.N.

$V_{CC} = V_u - V_T$ $V_u = V_{CC} + V_T > V_{CC}$ possibile in condizioni non statiche

Descrivere ora la scarica del condensatore \rightarrow corrente:

Per t

$$I_{RB} = I_B - I_{COND}$$

$$I_B = I_{RB} + I_{COND}$$

$$I_C = \beta_F \cdot I_B = \beta_F (I_{RB} + I_{COND})$$

$$I_{RC} - I_{COND} = \beta_F (I_{RB} + I_{COND})$$

$$(\beta_F + 1) \cdot I_{COND} = I_{RC} - \beta_F I_{RB}$$

quando derivo in annulla

$$(\beta_F + 1) \cdot C \frac{dV_{iC}}{dt} = \frac{V_{CC} - V_{iC}}{R_C} - \beta_F \frac{V_{iC} - V_T}{R_B} \quad (\beta_F + 1) \cdot C \frac{d(V_{iC} - V_T)}{dt} = \frac{V_{CC} - V_{iC}}{R_C} - \beta_F \frac{V_{CC} - V_T}{R_B}$$

$$C \cdot R_C (\beta_F + 1) \frac{dV_{iC}}{dt} + V_{iC} = V_{CC} - \beta_F R_C \frac{V_{CC} - V_T}{R_B}$$

$$\tau \frac{dV_{iC}}{dt} + V_{iC} = K \Rightarrow V_{iC}(t) = A e^{-t/\tau} + B$$

$$V_{iC}(0) = A + B = V_{CC} + V_T = 5,7V \quad V_{iC}(t \rightarrow \infty) = B = K = -38 \quad A = 43,7$$

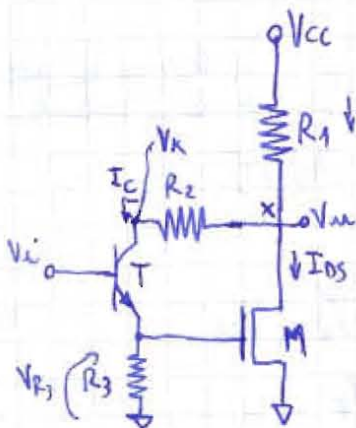
$$\tau = 202 \text{ ns} \Rightarrow V_{iC}(t) = 43,7 e^{-\frac{t}{202 \text{ ns}}} - 38$$

TARE sicuramente in regione normale perché $V_{iC} > V_{CE_{SAT}}$

Per trovare t^* impongo $V_{iC}(t^*) = V_{CE_{SAT}}$ $A e^{-t^*/\tau} + B = V_{CE_{SAT}}$

$$t^* = -\tau \ln \frac{V_{CE_{SAT}} - B}{A} = 27,17 \text{ ns}$$

ESERCIZIO 3



- $V_T = 0,7V$
- $\beta_F = 2 \text{ mA/V}^2$
- $V_{CE_{SAT}} = 0,2V$
- $V_{TN} = 0,8V$
- $V_H - V_L = ?$
- $R_1 = 10 \text{ k}\Omega$
- $V_{CC} = 5V$
- $R_2 = 2 \text{ k}\Omega$
- $\beta_F = 100$
- $R_3 = 1 \text{ k}\Omega$

Non c'è bisogno di trovare tutta la caratteristica statica

① $V_i = V_L$ T OFF (HP) $I_B, I_C, I_E = 0 \Rightarrow V_{R3} = 0 = V_{GS} \Rightarrow V_{GS} < V_T$ M OFF

M OFF $\Rightarrow I_{DS} = 0$ $I_{R1} = I_C + I_{DS} = 0$ $V_{iC} = V_{CC} - R_1 I_{R1} = V_{CC} = V_H$

T OFF $\Rightarrow V_i - V_{BE} - V_{GS}^0 = 0 \quad V_i = V_{BE} < V_T \Rightarrow$ devo verificare che V_L sia minore di V_T altrimenti cade Hp.

② $V_i = V_H = V_{CC}$

$V_{GS} = V_i - V_T = V_{CC} - V_T > V_T \Rightarrow$ M ON (Hp) M LIN

Scrivo l'equazione del nodo x.

$I_{R1} = I_C + I_{D5} \quad \frac{V_{CC} - V_{Mx}}{R_1} = \frac{V_{Mx} - V_{Kx}}{R_2} + \beta \left[(V_{GS} - V_T) V_{Mx} - \frac{V_{Mx}^2}{2} \right]$

(Hp) T SAT $\rightarrow I_C = \frac{V_{Mx} - (V_{CE_{SAT}} + V_{GS})}{R_2} \quad V_{GS} = V_i - V_{BE} = V_i - V_T = V_{CC} - V_T$
 \downarrow
 $V_{Kx} = V_{CE} + V_{GS}$

$\Rightarrow \frac{\beta}{2} V_{Mx}^2 - \left[\frac{1}{R_1} + \frac{1}{R_2} + \beta (V_{CC} - V_T) \right] V_{Mx} + \frac{V_{CC}}{R_1} + \frac{V_{CE_{SAT}} + V_{GS} - V_T}{R_2} = 0$

$A = 10^{-3} \quad B = 7,6 \cdot 10^{-3} \quad C = 2,75 \cdot 10^{-3}$

$V_{Mx,2} = \begin{cases} 7,21V > V_{CC} & \text{NON ACC. (nessa in condizioni statiche)} \\ 0,38V = V_L \end{cases}$

Verifico le ipotesi:

$V_L = 0,38V < V_T = 0,7V \quad \text{Hp T OFF verificata}$

$\frac{M_{LIN}}{T_{SAT}} \Rightarrow V_{GS} > V_{DS} + V_T \quad \frac{V_i - V_T}{4,3} > \frac{V_L}{1,18} + V_T \quad \text{OK}$

$I_C < \beta_F I_B$

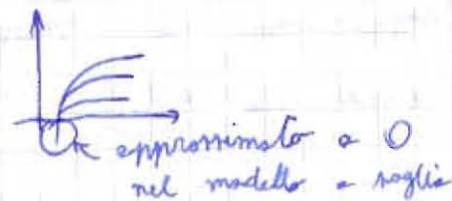
$I_C = \frac{V_{Mx} - V_{Kx}}{R_2} = \frac{V_{Mx} - V_{CE_{SAT}} - V_{GS}}{R_2} = -2,06 \text{ mA}$

non entra nel collettore del transistor, impiegabile con il modello a soglia

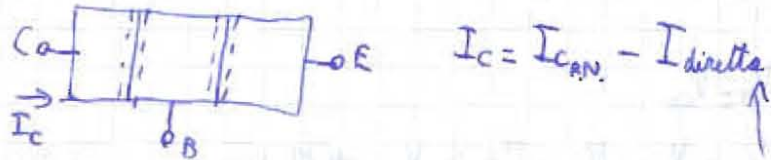
$I_B = I_E - I_C = 6,36 \text{ mA} \quad \text{OK}$

Hp verificata

$V_H - V_L = 5 - 0,38 = 4,62 \text{ V}$

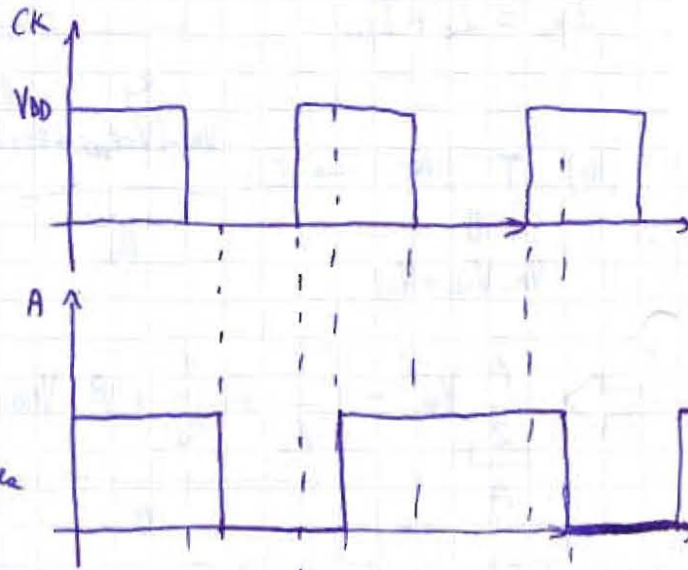
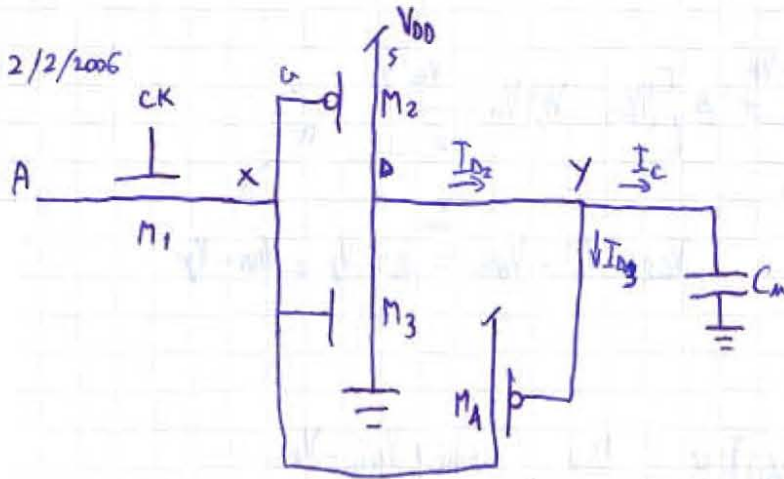


In T_{SAT}, entrambe le regioni sono in diretta. Gli elettroni si muovono verso destra:



affinche' $I_c < 0$ deve prevalere la corrente generata dagli elettroni.

18/06/2009

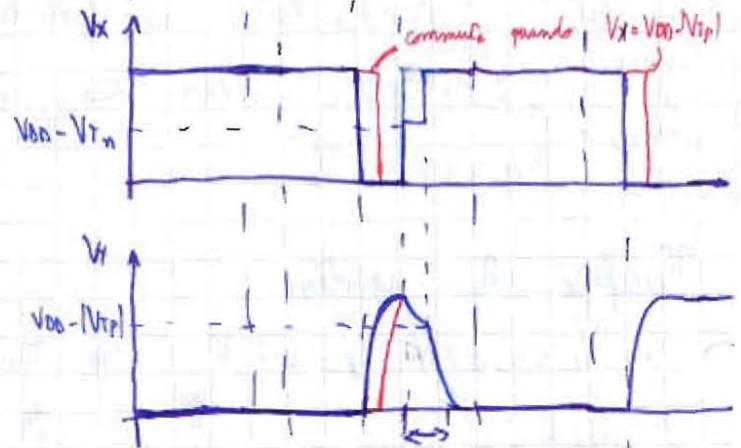


$\beta_n = 50 \frac{\text{mA}}{\text{V}^2}$ M_2, M_A risposta istantanea

$\beta_p = 80 \frac{\text{mA}}{\text{V}^2}$ $V_{Tn} = 0,5 \text{ V}$
 $|V_{Tp}| = 0,4 \text{ V}$

$V_{DD} = 3,5 \text{ V}$ $C_n = 10 \text{ fF}$

$V_x = ?$ $T_d = ?$
 $V_y = ?$ tempo di ricerca



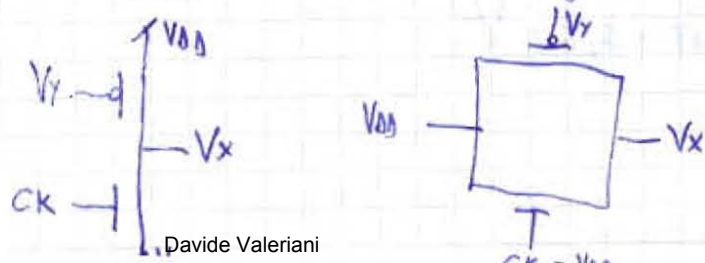
Con CK alto, M_A ON pass-transistor

$\Rightarrow V_x = V_{DD} - V_{Tn} \Rightarrow M_3$ ON perché $V_x > V_{Tn}$

M_2 ? ON $V_{SG} > |V_{Tp}|$ $V_{DD} - V_x > |V_{Tp}|$ $V_x < V_{DD} - |V_{Tp}|$ $V_x < 3,5 - 0,4 = 3,1 \text{ V}$

M_A $V_x = V_{DD} - V_{Tn} = 3,5 - 0,5 = 3 \text{ V}$ $V_x < 3,1 \text{ V} \Rightarrow M_2$ ON

Questo vale se M_A OFF altrimenti M_A modificherebbe V_x . V_y non è 0, supponiamo sia maggiore della tensione di soglia di M_A e che M_A quindi sia ON.



Se il p-mos è on, V_x va a V_{DD} , M_2 OFF, M_3 ON e V_y a 0, quindi M_4 ON.

Quando $CK=0$, il mos M_1 si spegne, ma M_4 mantiene $V_x = V_{DD}$.

Quando CK torna a 1, $A=0$ e tende a portare $V_x=0$. Suppongo che M_4 si spenga, $V_x=0$, M_2 ON, M_3 OFF, V_y tende ad andare alto che conferma M_4 OFF e $V_x=0$.

Quando A torna alto, M_4 è spento da prima perché $V_y=1$, quindi $V_x = V_{DD} - V_{Tn}$, M_2 e M_3 vanno ON, V_y inizia a calare, scaricando C_u . Quando V_y raggiunge $V_{DD} - |V_{Tp}|$, M_4 si accende, V_x viene portato a V_{DD} , M_2 si spegne e V_y continua a scaricarsi.

Escursione logica: $V_H = V_{DD}$, $V_L = 0$ 90% = $V_{DD} \cdot 0,9 = 3,15$ V
 10% = $V_{DD} \cdot 0,1 = 0,35$ V

1° transitorio: M_2 e M_3 ON

$$V_x = V_{DD} - V_{Tn} \quad I_{D2} = I_{D3} + I_C$$

$$M_2 \text{ PMOS SAT} \quad V_{SD} > V_{SG} - |V_{Tp}| \quad V_{DD} - V_y > V_{DD} - V_x - |V_{Tp}|$$

$$V_y < V_x + |V_{Tp}| = V_{DD} - V_{Tn} + |V_{Tp}|$$

$$V_y < 3,5 - 0,5 + 0,4 = 3,4 \text{ V} \quad V_{y90\%} = 3,15 < 3,4 \text{ V} \quad M_2 \text{ sempre SAT}$$

$$M_3 \text{ NMOS SAT} \quad V_{SD} > V_{GS} - V_{Tn} \quad V_y > V_x - V_{Tn} = V_{DD} - V_{Tn} - V_{Tn} = 3,5 - 0,5 - 0,5 = 2,5 \text{ V}$$

$$\hookrightarrow V_y > 2,5 \text{ V}$$

Il tratto che sto considerando va da $V_{y90\%}$ a $V_{DD} - |V_{Tp}|$, cioè da 3,15 a 3,4.

$\Rightarrow M_3$ sempre SAT.

$$\frac{\beta_p}{2} \left(\underset{\substack{|| \\ V_{DD} - V_x \\ || \\ V_{DD} - V_{Tn}}}{V_{SG} - |V_{Tp}|} \right)^2 = \frac{\beta_n}{2} \left(\underset{\substack{|| \\ V_x = V_{DD} - V_{Tn}}}{V_{GS} - V_{Tn}} \right)^2 + C \left(\frac{dV_y}{dt} \right)$$

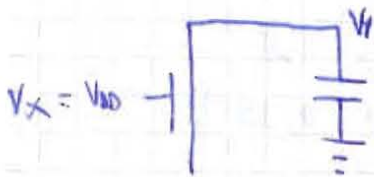
$$\frac{\beta_p}{2} (V_{TP} - |V_{TP}|)^2 = \frac{\beta_n}{2} (V_{DD} - V_{TN} - V_{TN})^2 + C \frac{dV_Y}{dt}$$

$$4 \cdot 10^{-7} = 1,5625 \cdot 10^{-4} + C \cdot \frac{dV_Y}{dt} \quad -1,5585 \cdot 10^{-4} = C \frac{dV_Y}{dt}$$

$$\int dt = \underbrace{\frac{10 \cdot 10^{-15}}{1,5585 \cdot 10^{-4}}}_{A} dV_Y \quad \int_0^{t^*} dt = A \cdot \int_{V_{Y50\%}}^{V_{DD} - |V_{TP}|} dV_Y$$

$$t^* = A \cdot (V_{DD} - |V_{TP}| - V_{Y50\%}) \quad t^* = -6,4 \cdot 10^{-11} \cdot (-0,05) = 3,2 \cdot 10^{-12}$$

2° transitorio: M_2 OFF, M_3 ON



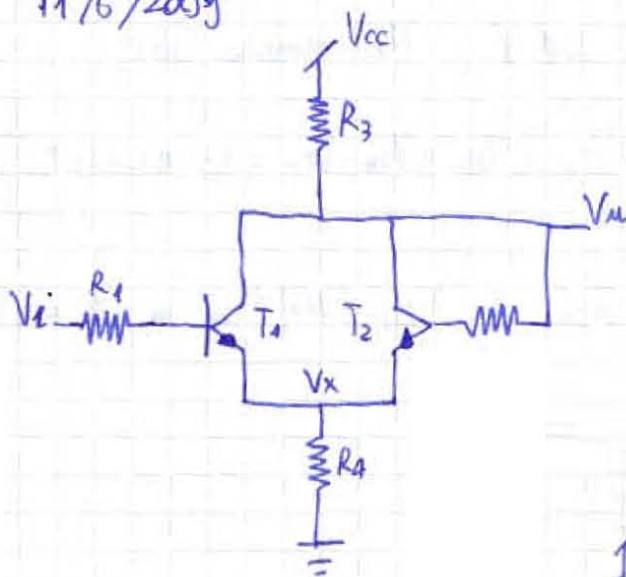
M_3 SAT se $V_{GS} > V_{GS} - V_{TN}$ $V_Y > V_X - V_{TN} = V_{DD} - V_{TN} = 3V$ da $3,1 - 3$
 M_3 LIN da $V_Y = 3V$ e $V_Y = 0,35V = V_{Y10\%}$

$$I_{D3} = -C \frac{dV_Y}{dt}$$

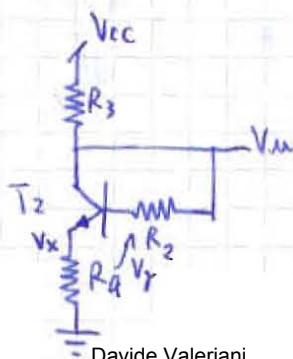
$$I_{D3_{SAT}} = \frac{\beta_n}{2} (V_{GS} - V_{TN})^2$$

$$I_{D3_{LIN}} = \beta_n \left((V_{GS} - V_{TN})V_{DS} - \frac{V_{DS}^2}{2} \right)$$

11/6/2009



$V_i = 0 \Rightarrow T_1$ OFF



- 1) T_1 OFF T_2 A.D.
- 2) T_1 A.D. T_2 A.D.
- 3) T_1 A.D. T_2 OFF
- 4) T_1 SAT T_2 OFF

T_2 non OFF perché $I_B = I_C = I_E = 0$, $V_{in} = V_{cc}$, $V_x = 0$ ma allora $V_{BE} = V_{cc} > V_{\gamma}$

T_2 ON quindi sicuramente

T_2 ON. T_2 AD perché R_2 fa sì che $V_B < V_C$, $V_{BC} < 0$ e quindi mai uguale a V_{γ} .

Oppure ragione su $V_{CE} > V_{CE_{SAT}} = 0,2 V$

Oppure ragione sulle correnti: $I_C < \beta_F I_B$.

T_2 AD.

$$\frac{V_{cc} - V_{in}}{R_3} = I_{R_3}$$

$$I_{R_3} = I_{C_2} + I_{B_2}$$

$$I_{C_2} = \beta_F I_{B_2}$$

$$I_{E_2} = V_x \cdot \frac{1}{R_4}$$

$$I_{E_2} = (\beta_F + 1) I_{B_2}$$

$$V_{in} - R_2 I_{B_2} - V_{\gamma} = V_x$$

Ricavo V_{in} e V_x

Verifico che $V_{in} - V_x > V_{CE_{SAT}}$

$$V_x = 1,667 V$$

Quando $V_i = V_x + V_{\gamma}$, T_1 si accende. Non mi basta $V_i = V_{\gamma}$ perché T_2 ON e su R_4 ho una caduta di tensione da considerare.

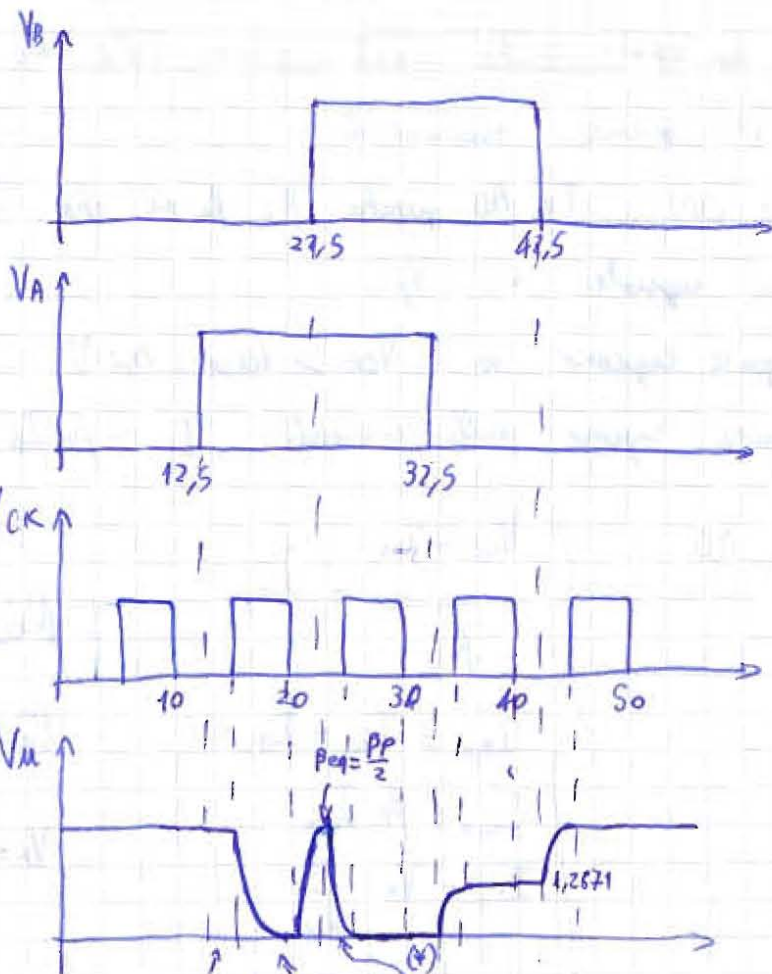
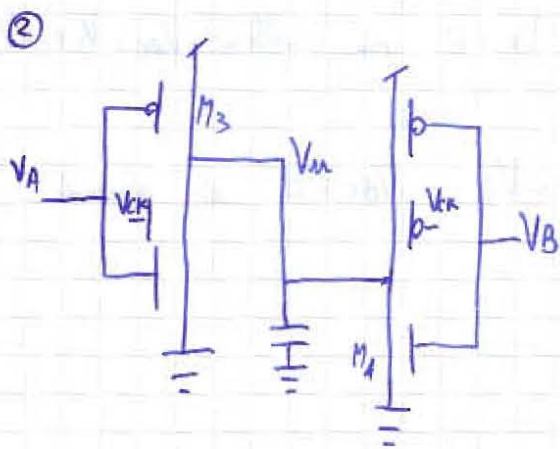
$$V_i = 2,417 V \text{ accende } T_1.$$

T_1 si accende in AD.

Q_2 devo capire se avviene prima

a) T_1 SAT T_2 AD \rightarrow impossibile perché T_1 SAT implica $V_{CE_1} = V_{CE_{SAT}}$ ma $V_{CE_1} = V_{CE_2}$

b) T_1 AD T_2 OFF $\Rightarrow T_2$ SAT



Per trovare il valore intermedio devo uguagliare le due correnti con i Mos in due condizioni?

in (*) M_4 LIN e M_3 OFF

M_4 LIN
 M_3 SAT

M_4 LIN
 M_3 LIN

ipotesi da verificare alla fine

il circuito a DX sarà allo V_m

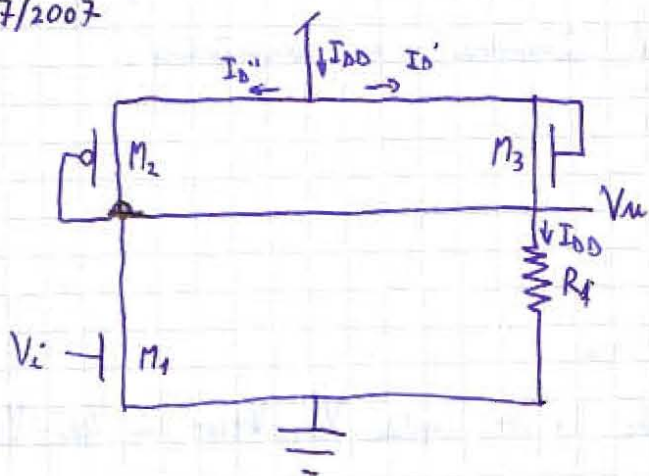
$\beta_{eq} = \frac{\beta_n}{2}$
serie

$\beta_{eq} = \beta_n$

le metà del precedente

19/07/2007

23/06/09



$$V_{DD} = 3,5 \text{ V}$$

$$R_1 = 5 \text{ K}\Omega$$

$$V_{Tn} = 0,5 \text{ V}$$

$$\beta_{n2} = ? \text{ tale che}$$

$$|V_{Tp}| = 0,6 \text{ V}$$

$$\text{per } V_i = 0 \text{ V}$$

$$\beta_{n1} = 2,5 \frac{\text{mA}}{\text{V}^2}$$

$$P_D = 12 \text{ mW}$$

$$\beta_{n3} = 0,3 \frac{\text{mA}}{\text{V}^2}$$

$$NM_H = ?$$

$$NM_L = ?$$

$$M_1 \text{ OFF } (V_i = 0)$$

$$P_D = V_{DD} \cdot I_{DD}$$

$$I_{DD} = \frac{V_m}{R_1} \Rightarrow V_m = R_1 \cdot P_D \cdot \frac{1}{V_{DD}} = 1,714$$

$$I_{DD} = I_{D2} + I_{D3}$$

$$\text{Hp: } M_2 \text{ SAT, } M_3 \text{ SAT}$$

$$V_{SD} > V_{SG} - |V_{Tp}|$$

$$\leftarrow \rightarrow V_{DS} > V_{GS} - V_{Tn}$$

$$V_{DD} - V_m > V_{DD} - V_m - |V_{Tp}| \text{ sempre}$$

$$V_{DD} - V_m > V_{DD} - V_m - V_{Tn} \quad 0 > -V_{Tn} \text{ sempr}$$

$$I_{D2} = \frac{\beta_p}{2} [V_{SG} - |V_{TP}|]^2$$

$$I_{D3} = \frac{\beta_n}{2} [V_{GS} - V_{TN}]^2 \quad \rightarrow \quad I_{DD} = I_{D2} + I_{D3}$$

$$\frac{V_u}{R_i} = \frac{\beta_p}{2} [V_{SG} - |V_{TP}|]^2 + \frac{\beta_n}{2} [V_{GS} - V_{TN}]^2 \quad \dots \quad \beta_p = 0,135 \frac{\text{mA}}{\text{V}^2}$$

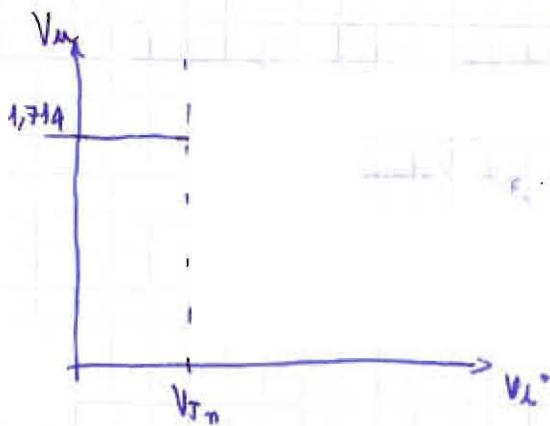
$V_i > V_{TN}$ M_1 ON H_p : SAT

$$V_{DS} > V_{GS} - V_{TN}$$

$$V_D - V_S > V_G - V_S - V_{TN}$$

$$1,714 > V_{TN} - V_{TN} \quad \text{ok}$$

$$V_D = V_u \quad V_G = V_i = V_{TN} \\ V_S = 0$$



$$I_{D2} + I_{D3} = I_{D1} + I_{R1} \quad \frac{\beta_p}{2} [V_{DD} - V_u - |V_{TP}|]^2 + \frac{\beta_{n3}}{2} [V_{DD} - V_u - V_{TN}]^2 = \frac{V_u}{R_1} + \frac{\beta_{n1}}{2} [V_i - V_{TN}]^2$$

se esiste il punto in cui $\frac{dV_u}{dV_i} = -1$ vuol dire che la V_u decresce.

Derivando si ottiene

$$-2 \frac{\beta_p}{2} [V_{DD} - V_u - |V_{TP}|] \cdot \frac{dV_u}{dV_i} - 2 \frac{\beta_{n3}}{2} [V_{DD} - V_u - V_{TN}] \cdot \frac{dV_u}{dV_i} = \frac{1}{R_1} \cdot \frac{dV_u}{dV_i} + 2 \frac{\beta_{n1}}{2} [V_i - V_{TN}]$$

$$\text{impongo } \frac{dV_u}{dV_i} = -1$$

$$\beta_p [V_{DD} - V_u - |V_{TP}|] + \beta_{n3} [V_{DD} - V_u - V_{TN}] = -\frac{1}{R_1} + \beta_{n1} [V_i - V_{TN}]$$

ricavo V_u in funzione di V_i , sostituisco nell'equazione precedente per ricavare V_i e ottengo un punto (V_i, V_u)

$$V_i = -0,174 V_u + 1,0966$$

notteuisco e ottengo

$$V_u = 1,542 V = V_{OHMIN}$$

$$V_i = 0,828 V = V_{ILMAX}$$

pendenza negativa $\Rightarrow V_u$ decrease

V_u scende $\Rightarrow M_1$ LIN perché M_2 ON se $V_{SG} > |V_{TP}|$

$V_{DD} - V_u > |V_{TP}|$ V_u scende

M_2 sempre ON

Per $V_i = V_H$? M_1 LIN $\Rightarrow V_{DS} < V_{GS} - V_{TN}$

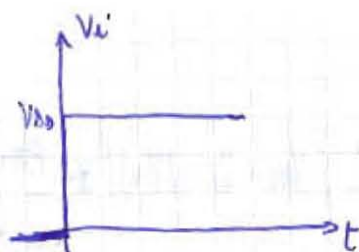
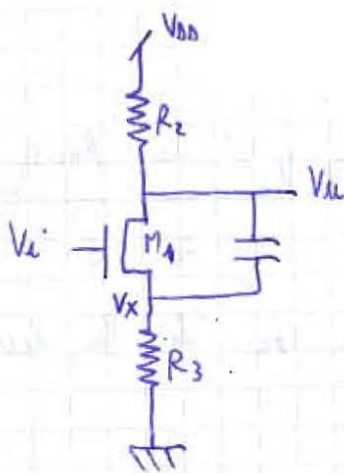
$V_u < V_i - V_{TN}$ il passaggio e l'ho per $V_i = V_u + V_{TN}$

Andando a sostituire nel bilancio delle correnti $V_i = V_u + V_{TN}$

$$I_{D1} = \beta_{n1} \left[(V_i - V_{TN}) V_u - \frac{V_u^2}{2} \right] \text{ poi ancora bilancio delle correnti}$$

derivata $\frac{dV_u}{dV_i} = -1$ e trovo l'altro V_{OLMAX} e V_{OHMIN}

16/2/2006



$$V_{DD} = 3,5 V$$

$$R_2 = 1,5 K\Omega$$

$$t_{PHL} = ?$$

$$V_T = 0,55 V$$

$$R_3 = 100 \Omega$$

$$V_u(V_i) = ?$$

$$\beta_n = 5 \frac{mA}{V^2}$$

$$C = 10 pF$$

$t < 0$ (condizioni statiche): $V_i = 0$

$$V_{GS1} = V_i - V_x = -V_x$$

$V_{GS1} > V_T$ per essere acceso $-V_x > V_T$ mai

$$M_1 \text{ OFF: } V_x = 0 \quad V_u = V_{DD}$$

$t \rightarrow +\infty$: condizioni statiche $V_i = V_{DD}$

$$\left. \begin{aligned} V_{GS1} &= V_{DD} - V_X \\ V_{DS1} &= V_{DD} - V_X \end{aligned} \right\} \text{Hp: } M_1 \text{ LIN} \text{ se } V_{DS} < V_{GS} - V_T \quad | \quad V_{GS} - V_X < V_i - V_X - V_T \quad | \quad V_{GS} < V_{DD} - V_T = 2,95$$

$$\left\{ \begin{aligned} \frac{V_{DD} - V_{DD}}{R_2} &= I_{D1LIN} && \text{incognite: } V_{DD}, V_X, I_{D1LIN} \\ I_{D1LIN} &= \frac{V_X}{R_3} \\ I_{D1LIN} &= \beta_n \left[(V_i - V_X - V_{Tn})(V_{DD} - V_X) - \frac{(V_{DD} - V_X)^2}{2} \right] \dots \end{aligned} \right.$$

$V_{DD} = 0,366 \text{ V} \quad V_X = 0,209 \text{ V} \quad \text{Hp: } M_1 \text{ LIN} \quad V_{DD} < 2,95 \quad \text{verificata}$

$t = 0^+$

$$V_C(0^-) = V_C(0^+) \quad \underbrace{(V_{DD} - V_X)(0^-)}_{V_{DD}} = (V_{DD} - V_X)(0^+)$$

$$V_X(0^-) = V_X(0^+) \quad V_{DD}(0^+) = V_{DD}$$

$t > 0 \quad 3,5 \rightarrow \frac{3,5 + 0,366}{2} = 1,933$
50% = $\frac{V_H + V_L}{2}$ esercizio

$$\left. \begin{aligned} M_1: \quad V_{GS1} &= V_i - V_X = V_{DD} - V_X \\ V_{DS1} &= V_{DD} - V_X \end{aligned} \right\} M_1 \text{ SAT se } V_{DS} - V_X < V_{GS} - V_X + V_T \quad | \quad V_{GS} > V_{DD} - V_T = 2,95$$

1° fase: $\frac{V_{DD} - V_{DD}}{R_2} = I_{D1SAT} + I_C \quad I_C = C \cdot \frac{d(V_{DD} - V_X)}{dt}$
3,5 \rightarrow 2,95
somma correnti entranti

$$\frac{V_{DD} - V_{DD}}{R_2} = \frac{V_X}{R_3} \Rightarrow V_X = \frac{100}{1500} \cdot (3,5 - V_{DD})$$

$$C \cdot \frac{d\left(V_M - \frac{R_3}{R_2}(V_{DD} - V_M)\right)}{dt} = \frac{S - V_M}{1500} - \frac{\beta_1}{2} \left[\frac{V_{GS1} - V_T}{V_i - V_x} \right]^2$$

$$C \cdot \frac{d\left(V_M - \frac{R_3}{R_2}V_{DD} + \frac{R_3}{R_2}V_M\right)}{dt} = \frac{S - V_M}{1500} - \frac{\beta_1}{2} \left[V_i - \frac{R_3}{R_2}(V_{DD} - V_M) - V_T \right]^2$$

$$d\left(V_M - \frac{R_3}{R_2}V_{DD} + \frac{R_3}{R_2}V_M\right) = dV_M - 0 + \frac{R_3}{R_2}dV_M = dV_M \left(1 + \frac{R_3}{R_2}\right)$$

$$C \cdot \left(1 + \frac{R_3}{R_2}\right) \frac{dV_M}{dt} = \frac{S - V_M}{1500} - \frac{\beta_1}{2} \left[V_{DD} - \frac{R_3}{R_2}V_{DD} + \frac{R_3}{R_2}V_M - V_T \right]^2$$

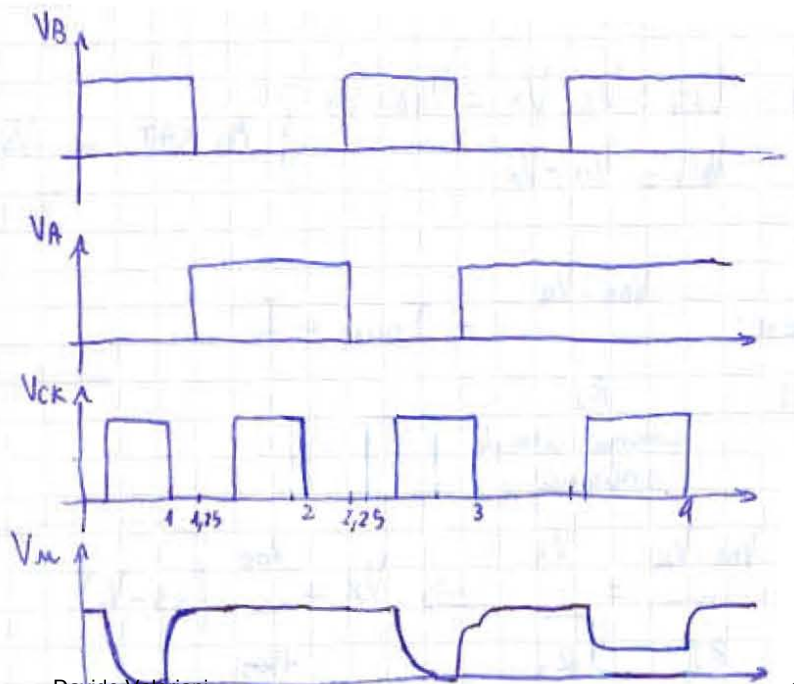
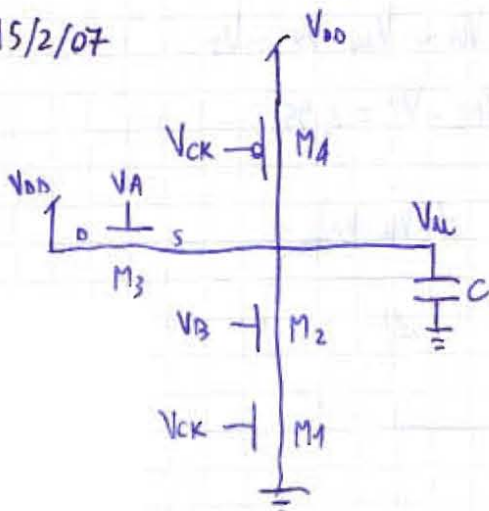
$$\int_0^{t_1} dt = \int_{3,5}^{2,95} \frac{C \left(1 + \frac{R_3}{R_2}\right) dV_M}{\frac{S - V_M}{1500} - \frac{\beta_1}{2} \left[V_{DD} - \frac{R_3}{R_2}V_{DD} + \frac{R_3}{R_2}V_M - V_T \right]^2} \dots t_1 = \dots$$

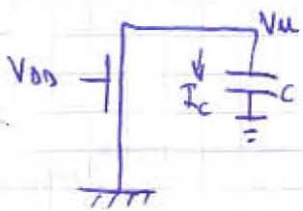
2° fase: MOS LINEARE

$$\int_0^{t_2} dt = \int_{2,95}^{1,933} \frac{C \left(\frac{R_3}{R_2} + 1\right) dV_M}{\frac{S - V_M}{1500} - \beta_1 \left[(V_i - V_x - V_{in})(V_M - V_x) - \frac{(V_M - V_x)^2}{2} \right]}$$

$$t_{PHL} = t_1 + t_2$$

15/2/07



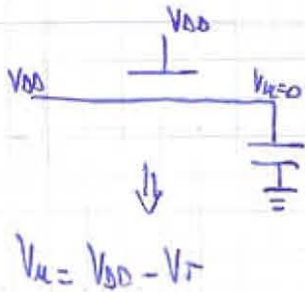
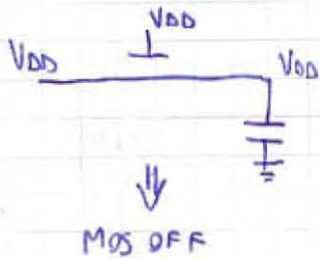


$$\beta_{eq} = \frac{1}{\frac{1}{\beta_n} + \frac{1}{\beta_p}} = \frac{\beta_n}{2} = 250 \mu$$

$$I_D = -C \frac{dV_u}{dt}$$

$$t_{PHL4} = \frac{C}{\beta_{eq}} \cdot 0,4131 = 33 \text{ pS}$$

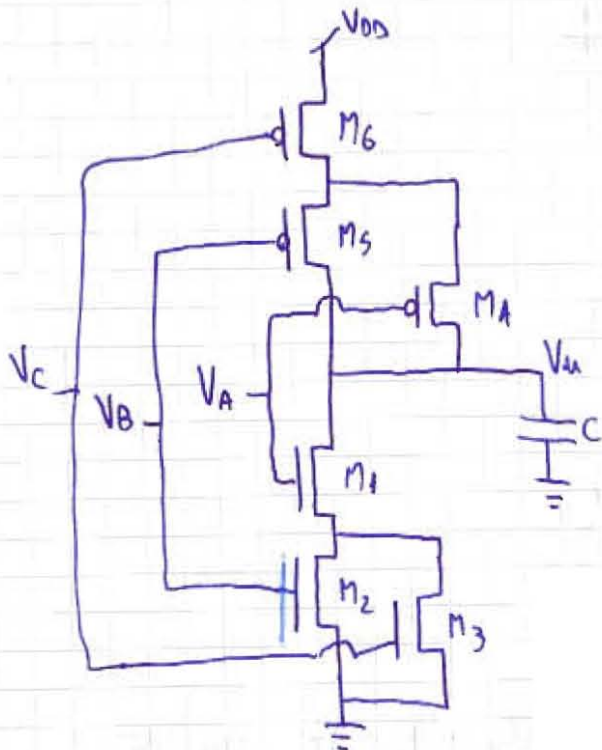
$$t_{PHL2} = \dots = 27,5 \text{ pS}$$



$$t_{PHL3} = 33 \text{ pS}$$

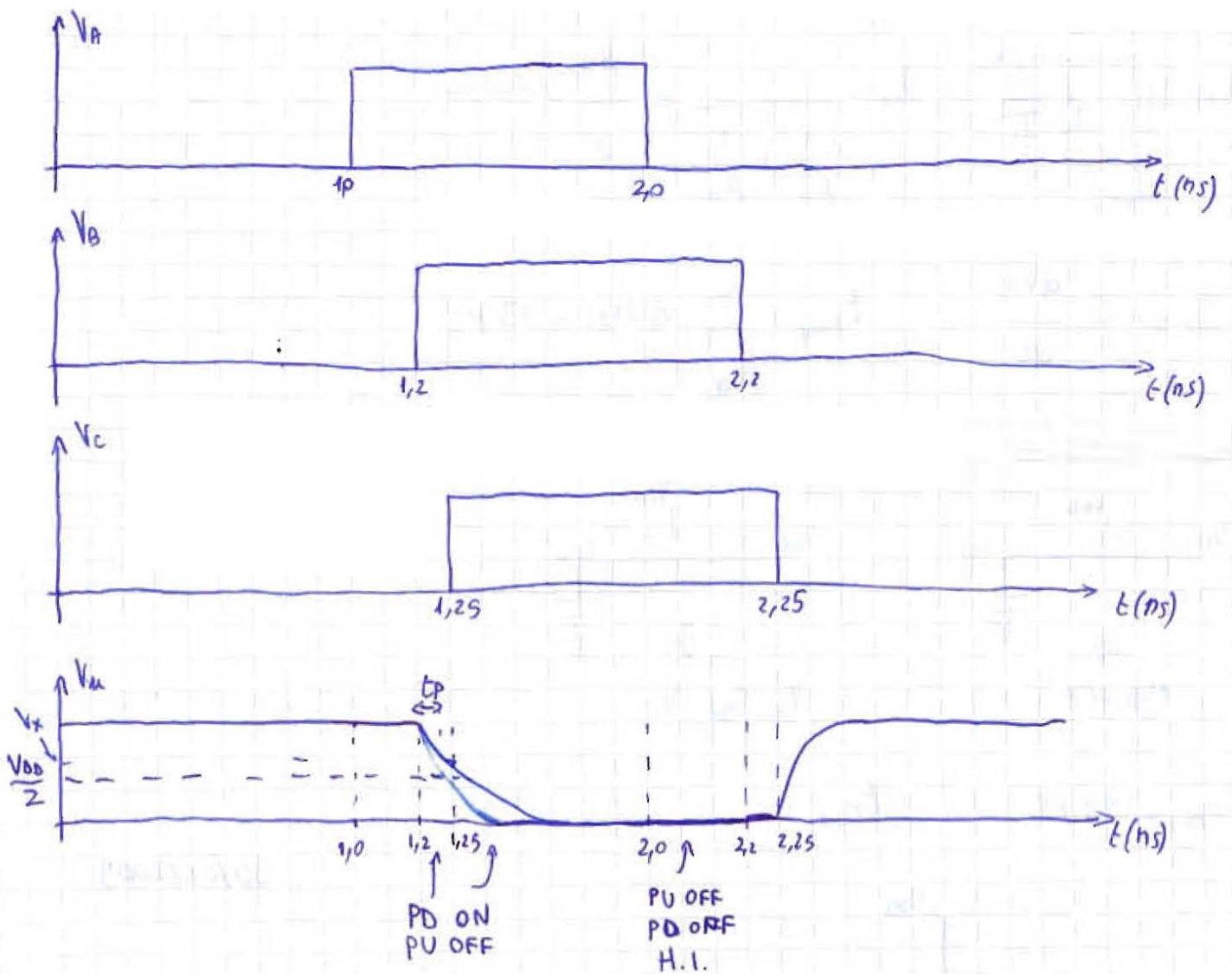
$$t_{PHL4} = \dots$$

30/06/2009



$$\begin{aligned} V_{DD} &= 3,3 \text{ V} \\ C &= 50 \text{ fF} \\ V_T &= 0,45 \text{ V} \\ \beta_n &= 600 \mu\text{A/V}^2 \\ \beta_p &= 450 \mu\text{A/V}^2 \end{aligned}$$

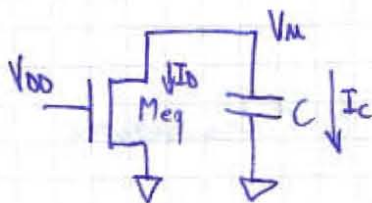
trovare V_u e t_p 1° transizione



t_p : istante in cui $V_M = \frac{V_{DD}}{2}$

$t = 1,2 \text{ ns}$ $M_1 \text{ ON}, M_2 \text{ ON}, M_3 \text{ OFF}$

Condizione nota:



$$\beta_{eq} = \frac{\beta_n}{2} = 300 \mu\text{A}/\text{V}^2$$

$$V_{GS} < V_{DS} + V_T$$

$$V_{DD} < \underset{\substack{\uparrow \\ V_M}}{V_{GS}} + V_T \quad \text{finché } V_M > V_{DD} - V_T \quad M_{eq} \text{ SAT}$$

$$I_D = -I_C$$

$$\frac{\beta_{eq}}{2} (V_{GS} - V_T)^2 = -I_C$$

$$\frac{\beta_{eq}}{2} (V_{DD} - V_T)^2 = -C \frac{dV_M}{dt}$$

$$\int_{1,205}^{t_{SAT}} dt = \int_{V_{DD}}^{\frac{V_{DD}-V_T}{2}} \frac{1}{\beta_{eq} \cdot \frac{V_{DD}-V_T}{2C}} \cdot \frac{1}{(V_{DD}-V_T)^2} dV_{in}$$

$$t_{SAT} - 1,205 = \frac{2C}{\beta_{eq}} \cdot \frac{1}{(V_{DD}-V_T)^2} \cdot (V_{DD}-V_T - V_{DD}) \rightarrow t_{SAT} = 1,218 \text{ ns}$$

Che il MOS entra in linearità. Se fosse venuta $t_{SAT} > 1,25 \text{ ns}$ il transistor era da calcolare come somma di due contributi (SAT e LIN).

$$\int_{t_{SAT}}^t dt = \int_{V_{DD}-V_T}^{V(t)} \frac{2C}{\beta_{eq}} \cdot \frac{1}{V_{in}^2 - 2(V_{DD}-V_T)V_{in}} dV_{in}$$

SEMPRE UGUALE per MOS LINEARE che scarica una capacità

$$\frac{2C}{\beta_{eq}} \left[\frac{A}{V_{in}} + \frac{B}{V_{in} - 2(V_{DD}-V_T)} \right] dV_{in} = \frac{2C}{\beta_{eq}} \frac{AV_{in} - 2A(V_{DD}-V_T) + BV_{in}}{V_{in}[V_{in} - 2(V_{DD}-V_T)]}$$

$$\begin{cases} A+B=0 \\ -2(V_{DD}-V_T)A=1 \end{cases} \Rightarrow \begin{cases} A = -\frac{1}{2(V_{DD}-V_T)} \\ B = \frac{1}{2(V_{DD}-V_T)} \end{cases}$$

$$= \frac{2C}{\beta_{eq}} \frac{1}{2(V_{DD}-V_T)} \left(\frac{1}{V_{in} - 2(V_{DD}-V_T)} - \frac{1}{V_{in}} \right) = \frac{C}{\beta_{eq}} \cdot \frac{1}{V_{DD}-V_T} \left[\ln \left(\frac{V_{in} - 2(V_{DD}-V_T)}{V_{in}} \right) \right]_{ext}$$

$$\int_{t_{SAT}}^t dt = \frac{C}{\beta_{eq}} \cdot \frac{1}{V_{DD}-V_T} \ln \left(\frac{V_{in}(t) - 2(V_{DD}-V_T)}{V_{in}(t)} \cdot \frac{V_{DD}-V_T}{V_{DD}-V_T - 2(V_{DD}-V_T)} \right)$$

$$t - t_{SAT} = \frac{C}{\beta_{eq}} \cdot \frac{1}{V_{DD}-V_T} \ln \left(\frac{2(V_{DD}-V_T) - V_{in}(t)}{V_{in}(t)} \right)$$

1° CASO metter $\frac{V_{DD}}{2}$ al posto di V_{in} perché suppongo di arrivare

a $\frac{V_{DD}}{2}$ prima di 1,25: $t = 1,271 \text{ ns}$ NO!

2° CASO $V_x = ?$ $t = 1,25 \text{ ns} \rightarrow V(1,25 \text{ ns}) = 2,1 \text{ V} = V_x$

a $t = 1,25 \text{ ns}$ M_1, M_2, M_3 ON $\beta_{eq} : M_2/M_3 + M_1$

$$\beta_{eq} = \frac{1}{\frac{1}{\beta_2 + \beta_3} + \frac{1}{\beta_1}} = \frac{2}{3} \beta_n$$

$$\int_{1,25 \text{ ns}}^t dt = \int_{2,1 \text{ V}}^{\frac{V_{DD}}{2}} - \frac{2C}{\beta_{eq}} \cdot \frac{1}{2(V_{DD} - V_T)V_{in} - V_{in}^2} dV_{in} = \text{rappresentare la primitiva}$$

$$t - 1,25 \text{ ns} = \frac{C}{\beta_{eq}} \cdot \frac{1}{V_{DD} - V_T} \ln \left(\frac{V_{in} - 2(V_{DD} - V_T)}{V_{in}} \right) \Bigg|_{2,1 \text{ V}}^{V_{DD}/2}$$

$$t \approx 1,266 \text{ ns} \quad t_{PHL} = (1,266 - 1,2) \text{ ns} = 66 \text{ ps}$$

$$\int_{\text{lineare}} = \frac{C}{\beta_{eq}} \cdot \frac{1}{V_{DD} - V_T} \ln \left[\frac{V_{in} - 2(V_{DD} - V_T)}{V_{in}} \right]_{\text{ext1}}^{\text{ext2}}$$

2° ex 7/2005

Si progetti una porta logica PE in grado di realizzare la funzione $y = a(b+c(d+e))$. Si determinino β_n e β_p tali che $t_{pd} \text{ peggiore} = 1 \text{ ps}$ e

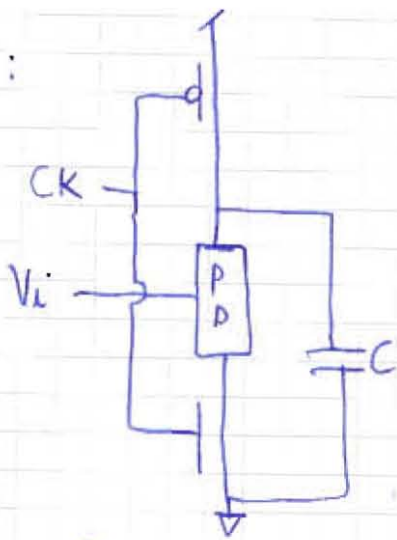
$t_{pd} \text{ migliore} = t_{rise}$.

$$C = 20 \text{ fF}$$

$$V_{DD} = 3,5 \text{ V}$$

$$V_T = V_{Tn} = -V_{Tp} = 0,5 \text{ V}$$

P.E.:



Per progettare PD voglio progettare qualcosa che renda $y=0$

$$a(b+c(d+e)) = 1$$

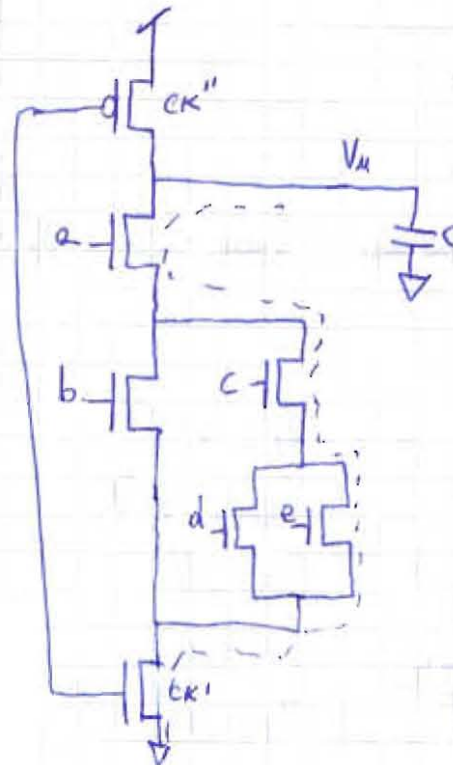
$$\begin{cases} a=1 \\ b+c(d+e)=1 \end{cases} \rightarrow \begin{cases} b=1 \\ c(d+e)=1 \end{cases} \rightarrow \begin{cases} c=1 \\ d+e=1 \end{cases} \rightarrow \begin{cases} d=0 \\ e=1 \end{cases} \text{ o } \begin{cases} d=1 \\ e=0 \end{cases}$$

$\sigma \rightarrow$ parallelo

$e \rightarrow$ serie

Il PD è più lento possibile più è resistivo, cioè quanto più transistor sono spenti

$$I \propto \beta$$

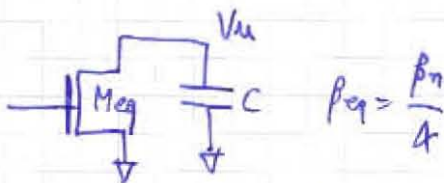


CASO MIGLIORE: tutte i MOS

accesi perché tanto rammi per scaricare

CASO PEGGIORE: $a, c, e = 1$
 $b, d = 0$

$$e \text{ ck}'' = 1 \quad \beta_{eq} = \frac{\beta_n}{4}$$



$$\beta_{eq} = \frac{\beta_n}{4}$$

$$t_{fall} = \int_{\frac{9}{10}V_{DD}}^{V_{DD}-V_T} -\frac{2C}{\beta_{eq}(V_{DD}-V_T)^2} dV_u + \int_{\frac{1}{10}V_{DD}}^{V_{DD}-V_T} \frac{C}{2\beta_{eq}} \cdot \frac{1}{V_u^2 - 2V_u(V_{DD}-V_T)} dV_u$$

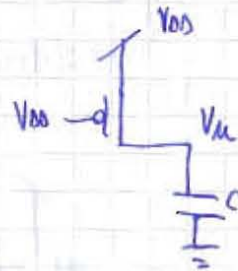
$$t_{fall} = \frac{1,92 \cdot 10^{-16}}{\beta_{eq}} = 1 \text{ pS}$$

$$\Rightarrow \beta_{eq} = 19,2 \frac{\text{mA}}{\text{V}^2} \quad \beta_n = 4\beta_{eq} = 76,8 \frac{\text{mA}}{\text{V}^2}$$

CASO MIGLIORE

$$\beta_{eq} = \frac{1}{\frac{1}{\beta_a} + \frac{1}{\beta_b + \frac{1}{\frac{1}{\beta_c} + \frac{1}{\beta_d + \beta_e}}} + \frac{1}{\beta_{ck}}} = \frac{5}{13} \beta_n$$

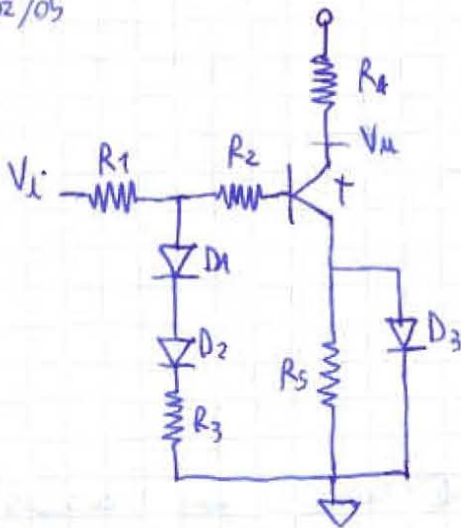
$t_{fall} / \text{misure} = 0,65 \text{ pS}$



$t_{RISE} = \int_{SAT} + \int_{LIN} = \frac{K}{\beta_P} \dots$

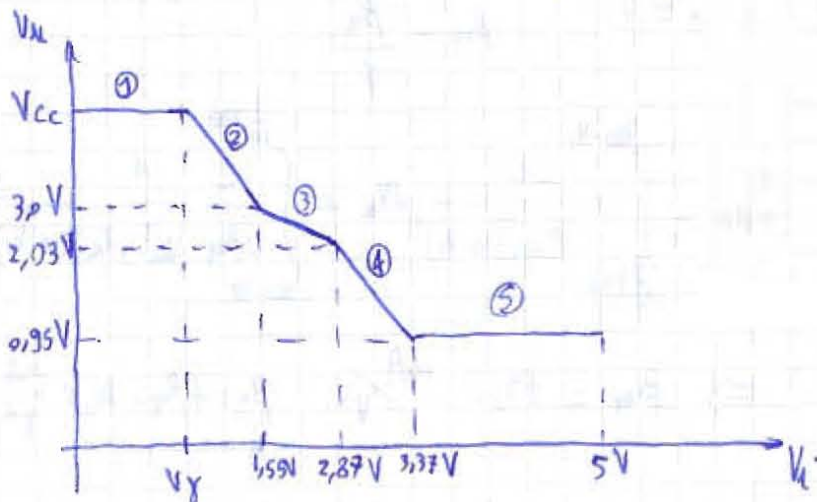
oppure, dato che $t_{fall \text{ max.}} = t_{RISE} \iff \beta_P = \beta_{eq}(\text{fall, best}) = \frac{5}{13} \beta_n = 29,5 \frac{\text{mA}}{\text{V}^2}$

02/05



- $V_Y = 0,75 \text{ V}$
- $V_{CE \text{ SAT}} = 0,2 \text{ V}$
- $V_{CC} = 5 \text{ V}$
- $\beta_F = 100$
- $R_1 = 5 \text{ k}\Omega$
- $R_2 = 25 \text{ k}\Omega$
- $R_3 = 2 \text{ k}\Omega$

- $R_4 = 2 \text{ k}\Omega$
- $R_5 = 0,5 \text{ k}\Omega$
- $V_M(V_i) = ?$



1) $V_i < V_Y$ Hp: $D_{1,2,3}$ OFF T OFF

$$V_i - R_1(I_B + I_D) - V_{D1} - V_{D2} - R_3 I_D = 0 \quad V_i = V_{D1} + V_{D2} < V_Y \quad \text{verificate}$$

$$V_i - R_1(I_B + I_D) - R_2 I_B - V_{BE} - V_D = 0 \quad V_i = V_{BE} + V_D < V_Y^* \quad \text{ipotesi}$$

$$V_M = V_{CC} - R_4 I_C = V_{CC}$$

2) $V_i > V_Y$ Hp: $D_{1,2}$ OFF perché ho bisogno di $2V_Y$ per accenderli.
Hp: T.R.N. D_3 OFF

$$V_i - (R_1 + R_2) I_B - V_Y - R_5 \frac{(\beta_F + 1) I_B}{I_E} = 0 \quad I_B = \frac{V_i - V_Y}{R_1 + R_2 + (\beta_F + 1) R_5}$$

$$V_M = V_{CC} - R_4 I_C = V_{CC} - R_4 \beta_F I_B = V_{CC} - \frac{R_4 \beta_F}{R_1 + R_2 + (\beta_F + 1) R_5} (V_i - V_Y) = 6,86 - 2,48 V_i$$

Ho 3 casi, il primo dei 3 che non è più verificato è quello della 3^a regione

(a) T.R.N. $V_{CE} > V_{CE_{SAT}}$ $V_M - R_5 (\beta_F + 1) I_B > V_{CE_{SAT}}$

$$6,86 - 2,48 V_i - R_5 (\beta_F + 1) \cdot \frac{V_i - V_Y}{R_1 + R_2 + (\beta_F + 1) R_5} > V_{CE_{SAT}} \implies V_i < 2,29 V \quad \text{verif.}$$

(b) D_3 OFF $R_5 (\beta_F + 1) I_B < V_Y \implies V_i < 1,94 V$ verificata

(c) D_1, D_2 OFF $V_i - R_1 I_B < 2V_Y \implies V_i < 1,55 V$ verificata

3) $V_i > 1,55 V$ D_1, D_2 ON, T.R.N., D_3 OFF

$$\begin{cases} V_i - R_1(I_B + I_D) - R_2 I_B - V_Y - R_5 (\beta_F + 1) I_B = 0 \\ V_i - R_1(I_B + I_D) - 2V_Y - R_3 I_D = 0 \end{cases} \implies I_B = \frac{\left(1 - \frac{R_1}{R_1 + R_3}\right) V_i + \left(\frac{2R_1}{R_1 + R_3}\right) V_Y}{R_1 + R_2 + (\beta_F + 1) R_5 - \frac{2R_1}{R_1 + R_3}}$$

$$V_M = V_{CC} - R_4 \beta_F I_B \implies V_i = 4,16 - 0,74 V_i \quad \textcircled{3}$$

(a) T.R.N. $V_{\mu} - V_E > V_{CE_{SAT}}$

$4,16 - 0,74 V_i - (\beta_F + 1) R_S I_B > V_{CE_{SAT}} \quad V_i < 4,03 V$

(b) D_3 OFF $R_S (\beta_F + 1) I_B < V_Y \rightarrow V_i < 2,87 V$

1) $V_i > 2,87 V$ D_1, D_2 ON, T.R.N., D_3 ON

$$\begin{cases} V_i - R_1 (I_D + I_B) - R_2 I_B - V_Y - V_Y = 0 \\ V_i - R_1 (I_D + I_B) - 2V_Y - R_3 I_D = 0 \end{cases} \dots V_{\mu} = 8,2A - 2,16 V_i \quad \textcircled{4}$$

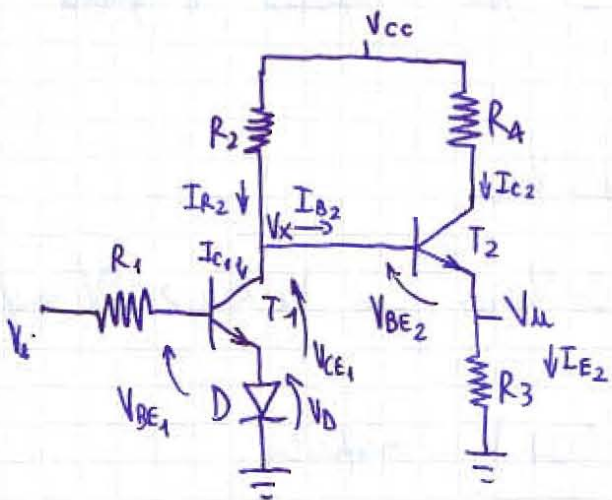
T.R.N. $V_{\mu} - V_E > V_{CE_{SAT}}$

$8,2A - 2,16 V_i - (\beta_F + 1) I_B R_S > V_{CE_{SAT}} \Rightarrow V_i < 3,37 V$

5) $V_i > 3,37 V$ D_1, D_2 ON, T.SAT, D_3 ON

$V_{\mu} = V_{CE_{SAT}} + V_Y = 0,95 V$ perché T.SAT

7/7/2009



- $R_1 = 8 K\Omega$
- $R_2 = 0,5 K\Omega$
- $R_3 = 4 K\Omega$
- $R_A = 5 K\Omega$
- $V_{cc} = 5 V$
- $\beta_F = 100$
- $V_Y = 0,75 V$
- $V_{CE_{SAT}} = 0,2 V$

NM=?
fan out max che non peggiori NM.

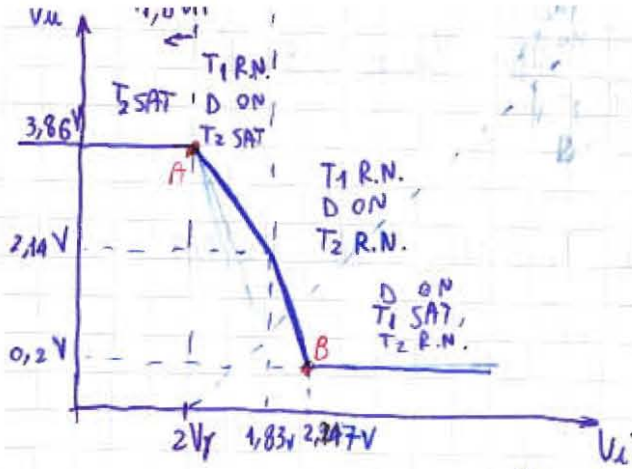
$V_{E2} = V_{\mu}$
 $V_{D1} = V_i - R_1 I_{B1}$
 $I_{E1} = I_D$
 $D \text{ ON} \Leftrightarrow T_1 \text{ ON}$

Calcolo le caratteristiche statiche $V_{\mu}(V_i)$:

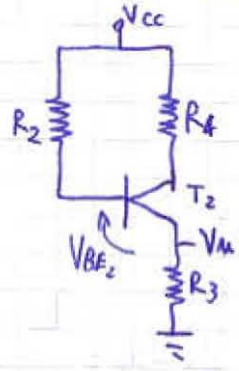
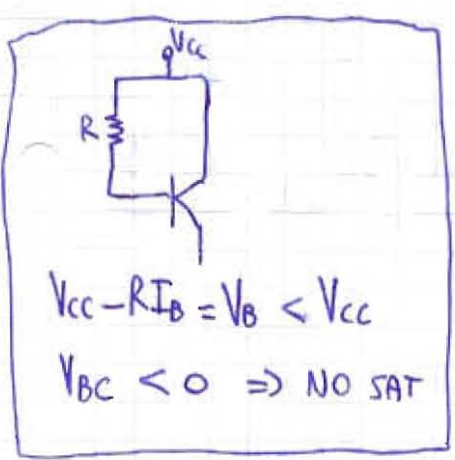
$V_i = 0$ T_1 OFF (HP): $I_{B1} = I_{C1} = I_{E1} = 0$ $V_{BE1} = V_i = 0 < V_Y$ T_1 OFF.

$V_i < V_Y$ T_1 OFF, D OFF perché $V_{BE1} = 0 < V_Y$ $V_{BE1} + V_D < 2V_Y$

$V_i - R_1 I_{B1} - V_{BE1} - V_D = 0 \Rightarrow V_i = V_{BE1} + V_D \Rightarrow V_i < 2V_Y$



Il circuito diventa



Hp: T_2 OFF
 $I_{B2} = I_{C2} = I_{E2} = 0$
 $V_{CC} - R_2 I_{B2} - V_{BE2} - R_3 I_{E2} = 0$
 $V_{BE2} = V_{CC} > V_{\gamma} \Rightarrow$ assurdo

Hp: T_2 R.N. $\rightarrow V_{BE2} = V_{\gamma}$
 $I_{E2} = I_{B2} (\beta_F + 1)$
 $I_{C2} = \beta_F \cdot I_{B2}$

$$V_{CC} - R_2 I_{B2} - V_{BE2} - R_3 I_{E2} = 0 \quad V_{CC} - R_2 I_{B2} - V_{\gamma} - R_3 I_{B2} (\beta_F + 1) = 0$$

$$I_{B2} = \frac{V_{CC} - V_{\gamma}}{R_2 + R_3 (\beta_F + 1)} = 10,5 \mu A \quad V_{U} = R_3 (\beta_F + 1) I_{B2} = 4,24 V$$

Per verificare le ipotesi verifico che $V_{CE} > V_{CE_{SAT}}$

$$V_{CC} - R_4 I_{C2} - V_{U} > V_{CE_{SAT}} \quad \frac{V_{CC} - R_4 \beta_F I_{B2} - V_{U}}{-0,25 V} > V_{CE_{SAT}} \quad -4,49 V > 0,2 V$$

NO!!

$\Rightarrow T_2$ è in SAT!

$$V_{BE2} = V_{\gamma}, \quad I_C < \beta_F I_B, \quad V_{CE2} = V_{CE_{SAT}}$$

$$I_{E2} = \frac{V_{U}}{R_3} \quad I_{B2} = \frac{V_{CC} - (V_{U} + V_{\gamma})}{R_2} \quad I_{C2} = \frac{V_{CC} - (V_{CE_{SAT}} + V_{U})}{R_4}$$

$$m_2 \quad \frac{V_M}{R_3} = \frac{V_{CC} - V_M - V_Y}{R_2} + \frac{V_{CC} - V_M - V_{CE_{SAT}}}{R_4} \Rightarrow V_M = 3,86 \text{ V}$$

$V_i > 2V_Y$ T_1 ON \rightarrow D ON $HP: T_1$ R.N. $HP: T_2$ SAT

$$V_M = R_3 \cdot I_{E2}$$

$$I_{E2} = I_{B2} + I_{C2}$$

$$I_{C2} = \frac{V_{CC} - (V_M + V_{CE_{SAT}})}{R_4}$$

$$I_{R2} = \frac{V_{CC} - (V_M + V_Y)}{R_2}$$

$$I_{R2} = I_{B2} + I_{C1} \rightarrow I_{B2} = I_{R2} - I_{C1}$$

$$I_{C1} = \beta_F I_{B1}$$

$$V_i - R_1 I_{B1} - \underset{V_Y}{V_{BE1}} - \underset{V_Y}{V_D} = 0 \rightarrow I_{B1} = \frac{V_i - 2V_Y}{R_1}$$

$$\rightarrow I_{B2} = \frac{V_{CC} - (V_M + V_Y)}{R_2} - \beta_F \cdot \frac{V_i - 2V_Y}{R_1}$$

$$V_M = 11,51 \text{ V} - 5,102 V_i \quad \text{pendenza } -5 > \text{ (in modulo) di } 1.$$

Verifico le ipotesi: cerco l'istante in cui ($V_{CE} = V_{CE_{SAT}}$ e $I_C = \beta_F I_B$)

T_1 : R.N. \rightarrow SAT
(T_2 SAT)

$$V_{CE1} = V_{CE_{SAT}}$$

$$V_X = V_D + V_{CE1} = V_Y + V_{CE_{SAT}}$$

$$V_M = V_X - V_Y = V_Y + V_{CE_{SAT}} - V_Y = V_{CE_{SAT}} = 0,2 \text{ V}$$

$$\rightarrow 0,2 \text{ V} = 11,51 \text{ V} - 5,102 V_i \rightarrow V_i = 2,217 \text{ V} \quad \underline{\text{NO}} \quad \text{perché } V_i > 1,83 \quad T_2 \text{ NON SAT}$$

T_2 : SAT \rightarrow R.N.
(T_1 R.N.)

$$I_{C2} = \beta_F I_{B2}$$

$$V_{CE2} = V_{CE_{SAT}}$$

$$\frac{V_{CC} - V_M - V_{CE_{SAT}}}{R_4} = \beta_F \left[\frac{V_{CC} - (V_M + V_Y)}{R_2} - \beta_F \frac{V_i - 2V_Y}{R_1} \right]$$

$$V_M = 2,14 \text{ V} \rightarrow V_i = 1,83 \text{ V} \quad \underline{\text{OK}} \quad \text{avviene prima !!}$$

avviene prima T_1 R.N. e T_2 R.N.

\uparrow
e sistema con
 $V_M = 11,51 - 5,102 V_i$

$$V_u = R_3 I_{E2}$$

$$I_{E2} = (\beta + 1) I_{B2}$$

$$I_{B2} = I_{E2} - I_{C2} \text{ (come prima)}$$

$$\rightarrow V_u = 13,61 \text{ V} - 6,24 \text{ V}$$

T_1 R.N. \rightarrow SAT
(T_2 R.N.)

$$V_D + V_{CE1} - V_{BE2} = V_u \Rightarrow$$

$$V_u = V_{CE_{SAT}} = 0,2 \text{ V}$$

$$V_i = 2,217 \text{ V} \quad \text{OK errine prima}$$

T_2 R.N. \rightarrow OFF
(T_1 R.N.)

$$I_{E2} = 0$$

$$V_u = 0$$

$$V_i = 2,18 \text{ V} \text{ errine dopo.}$$

Dopo, T_1 SAT, T_2 R.N., D ON

$$V_x = V_D + V_{CE1} = V_g + V_{CE_{SAT}} = \text{cost!!!}$$

$$V_u = 0,2 \text{ V costante}$$

A ($V_{IL_{MAX}}, V_{OH_{MIN}}$)

$$V_{IL_{MAX}} = 2V_g = 1,5 \text{ V}$$

$$NM_L = 1,5 - 0,2 = 1,3 \text{ V}$$

B ($V_{OH_{MIN}}, V_{OL_{MAX}}$)

$$V_{OH_{MIN}} = 3,86 \text{ V}$$

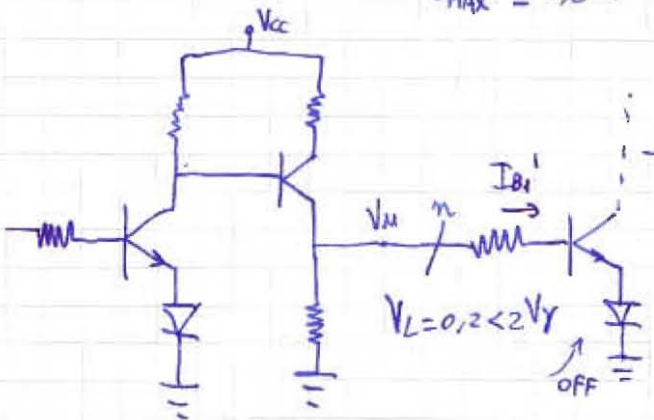
$$NM_H = 3,86 - 2,14 = 1,72 \text{ V}$$

$$V_{IH_{MIN}} = 2,14 \text{ V}$$

$$V_{OL_{MAX}} = 0,2 \text{ V}$$

$$\Downarrow$$

$$NM = 1,3 \text{ V}$$



$V_{OL_{MAX}}$ e $V_{IH_{MIN}}$ indipendenti dal fan out

Diverso è il caso in cui $V_u = V_H = 3,86 \text{ V}$ (con $V_i = V_L \Rightarrow T_1$ OFF, T_1' ON)

Le correnti di uscita non è più trascurabile.

$$\text{(PRIMA)} \quad V_u = R_3 I_{E2} \quad \text{(ORA)} \quad I_{E2} = \frac{V_u}{R_3} + n \cdot I_{B1}' \quad I_{B1}' = \frac{V_u - V_{BE1}' - V_D'}{R_1} = \frac{V_u - 2V_g}{R_1}$$

$$I_{E2} = \frac{V_u}{R_3} + n \frac{V_u - 2V_g}{R_1} \quad \text{Hp: } T_2 \text{ SAT} \quad I_{E2} = I_{B2} + I_{C2}$$

$$I_{B2} = \frac{V_{CC} - (V_{BE} + V_{BE})}{R_2}$$

$$I_{C2} = \frac{V_{CC} - (V_{CE} + V_{CE_{SAT}})}{R_A}$$

$$\frac{V_{BE}}{R_3} + n \cdot \frac{V_{BE} - 2V_{BE}}{R_1} = \frac{V_{CC} - (V_{BE} + V_{BE})}{R_2} + \frac{V_{CC} - (V_{BE} + V_{CE_{SAT}})}{R_A} \quad \text{da cui ricavare } V_{BE}(n)$$

$$V_{BE} = 1,5 + \frac{46,28}{n+19,8}$$

$n \uparrow, V_{BE} \downarrow$

$V_{IL_{MAX}}$ indipendente dal fan-out

Voglio che $V_{OH_{MIN}} - V_{IH_{MIN}} = 1,5 + \frac{46,28}{n+19,8} - 2,14 = 1,3$ $n = 4,055$

↑
margine
più stretto

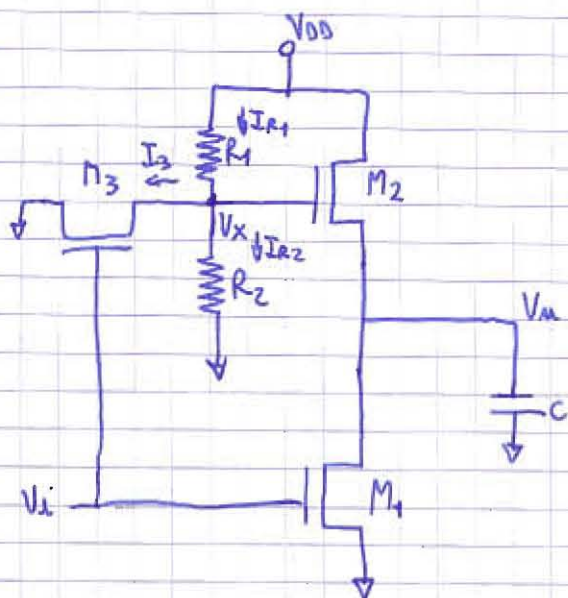
↓
 $n_{MAX} = 4$

ESEERCITAZIONI ELETTRONICA A

18/12/09

Appello 31/01/2008

①



$$V_{Tn} = V_{Tp} = V_{T1} = V_{T2} = V_{T3} = 0,6 \text{ V}$$

$$V_{DD} = 3,5 \text{ V}$$

$$\beta_n = 1 \text{ mA/V}^2$$

$$R_1 = 500 \Omega$$

$$R_2 = 10 \text{ k}\Omega$$

$$C = 5 \text{ pF}$$

$$V_i : \begin{cases} t < 0 & V_i = V_{DD} \\ t > 0 & V_i = 0 \end{cases}$$

trise = ?

Analizza i due casi $t < 0$ e $t > 0$

$t < 0$ $V_i = V_{DD}$ M_1, M_3 ON, M_2 ? Dipende da V_x

Hp: M_3 lin. $\rightarrow V_{GS3} > V_{DS3} + V_T$

$$V_{DD} > V_x + V_T \Rightarrow V_x < V_{DD} - V_T = 2,9 \text{ V}$$

$$I_{D3} = \beta_n \left[(V_{DD} - V_T) V_x - \frac{V_x^2}{2} \right]$$

$$I_{D3} = I_{R1} - I_{R2}$$

$$I_{R1} = \frac{V_{DD} - V_x}{R_1}$$

$$I_{R2} = \frac{V_x}{R_2}$$

$$\Rightarrow \beta_n \left\{ (V_{DD} - V_T) V_x - \frac{V_x^2}{2} \right\} = \frac{V_{DD} - V_x}{R_1} - \frac{V_x}{R_2}$$

$$\frac{\beta_n}{2} V_x^2 - \left[\beta_n (V_{DD} - V_T) + \frac{1}{R_1} + \frac{1}{R_2} \right] V_x + \frac{V_{DD}}{R_1} = 0$$

Solo ora sostituire valori!

$$A = 0,5 \text{ m}$$

$$B = -5 \text{ m}$$

$$C = 7 \text{ m}$$

$$V_{x1,2} = \begin{cases} 8,317 \text{ V} & \text{NON ACC. perché } > V_{DD} \\ 1,683 \text{ V} & \text{ACC.} \end{cases}$$

$$V_x < 2,9 \text{ V} \quad \text{VERO (HP } M_3 \text{ lin. vers.)}$$

$$\text{Hp: } M_2 \text{ ON cioè } V_{GS_2} > V_T$$

$$V_x - V_{th} > V_T \quad V_{th} < V_x - V_T = 1,683 - 0,6 = 1,083 \text{ V}$$

$$\text{Hp: } M_2 \text{ SAT cioè } V_{GS} < V_{GS} + V_T$$

$$V_x - V_{th} < V_{DD} - V_{th} + V_T \Rightarrow V_x < V_{DD} + V_T \text{ sempre vero}$$

$$\text{Hp: } M_1 \text{ LIN}$$

ma se M_2 ON con $V_x = 1,683 \text{ V} \Rightarrow M_1$ lin se $V_{th} < 2,9 \text{ V}$, ma se è vera $\uparrow V_{th} < 1,083 \text{ V}$, quindi sempre vera \uparrow

$$I_{D1} = \beta_n \left\{ (V_{GS} - V_T) V_{th} - \frac{V_{th}^2}{2} \right\}$$

$$I_{D2} = \frac{\beta_n}{2} (V_x - V_{th} - V_T)^2 \quad \Rightarrow \quad \beta_n \left[(V_{DD} - V_T) V_{th} - \frac{V_{th}^2}{2} \right] = \frac{\beta_n}{2} (V_x - V_{th} - V_T)^2$$

$$I_{D1} = I_{D2}$$

$$V_x = 1,683 \text{ V}$$

$$\frac{V_{th}^2}{2} + \frac{1}{2} V_{th}^2 + \frac{1}{2} (V_x - V_T)^2 - V_{th} (V_x - V_T) - (V_{DD} - V_T) V_{th} = 0$$

$$V_{th}^2 - [(V_{DD} - V_T) + (V_x - V_T)] V_{th} + \frac{1}{2} (V_x - V_T)^2 = 0$$

$$A=1 \\ B=-3,983 \\ C=0,586$$

$$V_{th} = \begin{cases} 3,83 \text{ V} & \text{N.ACC.} \\ 0,153 \text{ V} & \text{ACC.} \end{cases}$$

$$V_{th} < 0,153 \text{ V} < 1,083 \text{ V} \quad \text{vero} \Rightarrow \text{HP } M_2 \text{ ON } \underline{\text{OK}}$$

$$V_{th} = 0,153 \text{ V} < 2,9 \text{ V} \quad \text{vero} \Rightarrow M_1 \text{ LIN.}$$

$$\text{Quindi, per } t < 0 \quad \boxed{V_{th} = 0,153 \text{ V}}$$

$$\boxed{t > 0} \quad V_i = 0, \quad M_1 \text{ OFF}, \quad M_3 \text{ OFF}$$

Essendoci il condensatore sull'uscita, $V_{th}(0^-) = V_{th}(0^+) = 0,153 \text{ V}$

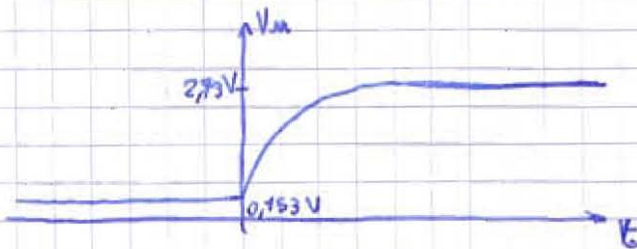
V_x lo ricavo con il partitore resistivo, essendo nulla la corrente entrante in M_2 .

$$V_x = \frac{R_2}{R_1 + R_2} V_{DD} = 3,33 \text{ V}$$

$V_{GS2} = V_x - V_M < V_T$ perché M_2 OFF, cioè $V_M > V_x - V_T = 2,73 \text{ V}$
 ma $V_M = 0,153 \text{ V}$, quindi M_2 ON.

Ma sappiamo da prima che se M_2 ON, sicuramente è SAT

Il condensatore si carica finché M_2 ON, ovvero $V_M < 2,73 \text{ V}$.
 Per $V_M = 2,73 \text{ V}$ il condensatore non si carica più e M_2 rimane ON fino a $V_M = 2,733 \text{ V}$



$$\Delta V_M = 2,73 \text{ V} - 0,153 \text{ V} = 2,58 \text{ V}$$

$$V_{M10\%} = 0,1 \cdot \Delta V_M + V_{M\text{iniz.}} = 0,411 \text{ V}$$

$$V_{M90\%} = 0,9 \Delta V_M + V_{M\text{iniz.}} = 2,475 \text{ V}$$

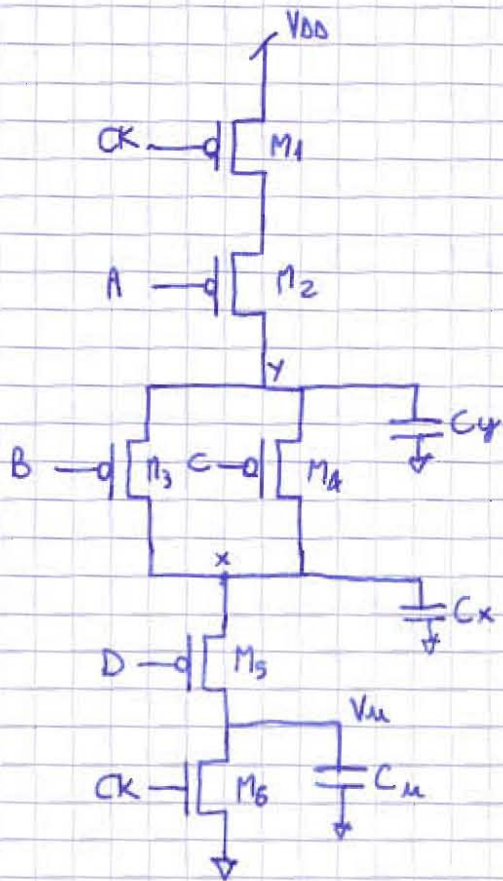
$$I_2 = C \cdot \frac{dV_M}{dt} = I_C \Rightarrow dt = \frac{C dV_M}{I_2}$$

$$\int_0^{t_{rise}} dt = \int_{0,411}^{2,475} \frac{2C \cdot dV_M}{\beta_n (V_x - V_M - V_T)^2} \Rightarrow t_{rise} = \frac{2C}{\beta_n} \left[\frac{1}{-1} \cdot \frac{-1}{(V_x - V_M - V_T)} \right]_{0,411}^{2,475}$$

$$t_{rise} = 16,76 \text{ ns}$$

Inoltre nel caso degli integrali, occorre sostituire i valori numerici solo nel passo finale.

2



$V_{Tn} = V_{Tp} = V_T$ • Trovare la funzione logica del circuito.

β_n, β_p
 $V_{DD} = 3,3V$ • Calcolare i valori a cui si porta V_n dopo ogni transizione.

$C_n = 60 fF$
 $C_x = 20 fF$
 $C_y = 40 fF$

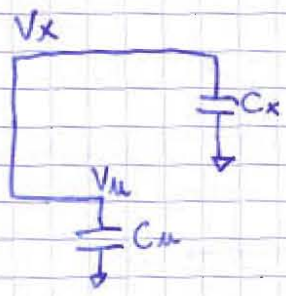
$Z = \bar{D} \cdot (\bar{B} + \bar{C}) \cdot \bar{A}$

Mettendomi nella condizione

$CK=0$.

$\bar{Z} = A + D + BC$

• Quando **D** va basso arrivo

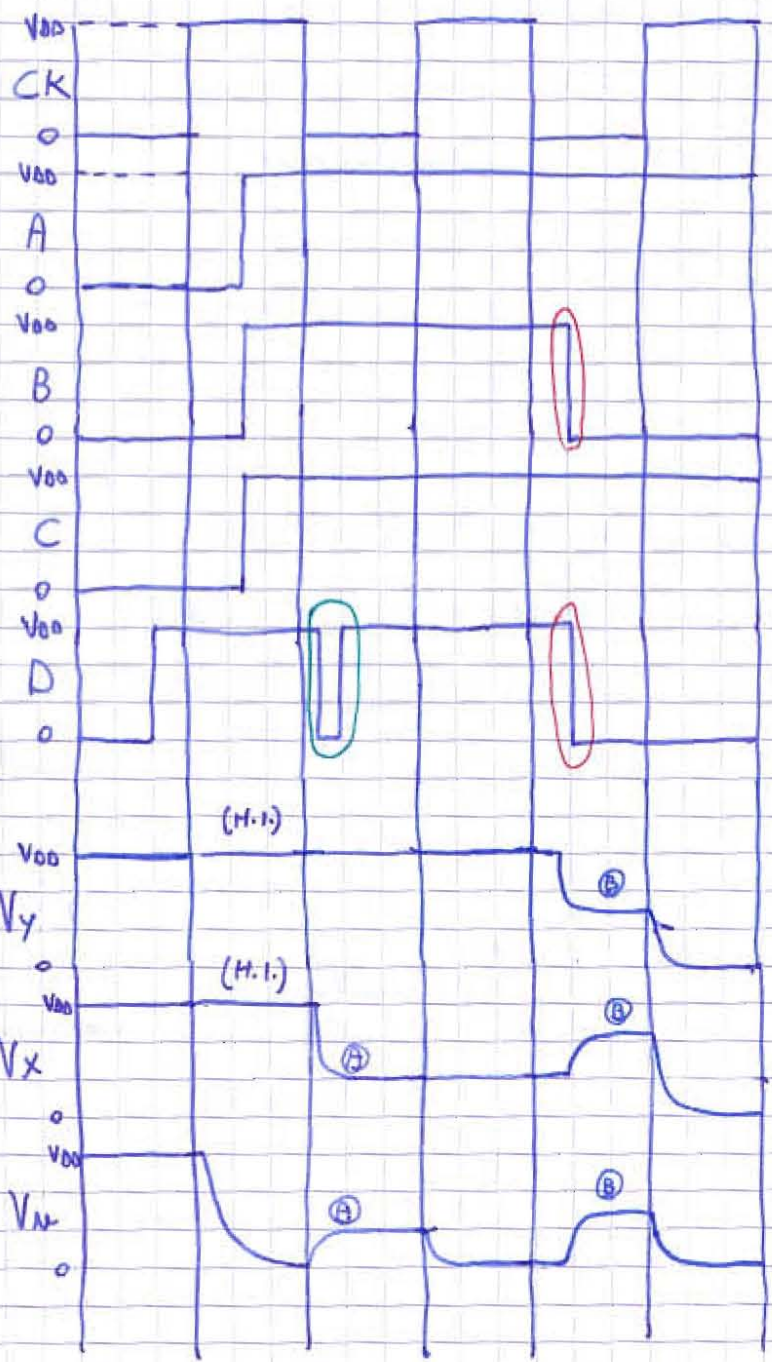


$Q_- = Q_+$

$Q_{x-} + Q_{n-} = Q_{x+} + Q_{n+}$

$C_x V_{x-} + C_n V_{n-} = C_x V_{x+} + C_n V_{n+}$

Ⓐ $V_{n+} = V_{x+} = \frac{C_x V_{x-} + C_n V_{n-}}{C_x + C_n} = \frac{20}{80} V_{DD} = 0,25 V_{DD} = 0,825 V$



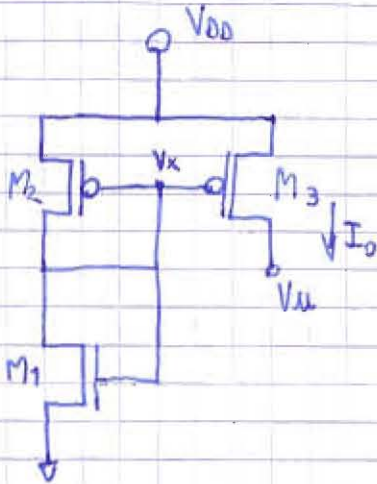
Quando D torna basso arrivo

$$Q_{x-} + Q_{y-} + Q_{u-} = Q_{x+} + Q_{y+} + Q_{u+}$$

$$C_x V_{x-} + C_y V_{y-} + C_u V_{u-} = C_x V_{x+} + C_y V_{y+} + C_u V_{u+}$$

$$\textcircled{B} V_{u+} = V_{x+} = V_{y+} = \frac{C_x V_{x-} + C_y V_{y-} + C_u V_{u-}}{C_x + C_y + C_u} = 1,2375 V$$

Esercizio 18/07/2000 n° 2



$$V_{Tn} = V_{Tp} = V_T = 0,8 V$$

$\beta_1, \beta_2, \beta_3 = ?$ in modo che:

$$0 < V_{u} < 4V$$

$$I_0 = 2 mA$$

$$P = 15 mW$$

$$V_{DD} = 5V$$

$$P = V_{DD} I_{DD} = V_{DD} (I_{D2} + I_{D3}) = V_{DD} (I_{D2} + I_0)$$

$$I_{D2} = I_{D1} = \frac{P_0}{V_{DD}} = I_0 = \frac{15 \cdot 10^{-3}}{5} = 3 \cdot 10^{-3} = 3 mA$$

Hip: M_3 LIN.

$$I_{D3} = \beta_3 \left[(V_{DD} - V_x - V_T)(V_{DD} - V_u) - \frac{(V_{DD} - V_u)^2}{2} \right] = I_0$$

Il migliore perché per $0 < V_u < 4V$ I_{D3} varia

M_3 SAT (non off altrimenti $I_{D3} = 0 = I_0$)

$$I_{D3} = \frac{\beta_3}{2} (V_{DD} - V_x - V_T)^2 \text{ non dipende da } V_u, \text{ è costante, OK.}$$

Sono in questa situazione se $V_{SG3} < V_{SD3} + V_T$

$$V_{DD} - V_x < V_{DD} - V_u + V_T$$

$$V_x > V_u - V_T$$

V_{in} varia tra 0 e 4, i calcoli varieranno. Devo scegliere un caso!

Scelgo il caso peggiore: $V_{in} = 4V$, più difficile per V_x superare $V_{in} - V_T$.

$$V_x > 4 - 0,8 = 3,2 V$$

$$\beta_3 = \frac{2 I_0}{(V_{DD} - V_x - V_T)^2} = \frac{2 \cdot 2 \cdot 10^{-3}}{(5 - 3,2 - 0,8)^2} = 4 \text{ mA/V}^2 = \beta_3 \text{ minimo}$$

All'aumentare di $V_x > 3,2$, β_3 aumenterà.

Hp: M_2 SAT, cioè $V_{DD} - V_x > V_{DD} - V_x - V_T \Rightarrow 0 > -V_T$ sempre vero

$$I_{D2} = I_{D1} = \frac{\beta}{2} (V_{DD} - V_x - V_T)^2 \Rightarrow \beta_2 = \frac{2 I_{D2}}{(V_{DD} - V_x - V_T)^2} = 2 \text{ mA/V}^2$$

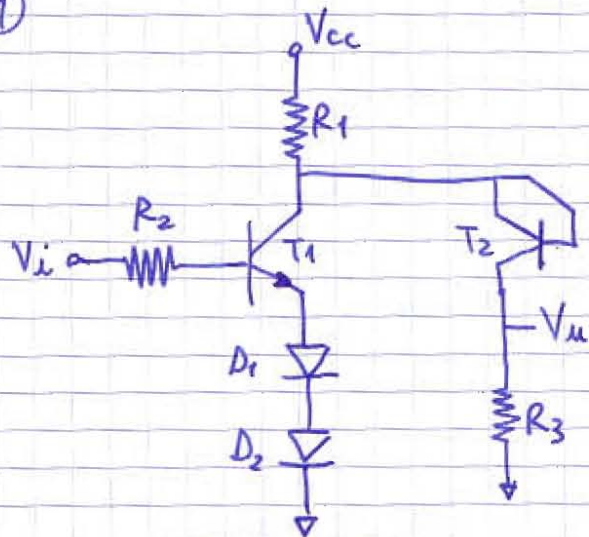
Hp: M_1 SAT, cioè $V_x > V_x - V_x - V_T \Rightarrow V_x > -V_T$ sempre vero.

$$I_{D1} = \frac{\beta_1}{2} (V_x - V_T)^2 \Rightarrow \beta_1 = \frac{2 I_{D1}}{(V_x - V_T)^2} = 0,347 \text{ mA/V}^2$$

22/1/10

Esame 25/6/2005

①



$$V_{CC} = 5V$$

$$V_{in}(V_{in}) = ?$$

$$\beta = 100$$

$$V_T = 0,75V$$

$$V_{CE_{SAT}} = 0,2V$$

$$R_1 = 500\Omega$$

$$R_2 = 15K\Omega$$

$$R_3 = 2K\Omega$$

Già come ho la serie di T_1 , D_1 e D_2 , devono essere o tutti accesi o tutti spenti.

Il primo ad accendersi sarà T_1 .

OSS. T_1 ON $\Leftrightarrow D_1, D_2$ ON

T_2 ON $\Rightarrow T_2$ R.N. (connessione a diodo: $V_{BC} = V_{BE} - V_{CE} = 0$, ma se fosse SAT $V_{BC} = V_{\gamma} - V_{CESAT} \neq 0$).

② T_1 OFF, T_2 ON (HP: se off, non errei corrente e il circuito non funzionerebbe) $\Rightarrow T_2$ R.N.

$$V_i - R_2 \frac{I_{B1}}{0} - \underbrace{V_{BE} - V_{D1} - V_{D2}} = 0$$

T_1 OFF

lo vedo come un unico oggetto con $V_{\gamma eq} = 3V_{\gamma}$

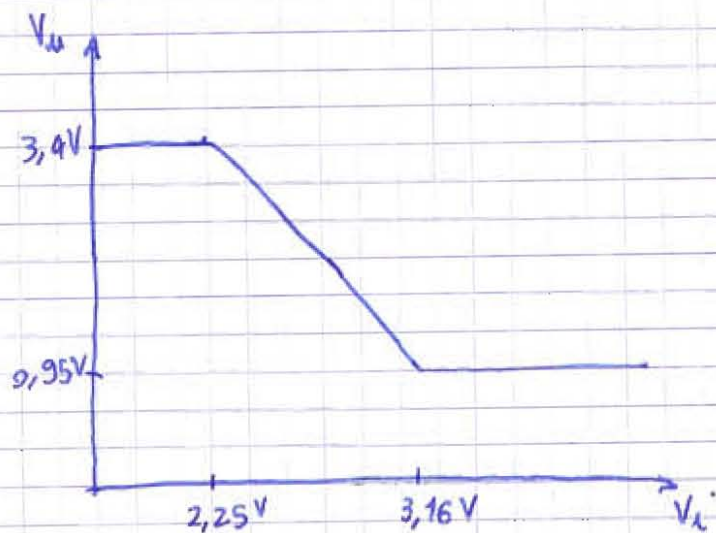
Per accendersi ha bisogno di $3V_{\gamma}$

Quindi non in regione 2 se $V_i < 3V_{\gamma} = 2,25V$

$$\begin{cases} V_{CC} - R_1 I_{E1} - V_{BE2} - R_3 I_{E2} = 0 \\ I_{E1} = \frac{I_{B1}}{\beta_0} + I_{C2} + I_{B2} \\ I_{C2} + I_{B2} = I_{E2} \end{cases} \quad I_{E1} = I_{E2}$$

$$V_{CC} - R_1 I_{E2} - V_{\gamma} - R_3 I_{E2} = 0 \quad I_{E2} = \frac{V_{CC} - V_{\gamma}}{R_1 + R_3} = 1,7mA$$

$$V_u = R_3 I_{E2} = 3,4V$$



⑥ T_1 ON, T_2 RN
 \downarrow
 R.N. (HP)

$$\begin{cases} V_i - R_2 I_{B1} - 3V_\gamma = 0 \\ V_{CC} - R_1 (I_{C1} + I_{E2}) - V_\gamma - R_3 I_{E2} = 0 \end{cases} \text{ dalle equazioni di prima con } I_C$$

$$\begin{cases} I_{C1} = \beta_F I_{B1} \\ V_u = R_3 I_{E2} \end{cases}$$

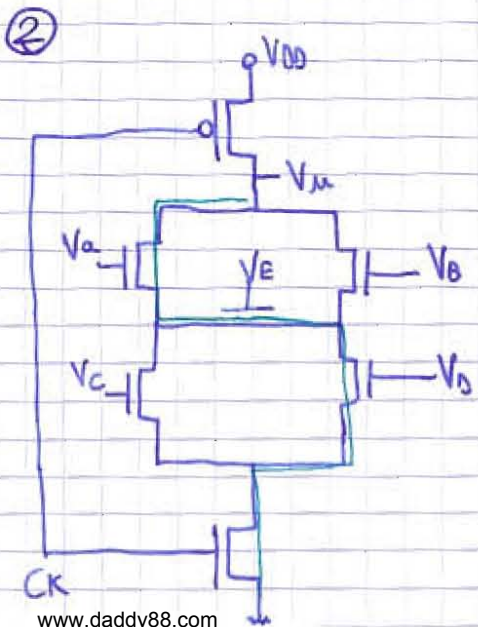
$$V_{CC} - R_1 \frac{V_i - 3V_\gamma}{R_2} - \left(\frac{R_1}{R_3} + 1 \right) V_u - V_\gamma = 0 \rightarrow V_u = 9,4 - 2,67 V_i$$

⑦ T_1 SAT T_2 R.N. \rightarrow
 T_1 R.N. T_2 OFF \rightarrow quale avviene prima?

$V_{CE1} > V_{CE_{SAT}}$ T_1 R.N. $V_{CE1} = V_C - V_E = V_u + V_\gamma - 2V_\gamma$
 $V_u - V_\gamma > V_{CE_{SAT}} \rightarrow V_u = V_\gamma + V_{CE_{SAT}} = 0,95V$ $9,4 - 2,67 V_i = 0,95$ $V_i = 3,16V$

$V_{BE2} < V_\gamma$ T_2 OFF $\Rightarrow I_{E2} = 0 \Rightarrow V_u = 0$
 T_2 resta on finché $V_u > 0$ $9,4 - 2,67 V_i = 0$ $V_i = 3,5V$

T_1 SAT T_2 R.N. $V_i > 3,16V$
 \downarrow
 $V_u = V_{CE1} + V_\gamma = 0,95V$



$V_{DD} = 3,5V$
 $V_T = 0,5V$
 $C = 50fF$
 Caso peggiore: $t_{FALL} = 0,5ns$
 Caso migliore: $t_{FALL} = t_{RISE}$
 Trovare funzione logica.
 $\beta_n = ?$ $\beta_p = ?$

Logica P/E perché ho una parte (PD) complessa e una semplice (PU). Pre-carica a 1.

$\overline{V_u} = V_A V_C + V_B V_D + V_A V_E V_D + V_B V_E V_C = V_A V_C + V_B V_D + V_E (V_A V_D + V_B V_C)$
 perché vedo quando gli ingressi portano V_u il valore basso.

$V_u = V_A V_C + V_B V_D + V_E (V_A V_D + V_B V_C)$ equazione P/E (no clock)

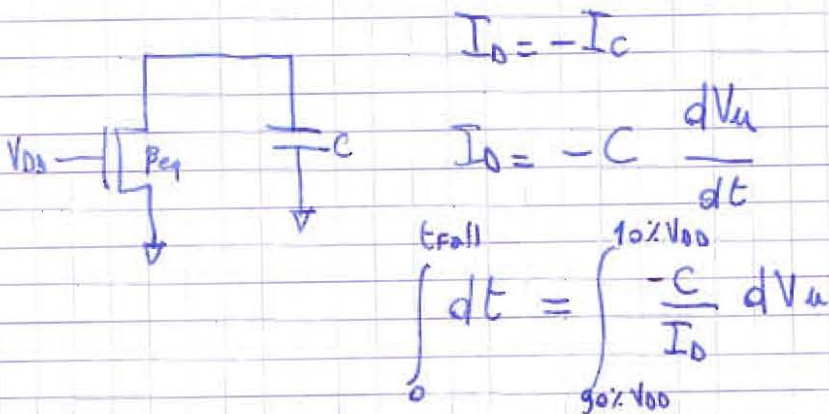
Caso peggiore: faccio più fatica a scaricare la capacità, ho meno maglie, più cose in serie e meno in parallelo.

$\beta_{eq} = \frac{\beta_n}{4}$

Caso migliore: invece di considerare tutto on, V_E off perché essendo i MOS uguali e sottoposti alla stessa tensione $V_{ose} = 0$.

$\beta_{eq} = \left(\frac{\beta}{2} + \frac{\beta}{2} \right) // \beta = \frac{\beta_n}{2}$

Tempo di discesa



Il MOS all'inizio è saturo $V_{GS} < V_{GS} + V_T$
 $V_{DD} < V_u + V_T$ $V_u > V_{DD} - V_T$

$t_{fall} = \int_{90\% V_{DD}}^{V_{DD} - V_T} \frac{-C}{I_{D,sat}} dV_u + \int_{V_{DD} - V_T}^{10\% V_{DD}} \frac{-C}{I_{D,lin}} dV_u$

② $V_u = V_H \Rightarrow H_p: M_2 \text{ OFF}$
 $V_i = V_L$

$$V_u = V_{DD} - R I_{D2} = V_{DD} = V_H$$

$M_2 \text{ OFF} \quad V_{GS} < V_T \quad V_i - V_x < V_T \quad V_i < V_x + V_T$

$H_p: M_1, M_3 \text{ SAT} \quad \frac{V_A - V_x}{V_{GS3}} < \frac{V_{DD} - V_x + V_T}{V_{GS3}} \quad V_A < V_{DD} + V_T \text{ sempre} \Rightarrow M_3 \text{ SAT}$

$V_B < V_x + V_T \quad V_x > V_B - V_T$

$I_{D1} = I_{D2} + I_{D3}$ (with I_{D2} crossed out and "OFF" written above it)
 $\frac{\beta_1}{2} (V_B - V_T)^2 = \frac{\beta_3}{2} (V_A - V_x - V_T)^2 \Rightarrow V_x = \begin{matrix} 2,48 \text{ V} \\ 1,73 \text{ V} \end{matrix}$

Quindi è VERO che $M_1 \text{ SAT}$ perché $V_x > V_B - V_T$

$M_3 \text{ ON} \quad V_A - V_x > V_T \quad V_x < V_A + V_T = 2,4 \text{ V}$

$M_1 \text{ SAT} \quad V_x > V_B - V_T \quad 1,73 \text{ V} > (0,71 - 0,4) \text{ V} \quad \underline{\underline{OK}}$

③ $V_i = V_H \quad M_2 \text{ ON} \quad H_p \text{ LIN}$
 $V_u = V_L \quad M_3 \text{ SAT} \quad \text{non può essere lineare (Hp)}$
 $M_1 \text{ SAT} \quad (Hp)$

$$\begin{cases} I_{D1} = I_{D2} + I_{D3} \\ I_{D2} = I_R = \frac{V_{DD} - V_u}{R} \end{cases} \begin{cases} \beta_2 \left[(V_i - V_x - V_T)(V_u - V_x) - \frac{(V_u - V_x)^2}{2} \right] + \frac{\beta_3}{2} (V_A - V_x - V_T)^2 = \frac{\beta_1}{2} (V_B - V_T)^2 \\ \beta_2 \left[(V_i - V_x - V_T)(V_u - V_x) - \frac{(V_u - V_x)^2}{2} \right] = \frac{V_{DD} - V_u}{R} \end{cases}$$

V_u	V_x	
4,53	1,67	→ N.ACC. perché $V_u > V_{DD}$
3,71	2,19	→ N.ACC. " " "
2,18		→ $V_{GS3} = V_A - V_x < V_T$ NO perché M_3 sarebbe OFF
1,85		→ verificato

$V_L = 1,85 \text{ V}$

escursione = $V_H - V_L = 3,5 - 1,85 = 1,65 \text{ V}$